

INSTITUTUL CENTRAL DE CERCETARE, PROIECTARE SI DIRECTIVARE

IN CONSTRUCȚII

Biroul executiv

I. P. T.

Nr.

DECIZIA NR. 92

din 14 decembrie 1984

SIGILATĂCA TEHNICĂ

PRIVIND APROBAREA „NORMATIVULUI PENTRU
REALIZAREA PE TEMP FRIGUROS A LUCRĂRILOR DE
CONSTRUCȚII ȘI A INSTALAȚIILOR AFERENTE”
INDICATIV C 16—84.

Biroul executiv al Consiliului științific al Institutului Central de Cercetare, Proiectare și Directivare în Construcții;

Având în vedere prevederile art. 5, litera „d” din Decretul nr. 170/1976, cît și avizul CTE—ICCPDC nr. 493 din 17 octombrie 1984;

În temeiul Decretului nr. 170/1976, modificat prin Decretul nr. 31/1983, privind organizarea și funcționarea Institutului Central de Cercetare, Proiectare și Directivare în Construcții, cît și Legea nr. 5/1978, emite următoarea

DECIZIE:

1. Se aprobă „Normativul pentru realizarea pe temp friguros a lucrărilor de construcții și a instalațiilor aferente” având indicativul C 16—84.

2. Normativul de la pct. 1 intră în vigoare la data publicării în Buletinul construcțiilor. El se va publica și în colecția de normative și instrucțiuni.

La aceeași dată încetează valabilitatea „Normativului pentru realizarea pe temp friguros a lucrărilor de construcții și a instalațiilor aferente” indicativ C 16—79, aprobat de Institutul Central de Cercetare, Proiectare și Directivare în Construcții cu Decizia nr. 152/13.VII.1979.

PREȘEDINTELE EJECȚUIU EXECUTIV
DIRECTOR GENERAL
Ing. VALERIU CRISTESCU

**NORMATIV
PENTRU REALIZAREA PE TIMP FRIGUROS
A LUCRĂRILOR DE CONSTRUCȚII
ȘI A INSTALAȚIILOR AFERENTE
INDICATIV C 16-84**

Elaborat de:

I.C.C.P.D.C. FILIALA IAȘI PRIN CADRELE DIDACTICE
INTEGRATE DE LA INSTITUTUL POLITEHNIC IAȘI.

Şef filială: ing. Daniel Diaconu

Responsabil lucrare: prof. dr. ing. Antonie Trelea

Colectiv de elaborare: prof. dr. ing. Antonie Trelea
ş.i. dr. ing. Nicolae Giușcă
as. ing. Stefan Cârlan
as. ing. Angela Vasilescu
as. ing. Vasile-Vivi Iatan

Responsabil din partea I.C.C.P.D.C.: ing. Nicolae Iova

**NORMATIV PENTRU REALIZAREA PE TIMP
PRIGUROS A LUCRĂRILOR DE CONSTRUCȚII
ȘI A INSTALAȚIILOR AFERENTE**

Indicativ C 16-84

Înlocuește; C 16-79

PARTEA I

PREVEDERI COMUNE TUTUROR LUCRĂRILOR

1. PREVEDERI GENERALE

Regimul de aplicare, obiectul și scopul normativului

1.1. Prevederile prezentului normativ sunt obligatorii pentru toate organizațiile de proiectare și de execuție din țară, indiferent de subordonarea lor, și se referă la asigurarea calității lucrărilor de construcții și a instalațiilor aferente, executate în condiții climatice specifice perioadei de timp friguros.

1.2. Lucrările de construcții și instalațiile aferente vor fi programate pentru a fi executate în condiții climatice specifice perioadei de timp friguros numai în măsură în care se respectă prevederile legale și se asigură condițiile materiale de care este determinată calitatea lor.

Măsurile prescrise trebuie să fie realizate cu cheltuieli minime de resurse materiale și în special de energie.

Conducătorii activității de producție au obligația de a nu dispune executarea lucrărilor ce nu au condiții pentru asigurarea calității.

Timp friguros și factori climatici specifici

1.3. Parametrul de bază pentru caracterizarea perioadei de timp friguros este temperatura aerului exterior, care se măsoară la ora 8⁰⁰ dimineața, la umbră, la 2,00 m înălțime de la sol și la distanță minimă de 5,00 m de clădiri sau de orice altă construcție.

Elaborat de:

I.C.C.P.D.C. — FILIALA IAȘI
FACULTATEA DE CONSTRUCȚII IAȘI

Aprobat de ICCPDC
cu decizia nr. 92
din 14 decembrie 1984

1.4. „Zi friguroasă” se numește ziua în care temperatura aerului exterior, măsurată conform pct. 1.3., este inferioară valorii de $+5^{\circ}\text{C}$ și nu are tendință de urcare.

1.5. Scăderea temperaturii aerului exterior sub valoarea de $+5^{\circ}\text{C}$ este însotită și de alte fenomene meteorologice ce influențează defavorabil activitatea de construcții și care apar cu frecvență mare în perioada convențională definită la pct. 1.6:

- ninsori abundente;
- vînturi puternice;
- fenomene alternative de îngheț-dezgheț.

1.6. Perioada 15 noiembrie – 15 martie este considerată „perioadă convențională de timp friguros” deoarece în acest interval de timp apare o probabilitate maximă ca frecvența zilelor friguroase să depășească 90% din numărul total de zile ale intervalului. În această perioadă este de asemenea maximă probabilitatea de apariție frecventă și a celorlalte fenomene specifice menționate la pct. 1.5.

Influențe defavorabile ale factorilor climatici specifici timpului friguros asupra activității de construcție și măsuri de prevenire a lor

1.7. În vederea sistematizării efectelor pe care le poate avea temperatura aerului exterior asupra condițiilor de executare a lucrărilor de construcții în perioada de timp friguros, se definesc următoarele noțiuni:

a) „Temperatura critică de execuție” se numește temperatura minimă admisă în prescripțiile tehnice pentru materialele ce se depozitează, se prelucrează sau se pun în operă, în vederea asigurării calității produsului.

b) „Durată critică de execuție” se numește perioada în care trebuie să se asigure o temperatură superioară sau cel puțin egală cu cea critică.

c) „Temperatura critică de maturizare” se numește temperatura minimă admisă în prescripțiile tehnice pentru un element de construcție din momentul realizării sale prin procedee umede pînă în momentul în care înghețarea lui nu mai este dăunătoare din punct de vedere al calității.

d) „Durată critică de maturizare” se numește perioada în care trebuie asigurată temperatura critică de maturizare.

1.8. Înțelegind prin „regim termic critic” ansamblul condițiilor de timp și de temperatură ce trebuie realizate pentru asigurarea calității lucrărilor, rezultă conform pct. 1.7:

a) „Regimul termic critic la execuție”, care constă în asigurarea unei temperaturi superioare sau cel puțin egală cu cea critică pe perioada de execuție.

b) „Regimul termic critic de maturizare”, care constă în asigurarea unei temperaturi superioare sau cel puțin egală cu cea critică de maturizare, pe perioada de maturizare critică.

Regimurile termice critice, prin care se asigură calitatea corespunzătoare lucrărilor, se evidențiază în proiectul anual de organizare a activității pe timp friguros.

Clasificarea lucrărilor de construcții executate pe timp friguros. Nivel de asigurare

1.9. Lucrările de construcții și instalațiile aferente acestora se clasifică din punct de vedere al influenței factorilor climatici specifici timpului friguros, asupra calității lor în:

a) Lucrări a căror calitate poate fi influențată defavorabil de regimul termic atât la execuție cât și în perioada de maturizare. Pentru executarea acestora pe timp friguros trebuie să se asigure, prin măsuri specifice, regimurile termice critice, atât la execuție cât și în perioada de maturizare; ex: lucrări realizate prin procedee umede.

b) Lucrări a căror calitate poate fi influențată defavorabil de regimul termic numai la execuție. Pentru executarea acestora pe timp friguros trebuie să se asigure, prin măsuri specifice, regimul termic critic la execuție; ex: asamblarea elementelor metalice, montarea geamurilor etc.

c) Lucrări a căror calitate nu este influențată de regimul termic nici la execuție și nici ulterior; ex: lucrări de dulgherie, săpături etc.

1.10. Influența factorilor climatici se manifestă și asupra unor dintre lucrările de la pct. 1.9. c prin creșterea dificultății de execuție, care determină adoptarea unor tehnologii de execuție,

caracterizate prin cheltuieli suplimentare de resurse: săparea pământurilor umede, înghețate.

1.11. Influența factorilor climatici (pct. 1.4 și 1.5) se manifestă asupra tuturor lucrărilor de la pct. 1.9 și 1.10 prin:

- a) Scăderea randamentului muncitorilor și mașinilor.
- b) Creșterea gradului de pericolozitate pentru activitatea muncitorilor: pericolul de accidentare prin alunecare și cădere de la înălțime fie a oamenilor, fie a gheții sau a zăpezii; pericolul surpării malurilor la săpături în abataje; pericolul de electrocucere ca urmare a acoperirii instalațiilor electrice cu zăpadă și a creșterii umidității etc.
- c) Degradarea prin înghețare a unor materiale în timpul depozitării lor: var stins, vopsele, precum și deteriorarea instalațiilor umplute cu apă.
- d) Deteriorarea sub acțiunea vînturilor puternice și a zăpezilor abundente a unor instalații de șantier; instalații electrice, schele, eșafodaje, cofraje etc.
- e) Alterarea temporară a unor materiale prin înghețarea superficială și formarea de bulgări: agregate pentru betoane, mortare.
- f) Înzăpezirea și ulterior, prin dezghețare, inundarea suprafețelor fronturilor de lucru, a drumurilor sau chiar a întregului teritoriu al șantierului.

Unele dintre aceste efecte pot fi acceptate în anumite limite (pct. a) iar altele pot fi prevenite total (pct. b; c; d) sau parțial (pct. e; f) prin măsuri generale de organizare a șantierului pentru perioada de timp friguros.

1.12. În vederea raționalizării efortului economic de aplicare a măsurilor prescrise pentru realizarea calității lucrărilor se adoptă, la organizarea executării lor pe timp friguros, „un nivel de asigurare“.

Se înțelege prin „nivel de asigurare“ $\bar{\theta}_{ae}$ temperatura minimă a aerului exterior, măsurată conform pct. 1.3, pentru care se proiectează măsurile menite să asigure calitatea lucrărilor execute.

La organizarea executării lucrărilor pe timp friguros se vor adopta niveluri de asigurare diferențiate, în funcție de:

— regimul termic critic necesar în perioada de execuție și de maturizare critică;

— importanța lucrărilor;

— efortul economic (cost, consum specific de energie) necesar pentru aplicarea măsurilor prin care se realizează regimul termic critic.

1.13. Din compararea temperaturii aerului exterior măsurată conform pct. 1.3, cu nivelul de asigurare și cu temperatura critică, admisă drept valoare minimă pentru executarea unei lucrări, rezultă următoarele:

a) lucrările se pot executa fără măsuri speciale dacă temperatura efectivă a aerului exterior este superioară celei critice;

b) lucrările se pot executa numai dacă se iau măsurile specifice prin care se asigură regimul termic critic, dacă temperatura efectivă a aerului exterior este superioară nivelului de asigurare și inferioară celei critice;

c) lucrările nu se pot executa, deoarece măsurile prevăzute sunt insuficiente pentru realizarea regimului termic critic, dacă temperatura efectivă a aerului exterior este inferioară nivelului de asigurare.

1.14. În legătură cu adoptarea cît mai judicioasă a nivelurilor de asigurare se precizează următoarele:

a) Pentru depozitarea materialelor a căror calitate este influențată de regimul termic trebuie să se prevadă în mod obligatoriu drept nivel de asigurare valoarea temperaturii exterioare prevăzută în STAS 6472/2-73 pentru zona climatică în care este amplasat șantierul.

b) Pentru lucrările bazate pe procedee umede, la care nu se prevede încălzirea în perioada de maturizare critică (metoda conservării căldurii), trebuie să se adopte drept nivel de asigurare o temperatură inferioară cu cel puțin $5^{\circ}C$ temperaturii adoptate drept nivel de asigurare pentru perioada de execuție.

În anexa A se dau indicații pentru nivelurile de asigurare ce pot fi recomandate la executarea pe timp friguros a lucrărilor de construcții și instalații aferente, analizate în partea a II-a a Normativului, cap. 6...18, inclusiv schema explicativă pentru interpretarea variației temperaturii aerului exterior în raport cu temperatura critică și cu nivelul de asigurare.

Pentru structurile calculate la variații de temperatură determinate, prevederile specifice de proiect se vor respecta cu prioritate față de cele generale, din prezentul Normativ.

Proiectarea executării lucrărilor pe timp friguros

1.15. Lucrările de construcții-montaj și instalațiile aferente care se execută pe timp friguros rezultă din „Proiectul de organizare a șantierului” și din graficul de eșalonare a investiției elaborate conf. pct. 16 și 20 din „Continutul cadru al proiectului de execuție”, Anexa 2 la Legea nr. 9/1980.

a) Graficul de eșalonare a investiției trebuie să evidențieze în acest scop, pentru lucrările de construcții-montaj și instalațiile aferente, acele stadii fizice, la începerea și respectiv la terminarea perioadei convenționale de timp friguros, de care este condiționată realizarea lui.

b) Cheltuielile suplimentare necesitate de programarea în perioada convențională de timp friguros a unor lucrări de construcții-montaj și a instalațiilor aferente se acoperă din Devizul general partea I, cap. 10 b și partea a III-a, cap. 13, ținând seama și de precizările din Normativ P 91-83, pct. 6.2.4.

c) Prevederile din Graficul de eșalonare a investiției și din Devizul general trebuie să fie corelate între ele pentru a se asigura calitatea lucrărilor programate a fi executate în perioada convențională de timp friguros în condițiile prevăzute la cap. 4 „Măsuri de folosire rațională a energiei și combustibilului la realizarea construcțiilor pe timp friguros”.

1.16. Condițiile organizatorice și tehnologice pentru execuțarea lucrărilor de construcții-montaj și a instalațiilor aferente în perioada de timp friguros se detaliază într-un „Proiect anual de organizare a activității pe timp friguros” care se elaborează conform prevederilor de la cap 3 din prezentul normativ.

1.17. Modificările de soluții tehnice propuse de executant pentru satisfacerea prevederilor de la pct. 1.15 trebuie să aibă avizul proiectantului.

La execuție pot fi adoptate și alte soluții tehnologice decât cele recomandate în prezentul normativ pentru asigurarea calității lucrărilor dacă respectă măsurile prevăzute la cap. 4 și se poate realiza mai ușor și mai economic.

2. SARCINILE GENERALE CE REVIN UNITĂȚILOR DE CONSTRUCȚII MONTAJ ÎN PERIOADA DE TIMP FRIGUROS, PRECIZAREA PRINCIPALELOR MĂSURI

2.1. Pentru realizarea pe timp friguros a lucrărilor de construcții și instalații aferente trebuie să se ia din vreme o serie de măsuri tehnico-organizatorice, care se referă la următoarele probleme principale:

- amenajări generale de șantier și măsuri pentru asigurarea calității lucrărilor;
- construcțiile speciale de șantier;
- instalațiile și rețelele de șantier;
- depozitarea și conservarea materialelor;
- utilajele și mijloacele de transport;
- instalațiile de încălzire tehnologică și utilitară;
- înregistrări de date meteorologice necesare șantierului;
- protecția și igiena muncii;
- prevenirea și stingerea incendiilor;
- protejarea obiectelor sistate.

Amenajări generale de șantier și măsuri pentru asigurarea calității lucrărilor

2.2. Problemele din această grupă de măsuri se referă la:

a) amenajarea și întreținerea continuă a drumurilor de acces, căilor de circulație, platformelor și punctelor de staționare sau parcare auto, a intrărilor și ieșirilor din ateliere, depozite și baracamente etc.

b) asigurarea posibilităților de îndepărțare rapidă a apelor de suprafață și a celor provenite din precipitații (ploaie, ninsoare), sau dezgheț, de pe lîngă construcții, drumuri și în general de pe întregul teritoriu al șantierului;

c) asigurarea din timp a panourilor contra înzăpezirii (para-zapezi), inclusiv asigurarea utilajelor și dispozitivelor de curățire a zăpezii (pluguri de zăpadă, buldozere, lopeți) și de spargere a gheții (tîrnăcoape, topoare, baroase, șpițuri etc.). Pentru perioadele cu ninsori abundente se va reorganiza activitatea utilajelor

folosite la dezăpezire astfel ca să se asigure funcționarea lor și în timpul nopții. La șantierele instalate pe terenuri cu denivelări pronunțate se va prevedea prin proiectul anual pentru organizarea lucrărilor pe timp friguros evacuarea zăpezii și gheții din zonele ridicate ale terenului inclusiv de pe suprafetele dintre clădiri;

d) asigurarea curățeniei generale a șantierului și îndepărțarea tuturor resturilor de materiale neutilizabile, a molezului, a pământului în exces provenit din săpături etc.;

e) strîngerea în figuri regulate a pietrișului și nisipului existent pe șantier; se vor prefera figurile de volum mare, care chiar pe geruri puternice, conțin în interiorul lor un procent ridicat de materiale neînghețate;

f) acoperirea varului din gropile de var cu un strat uniform de nisip, în grosime de 20...30 cm, afară de cazul cînd durata de depozitare și intensitatea gerului ar reclama o grosime mai mare;

g) confectionarea și montarea de panouri pentru închiderea provizorie a golurilor de uși și ferestre la obiectele în interiorul căror urmăază a se executa lucrări în timpul friguros;

h) umplerea cu pămînt a golurilor fundațiilor terminate și prevederea de pante superficiale la aceste umpluturi, pentru a grăbi îndepărțarea apelor de suprafață de lîngă fundații, inclusiv asigurarea scurgerii lor la șanțurile colectoare cele mai apropiate;

i) verificarea existenței pe șantier a reperilor de trasare și a celor de nivelment, replantarea reperilor dislocați și a celor ce lipsesc, precum și înlocuirea tărușilor și împrejmuirilor de trasare, insuficient îngropate, cu altele corespunzătoare;

j) corectarea profilului șanțurilor și săpăturilor ce nu vor putea fi umplute înaintea perioadei de timp friguros, prin reducerea inclinării taluzurilor dacă pămîntul este sensibil la îngheț-dezgheț;

k) astuparea sau acoperirea golurilor existente în elementele de beton, turnate sau depozitate în poziție orizontală, pentru a se împiedica colectarea apei sau zăpezii, care prin înghețare poate provoca, degradarea elementelor.

2.3. Pentru a se preveni dificultățile produse de perioadele dedezgheț ce pot interveni de mai multe ori în cursul unui sezon friguros, conducerile brigăzilor și ale punctelor de lucru vor stabili măsurile care să asigure continuarea nestingherită a activității și pe timp de dezgheț. În acest sens se vor efectua:

a) aprovizionarea din timp a cantităților necesare de materiale antiderapante (rumeguș, nisip, zgură etc.);

b) asigurarea materialelor de întreținere a drumurilor (bolovani, piatră brută, pietriș, piatră spartă, plăci de beton etc.) și executarea lucrărilor necesare pentru menținerea drumurilor în bună stare de circulație;

c) verificarea zilnică a stabilității tuturor stivelor de materiale și piese — mai ales a celor ce transmit presiuni mari terenului pe care sunt depozitate — și consolidarea acestora și a stivelor în caz de nevoie;

d) curățirea de noroi a gropilor de fundații și asigurarea taluzelor acestora împotriva prăbușirii;

e) colectarea apei provenită din topirea zăpezii și evacuarea acesteia în afara zonelor respective; oriunde este necesar și posibil se vor introduce conducte de evacuare, care vor fi prevăzute cu pante mai mari pentru a accelera scurgerea apei; de asemenea, se va prevedea curățirea gurilor de intrare în conducte;

f) verificarea și curățirea permanentă a conductelor de apă și de canalizare, precum și a instalațiilor sanitare de șantier, pentru a se preveni plesnirea lor datorită înghețării apei și noroilui din interior;

g) asigurarea din timp a stabilității și integrității elementelor de construcție, materialelor, utilajelor etc., situate în zone amenințate de inundații, spre a nu fi degradațe sau deplasate de către sloiuri sau de către apele mari;

h) instalarea sub șoproane fără pereti a fierăstraielor circulare, a uscătoarelor de orice fel și cu orice destinație, în afara celor cu condiții de temperatură sau de umiditate impuse prin proiect sau cerute de tehnologie;

i) verificarea silozurilor și buncărelor pentru lianți și aditivi, în ceea ce privește etanșeitatea și stabilitatea lor;

j) verificarea tuturor tablourilor, întrerupătoarelor și dispozitivelor electrice de pornire de către electricienii șantierului și luarea măsurilor cuvenite de izolare pentru evitarea scurtcircuitelor și tensiunilor de atingere, datorită umidității crescute în perioadele de dezgheț;

k) controlarea minuțioasă și permanentă a căilor de rulare la instalațiile de ridicat — mai ales a macaralelor turn; la apariția unor fenomene de tasare, macaralele vor fi opriate imediat, iar căile de rulare vor fi reglate corespunzător; în acest sens, căile de rulare instalate pe longrine de beton și pat de pietriș

trebuie să fie supravegheate atent, îndepărtindu-se zăpada dintre şine şi controlindu-se dacă nu s-a produs noroi; îndepărtarea zăpezii se va face şi preventiv în perioadele cu temperaturi mai scăzute, prin măturarea zăpezii pe o lătime de cel puțin 2 m de la fiecare şină; prevederea de mai sus este valabilă nu numai pentru căile de rulare a macaralelor, ci şi pentru liniile ferate de transport din incinta şantierului.

Pentru asigurarea capacitatei depline de frânare a macaralelor la temperaturi în jur sau sub 0°C, trebuie să se dispună, de-a lungul traseului căii de rulare, mici depozite de nisip care va fi împărăștiat pe şine;

I) verificarea stabilităţii eșafodajelor, schelelor, rampelor de lemn sau metalice aşezate pe tălpi etc., luîndu-se măsurile necesare de îndepărtare a deficienţelor imediat după constatarea acestora; verificarea îmbinărilor şi a punctelor de solidarizare se va face în mod special în timpul pauzelor mai lungi în activitate; la eșafodajele alcătuite din ţevi metalice, se vor verifica suprafetele de rezemare ale stîlpilor şi soliditatea legăturilor şi cuplajelor.

Construcţii speciale de şantier

2.4. În această grupă se cuprind:

- a) construcţiile pentru adăpostirea staţiilor de preparare a mortarelor şi betoanelor, inclusiv platformele şi buncările din interiorul lor;
- b) podestele şi punţile de trecere;
- c) rampele de spălare a autovehiculelor;
- d) scările fixe, platformele descoperite, planurile înclinate etc.

Pe timp friguros toate construcţiile şi amenajările de acest fel care se află în contact cu aerul vor fi curătate permanent de zăpadă şi de gheaţă. Pe platformele şi pe căile de circulaţie de orice fel se vor presăra materiale antiderapante.

Instalaţii şi reţele de şantier

2.5. Problemele de instalăţii se referă la revizuirea tuturor reţelelor existente de alimentare cu apă, de stingerea incendiilor, de canalizare, de alimentare cu energie termică etc.

a) Conductele existente se vor izola contra gerului prin îngroparea lor în pămînt, iar porţiunile de conducte expuse în aer liber se vor proteja prin înfăşurarea cu materiale termoizolante conform prescripţiilor tehnice în vigoare. În punctele joase ale reţelelor se vor prevedea robinete de golire, iar fintinile cu jet pentru băut apă vor fi prevăzute cu dispozitive de închidere şi golire a racordurilor de apă pe timp friguros.

Hidranţii, cişmelele şi celealte dispozitive de consum ale apei se vor izola cu paie, vată de sticlă sau minerală, rogojini, saci etc., bine legaţi cu sîrmă, pe toată porţiunea expusă îngheţului.

b) Reţelele provizorii de canalizare se vor curăţi continuu de materialele ce se pot depune la gurile de intrare.

c) Reţelele electrice de lumină şi forţă se vor revizui amănuntit, acordîndu-se o atenţie specială acelor părţi de instalaţii, la care, în caz de defect, accesul pentru efectuarea de intervenţii în condiţii de timp friguros poate deveni imposibil sau periculos.

Se vor revizui reţelele de iluminat în scopul asigurării nivelurilor de iluminare artificială prevăzute de normativul PE. 136—80, cu respectarea condiţiilor de utilizare ratională a energiei electrice atât pentru lucrări exterioare cît şi pentru cele interioare.

Se vor revizui cu deosebită atenţie măsurile de protecţie contra electrocutărilor pe şantier, instalaţiile de legare la pămînt, si la nul, izolarea amplasamentelor, tensiunea redusă etc., pentru a corespunde prescripţiilor tehnice în vigoare.

d) La reţelele termice, care servesc pentru transportul căldurii de la punctele de producere a acesteia la punctele de lucru sau de protejare a lucrărilor, se vor lua măsuri speciale pentru reducerea la minimum a pierderilor de căldură pe traseu, astfel ca la punctele de utilizare a căldurii să se asigure temperaturile prescrise, corespunzătoare specificului lucrărilor; izolarea conductelor se va realiza în conformitate cu prescripţiile tehnice în vigoare.

Depozitarea şi conservarea materialelor

2.6. Toate materialele ce se folosesc în perioada de timp friguros se vor depozita pe teren uscat, evitîndu-se zonele îngheţate sau umede precum şi zonele care s-ar putea umezi ulterior. În mod special se va asigura menţinerea în stare uscată prin adăpos-

tire sau acoperire a următoarelor materiale: cimentul, varul, ipsosul, zgura expandată sau granulată, filerul, profilele metalice cu pereți subțiri, materialele termoizolatoare (b.c.a, vată minerală polistiren, expandat, plăcile aglomerate PAL,PFL), lamelele de parchet, foliile bitumate, tîmplărie din lemn, geamurile, precum și orice alte materiale ce se pot degrada sub acțiunea umidității.

Materialele și substanțele combustibile se vor depozita în spații special amenajate; este interzisă depozitarea lor în interiorul construcțiilor în curs de execuție.

2.7. Temperaturile minime de conservare a materialelor speciale (lacuri și vopsele, adezivi, chituri, solvenți, folii, plăci și țevi din mase plastice, acceleratorii pentru întărirea betoanelor) vor fi asigurate conform normelor respective de fabricație.

Spațiile închise pentru depozitarea acestor materiale vor fi iluminate și încălzite corespunzător condițiilor impuse de prescripțiile tehnice pentru materialele depozitate, nefiind însă permisă încălzirea cu flacără deschisă sau aparate sub tensiune de tip reșou.

2.8. Pentru asigurarea condițiilor necesare execuției lucrărilor și altor activități anexe se vor folosi, în general, următoarele substanțe, materiale auxiliare și dispozitive:

- adaosuri pentru betoane, conform normativului C 140-79;
- sare industrială pentru împăraștia pe scări, podeste, schele etc.;
- serpentine și recipiente metalice pentru încălzit apă sau alte lichide.

Pentru protejarea termică a lucrărilor, atât în timpul execuției cât și ulterior, se folosesc de asemenea, o serie de mijloace speciale care se aprovizionează înainte de apariția frigului și se depozitează, respectiv se utilizează, astfel încât să nu poată constitui surse de incendii; dintre acestea se menționează:

- carton bitumat sau împăslitură din fibre de sticlă bitumate, rogojini, prelate, foi de cort, foi de polietilenă;
- rumeguș, talaj, paie, vată de sticlă sau vată minerală, sub formă de saltele sau pîslă minerală;
- panouri termoizolante pentru închiderea golurilor de uși și ferestre la obiecte, pentru compartimentări de coridoare sau alte încăperi etc.;

- cabane sau gherete prefabricate, cu sau fără pardoseală, din lemn sau alt material, pentru protecția locală a lucrărilor, aparate sau utilaje mici;
- corturi complete.

Utilaje și mijloace de transport

2.9. Se vor prevedea măsuri pentru respectarea condițiilor de exploatare pe timp friguros a utilajelor în conformitate cu prevederile din Normativ U 6-78.

2.10. La răcirea cu apă a mașinilor de forță — în special a motoarelor cu ardere internă și a compresoarelor — apa de răcire va fi preîncălzită la temperatură mică (circa +20°C), pentru pornirea motoarelor; la închiderea lucrului apa va fi evacuată.

Sistemul de răcire se va preîncălzi de mai multe ori cu apă caldă, înainte de a fi umplut cu apă fierbinte (65°C).

2.11. Pentru asigurarea parcarei autovehiculelor pe perioade de nefuncționare se vor amenaja, în bazele de mașini și utilaje, platforme de parcare și pentru perioada de timp friguros. Nu se admite costruirea de garaje sau alte spații asemănătoare, destinate special parcarei autovehiculelor pe timp friguros.

Platformele de parcare trebuie să permită în caz de incendiu evacuarea autovehiculelor și accesul utilajelor de intervenție.

2.12. Înainte de punerea în funcțiune a autovehiculelor se va controla cu atenție dacă elementele de acționare (șenilele, lanțurile, cîrligile de tracțiune etc.) nu sunt înghețate; în acest caz ele vor fi încălzite prin procedee care să nu folosească flacără deschisă.

2.13. La boburi elevatoare platforma va fi protejată preventiv contra înghețului, prin acoperirea cu un strat subțire de sare industrială. Caburile și ghidajele acestora vor fi unse.

La terminarea lucrului, bena (cupa) elevatorului va fi bine curătată.

2.14. Utilajele tehnologice ce nu necesită depozitarea în spații închise se vor introduce sub șoproane sau vor fi protejate de intemperii prin acoperire.

Utilajele care au venit în contact cu materiale umede, cum săint: aparatele de torcretat, cele de sudare autogenă, mașinile de frecat mozaic, pistoalele pentru pulverizat, vibratoarele etc., vor fi curățate de resturile de materiale și spălate înainte de depozitare.

Instalații de încălzire

2.15. Pentru necesitățile de încălzire tehnologică și utilitară prin instalații speciale, proiectantul va stabili și prevedea în proiectul organizării de șantier, pe bază de calcule termo-tehnice, tipurile acestor instalații, dimensionate corespunzător cantităților de căldură cerute și regimului de funcționare necesar, cu respectarea prevederilor de la cap. 4 privind necesitatea economisirii la maximum a combustibilului și în special a hidrocarburilor.

Sistemul de încălzire se va alege astfel încât să corespundă și din punct de vedere al pericolului de incendiu, în ce privește destinația și gradul de rezistență la foc al construcțiilor, respectându-se în acest sens Normativul P 118-83 privind protecția împotriva incendiilor, Normativul I 13-79 precum și celelalte prescripții tehnice referitoare la utilizarea instalațiilor locale de încălzire.

Se va acorda o atenție deosebită protejării elementelor de construcție combustibile față de părțile calde ale sistemelor de încălzire.

Se va prevedea obligația supravegherii continue a sistemelor de încălzire pe toată durata lor de funcționare efectivă, inclusiv în perioadele situate în afara programului de lucru al șantierului.

2.16. Necesitățile de încălzire se vor determina atât pentru activitățile aferente proceselor de lucru programate în timpul friguros, cât și pentru încălzirea stațiilor de betoane și materiale și a altor spații și încăperi din șantier (camere în care se execută lucrări de finisaj, ateliere, birouri, dormitoare, săli de dușuri, cantine, spații destinate adăpostirii pompelor și mașinilor de intervenție în caz de incendiu etc.).

Activitatea meteorologică de șantier

2.17. Trusturile și întreprinderile de antrepriză generală au obligația să asigure fiecarei unități din subordine condițiile nece-

sare pentru organizarea și funcționarea continuă, pe durata timpului friguros, a unei activități meteorologice de șantier.

Răspunderea pentru desfășurarea acestei activități revine la trust sau întreprindere directorului tehnic cu resortul producție sau unui cadru cu funcție echivalentă, iar la unitățile subordonate, șefilor acestora ajutați de șefii resoartelor programare, lansare și urmărirea producției și de responsabilitii laboratoarelor.

2.18. Activitatea meteorologică de șantier se desfășoară zilnic fără nici o excepție, pe toată perioada de timp friguros din localitatea unde se află situat șantierul, a cărei durată se va stabili pe baza informațiilor culese pe plan local. Activitatea meteorologică se va extinde în mod preventiv și pe cîte un interval suplimentar de 15 zile înainte și după perioada convențională de timp friguros, definită la pct. 1.6.

2.19. Activitatea meteorologică pe șantier se referă la obținerea și valorificarea previziunilor meteorologice furnizate de Institutul Meteorologic Central atât pe perioade scurte (o zi sau o săptămână), cât și pe perioade mai lungi (prognoze decadale, chenzinale, lunare, trimestriale). Această previziune va conține informații privind temperaturile maxime și minime, regimul vînturilor (direcția, intensitatea, viteza) și regimul precipitațiilor (ploaie, lapoviță, ninsoare, perspective de formare a poleiului), atât în timpul zilelor cât și a nopților respective.

La șantierele izolate, situate în regiuni greu accesibile, nedotate cu alte mijloace de informare, transmiterea previziunilor zilnice se va face telefonic prin grija șefului serviciului programare, lansare și urmărirea producției al întreprinderii sau trustului.

2.20. Pentru înregistrarea temperaturii aerului, a temperaturii interioare din spațiile de lucru, precum și a temperaturii agregatelor, mixturilor, betoanelor și mortarelor, fiecare șantier va fi dotat cu termometrele necesare.

2.21. Toate temperaturile măsurate zilnic, împreună cu diversele fenomene atmosferice intervenite, pentru care se va arăta direcția, intensitatea și durata lor, vor fi înregistrate în documentele de evidență precizate la cap. 5.

2.22. Pentru șantierele așezate lîngă cursurile de apă cu nivel variabil — cum este cazul lucrărilor de poduri, baraje, regularizări de râuri, consolidări de maluri etc. — activitatea meteorologică se va completa cu date hidrologice.

Protecția și igiena muncii

2.23. Conducerile brigăzilor și punctelor de lucru vor asigura aplicarea cu o rigurozitate sporită a măsurilor de protecție și igienă a muncii ținând seama de gradul sporit de periculozitate pe care îl prezintă continuarea activității de construcții pe timp friguros.

În acest sens se vor respecta, atât la elaborarea proiectului anual de lucru pe timp friguros (pct. 3.2) cît și în timpul execuției lucrărilor, prevederile din:

— Normele republicane de protecție a muncii aprobate de Ministerul Muncii, cu ord. nr. 54/1975 și de Ministerul Sănătății cu Ord. nr. 60/1975;

— Normele de protecție a muncii în activitatea de construcții montaj, aprobate de Ministerul Construcțiilor Industriale cu Ord. nr. 12—33/D-1980.

La începutul perioadei de timp friguros, definită conform pct. 1.6, din prezentul normativ, la toate punctele de lucru la care se continuă activitatea se vor efectua în mod obligatoriu instructajele cu privire la normele de protecție a muncii specifice perioadei de timp friguros, care se vor repeta ori de câte ori se schimbă condițiile de desfășurare a lucrărilor.

Instructajele se vor referi atât la normele generale ce trebuie respectate pe timp friguros cît și la cele specifice capitolelor de lucrări analizate în partea a II-a a Normativului (cap. 6...18).

Unitățile specializate de construcții-montaj din subordinea ministerelor vor asigura și aplicarea normelor de tehnica securității muncii specifice acestora.

Prevenirea și stingerea incendiilor

2.24. În afară de obligațiile curente prevăzute în normativele și celealte reglementări oficiale în vigoare, referitoare la prevenirea și stingerea incendiilor, conducerile brigăzilor și punctelor de lucru vor lua pentru perioada de timp friguros următoarele măsuri suplimentare:

a) interzicerea depășirii temperaturii strict necesare pentru nevoii tehnologice sau utilitare — atât ca valoare cît și ca durată;

b) interzicerea oricărora focuri deschise — atât în interior cît și în aer liber — care nu sunt ordonate și controlate de către organele de conducere ale punctului de lucru; în locurile ce prezintă pericol de incendiu focurile deschise se vor putea admite numai pe bază de permis de lucru cu foc și cu respectarea măsurilor specifice stabilite pentru fiecare caz în parte;

c) asigurarea cantităților de apă necesară, a mijloacelor de depozitare (bazine, rezervoare termoizolante etc.), a pompelor, a conductelor, furtunurilor etc., precum și a numărului prescris de panouri de incendiu, echipate complet cu stingătoare, nisip, unelte, furtunuri etc., și plasate corespunzător pe teren; se vor lăsa în acest sens măsuri de protecție a acestora împotriva înghețului și de întreținere în condiții de funcționare corespunzătoare;

d) interzicerea utilizării sobelor și burlanelor metalice în interiorul construcțiilor de lemn (baracamentelor), precum și controlarea apariției fisurilor la peretei și la tavane, la coșurile și la sobele din zidărie precum și în jurul racordării acestora și repararea imediată a defectiunilor constatate;

e) interzicerea folosirii instalațiilor electrice improvizate, care nu corespund normativelor în vigoare și a folosirii, în general, a reșourilor;

f) interzicerea amenajării în interiorul construcțiilor de bază, în curs de execuție, a unor baracamente din materiale combustibile sau spații pentru depozitarea și păstrarea de substanțe și materiale combustibile;

g) protejarea împotriva înghețului a instalațiilor, utilajelor, mașinilor și celorlalte mijloace de intervenție în caz de incendiu;

h) asigurarea în permanență a accesului mașinilor de intervenție în caz de incendiu la sursele de apă (rezervoare, bazine, hidranți exterioiri etc.);

i) dotarea sănătierului cu mijloace de alarmă în caz de incendiu (toacă metalică, sirene etc.);

j) realizarea de controale temeinice la terminarea lucrului, la toate locurile de muncă pentru depistarea și înălțarea imediată a oricărora nereguli care ar putea conduce la apariția unor incendii;

k) intensificarea instructajelor periodice ale întregului personal, la intervale mai dese decât în restul anului.

Protejarea obiectelor sistate

2.25. La obiectele la care se sistează activitatea de execuție în timpul iernii, șantierul este obligat să ia măsuri de protejare contra timpului friguros în aşa fel încât să fie asigurate condiții pentru conservarea calității lucrărilor executate și reluarea normală a activității, fără cheltuieli speciale de reparații sau refaceri.

În acest sens:

a) săpăturile la gropile de fundații se vor întrerupe cu minimum 0,50 m înainte de a ajunge la cota de fundare, iar taluzurile se vor asigura pentru a nu se produce surpări; gropile pentru fundații de stâlp se vor acoperi pentru ca apa să nu poată pătrunde în ele;

b) dacă fundațiile sunt deja executate se va degaja zăpada, gheața și noroiul din jurul acestora, și se vor executa umpluturile de pămînt respective, asigurîndu-se și scurgerea apei la șanțurile principale de colectare sau la canalizarea șantierului;

c) zidăriile pereților vor fi executate numai pînă la centura nivelului aflat în lucru, peste care se va aplica un acoperiș provizoriu: de asemenea, vor fi montate panouri de închidere a golurilor la toate ușile exterioare și ferestrele fiecărui etaj; atunci cînd, pînă la sistarea execuției s-a realizat și centura ultimului nivel al clădirii, se va monta acoperișul definitiv;

d) începînd din ziua sistării activității pe timp friguros, la un obiect, se vor aplica acestuia și materialelor depozitate în el toate măsurile de pază și securitate necesare pînă la reluarea lucrului.

3. PROIECTUL ANUAL PENTRU ORGANIZAREA LUCRĂRIILOR PE TIMP FRIGUROS

3.1. Proiectul anual pentru organizarea lucrărilor pe timp friguros va fi elaborat de constructor pînă cel tîrziu la data de 15.09. a anului curent. Proiectul se supune aprobării conducerii unității tutelare și se trimite la proiectant și la beneficiar pentru verificarea încadrării în devizul general al investiției pentru care se execută lucrarea.

Programul de măsuri pentru perioada de timp friguros

3.2. În vederea elaborării proiectului anual de organizare a lucrărilor pe timp friguros, pentru fiecare șantier, conducerea antreprizei stabilește, pe baza stadiului de realizare a graficului de execuție și a programelor de producție precum și a consultării responsabililor săi pe resoarte sau probleme, programul măsurilor pentru perioada de timp friguros. La unitățile unde există sub-antreprize, programul va fi întocmit cu participarea delegaților acestora.

La elaborarea acestui program se va ține seama de următoarele:

- crearea în timp util a fronturilor de lucru, potrivit specificului lucrărilor ce urmează a fi executate;
- închiderea definitivă sau provizorie a spațiilor în care se va desfășura activitatea;
- încălzirea spațiilor de lucru în condițiile legale;
- amenajarea și întreținerea căilor de circulație, platformelor, rampelor etc., prevăzîndu-se curățirea și presărarea lor cu materiale antiderapante;
- asigurarea de spații corespunzătoare de cazare.

Programul astfel întocmit este preluat în proiectul anual de organizare a lucrărilor pe timp friguros și după aprobare devine obligatoriu pentru antrepriză. Elaborarea programelor, conținînd măsuri concrete, termene și responsabili de îndeplinire, va fi îndrumată și coordonată de către unitatea tutelară, astfel ca, pe baza unui plan centralizat, să se poată asigura și controla realizarea din vreme a condițiilor necesare pentru continuarea activității la fiecare șantier.

3.3. Principalele elemente care trebuie cuprinse în programul de măsuri sunt următoarele:

- obiectele ce se vor începe, vor continua sau se vor termina în perioada de timp friguros conform graficelor de eșalonare a investițiilor aprobate;
- evidențierea lucrărilor ce urmează a se executa la fiecare dintre obiectele aprobate pentru continuarea realizării lor pe timp friguros, cu precizarea cantităților și eșalonării lor;
- rezolvarea, în condițiile specifice timpului friguros, a problemelor de aprovizionare, manipulare, transport, depozitare, conservare și distribuire a materialelor necesare activității de

execuție a obiectelor de construcții precum și activității din unitățile de producție auxiliară;

— extinderea utilizării elementelor prefabricate și a altor soluții tehnice moderne cum sunt: folosirea cimenturilor cu întărire rapidă, a aditivilor precum și a diverselor materiale noi cu eficiență sporită; folosirea tehnologiilor avansate de lucru, care conduc la scurtarea și ieftinirea execuției și permit ca lucrările să atingă mai repede calitățile prescrise;

— asigurarea materialelor și dispozitivelor auxiliare care se vor utiliza exclusiv la protecția termică a lucrărilor de bază;

— asigurarea, verificarea, adăpostirea, întreținerea și repararea utilajelor și mijloacelor de transport, destinate activității pe timp friguros;

— realizarea instalațiilor definitive și punerea lor în funcțiune prin racordarea la centralele provizorii de șantier, împreună cu rețelele și aparatele speciale pentru producerea și distribuirea căldurii la punctele de lucru, în condițiile precizate la cap. 4;

— asigurarea combustibililor și carburanților, pentru necesitățile tehnologice și cele utilitare, din șantier, a explozibililor, lubrifiantilor etc., în sortimentele și cantitățile corespunzătoare specificului și volumului producției planificate;

— redistribuirea sarcinilor și activităților necesare pentrudezapeziri, dezghețări, protecție termică a lucrărilor etc., potrivit cantităților de lucrări programate și eșalonării calendaristice a acestora;

— pregătirea și instruirea specială — introductivă și periodică — a cadrelor locale de execuție și de conducere pentru activitatea pe timp friguros, inclusiv precizarea temelor și specialiștilor ce vor face instruirea;

— dotarea muncitorilor, a punctelor de lucru și a altor puncte importante din șantier cu mijloacele de protecție și de intervenție necesare în cazuri de incendiu, inundații, prăbușiri de teren etc.;

— organizarea activității meteorologice prin laboratorul de șantier, constând din dotarea punctelor de lucru și a altor puncte principale din șantier cu termometre curente, asigurarea de termometre speciale pentru măsurarea temperaturilor materialelor și mixturilor, organizarea sistemului de informare previzională și ținerea la zi a evidenței meteorologice de șantier.

3.4. Realizarea programelor de măsuri aprobate și a eventualelor corecturi aduse acestora, în timpul aplicării lor pe teren, va fi controlată de către un colectiv care se va înființa la unitatea de antrepriză generală sub conducerea directorului tehnic cu urmărire producției sau a unui cadru cu funcție echivalentă — și în care vor fi incluși reprezentanți ai tuturor resoartelor de activități care au sarcini în executarea lucrărilor pe timp friguros.

Programarea lucrărilor de bază pentru timpul friguros

3.5. Lucrările de bază ce urmează a fi prevăzute în graficele de execuție pe timp friguros se vor programa în conformitate cu prevederile cap. 4 privind „Măsuri de folosire rațională a energiei și combustibilului”.

3.6. Programul lucrărilor de bază va conține cantitățile totale de executat la fiecare categorie de lucrări a unui obiect, cît și eșalonarea calendaristică respectivă pe toată perioada de timp friguros, pînă la realizarea cantităților și eliberarea echipelor de lucru și a mijloacelor de producție angajate la acest obiect.

3.7. Programul lucrărilor de bază va fi adus din timp la cunoștință celor responsabili de realizare atât prin expunerea și prelucrarea lui în ședințe de producție, cît și prin aplicarea lui la obiectul respectiv.

Conținutul proiectului anual pentru organizarea lucrărilor pe timp friguros

3.8. Proiectul anual pentru organizarea lucrărilor pe timp friguros se compune din următoarele piese:

a) Memoriu justificativ, care va analiza stadiul de încadrare în graficul general și în programul anual și va justifica din punct de vedere tehnico-economic modificările intervenite în volumul de lucrări a căror execuție se continuă sau se începe pe perioada de timp friguros, precizîndu-se condițiile avute în vedere la întocmirea programului (durata de timp friguros în funcție de situația locală, de date statistice și de previziunile meteorologice, temperaturile minime și adîncimile maxime de îngheț prevăzute, mijloace ce vor fi folosite, etc.). Memoriul va cuprinde justificarea solu-

țiilor adoptate pentru amenajările, instalațiile, dispozitivele etc., necesare aplicării metodelor speciale de lucru, inclusiv breviarul calculelor termotehnice, precum și indicații pentru aplicarea metodelor speciale de lucru.

b) Programele calendaristice pentru activitatea pe timp friguros menționate la pct. 3.1—3.5 .

c) Fișele tehnologice pentru executarea pe timp friguros a lucrărilor pentru care temperaturile critice prevăzute în Normativ, trebuie să se realizeze prin tehnologii sau măsuri speciale.

d) Evaluarea cheltuielilor suplimentare necesare pentru executarea lucrărilor pe timp friguros în conformitate cu prevederile Legii 9/1980 și a Normativului P 91-83.

e) Planul de situație cu organizarea teritoriului șantierului în care se vor indica amenajările, construcțiile, rețelele și instalațiile speciale necesare executării lucrărilor în perioada de timp friguros; dacă se consideră necesar, se vor mai întocmi și următoarele piese:

— schitele de execuție pentru cazurile simple, respectiv proiectele de execuție pentru cazurile mai complexe, privind amenajările, dispozitivele etc., necesare aplicării unor metode speciale la executarea lucrărilor pe timp friguros;

— planul de sistematizare pe verticală a terenului șantierului, care să rezolve problema surgerii apelor provenite din topirea gheții și zăpezii și a celor din precipitații sau infiltrării, precum și amenajarea corespunzătoare a căilor de transport pentru perioada de timp friguros;

— eșalonarea necesarului de forțe de muncă pentru perioada de timp friguros, care se întocmește pe baza graficului general de eșalonare a executării lucrărilor, ținându-se seama de productivitatea micșorată a muncitorilor în această perioadă precum și de activitățile auxiliare impuse de condițiile specifice de iarnă.

3.9. Beneficiarul, proiectantul și executantul trebuie să conlucreze strâns la stabilirea tuturor măsurilor necesare, potrivit sarcinilor concrete de producție ce revin șantierului, urmărindu-se și respectarea de către constructor a termenelor legale de precizare cu anticipație a necesităților de materiale dirijate, de utilaje, mijloace de transport și forțe de muncă, de încheiere a contractelor de furnizare aetc.

4. MĂSURI DE FOLOSIRE RAȚIONALĂ A ENERGIEI ȘI COMBUSTIBILULUI LA REALIZAREA CONSTRUC- ȚIILOR PE TIMP FRIGUROS

4.11 La elaborarea proiectelor de execuție se vor adopta soluții tehnice și grafice de eșalonare a investițiilor care să asigure continuitatea activității organizațiilor de execuție în condițiile prevăzute de Legea nr. 9/1980 (art. 5 alin. 4, art. 56) și actele normative ce explicitează prevederile acesteia (Ordinul Consiliului de Miniștri nr. 62/1982) fără încălcarea prevederilor din prezentul Normativ privind asigurarea calității.

În acest sens:

a) se interzice executarea pe timp friguros a tuturor lucrărilor de construcții sau instalații care necesită pentru asigurarea calității măsuri speciale ce conduc la consumuri de combustibili sub formă de hidrocarburi;

b) se interzice executarea pe timp friguros a îmbrăcăminților asfaltice la drumuri; lucrările de reparare a drumurilor cu îmbrăcămînti asfaltice se pot executa și în perioada de timp friguros numai cu tehnologii la rece și cu mixturi stocate.

4.2. Pentru asigurarea calității lucrărilor de construcții montaj executate pe timp friguros se pot folosi combustibili, exclusiv hidrocarburi, numai pentru obiective prioritare, nominalizate prin acte normative emise de Biroul Executiv al Consiliului de Miniștri, la propunerea temeinic fundamentată a ministerelor, celoralte organe centrale și consiliilor populare județene și al municipiului București.

4.3. Pentru alte obiective decât cele precizate la pct. 4.2, se vor programa pentru a fi executate pe timp friguros numai lucrări în spații închise sau acele lucrări exterioare care nu necesită consumuri de combustibili pentru încălzire.

a) Se vor avea în vedere pentru a fi executate pe timp friguros: săpături, construcții din lemn sau metalice, montări de elemente prefabricate, de instalații conducte metalice și de beton, montări de utilaje, lucrări subterane, rețele, fundații și compacări de adâncime, învelitori, lucrări de tinichigerie, izolații termice, suduri, realizarea diferitelor elemente de construcție în atelierele bazelor de producție, lucrări de reparare a drumurilor cu îmbrăcăminți asfaltice, dar numai cu tehnologii la rece și cu mixturi asfaltice etc.

b) Nu se vor prevedea pentru a fi executate pe timp friguros lucrări ce se execută prin procese umede ca: turnări de betoane (cu excepția celor prevăzute la pct. a), tencuieli, pardoseli, zugrăveli, placaje, îmbrăcăminte rutiere cu lianți hidraulici, îmbrăcăminte asfaltice la drumuri (cu excepția celor menționate la pct. a) și altele.

c) Se interzice folosirea combustibilului pentru încălzirea spațiilor de lucru, dacă acesta folosește exclusiv executării lucrărilor de construcții-montaj.

4.4. Se exceptează de la prevederile pct. 4.3. b și c lucrările la care se folosesc pentru încălzire pe timp friguros resurse energetice secundare rezultate din procesele de fabricație ale unor obiective industriale, alte resurse neutilizate ale acestora sau orice surse de energii neconvenționale.

4.5. Se vor respecta cu strictețe termenele stabilite pentru asigurarea executantului cu documentație și mijloace tehnico-materiale de producție, astfel ca nici unul din obiectele a căror execuție este prevăzută în sezonul călduros să nu întâmpine întîrzieri de natură să-i prelungescă execuția și în perioada de timp friguros.

4.6. În cazul obiectivelor ce se încadrează în condițiile menționate la pct. 4.4, prevăzute cu centrală termică și instalații proprii de încălzire centrală, se va prevedea în graficele anuale realizarea cu prioritate a acestor centrale și instalații, astfel ca ele să poată intra în funcțiune, fie și cu capacitate redusă, înainte de apariția sezonului friguros în zona în care este situat șantierul.

4.7. În întreaga perioadă de timp friguros lucrările de beton se vor executa numai pe baza unor regimuri termice evidențiate în proiectul anual de organizare a lucrărilor pe timp friguros conform prevederilor din cap. 8.

Proiectanții vor acorda șantierelor, la cerere, asistență tehnică necesară adaptării regimurilor termice prevăzute în proiectul de organizare, la condițiile efective de realizare pe timp friguros a lucrărilor.

Se va evita executarea în perioada de timp friguros a pieselor subțiri din beton, turnate monolit, care necesită măsuri dificile și prelungite de protejare termică.

4.8. Antrepriza va lua măsuri care să asigure, pentru fiecare brigadă, funcționarea în sezonul friguros a unor sisteme organi-

zate de folosire a căldurii, energiei și combustibilului, atât pentru nevoile producției cît și pentru activitatea administrativă și social culturală.

Se vor interzice cu severitate orice improvizări care contravin atât măsurilor de economisire a energiei cît și a normelor de prevenire și stingere a incendiilor.

4.9. Conducerile antreprizelor și brigăzilor vor veghea cu strictețe la utilizarea cît mai economicoasă a iluminatului de interior și de exterior, reducindu-l la strictul necesar, atât ca intensitate cît și ca durată.

5. EVIDENȚA ACTIVITĂȚII PE TIMP FRIGUROS

5.1. La fiecare punct de lucru se va ține cu strictețe evidența lucrărilor executate în perioada de timp friguros urmărindu-se în mod special realizarea calității acestora.

5.2. În vederea evidențierii condițiilor climatice generale în care s-au desfășurat lucrările, se va institui pentru perioada convențională de timp friguros la fiecare punct de lucru, stație de beton, bază de producție, etc., un *registru meteorologic* în care se vor înregistra zilnic:

a) temperatura aerului, măsurată în condițiile precizate la pct. 1.3.;

b) regimul vînturilor (direcție, intensitate, durată);

c) precipitațiile (ploaie, lapoviță, ninsoare-intensitate, durată);

d) starea terenului (neînghețat, uscat, noroios, înghețat cu sau fără polei, înzăpezit, etc.);

e) nivelul apei curgătoare — numai la punctele de lucru din vecinătatea acestora și numai în perioadele de dezgheț.

5.3. Controlul calității lucrărilor de betoane și mortare se va efectua în conformitate cu „Sistemul de evidență în activitatea de control tehnic al calității construcțiilor“, cu următoarele precizări:

a) Se vor completa cu deosebită grijă datele specifice perioadei de timp friguros prevăzute în formularile tipizate și anume:

— bon de livrare transport primire-beton (Cod 911-101-f), în care se înregistrează pe verso temperatura mediului și cea a betonului în momentul descărcării din mijlocul de transport;

— condica (evidența betoanelor turnate" (Cod 9-14-102) — înregistrează temperatura aerului exterior (col. 6) și cea a betonului (col. 7) la terminarea punerii în operă, precum și modul de protejare a betonului în col. 14 (Evenimente intervenite în timpul betonării). În col. 12 se va înregistra în cazul controlului calității betonului prin gradul său de maturizare, numărul fișei pentru controlul gradului de maturizare care înlocuiește în acest caz buletinul de încercări nedistructive.

5.4. Fișa pentru controlul gradului critic de maturizare M_k sau a gradului de maturizare pentru decofrare M_δ (Anexa B_2) se întocmește la punctul de lucru prin înregistrarea temperaturilor măsurate conform prevederilor din cap. 8, pct. 8.26 și calculul direct în fișă a gradului de maturizare echivalent temperaturii normale de $+20^\circ\text{C}$, conform indicațiilor din anexa B , pct. 2.

5.5. Controlul și evidența calității lucrărilor de sudură executate pe timp friguros se vor organiza cu respectarea prevederilor din prescripțiile tehnice specifice, din condițiile tehnice speciale și din „Sistemul de evidență în activitatea de control tehnic al calității construcțiilor”, folosindu-se formularele:

— proces verbal de prelevare a probelor de sudură (Cod 9-12-102/b);

— proces verbal de recepție a lotului de armături sudate (Cod 9-11-101/e).

În aceste documente se va face în mod expres mențiunea că verificările se referă la lucrări executate pe timp friguros.

De asemenea, autorizația de lucru a sudorilor (Cod 9-17-104) va conține în mod explicit mențiunea că aceștia sunt autorizați să execute suduri pe timp friguros în condițiile prevăzute de prescripțiile tehnice specifice.

PARTEA II-a

PREVEDERI SPECIALE PE CATEGORII DE LUCRĂRI

6. LUCRĂRI DE PĂMÎNT

Indicații generale

6.1. Stabilirea măsurilor tehnico-organizatorice de executare a lucrărilor de pămînt la orice obiect trebuie să fie precizată prin proiectul de execuție, pe baza rezultatelor studiului geotehnic efectuat pentru obiectul respectiv. Conducerea unității de execuție trebuie totodată să țină seama de situația climatică reală din perioada executării lucrărilor de pămînt.

6.2. Proiectantul va adopta adâncimea de îngheț, conform prevederilor din STAS 6054-77 „Terenul de fundație. Adâncimea de îngheț“. Dacă localitatea în care se află șantierul nu figurează în lista localităților din standard, se va adopta adâncimea de la localitatea cea mai apropiată, menționată în listă. În cazuri de dubiu, adâncimea de îngheț se va stabili prin sondaje la fața locului.

Pentru săparea stratului de pămînt supus înghețului se poate adopta fie metoda protejării preventive fie aceea a afinării stratului înghețat.

Tabelul 6.1.

| Natura terenului | Valoarea coeficientului „k” pentru: | | | | | | |
|-------------------|-------------------------------------|-------|---------|--------------|-------|--------|---------------|
| | frunze | talas | rumeguș | Zgură uscată | umedă | Afinat | Pămînt indes. |
| Nisip păros | 3,3 | 3,2 | 2,8 | 2,0 | 1,6 | 1,4 | 1,12 |
| Nisip argilos fin | 3,1 | 3,1 | 2,7 | 1,9 | 1,6 | 1,3 | 1,08 |
| Argilă nisipoasă | 2,7 | 2,6 | 2,3 | 1,6 | 1,3 | 1,2 | 1,06 |
| Argilă | 2,2 | 2,1 | 1,9 | 1,3 | 1,1 | 1,2 | 1,00 |

Protejarea preventivă a pămînturilor contra înghețului

6.3. Măsurile ce trebuie luate în acest scop, sunt următoarele:

a) Acoperirea suprafeței pămîntului cu vreascuri, paie, gunoi, bălegar, stuf, rogojini, talaș, turbă, zgură etc. Acestea vor fi îndepărtați numai în ziua săpării și numai pe porțiunea strict necesară pentru acest lucru, în funcție de mijloacele de săpare folosite și de intensitatea frigului.

b) Menținerea stratului de zăpadă depus pe pămînt și chiar favorizarea îngroșării lui la ninsorile următoare folosind, dacă este nevoie, garduri de nuiere, panouri de lemn, diguri de pămînt etc., care să ușureze înzăpezirea. Înălțimea gardurilor, pancurilor și digurilor va fi de 0,4...0,5 m; ele se vor așeza pe mai multe rînduri paralele, la distanțe de 4...7 m și vor fi orientate perpendicular pe direcția vînturilor dominante. În cazul în care se produc ninsori stratul existent de zăpadă va fi acoperit cu materialele arătate la lit. a.

c) Acoperirea cu frunze, talaș, rumeguș etc., pentru protejarea fundului sănăturiilor sau gropilor de fundație, la care execuțarea săpăturilor s-a sistat sau a ajuns la cota finală înainte de apariția frigului și urmează a se executa celelalte lucrări (pozarea de conducte, turnarea betonului etc.).

Grosimea minimă, în metri, a stratului termoizolant „h” se determină cu formula:

$$h = \frac{H}{k} \quad (6.1)$$

în care:

H — reprezintă adâncimea maximă locală de îngheț, în m;

k este un coeficient în funcție de natura terenului și aceea a materialului termoizolant, având valorile din tabelul 6.1.

d) În cazul în care terenul care urmează a fi săpat este acoperit cu tufișuri, arbuști etc., această vegetație favorizează reținerea zăpezii, astfel că terenul nu va fi defrișat decât în ziua când începe execuțarea săpăturilor, și numai pe porțiuni minime, strict necesare lucrului.

Afinarea pămîntului înghețat

6.4. Metoda se aplică la pămînturile înghețate pe adâncime și constă în spargerea și afinarea mecanică sau manuală a stratului înghețat, pentru a ușura fie evacuarea lui, fie păstrarea pe loc ca acoperire de protecție pentru straturile mai adânci, în situația cînd sînt de așteptat geruri puternice care ar putea provoca înghețarea pămîntului pe adâncimi mai mari.

a) Desfacerea stratului de pămînt înghețat pe cel mult 25 cm adâncime se face de regulă cu scarificatoare obișnuite.

b) La grosimi de pămînt înghețat mai mari de 25 cm se vor folosi unele pneumatice sau alte instalații mecanice pentru spargere.

Acolo unde situația locală permite, se pot utiliza excavatoare cu cupă, fără alte dispozitive speciale. Ele pot dizloca pămînturi înghețate pînă la 40 cm adâncime. Peste această adâncime, se monteză dispozitive speciale (berbeci, pene etc) de diverse greutăți care, prin cădere odată cu sapa, pot desface straturi înghețate pînă la 80 cm.

c) Atunci cînd grosimea stratului înghețat este mai mare de 80 cm, iar sub acesta trebuie să se sape un strat gros de pămînt neînghețat, se recurge la dislocarea pămîntului cu ajutorul explozibilor.

Executarea săpăturilor pe timp friguros

6.5. Executarea săpăturilor se va începe imediat după dezghețarea naturală sau afinarea stratului superficial, astfel ca să se evite o nouă înghețare a suprafeței lui, înainte de săpare și în special înainte de turnarea unor fundații.

La săpăturile cu epuismente apă pompată va fi îndepărtață imediat, pentru a nu se forma gheață în jurul punctului de lucru.

Utilajele pentru executarea săpăturilor pe timp friguros: excavatoare, scarificatoare, buldozere etc., vor trebui examineate cu atenție la terminarea sau întreruperea lucrului curățindu-se de resturile de pămînt, întregul sistem de transmisie și deplasare.

Transportul pămîntului pe timp friguros

6.6. Transportul pămîntului săpat pe timp friguros trebuie să se termine înainte de a începe să înghețe. În acest sens se vor respecta la organizarea lucrărilor duratele disponibile prevăzute în tabelul 6.2.

Tabelul 6.2.

| Temperatura aerului (°C) | Timpul de începere a înghețării pămîntului (minute) |
|--------------------------|-----------------------------------------------------|
| - 5 | 90 |
| - 10 | 60 |
| - 15 | 50 |

Transportul pămîntului trebuie făcut pe distanțe cât mai scurte, cu evitarea totală a staționării pe traseu a mijloacelor respective de transport.

La transportul pămîntului pe timp friguros, vehiculele se vor curăța bine de pămînt după fiecare descărcare.

6.7. Căile pe care se deplasează vehiculele de transport vor fi amenajate și întreținute în mod special pentru lucrul pe timp friguros.

a) Căile rutiere vor fi amenajate în măsura posibilităților pe traseele și la cotele drumurilor interioare definitive, cu precizarea că acestea trebuie să aibă o capacitate portantă corespunzătoare traficului cu autocamioanele folosite la transportul pămîntului.

În funcție de sensibilitatea la îngheț a terenului se vor realiza pentru drumuri fundații stabile, folosind blocaje de piatră, plăci de beton etc.

Canalizarea se va menține în stare de funcționare, iar în lipsa acesteia se va asigura scurgerea apelor prin șanțuri de suprafață.

Suprafața carosabilă va fi curățată de zăpadă și presărată cu materiale antiderapante

b) Căile ferate de transport vor fi întreținute prin curățarea zăpezii de pe traseu, în special în zona ramificațiilor și plăcilor turnante care vor fi menținute dezghețate prin presăratore cu sare industrială, aprovizionată și depozitată în cantități suficiente în zona acestora.

Executarea umpluturilor pe timp friguros

6.8. Umpluturile se pot executa și compacta pe timp friguros prin mijloace mecanice sau manuale, în funcție de specificul și volumul lucrărilor prevăzute în proiect pentru perioada respectivă, dacă se respectă următoarele condiții:

| Procesul tehnologic și condiții de realizare | Regim termic critic | |
|------------------------------------------------------------------------------------------------|---------------------|----------------------------------|
| | Temperatură | Durata |
| a. Săparea, transportul, aşternerea în umplutură și compactarea pămîntului neînghețat | + 1° | Durata totală de execuție |
| b. Săparea pămîntului pentru așezarea în umplutură, din zone în care terenul nu este înghețat. | + 1° | Durata de săpare |
| c. Așezarea pămîntului de umplutură pe teren sau pe stratul inferior neînghețat. | + 1° | În momentul aşternerii stratului |

6.9. La executarea umpluturilor de pămînt pe timp friguros în spații înguste se vor lua și următoarele măsuri organizatorice:

a) la atingerea temperaturilor critice menționate la pct. 6.8 executarea umpluturilor se oprește luându-se măsuri de protejare atât a suprafețelor decapate cât și a celor realizate prin umplutură;

b) toată activitatea de executare și de compactare a umpluturilor trebuie să fie concentrată pe porțiuni mici de teren și să se desfășoare pe baza unei organizări cât mai judicioase, care să fie respectată cu rigurozitate; această activitate trebuie să se efectueze; pe cît posibil, fără intrerupere, astfel ca la sfîrșitul zilei de lucru porțiunea de lucrare stabilită să fie complet terminată; se pot face unele întreruperi locale de pe o zi pe alta numai în cazurile cînd există certitudinea absolută că peste noapte nu vor interveni nici precipitații, nici scăderi periculoase de temperatură;

c) la aşternerea și compactarea pămîntului se vor evita pe cît posibil pauzele în execuție; aşternerea pămîntului se va face în straturi subțiri (max. 20 cm) și va alterna cu compactarea lor;

d) indiferent de temperatura aerului, lucrările de umpluturi se vor opri complet pe timp de ploaie sau ninsoare, spre a nu se permite acumularea unui exces de apă în corpul umpluturilor;

e) umpluturile executate pe timp friguros trebuie apărate prin șanțuri și diguri împotriva spălării ce ar putea fi provocată de precipitații; de asemenea, la terminarea dezghetului, aceste umpluturi vor fi controlate cu atenție și se vor lua imediat măsuri de remediere a defectelor ce eventual s-au produs;

f) umpluturile între fundațiile stîlpilor izolați pentru care s-a făcut o săpătură comună, umpluturile dintre fundații și pereti săpăturii și umpluturile la șanțuri se vor efectua numai cu pămînt sau balast.

6.10. Compactarea pămînturilor aşternute în umpluturi pe timp friguros se va realiza cu mijloace normale de compactare, cu condiția ca operația să nu se execute pe timp de precipitații (ploaie, lapoviță, ninsoare), care modifică mult umiditatea pămînturilor față de cea optimă necesară compactării.

Executarea rambleelor

6.11. Ca reguli principale de respectat la executarea rambleelor — fie prin mijloace manuale, fie prin mijloace mecanizate — se enumera următoarele:

a) evitarea folosirii în ramblee a pămînturilor coeziive, recomandindu-se rocile pietroase, piatra brută sau spartă, bolovanii, balastul, prundișurile, nisipurile și diversele varietăți de pămînturi argiloase-nisipoase; în cazurile cînd folosirea pămînturilor coeziive nu poate fi evitată, acestea trebuie să fie puse în lucrare cu un conținut cât mai redus de apă, căci altfel apa din pori produce o suprapresiune care poate deveni periculoasă pentru stabilitatea rambleului;

b) așezarea pămîntului în rambleu se va face în straturi de grosime corespunzătoare caracteristicilor utilajului de compactare, astfel ca să se asigure, imediat după aşternere, posibilitatea de nivelare și compactare;

c) în cazul cînd executarea unui rambleu trebuie să fie întreruptă, de pe o zi pe alta sau pentru mai multe zile — înainte de a se fi ajuns la cota finală a rambleului, — aşternerea unui nou strat de umplutură se va face numai după îndepărtarea sau dezghețarea completă a stratului înghețat, cu precizarea că dacă în urma dezghețării rezultă o cantitate de apă ce poate fi periculoasă pentru lucrare, aşternerea straturilor următoare va fi amînată pînă la evaporarea apei sau dirijarea ei către canalizarea șantierului;

d) materialul de umplutură va fi recoltat din straturi uscate situate deasupra pînzei freatică sau drenate; nu se vor pune în umplutură bulgări sau sloiuri de pămînt înghețat; acestea trebuie neapărat să fie sfârimate complet înainte de aşternere; restricția trebuie respectată cu extremă grijă în special la rambleele de cale ferată și șosea, la digurile de pămînt ce suportă presiuni, cum este cazul la stăvilare, baraje, la umpluturile dintre pereti ecluzelor, la diversele umpluturi de etanșeitate, la sferturile de con ale podurilor, la umpluturile din spatele zidurilor de sprijin, percurilor etc., chiar dacă compactarea pămînturilor se face cu mijloace mecanice;

e) toate rambleele executate pe timp friguros cu pămînt expus înghețării vor avea o suprafnăltare, peste înălțimea dată în proiect, astfel ca, prin tasare, care este mai pronunțată în condițiile de umiditate sporită, partea superioară a umpluturii să ajungă la cota finală prevăzută în proiect; această suprafnăltare se stabilește de proiectant pe baza avizului geotehnic și se precizează în proiectul lucrărilor programate pentru perioada de timp

friguros; constructorul se poate orienta și după datele informative din tabelul 6.3. potrivit naturii pământului folosit în ramblee:

Tabelul 6.3.

| Natura pământului folosit în ramblee | Suprainălțarea în procente față de înălțimea finală a rambleului prevăzută în proiect |
|--------------------------------------|---------------------------------------------------------------------------------------|
| Pământuri nisipoase, pietroase, etc. | 12% |
| Pământuri argiloase, marne, etc. | 15% |

în nici un rambleu nu se va executa pe pământ înghețat, deoarece baza lui devine nestabilă în timpul dezghețului, putând compromite omogenitatea și chiar stabilitatea întregului rambleu; în asemenea cazuri este obligatoriu ca terenul pe care se așeză rambleul să fie menținut dezghețat conform pct. 6.3. sau să se aștepte dezghețarea lui naturală.

Procedee de compactare a umpluturilor

6.12. Compactarea se face în spații înguste, folosindu-se maiuiri obișnuite de mână, maiuiri electrice sau mecanice (tip „broască”), vibropile, plăci vibratoare de compactat etc; în spații largi compactarea trebuie să se realizeze cu ajutorul utilajelor rutiere de compactat (cilindre compresoare cu față netedă autopropulsate, cilindre cu proeminențe tip „picior de oaie” tractate cu mijloace auto, compactare vibratoare, compresoare pe pneuri etc.).

Un alt procedeu de compactare, suficient de economic și deosebit de eficient — și care se află, în general, la dispoziția oricărui șantier — constă în dirijarea circulației auto de șantier chiar pe rambleele aflate în curs de execuție. Aceste procedee, care poate fi aplicat în condiții organizatorice ușoare, mai ales la lucrările de drumuri, căi ferate, baraje de pământ etc., se aplică, aproape cu aceeași eficiență, folosind fie vehicole cu roți

pe pneuri lestate prin încărcarea lor cu pămînt sau alte materiale, fie diverse utilaje grele prevăzute cu senile (tractoare, buldozere etc.).

6.13. Pentru lucrări de terasamente caracterizate prin cantități, suprafețe și înălțimi mari se vor respecta și condițiile care rezultă din caietele de sarcini sau documentațiile întocmite de proiectanții de specialitate.

7. FUNDĂȚII ȘI CONSTRUCȚII SUB NIVELUL TERENULUI

7.1. La executarea pe timp friguros a fundațiilor și a celorlalte construcții sub nivelul terenului se vor lua măsuri specifice, diferențiate pe grupe de lucrări, care să asigure respectarea următoarelor condiții: (vezi tabel pag. 40)

Fundații de suprafață

7.2. La executarea fundațiilor de suprafață (continue, tălpi izolate, radiere etc.), este interzisă așezarea lor pe teren înghețat ori cu grad sporit de umiditate rezultat dindezgheț sau din precipitații atmosferice, spre a se împiedica producerea de tasări inegale ale ansamblului fundației, evitindu-se astfel apariția de solicitări suplimentare ce pot periclită construcția.

Problema se pune la fel și pentru fundațiile de mașini care lucrează în regim de vibrații și cărora trebuie să li se asigure o comportare perfectă în condițiile în care sunt folosite.

7.3. În cazul fundațiilor executate la clădiri sau alte construcții exterioare ce sunt prevăzute cu trotuare se vor lua măsuri de executare a trotuarelor imediat ce fundațiile au fost realizate pînă deasupra cotei terenului, spre a împiedica pătrunderea în fundație a apelor de suprafață provenite din ploi sau dezgheț, care produc degradarea fundațiilor.

| Grupa de lucrări | Procesul tehnologic și condiții de realizare | Regim termic critic | |
|-------------------------------|-----------------------------------------------------------------------------------------------------------------------|---------------------|---------|
| | | Temperatura | Durata |
| Fundății de suprafață | a) Săparea gropilor pentru fundații | | cap. 6 |
| | b) Prepararea, transportul, punerea în operă a betonului și protejarea elementului în perioada critică de maturizare. | | cap. 8 |
| | c) Săparea, transportul, împrăștirea și compactarea pământului în umpluturi. | | cap. 6 |
| Fundății de adâncime | a) Săparea, forarea. | | cap. 6. |
| | b) Prepararea, transportul, punerea în operă a betonului și protejarea elementului în perioada critică de maturizare. | | cap. 8. |
| Conducte și cabluri subterane | a) Săparea șanțurilor. | | cap. 6 |
| | b) Pozarea conductelor metalice | | cap. 12 |
| | c) Probele de presiune cu apă la conducte | 5° | 72 h |
| | d) Pozarea cablurilor electrice | | cap. 18 |
| | e) Manipularea și pozarea cond. PVC | | cap. 18 |
| Canaile și lucrări aferente | a) Săparea șanțurilor | | cap. 6 |
| | b) Executarea canalelor din beton | | cap. 8 |
| | c) Executarea canalelor din zidărie | | cap. 10 |
| | d) Tencuieli, etansări | | cap. 13 |
| | e) Izolări | | cap. 15 |

Fundații de adâncime

7.4. La executarea acestor lucrări se va ține seama și de prevederile din „Normativ privind alcătuirea și executarea piloților pentru fundații” C. 160-75.

7.5. Piloții turnați la fața locului la care fața superioară a betonului se află la o adâncime mai mare de 1 m de la suprafața platformei de lucru, se vor proteja după formarea lor prin umplerea străpungerii din teren cu pămînt ușor compactat.

Piloții la care fața superioară a betonului se află la o adâncime mai mică de 1,00 m de la suprafața platformei se vor proteja suplimentar conform prevederilor din cap. 8. Dacă există temeri că betonul ar fi putut să înghețe în zona capului piloților, se va verifica atent starea betonului la piloții suspectați, după execuția săpăturii de fundație.

Fundația respectivă nu se va turna decât după consumarea prin proces-verbal între constructor și beneficiar a rezultatului acestei verificări. Dacă se va constata degradarea betonului din capul pilotului se va cere avizul proiectantului asupra măsurilor de luat.

După terminarea betonării și întărirea suficientă a fețelor laterale ale blocului de beton, se vor scoate cofrajele și sprijinurile respective și se va proceda la umplerea gropii cu pămînt care se va compacta în straturi de cîte 20 cm grosime.

Conducte și cabluri subterane

7.6. În timpul iernii se pot executa orice fel de lucrări privind pozarea de conducte și cabluri, însă cu respectarea măsurilor prevăzute la pct. 7.1.

7.7. Nu se vor monta tuburi în șanțuri în care se află apă, ci numai după evacuarea sau evaporarea acesteia, în care caz se va evacua și stratul de pămînt înmuiat, care va fi înlocuit cu nisip pilonat.

7.8. Pe plan organizatoric se fac următoarele precizări cu caracter comun, pe lîngă cele prevăzute la pct. 2.6.:

— piesele prefabricate se vor depozita pe calaje de lemn, stivuindu-se separat, la mici distanțe între ele, astfel încît să

nu se lipească una de alta, spre a evita atât pericolul înghețării la zona de lipire cît și efectuarea de manevre inutile;

— conductele de azbociment sosite pe șantier în perioada 15 noiembrie — 15 martie vor fi depozitate în aşa fel încât să fie ferite de intemperii în perioadele de timp friguros, spre a nu fi expuse ciclurilor de îngheț-dezgheț; în acest scop, ele vor fi acoperite cu folii de polietilenă sau adăpostite sub șoproane; nu se admite curățirea cu ranga a gheții sau a pământului înghețat;

— piesele de îmbinare pentru conducte se vor depozita în spații ferite de îngheț și protejate împotriva oricăror posibilități de a putea fi degradeate sau murdărite;

— se vor aproviziona din vreme panouri și dispozitive suficiente de acoperire pentru protecția locală, asigurîndu-lsă și un spațiu corespunzător de depozitare;

— toate sprijinirile, rigidizările și consolidările se vor controla permanent, mai ales după perioadele de ploi sau ninsori neurmăte de îngheț, precum și în perioadele de dezgheț, și se vor lua măsuri de întărire imediată a lor.

7.9. Cind șanțurile se execută în terenuri sensibile la îngheț, ele se vor realiza de la început cu taluze cu pantă mai mică, spre a le preveni prăbușirea la apariția dezghețului.

În cazurile cînd unele porțiuni de șanțuri trec pe lîngă alte construcții exterioare, deja executate, se va avea grija să nu se dezvelească fundațiile acestora și să nu li se micșoreze grosimea stratului de pămînt de protecție, mai ales cînd acesta este nestabil la îngheț; în asemenea cazuri se va limita ampriza săpăturilor înspre fundațiile construcților la strictul necesar, iar evenualele taluze verticale ce vor rezulta se vor sprijini cu dulapi sau chiar cu palplanse bine spraijuite.

7.10. La conductele îmbinate cu garnituri de cauciuc se vor asigura condițiile de la pct. 18.3 și se vor lua următoarele măsuri:

— depozitarea garniturilor în locuri uscate;
— curățirea mufelor de gheață și uscarea lor cu un jet de aer cald;
— montarea imediată a garniturilor.

7.11. Pentru a apăra fundul gropii la șanțurile deschise se poate apela la unul din următoarele procedee:

— cablurile sau tuburile se pozează imediat ce s-a ajuns la cota finală și se acoperă în aceeași zi cu pămînt pe toată adîncimea, de către echipe speciale ce vin în urma echipei de pozare;

— se lasă nesăpat un strat de pămînt de circa 20 cm, care urmează a fi săpat în ziua pozării conductelor, procedîndu-se apoi ca la alineatul precedent; în cazul cînd starea timpului se înrăutățește brusc în ziua pozării, se va renunța la decaparea acestui strat pe restul traseului, acoperîndu-se corespunzător contra înghețului;

— dacă s-a ajuns pe vreme bună la cota finală a săpăturilor dar, din diverse motive, pozarea conductelor trebuie amînată pentru mai tîrziu, fundul șanțului va fi apărat de înghețarea ce poate interveni, prin acoperirea cu materiale de protecție.

7.12. Piezile de căptușire și de sprijinire a taluzelor verticale se vor dimensiona la sarcini sporite pentru a se ține seama de solicitările suplimentare ce iau naștere în urma umflării pămîntului înghețat și a micșorării unghiului de frecare a terenurilor nestabile la îngheț.

Executarea acestor căptușiri și a sprijinirilor respective trebuie făcută în strictă conformitate cu prevederile proiectului.

7.13. Conductele vor fi pozate nunai pe suprafețe curătate de zăpadă și de stratul înghețat, după ce s-a așternut în prealabil un pat de nisip.

Dacă înghețul a pătruns pînă la fundul șanțului, dar pozarea conductelor trebuie neapărat să continue, neputîndu-se aștepta dezghețarea naturală a terenului, se va îndepărta stratul de pămînt înghețat.

Această operație se va face pe porțiuni, de către echipe speciale care preced imediat echipa ce pozează conductele. Lungimea acestor porțiuni și ritmul de pregătire a lor vor fi coordinate cu lungimile tronsoanelor de conducte aduse lîngă șanț, în vederea lansării și pozării, și cu ritmul posibil de realizat de către echipa de pozare.

Capetele conductelor trebuie să fie menținute în stare uscată și curată; ele vor fi apărate cu grija de pătrunderea zăpezii, spre a se putea realiza o îmbinare etanșă.

7.14. Înainte și după pozarea conductelor trebuie să se ia măsuri de protecție pentru a împiedica fundul șanțului să se deformeze din cauza înghețului și a presiunilor ce le primește

de la conducta instalată. După pozarea definitivă, a conductelor ele vor fi acoperite cît mai repede cu pămînt.

Toate mașonările se vor executa numai sub acoperiri locale de protecție.

7.15. La pozarea pe timp friguros a diverselor feluri de conducte se va ține seama de următoarele indicații:

— manevrarea conductelor metalice de presiune și a fitin-gurilor trebuie făcută cu multă atenție, deoarece în condițiile de ger ele pot deveni casante;

— la executarea lucrărilor de sudură se vor respecta indicațiile de sudare sub temperaturi scăzute, date la Cap. 12 din prezentul normativ;

— îmbinările metalice ale conductelor se vor etanșa numai la adăpost de efectele înghețului; de aceea mufele și ajutajele se vor preincălzi;

— conductele în pantă, care sunt deosebit de sensibile la deformațiile fundului gropii produse de îngheț, trebuie să fie în final pozate la cota din proiect, pentru a se putea realiza pantă generală prescrisă;

— la etanșarea mufelor pe timp friguros nu se vor folosi mixturi fierbinți deoarece, din cauza degajării substanțelor volatile din masa acestora, umplerea completă a rosturilor devine problematică; este preferabil să se folosească mixturi călduțe și să se preincălzească mufele;

— cuzineții de sprijinire și mașoanele de beton ale conductelor se vor executa cu respectarea măsurilor de protecție date în prezentul capitol la betoanele de fundații.

7.16. La manevrarea cablurilor electrice și la executarea operațiilor de montare și execuție se vor respecta condițiile referitoare la temperatura minimă a mediului ambiant și temperatura minimă a cablului, indicate de producători și în prescripțiile tehnice în vigoare;

— Normativ pentru proiectarea și execuția rețelelor de cabluri electrice (PE 107-78) și

— Normativ privind proiectarea și executarea instalațiilor electrice la consumatori, cu tensiuni pînă la 1 000 V (I.7-78).

De asemenea, se va avea în vedere ca în momentul pozării cablurilor acestea să aibă o temperatură proprie prevăzută la pct. 18.7.

Canale și lucrări aferente

7.17. Înainte de apariția sezonului friguros — de regulă cel mai tîrziu la sfîrșitul lunii octombrie — se va da prioritate lucrărilor de pămînt, zidărie și tencuieli ale canalelor, rămînînd ca lucrările de pozare a conductelor sau cablurilor să se execute pe timp friguros — în condițiile arătate la pct. 7.7....7.16 de mai sus — în cazurile în care această execuție nu poate fi amintată pînă la revenirea timpului călduros.

7.18. Talpa de beton a canalului, expusă înghețului, trebuie să fie așezată pe un pat uscat și totodată să fie protejată corespunzător pînă la maturizarea critică.

7.19. Canalele se vor acoperi cu plăci de beton armat prefabricat și apoi cu pămînt.

7.20. Șanțurile pentru conducte sau cabluri se vor astupa cu pămînt neînghețat care apoi va fi compactat. La partea superioară a șanțurilor — pe ultimii 20...30 cm — ele pot fi umplute și cu pămînt înghețat, însă avînd un spor minim de volum de circa 15%, pentru tasare.

7.21. Șanțurile de sub pavaje ce se dău imediat în circulație se vor astupa pe toată înălțimea numai cu pămînt dezghețat, iar în locurile de circulație intensă, cu nisip dezghețat.

7.22. La executarea pe timp friguros a fundațiilor și a construcțiilor diverse, se va urmări folosirea pe scară largă a elementelor prefabricate, care pot fi executate în condiții optimale de temperatură, adică în ateliere, uzine, hale etc.

8. LUCRĂRI DE BETON

Condiții pentru asigurarea calității betonului pus în operă pe timp friguros

8.1. Calitatea lucrărilor de beton executate pe timp friguros poate fi asigurată dacă sunt îndeplinite următoarele condiții:

a) betonul este preparat cu agregate dezghețate, avînd temperatură minimă de +5°C;

b) temperatura betonului, după punerea lui în operă, nu coboară sub temperatura sa de îngheț, înainte de a atinge un nivel critic de întărire, variabil în funcție de raportul A/C și exprimat în procente din marca betonului.

Nivelul critic de întărire rezultă din tabelul următor:

| Nivelurile critice de întărire, în %, din marca betonului pentru A/C = | | | |
|------------------------------------------------------------------------|------|------|------|
| 0,40 | 0,50 | 0,60 | 0,70 |
| 18 | 25 | 31 | 36 |

Temperatura de îngheț a betonului este considerată valoarea de 0°C, cu excepția cazurilor în care se folosesc aditivi care coboară această temperatură pînă la o valoare specifică ce rezultă din instrucțiunile lor de folosire.

8.2. Realizarea nivelului critic de întărire se poate controla pe două căi:

a) Prin intermediul unor epruvete din beton *păstrate în aceleasi condiții de regim termic* ca și elementul de construcție și încercate la compresiune înainte de înghețarea betonului;

b) Prin evaluarea gradului efectiv de maturizare al betonului și compararea echivalentului său la temperatura normală +20°C cu gradul critic de maturizare, M_k , pentru betoanele preparate cu cimenturile pentru care se dau date în anexa B.

Deoarece gradul critic de maturizare M_k se corelează semnificativ cu nivelul critic de întărire, între cele două metode de control a calității betonului nu există diferențe de fond, ele determinind regimuri termice identice și o aceeași durată critică t_k de maturizare (sau de întărire).

Gradul de maturizare exprimat în h°C se definește prin suprafața diagramei cuprinsă între curba de variație a temperaturii betonului și ordonata de -10°C, în funcție de timp, exprimat în ore.

Gradul critic de maturizare este valoarea minimă a gradului de maturizare la temperatură normală de +20°C, necesară a

fi obținută înainte de înghețarea betonului, pentru ca rezistențele finale ale acestuia să nu fie afectate în mod defavorabil. Valori ale gradului critic de maturizare pentru betoane preparate cu cimenturile Pa 35 și P 40, se dau în anexa B. Pentru alte tipuri de ciment sunt necesare studii speciale de laborator.

În Anexa B se prezintă de asemenea, modul de echivalare a gradului de maturizare la o temperatură variabilă cu cel la temperatura normală +20°C, în vederea comparării lui cu gradul critic de maturizare.

Metoda controlului calității betonului pus în operă pe timp friguros prin gradul său critic de maturizare M_k are, față de metoda de la punctul a, avantajul eliminării încercărilor distructive ca și acela al unei corelări mai semnificative între realitate și parametrii pe baza cărora se face controlul, prin eliminarea diferențelor inevitabile dintre regimul termic din epruvetă și cel din elementul de construcție.

Conceptul gradului de maturizare permite, în plus, prevederea regimului termic din beton și proiectarea condițiilor prin care să se poată asigura realizarea lui.

8.3. Lucrările de beton se execută pe timp friguros cu respectarea măsurilor de folosire rațională a energiei și combustibilului, detaliate la cap. 4. În aceste condiții, prepararea, transportul și punerea în operă a betonului trebuie să se facă numai pe baza unor regimuri termice proiectate pentru a asigura obținerea nivelului critic de întărire sau a gradului critic de maturizare înainte de înghețarea betonului.

Aceste regimuri termice se evidențiază în proiectul de organizare a lucrărilor pe timp friguros împreună cu măsurile ce condiționează realizarea lor efectivă.

În funcție de parametrii analizați la pct. 8.4. (dimensiunile și nivelul de protecție al elementului de construcție, caracteristicile cimentului folosit, condițiile de temperatură din beton, nivelul de asigurare etc.) trebuie să se respecte, atât la proiectarea regimurilor termice cât și la executarea lucrărilor de beton în diferite faze tehnologice, condițiile din tabelul următor:

| Procesul tehnologic și condiții de realizare | | Regimul termic critic | |
|------------------------------------------------|-----------------------------------------------------------------------------------------------------------------------------------------------------------------------------------------------------------------------------------------------------------------------------------------------------------------|-----------------------------|-----------------------------------------------------------|
| | | Temperatura | Durata |
| Prepararea betonului | a. cu agregate dezghețate avind temperatură minimă: | + 5° | În momentul amestecării cu cimentul |
| | b. cu agregate încălzite la temperatură superioară celei de dezghețare | (*) 6°...25° | |
| | c. cu apă încălzită la temperatură | 20°...80°(*) | |
| | d. temperatură la preparare θ_p să fie: — în metoda conservării căldurii — în metoda încălzirii după turnare | (*) 5°...25° 5°...10° | La descărcarea din malaxor |
| Transportul și descărcarea betonului la obiect | e. protejarea mijloacelor și reducerea duratelor astfel ca temperatura de livrare la șantier, θ_t să fie minimum: — în metoda conservării căldurii: — în metoda încălzirii după turnare: | 3°...17° 3°...5° | Durata pe transport și descărcare la obiect, t_t |
| | f. protejarea mijloacelor și reducerea duratelor astfel ca la terminarea punerii în operă, temperatura betonului θ_b să fie minimum: — în metoda conservării căldurii: — în metoda încălzirii după turnare: | 1°...15° 1°...3° | Durata de transport pe obiect și punerea în operă, t_t' |
| Întărirea (maturarea) betonului | g. protejarea elementului de construcție după punerea în operă a betonului (metoda conservării căldurii) și a eventualei surse exterioare de căldură (metoda încălzirii după turnare) astfel ca în perioada critică temperatura să fie cuprinsă: — la conservarea căldurii: — la încălzirea după turnare: | 1°...15° 1°...20° | Durata critică de maturare, t_k |

* (*) În funcție de temperatura θ_b la terminarea punerii în operă și de condițiile de transport.

Regimurile termice la executarea lucrărilor de beton pe timp friguros

8.4. Regimurile termice pentru executarea lucrărilor de beton pe timp friguros (pct. 8.3) se stabilesc în fișele tehnologice pentru executarea lucrărilor de beton pe timp friguros ce fac parte din proiectul anual de organizare (cap. 3) și trebuie să țină seama de:

- a) gradul critic de maturare M_k (sau nivelul critic de întărire) evaluate conform pct. 8.1. sau prevederilor din Anexa B;
- b) intensitățile prezumate ale frigului, evaluate distinct pentru ziua de preparare, transport și punere în operă și pentru perioada de realizare a gradului critic de maturare M_k (respectiv a nivelului critic de întărire); se exprimă prin nivelurile de asigurare $\bar{\theta}_{as}$ și $\bar{\theta}_{as'}$, recomandate în Anexa A;
- c) durata procesului și nivelul de protejare a betonului în timpul transportului și punerii în operă;
- d) intensitatea cu care se degajă căldura datorată exotermiei cimentului;
- e) masivitatea elementului de construcție ce se betonează rezultînd din forma și dimensiunile sale, corelată cu nivelul de rezistență termică al protecției adoptate pentru suprafetele în contact cu aerul exterior și al celor în contact cu eventualul agent încălzitor;
- f) neomogenitatea temperaturii în masa betonului, concretizată în condiția ca gradul critic de maturare M_k (sau nivelul critic de întărire) să fie realizat în zona elementului de construcție cea mai expusă răciri;
- g) conformarea și nivelul protecției sursei de căldură în raport cu forma și dimensiunile elementelor ce se încălzesc;
- h) gradul de expunere la vînt și nivelul de impermeabilitate al protecției betonului și sursei de căldură; se ia în considerare la alcătuirea protecției prin coeficientul de penetrație la vînt.

8.5. Proiectarea regimurilor termice la prepararea, transportul, punerea în operă și maturizarea critică a betonului se poate face:

- a) prin alegerea din anexa C a unui regim termic tip, care se identifică prin nivelul de asigurare, prin caracteristicile betonului, ale elementului de construcție și ale protecției sale și prin metoda adoptată: (conservarea căldurii sau încălzirea după turnare);

b) prin asimilarea situațiilor reale cu cele corespunzătoare regimurilor tip prezentate în anexa C;

c) prin proiectarea directă, conform indicațiilor din anexa D, a unor regimuri termice specifice, în cazurile în care nu se pot adopta regimuri termice tip, datorită în primul rînd, unor deosebiri semnificative între parametrii betonului luati în considerare pentru regimul tip și cei ce caracterizează betonul pus efectiv în opera.

Se pot proiecta regimuri termice specifice și pentru punerea în valoare a unor condiții organizatorice superioare celor avute în vedere la proiectarea regimurilor tip.

8.6. Regimul termic, definit prin ansamblul condițiilor de timp și de temperatură, se detaliază în fișele tehnologice pentru fiecare din fazele caracteristice procesului și anume:

a) regimul termic în perioada critică de maturizare (Anexele C sau D, pct. 4 și 5);

b) regimul termic în perioada de transport și de punere în opera (Anexele C sau D, pct. 6);

c) regimul termic la prepararea betonului (Anexele C sau D, pct. 7).

8.7. Concomitent cu regimurile termice proiectate, în fișele tehnologice se explicitează și măsurile specifice de care depinde realizarea lor și anume:

a) procedeele de protejare a elementului de construcție și, după caz, și a sursei de căldură în perioada de maturizare critică (Anexele C sau D, pct. 2);

b) procedeele de transport și de protejare a mijloacelor folosite, inclusiv duratele limită admise, pe etape (Anexele C sau D, pct. 6);

c) organizarea depozitării componenților și procedeele de încălzire a lor (Anexele C sau D pct. 7).

Cofraje și armături

8.8. Tipurile de cofraje folosite și procedeele de protejare ale acestora cu materiale termoizolante trebuie explicitate în fișele tehnologice de executare a lucrărilor de beton pe timp friguros, corelat cu măsurile ce determină regimurile proiectate (pct. 8.7 a).

8.9. La execuție cofrajele trebuie să fie curățate de zăpadă și gheață prin mijloace mecanice și, în final, dacă este posibil, prin intermediul unui jet de aer cald.

Cofrajul trebuie să aibă rosturile dintre panouri etanșe iar fața lor interioară să fie unsă cu substanțe care ușurează decofrarea aplicate numai după curățarea și uscarea suprafeței.

Se va acorda o deosebită atenție rezemării elementelor de susținere a cofrajelor luindu-se măsuri corespunzătoare în funcție de comportarea la îngheț a terenului și anume:

— pentru pământurile stabile la îngheț rezemarea se va face pe tălpi așezate pe terenul nivelat și curățat în prealabil de zăpadă, de gheață și de stratul vegetal;

— pentru pământurile nestabile la îngheț, precum și în cazul umpluturilor, popii se vor așeza pe grinzi cu suprafață mare de rezemare îngropate sub adâncimea de îngheț, pe fundații existente sau pe piloți.

8.10. Armăturile se vor depozita pe teren uscat, amenajat cu platforme de pietriș compactat.

Barele acoperite cu gheață vor fi curățate înainte de tăiere și fasonare prin ciocănire, prin zgâriere cu unelte adecvate sau cu jet de aer cald pentru topirea gheții și uscarea apei rezultate. Nu se recomandă topirea gheții cu apă caldă decât dacă există certitudinea că aceasta nu va îngheța din nou pînă la turnarea betonului. Este interzisă dezghețarea cu ajutorul flăcării.

8.11. Fasonarea armăturilor se va face numai la temperaturi pozitive folosind, după caz, spații încălzite în bazele de producție.

Prepararea betonului

8.12. La prepararea betoanelor puse în opera pe timp friguros se vor utiliza cimenturile recomandate în anexa IV-1 din normativul C 140-79 cu excepția cimenturilor F și M.

Se vor folosi de asemenea, ori de câte ori este posibil, aditivi pentru îmbunătățirea comportării betonului la îngheț.

a) La stabilirea compozиiei betonului se va adopta o cantitate de apă cît mai scăzută. În acest scop se vor utiliza aditivi plastifianti de tip antrenori de aer (Disan), sau superplastifianti (Flubet) și se va reduce în mod corespunzător gradul critic de ma-

turizare M_* , pentru a fi corelat cu raportul A/C efectiv. La utilizarea aditivului Disan se vor respecta prevederile din normativul C 140-79, Anexa V.4, iar pentru superplastifiantul Flubet prevederile din Instrucțiuni tehnice C 211-82.

b) În condițiile admise de prescripțiile tehnice se vor putea utiliza, numai dacă se aplică metoda conservării căldurii, aditivi acceleratori de priză și întărire și anume:

— clorura de calciu, în conformitate cu instrucțiunile din Anexa V-4 la Normativul C 140-79;

— produsul Antigero, în conformitate cu instrucțiunile din Anexa V-4 la Normativul C 140-79.

În aceste cazuri se vor aplica aceleași regimuri termice ca și pentru betoanele fără aditivi, cu mențiunea că la valorile nivelului de asigurare din Anexa A se vor adăuga $+5^\circ$ (conform notei de la finele anexei).

În cazul folosirii aditivului Antigero se va ține seama și de efectul de plastifiant al acestuia, care permite reducerea raportului A/C.

8.13. Agregatele, dezghețate înainte de introducerea în malaxor, trebuie să corespundă condițiilor din STAS 1667-76, cu precizarea că nu trebuie să conțină granule poroase, care sunt gelive.

Ca o măsură de siguranță pentru omogenitatea amestecului în cazul în care se folosesc agregate dezghețate la temperatură minimă ($+5^\circ\text{C}$), acestea se vor malaxa în prealabil numai cu apă și apoi și împreună cu cimentul, durata totală de malaxare prelungindu-se cu 50%...100%. Nu se admite ca dezghețarea agregatelor să se facă numai în malaxor prin amestecarea cu apă caldă.

8.14. La locul de preparare va fi afișată în mod obligatoriu rețeta de preparare a lui, împreună cu următoarele date suplimentare:

— temperaturile minime ale apei și agregatelor la introducerea în malaxor;

— durata de malaxare a agregatelor cu apă, pînă la adăugarea cimentului;

— durata totală de malaxare;

— temperatura betonului la descărcarea acestuia din malaxor, care trebuie să corespundă cu regimul termic proiectat (pct. 8.5., 8.7) și temperatura betonului la livrarea către șantier (pct. 5.3).

Transportul betonului la obiect

8.15. La transportul betonului se vor lua măsuri de limitare la minimum a pierderilor de căldură, prin:

a) folosirea de mijloace de transport rapide, și, după caz, bine izolate termic; autoagitatoarele vor fi prevăzute cu capac; autobasculantele și mijloacele similare vor avea pereții izolați termic și vor fi acoperite;

b) evitarea distanțelor mari de transport, a staționărilor pe traseu și a transbordărilor betonului;

c) verificarea și curățirea mijlocului de transport utilizat, de gheață și de resturile de beton înghețat, folosind de preferință un jet de apă caldă.

Transportul betonului pe obiect, punerea în operă și protejarea lui

8.16. La transportul betonului pe obiect, la punerea lui în operă și în perioada de maturizare se vor lua măsuri de limitare la minimum a pierderilor de căldură prin:

a) protejarea benelor prin izolarea lor termică și acoperirea în perioada de așteptare cu folii de polietilenă sau prelate;

b) reducerea la minimum a timpului de așteptare în bine între momentul descărcării din mijlocul de transport și cel al ridicării pe obiect;

c) protejarea imediată a elementului de construcție conform soluțiilor prevăzute în cadrul măsurilor de asigurare a regimului termic proiectat (pct. 8.5 ... 8.7).

8.17. Este obligatorie compactarea tuturor betoanelor turnate pe timp friguros prin vibrare mecanică.

8.18. La punerea în operă a betoanelor se vor respecta prevederile din Anexa A privind nivelul de asigurare. Pentru betoanele masive se vor avea în vedere și următoarele:

— în perioada cînd există pericol de îngheț, începerea betonării unei lamele noi este permisă numai la temperaturi ale aerului exterior de peste $+5^\circ\text{C}$; se poate începe betonarea și la temperaturi sub $+5^\circ\text{C}$ cînd temperatura este pozitivă și are tendință de creștere;

— lamelele aflate în curs de betonare surprinse de scădere a temperaturii aerului exterior, vor fi continuat pînă la temperatura de -10°C , cu măsuri corespunzătoare privind temperatura și protecția betonului; la temperaturi ale aerului sub -10°C betonarea lamelei va fi întreruptă și se va crea un rost de lucru.

8.19. Începerea sau reluarea oricărora lucrări de betonare intrerupte din cauza gerului și intrate în această stare în perioada de dezgheț este permisă numai după pregătirea corespunzătoare a rostului de întrerupere a turnării conform Normativ C 140-79, pe baza unui proces verbal de recepție calitativă.

8.20. Protejarea betonului după punerea lui în operă trebuie să se facă într-un timp cît mai scurt și în conformitate cu soluțiile prevăzute pentru asigurarea realizării regimului termic proiectat (pct. 8.5...8.7).

Se vor folosi cofraje izolate termic, saltele termoizolatoare etc. acoperite întotdeauna cu folii de polietilenă sau prelate din pînă impermeabilă prin care să se etanșeizeze izolația termică și să se închidă și un strat de aer staționar (neventilat) de 3...5 cm rosim e.

8.21. La locurile de muncă unde se pune în operă beton vor fi afișate obligatoriu:

- temperatura betonului la livrare (pct. 5.3);
- temperatura betonului la terminarea punerii în operă;
- nivelul de asigurare pentru perioada de maturizare;
- modul de protejare a betonului după turnare;
- durata proiectată pentru obținerea gradului critic de maturizare (t_k);
- fazele și caracteristicile regimului termic la încălzirea după turnare (atunci cînd este cazul).

Decofrarea elementelor de construcție din beton turnate pe timp friguros

8.22. Decofrarea se poate efectua numai dacă sunt îndeplinite condițiile din Normativ C 140-79 prin care se impun pentru beton rezistențe sau niveluri minime de întărire exprimate în procente din marca betonului.

Îndeplinirea condițiilor de decofrare se poate controla pe două căi:

a) Prin intermediul unor epruvete din beton *păstrat în aceleași condiții de regim termic* ca și elementul de construcție și încercate la compresiune în condițiile prevăzute în Normativ C 140-79.

b) Prin evaluarea gradului efectiv de maturizare al betonului și compararea echivalentului său la temperatura normală de $+20^{\circ}\text{C}$ cu gradul de maturizare M_{β} , corespunzător nivelului de întărire β B, prevăzut în Normativ C 140-79.

Deoarece gradul de maturizare M_{β} se corelează semnificativ cu nivelul de întărire β , între cele două metode nu există diferențe de fond. Metoda evaluării gradului de maturizare are însă față de cea de la pct. a aceleasi avantaje ca și cele evidențiate la pct. 8.2 b pentru metoda gradului critic de maturizare.

Detalii pentru controlul condiției de decofrare prin evaluarea gradului de maturizare se dau în Anexa B.

8.23. Îndeplinirea condiției de realizare a gradului critic de maturizare asigură, în general, și condiția de decofrare a fețelor verticale (pct. 6.50 din Normativ C 140-79), dar nu și condițiile de decofrare ale fețelor orizontale.

Pentru decofrarea fețelor orizontale se va urmări astfel, în continuare, evoluția gradului de maturizare sau a nivelului de întărire și după depășirea celui critic, (Anexa B), fără ca să se mai impună însă măsuri pentru prevenirea înghețării betonului. Măsurile suplimentare ce s-ar lua în acest caz ar determina numai scurtarea termenului de decofrare.

Înainte de decofrare se va examina cu atenție calitatea betonului pe fețele elementului turnat, efectuindu-se în acest scop unele decofrări parțiale, de probă.

Urmărirea realizării calității betonului turnat pe timp friguros

8.24. La executarea pe timp friguros a betoanelor de orice fel este necesar să se exercite un control permanent deosebit de exigent din partea conducerii tehnice a unității de execuție și a organelor CTC, la toate nivelurile, precum și din partea beneficiarului, respectiv a proiectantului,oricind va fi necesar acest lucru.

La efectuarea receptiilor preliminare a oricărora lucrări din beton, executate pe timp friguros, verificarea calității lor trebuie făcută cu o exigență sporită.

8.25. Controlul specific perioadei de timp friguros asupra calității betonului se va referi la:

a) respectarea în timpul execuției a regimurilor termice și a măsurilor ce condiționează realizarea lor, afișate la locurile de muncă (pct. 8.14 și 8.21);

b) măsurarea temperaturilor aerului exterior și a celor din beton;

c) urmărirea realizării în timp a gradului critic de maturizare M_k și, după caz, a gradului de maturizare pentru decofrare, respectiv a nivelelor critice de întărire și de decofrare.

8.26. Temperaturile betonului se vor măsura în părțile cele mai expuse răciri, cu o frecvență de minimum 2...3 citiri în 24 de ore și se vor înregistra în documentele de evidență obligatorie a lucrărilor executate pe timp friguros (cap. 5), concomitent cu temperaturile aerului exterior.

Măsurarea temperaturilor se face pentru toate elementele de construcție din beton pînă la realizarea gradului critic de maturizare M_k sau a nivelului critic de întărire, iar pentru elementele cofrate pe fețele orizontale și în continuare pînă la realizarea gradului de maturizare M_β (Anexa B), respectiv a nivelului de întărire β (Normativ C 140-79).

Pentru măsurarea temperaturii în beton se vor folosi termometre industriale sau, în măsura posibilităților, înregistratoare automate de temperatură.

Termometrele, fără îmbrăcăminte exterioară din grătar sau plasă de protecție, se vor introduce în găurile cilindrice realizate la betonare, în pozițiile prevăzute în proiecte.

După introducerea termometrului în gaură aceasta se va etanșa la partea superioară cu cîlți introdusi în spațiul dintre termometru și peretii găurii pentru a nu permite intrarea aerului rece.

Termometrul va fi menținut în această situație cel puțin 5' înainte de efectuarea citirii. Se vor folosi mai multe termometre pentru a se putea măsura temperatura betonului în mai multe puncte, simultan.

Urmărirea realizării în timp a gradului de maturizare, pînă la nivelul critic (M_k) sau a celui necesar pentru decofrare (M_β) se face conform indicațiilor din anexa B (Exemplul din anexa B_2).

8.2.7. Controlul calității betoanelor turnate pe timp friguros se va face conform prevederilor din Normativ C 140-79.

Dacă se prevăd încercări nedistructive acestea nu se vor efectua pe betoane înghețate.

9. MONTAREA PREFABRICATELOR

9.1. Montarea elementelor de construcții prefabricate din metal sau beton se poate executa cu respectarea următoarelor condiții:

| Felul elementului prefabricat | Procesul tehnologic și condiții de realizare | Regim termic critic | |
|-------------------------------|---------------------------------------------------------------------|---------------------|--------------------------------|
| | | Temp. | Durata |
| Metalic | Manipulare, montare | | cap. 12 |
| | a) Manipulare, montare | — | — |
| | b) Sudarea armăturilor | | cap. 12 |
| | c) Preîncălzirea lentă a prefabricatelor în zonele de îmbinare | + 10°C | Înainte de turnarea betonului |
| Beton armat sau precompriimat | d) Temperatura betonului de monolitizare | + 10°C | La terminarea punerii în opera |
| | e) Prepararea, transportul, punera în opera și protejarea betonului | | cap. 8 |
| | f) Prefabricarea pe sănzier a elementelor | | cap. 8 |

9.2. În ce privește confecțiile metalice și elementele diverse (corpuri de încălzire, recipiente, scări, uși și ferestre, ventilatoare etc), acestea se montează în conformitate cu prevederile proiectului, în care trebuie să se arate măsurile speciale ce eventual sînt necesare dacă montarea acestor confecții urmează a se face pe timp friguros.

9.3. Cu privire la prefabricatele din beton, beton armat și beton precomprimat sunt necesare o serie de măsuri specifice și anume:

a) Se vor folosi cu precădere prefabricate realizate în fabrici și poligoane dotate corespunzător, unde se poate asigura tehnologia completă de fabricație și tratamentul termic necesar.

În cazul confeționării pe șantier a unor prefabricate, execuțarea acestora se va face numai în barăci sau șoproane, amenajate corespunzător și cu respectarea obligatorie a tuturor condițiilor termotehnice prevăzute pentru tipurile respective de prefabricate.

b) Înainte de ridicare și manevrare pentru montaj, elementele prefabricate vor fi curățate de gheăță, zăpadă și impurități în zonele de îmbinare, prin: răzuire, ciocănire ușoară, periere cu peri de sârmă etc.

Dacă la turnarea betonului de monolitizare s-au produs noi depunerile de gheăță sau zăpadă, acestea vor fi îndepărtate prin aceleiasi procedee.

În funcție de posibilități se preferă ca îndepărarea gheții și zăpezii să se facă printr-un jet de aer cald, care, pe lîngă efectul de topire a gheții are și pe cel de uscare a zonei de monolitizare.

Nu se permite folosirea apei calde sau a aburilor decât dacă betonul de monolitizare se toarnă imediat, întrucât există pericolul formării unui nou strat de gheăță.

Se interzice, de asemenea, folosirea lămpilor cu benzină și al oricărui alt mijloc de încălzire cu flacără deschisă, care afumă betonul și armăturile, compromînd adeziunea armăturilor în betonul de monolitizare și buna legătură a acestuia cu betonul vechi.

c) După ce s-a realizat curățirea perfectă a zonei de monolitizare se va proceda la încălzirea lentă a prefabricatelor în punctele de îmbinare, prin insuflarea cu aer cald; atunci cînd există posibilitatea turnării immediate a betonului, se poate recurge la încălzirea cu abur viu sau cu apă caldă. În toate cazurile încălzirea se va face cel puțin pînă la temperatura betonului de monolitizare.

d) După turnarea betonului de monolitizare, acesta se va izola împotriva frigului prin acoperirea imediata a zonei respective cu materiale termoizolatoare.

e) Profilele echere din PVC vor fi încălzite în apă caldă înainte de introducerea în rebordurile verticale ale panourilor de fațadă.

f) La tensionarea și injectarea elementelor din beton precomprimat se vor respecta prevederile din Normativul C 21-77.

10. LUCRĂRI DE ZIDĂRIE

10.1. Lucrările de zidărie se pot executa pe timp friguros, cu respectarea următoarelor condiții:

| Procesul tehnologic și condiții de realizare | Regim termic critic | |
|---------------------------------------------------------------------------------------|-------------------------------------------------------------------------------------------------------------|--------------------------------|
| | Temperatura °C | Durata |
| a. Depozitarea materialelor de zidărie înainte de punerea în operă, în spații inchise | 5° | 1 zi |
| b. Prepararea mortarului: — de ciment — de ciment-var | (*) 5°...25° 5°...50° | La descărcarea din malaxor |
| c. Transportul și punerea în operă a mortarului | 5° | La terminarea punerii în operă |
| d. Executarea zidăriei în spații inchise sau în aer liber | 5° | Pe durata execuției |
| e. Ziduri de orice grosime în spații inchise | 5° | Durata critică de maturizare |
| f. Protejarea zidăriei după executare | Ziduri de 25 cm sau mai groase protejate local pentru conservarea căldurii înmagazinate (**) 1°...10° | Durata critică de maturizare |

(*) În funcție de temperatură la terminarea punerii în operă;

(**) În funcție de parametrii menționați pentru beton la cap. 8, pct. 8.4.

10.2. Pentru asigurarea calității lucrărilor de zidărie executate pe timp friguros este necesar și suficient să se realizeze în

mortar, înainte de a îngheța, o rezistență minimă de 5 N/mm^2 , denumită rezistență critică.

Se vor folosi în acest sens numai mortar de ciment sau ciment-var, M 100 sau M 50 preparate cu ciment Pa 35.

10.3. Variația rezistenței mortarelor de ciment și a celor mixte de ciment-var preparate cu cimenturile recomandate la confectionarea mortarelor în Normativul C 140-79, anexa IV-1 se dă orientativ în tabelul următor:

| Temperatura de întărire °C | Rezistență relativă a mortarului în procente din R_{28} pentru o durată, în zile: | | | | | | | | |
|----------------------------|-------------------------------------------------------------------------------------|----|----|----|----|----|----|----|-----|
| | 1 | 2 | 3 | 5 | 7 | 10 | 14 | 21 | 28 |
| + 1 | 1 | 3 | 5 | 10 | 16 | 24 | 35 | 45 | 55 |
| + 5 | 4 | 8 | 12 | 20 | 27 | 37 | 48 | 62 | 72 |
| + 10 | 6 | 13 | 19 | 30 | 39 | 51 | 63 | 78 | 88 |
| + 15 | 10 | 19 | 26 | 39 | 50 | 62 | 75 | 90 | 100 |

10.4. Pentru accelerarea prizei și întăririi mortarelor de ciment sau mixte se poate folosi adăosul de clorură de calciu, în proporție de pînă la 2% din greutatea cimentului cu respectarea prevederilor din Normativ C 140-79, anexa V.4. Nu se permite folosirea în același scop a sării de bucătărie.

În cazul folosirii adăosului de clorură de calciu la mortarele de marcă M 50 sau mai mare, procentele de rezistență din tabelul de la pct. 10.3 se vor majora cu coeficienții din tabelul următor:

| | | | | | |
|------------------------------------------|------|------|------|------|------|
| Vîrstă mortarului, în zile | 2 | 3 | 5 | 7 | 28 |
| Coefficientul de majorare a rezistenței. | 2,00 | 1,70 | 1,40 | 1,25 | 1,15 |

10.5. La executarea zidăriilor pe timp friguros se vor respecta și următoarele condiții:

— nu se vor folosi cărămizi și blocuri umede sau acoperite cu gheață;

— nu se vor folosi mortare avînd drept liant numai varul;

10.6. Pentru executarea zidăriilor pe timp friguros se folosesc, de la caz la caz, următoarele metode:

— metoda adăpostirii zidăriilor sub construcții de protecție;
— métoda conservării căldurii inițiale a zidăriilor.

Nu se permite folosirea metodei numită „la îngheț”, care este costisitoare și cu efecte îndoelnice.

10.7. La metoda prin adăpostire se încălzește spațiul astfel creat, pentru a se asigura mortarului o temperatură pozitivă, pe toată perioada de întărire, așa încît la uscare, zidăria să atingă rezistență minimă necesară.

Blocurile mici și cărămizile se vor introduce în construcția provizorie de protecție cu cel puțin o zi înainte de punerea lor în operă, pentru a ajunge la temperatură pozitivă.

Metoda adăpostirii zidăriilor sub construcții de protecție se va folosi la executarea fundațiilor, subsolurilor, căminelor etc.

Mortarele utilizate vor fi de ciment și var și vor avea marca de minimum 25, iar temperatura mortarului, cărămizilor și blocurilor la punerea lor în lucrare nu va fi mai mică de $+5^\circ\text{C}$.

10.8. Metoda conservării căldurii inițiale — care constă în acumularea prealabilă în zidărie a unei cantități de căldură și apoi în izolare imediata a zidăriei cu materiale termoizolante — va fi folosită numai în cazuri speciale și numai la ziduri mai groase de 12,5 cm. Măsurile adoptate în cadrul acestei metode trebuie gradate funcție de temperatura aerului exterior, astfel încît mortarul, înainte de a ajunge la îngheț, să aibă rezistență de cel puțin 5 N/mm^2 , verificată pe probe martor.

11. ÎNVELITORI ȘI TINICHIGERIE

11.1. Lucrările de învelitori se pot executa pe timp friguros cu respectarea următoarelor condiții: (vezi tabel pag. 62)

11.2. La executarea învelitorilor se vor avea în vedere următoarele:

a) Suportul învelitorii și materialele întrebuințate trebuie să fie bine curățate de zăpadă, gheață și impurități; nu se folosesc apă caldă căci aceasta poate îngheța pe suport și pe materiale, făcînd astfel curățirea ineficace;

| | Soluția de învelitoare | Procesul tehnologic și condiții de desfășurare | Regim termic critic | |
|----|-----------------------------------------------------------------------------------------|----------------------------------------------------------------------------------------------|--------------------------------|--------------------|
| | | | Temperatura | Durata |
| a. | Țigle și olane | Montarea țigelor și olanelor | -10° | durata de execuție |
| | | Rostuirea cu mortar | nu se execută pe timp friguros | |
| b. | Plăci ondulate sau cutate din azbociment sau PAS (poliesteri armăți cu fibre de sticlă) | Montarea | -10° | durata de execuție |
| | | Aplicarea cordonului de chit | +5° | 1 zi |
| | | Montare | -10° | durata de execuție |
| c. | Tablă plană, ondulată sau cutată | Acoperirea cu vopsea de ulei a părților pe care s-a produs exfolierea peliculei de protecție | +5° | 2 zile |
| | | Etanșarea falțurilor cu chit de minium de plumb și ulei | +5° | 2 zile |
| | | Grunduirea și vopsirea cu minium de plumb. | +5° | 2 zile |
| | | Grunduirea și vopsirea cu vopsele pe bază de răsini sintetice | +15° | 1 zi |
| | | Depozitarea rulourilor înainte de montare | +5° | 1 zi |
| d. | Folii bitumate primul strat | Bitumul topit | +180° | — |
| | | Derularea și lipirea | +5° | — |
| | | Să se execută în afara perioadei de timp friguros | — | — |
| e. | Folii bitumate al doilea strat | Fără restricții | — | — |
| f. | Șită, sindrilă din lemn, plăci și șită din azbociment. | | | |

b) La îndoirea pentru realizarea falțurilor foilor de tablă protejate în prealabil, se va verifica cu atenție:

— dacă nu s-a produs exfolierea peliculei de protecție, în care caz părțile deteriorate se vor curăța și acoperi cu vopsea;

— dacă, sub influența temperaturii scăzute, nu s-a produs crăparea foilor îndoite, în care caz acestea se vor îndepărta și înlocui cu foi bune.

11.3. Pe timp de ploaie sau ninsoare, ceată deasă, vînt puternic, indiferent de temperatura aerului, executarea lucrărilor de învelitori și tinichigerie se va întrerupe.

12. CONSTRUCȚII METALICE DIN OTEL

Indicații generale

12.1. Prevederile din acest capitol se referă la condițiile speciale ce se cer atât pentru executarea pe timp friguros a structurilor metalice cât și pentru îmbinarea prin sudură a barelor de oțel beton.

12.2. Lucrările de construcții metalice se execută pe timp friguros numai din oțeluri cu sensibilitate redusă la fragilitate, având un conținut de carbon maximum 0,18% pentru poduri metalice și 0,22% pentru celelalte construcții și cu asigurarea energiei de rupere de 2,8 KVdaN, conform STAS 500/2-80 și STAS 500/3-80.

La executarea lucrărilor se vor respecta următoarele condiții: (vezi tabel pag. 64)

Îmbinarea prin sudură a construcțiilor metalice și a barelor de oțel beton

12.3. La execuția sudurilor se vor avea în vedere prevederile din STAS 767-78 și din „Instrucțiuni tehnice pentru sudarea armăturilor din oțel beton“ C 28-83.

În zilele friguroase (pct. 1.4) sudurile pot fi executate în aer liber pînă la temperaturile prevăzute în proiecte, cu respectarea următoarelor condiții generale:

a) Situațiile în care se execută suduri pe timp friguros vor fi evidențiate în proiectul de execuție și în proiectul anual de organizare a lucrărilor pe timp friguros prin elaborarea de fișe tehnologice specifice acestor situații;

| Procesul tehnologic și condiții de desfășurare | | | Regim termic critic | |
|------------------------------------------------|-------------|------------------------------------------------------------------------------------------------------------------------------------------------------------------------------------------------------------------|---------------------------------|----------------------|
| | | | Temp. | Durata |
| a. | Depozitarea | Elementele metalice în depozite descoperite, pe suporti de lemn sau beton amplasati pe platforme din pietris compactat, amenajate pe teren uscat. | — | — |
| | | Materiale de imbinare — șuruburi normale, șuruburi de înaltă rezistență, piulițe, șaipe, rondele și nituri — ambalate pe categorii și dimensiuni, în depozite inchise și uscate. | — | — |
| | | Electrozi, fluxuri și sîrmă de sudură învelite suplimentar în folii de polietilenă pe rafturi la înălțime minimă de 50 cm de la pardoseală. | Conform STAS 1125-81 1126-80 | Durata de depozitare |
| b. | Montarea | Curățirea de rugină și uscarea porțiunilor destinate imbinărilor. | — 10° | Durata de execuție |
| | | Manipularea, așezarea la poziție, sprijinirea pe calaje și bulonarea provizorie a elementelor metalice. | — 10° | |
| | | Executarea imbinărilor fără sudură. | — 10° | |
| c. | Vopsirea | Chituirea pe suprafețe uscate. | + 5° | 2 zile |
| | | Grunduirea elementelor izolate se face pe suprafețe uscate în încăperi încălzite. | + 10° | 1 zi |
| | | Vopsirea elementelor izolate se face pe suprafețe perfect uscate la temperaturile indicate în catalogele și prospecțele întreprinderilor producătoare sau pe etichetele bidoanelor de vopsea; în lipsa acestora. | + 15° | 1 zi |

b) Înainte de a se începe sudarea pe șantier a construcției metalice se vor executa cîteva suduri de probă, la piese izolate, eventual la piese ce nu fac parte din structura metalică ce se montează;

c) Se vor folosi electrozi cu înveliș bazic, rezistent la fisurare. Se va urmări ca materialele de adaos să corespundă materialului de bază și să asigure cordonul de sudură proprietăți cel puțin egale cu ale materialului de bază;

d) Sudurile se vor executa fără întrerupere. Din acest motiv se vor utiliza la cordoanele lungi mai mulți sudori, care vor ataca piesele din mai multe puncte, într-o ordine ce trebuie indicată în proiect sau stabilită de responsabilul cu lucrările de sudură pe șantier, pentru a nu se introduce în piese tensiuni interne ce pot deveni periculoase sau nefavorabile structurii metalice;

f) Sudarea se va începe și se va termina obligatoriu pe piese terminale. În cazul cînd nu este posibilă așezarea pieselor terminale trebuie să se asigure completarea craterelor de la capetele cordoanelor de sudură;

g) Prelucrarea mecanică a sudurilor, după răcirea lor, mai ales în cazurile oțelurilor ce pot deveni casante, trebuie făcută cu multă grijă, evitîndu-se șocurile puternice (exemplu: cioplire cu dalta); oricînd este posibil, finisarea sudurilor se va face imediat după terminarea unei porțiuni sudate, cînd materialul este încă cald; dacă nu există condiții favorabile pentru această operație (pericol de răcire bruscă) este preferabil să se aștepte pînă la răcirea sudurii; în orice caz punctele cu zgură greu de îndepărtat (mai ales cele cu rădăcini adînci), trebuie să nu fie îndepărtate prin șocuri dinamice locale, ci să se taiă complet porțiunea respectivă și să se așzeze din nou cu mai multă atenție;

h) Utilajele de sudură vor fi protejate contra intemperiilor prin adăpostirea lor în barăci corespunzătoare;

i) Cablurile mobile ce servesc la alimentarea cu curent electric a locurilor de sudură vor fi pozate pe suporti (capre) de lemn; nu se admite îngroparea cablurilor în zăpadă sau așezarea lor direct pe pămîntul înghețat.

12.4. La sudarea pieselor construcților metalice în zilele friguroase se vor respecta următoarele faze și condiții de execuție:

| Procesul tehnologic și condiții de execuție | Regim termic critic | |
|-----------------------------------------------------------------------------------------------------------------------------------------------------------------------------------------------------------------------------|------------------------|-------------------------------|
| | Temperatura °C | Durata zile |
| a. Protejarea contra umezelii și a vîntului rece, a zonelor ce urmează a fi sudate folosind prelate, corturi, bărăci transportabile. | — | 1 |
| b. Uscarea electrozilor în cuptoare speciale; electrozii uscați se vor aproviziona la punctul de sudare în cantități care să nu depășească necesarul pentru două ore de lucru. | | Conform normelor furnizorilor |
| c. Preîncălzirea zonelor pe care se aplică cordoanele de sudură, a tuturor pieselor ce vin în contact, pentru a avea toate aceeași temperatură: — la piese cu grosimi pînă la 25 mm — la piese cu grosimi peste 25 mm | 100°—150° 150°—500° | Înainte de începerea sudurii |
| d. Depunerea succesivă a straturilor de sudură, înainte de răcirea zonei de îmbinare. La depunerea unui strat nou, temperatura celui precedent nu trebuie să fie mai mică de | 200°C | Durata executării sudurii |
| e. Protejarea sudurilor cu materiale termoizolante în vederea răciri lente. | — | — |
| f. Îndepărțarea zgurii, după răcire. | — | — |

12.5. La sudarea electrică a oțelului beton pentru elementele de beton armat sau precomprimat se vor respecta în zilele friguroase următoarele condiții:

| Procesul tehnologic și condițiile de execuție | Regim termic critic | |
|-------------------------------------------------------------------------------------------------------------------------------------------------------------------------------------------------------|---------------------------------------------------------------------------------------------------------------|-----------------------------------------|
| | Temp. °C | Durata zile |
| a. Sudarea electrică cap la cap prin topire intermediară. | Numai în încăperi inchise, cu temperatura mediului peste 0°C. | 0° |
| b. Sudarea manuală cu arc electric prin metodele de înnădire prin „suprapunere”, cu „echise”, în „cochilie”, în baie de zgură, cu sau fără „căsaturi longitudinale” și în manșon de cupru recuperabil | În aer liber la temperaturi ale mediului peste —5°C pentru OB 37 și peste 0°C pentru PC 52; PC 60 și PC 90 | Preîncălzire normală |
| | În spații protejate la temperaturi ale mediului sub —5°C pentru OB 37 și sub 0°C pentru PC 52; PC 60 și PC 90 | Preîncălzire la limita superioară 300°C |
| c. Protejarea sudurii cu materiale termoizolante uscate etanșe contre umezelii, pentru asigurarea unei răciri lente. | La temperaturi ale mediului mai mici de +5°C. | — Durată răciri |

Asigurarea calității lucrărilor executate pe timp friguros

12.6. La lucrările întrerupte pe timp friguros se va verifica, înainte de reluarea execuției îmbinărilor, contrasägeata efectivă și corespondența acesteia cu proiectul.

Pentru prevenirea oricăror defecțiuni, proiectantul va prescrie prin „condiții tehnice speciale”, unele exigențe suplimentare privind verificarea sudurilor executate pe timp friguros, efectuarea acestor verificări și evidența lor constituind o obligație a executantului.

12.7. Pentru asigurarea unei bune calități a sudurilor executate pe timp friguros este necesar să se utilizeze sudori cu capacitate ridicată de adaptare la condițiile climatice defavorabile și cu

calificare corespunzătoare tehnicității speciale cerută în asemenea condiții de lucru.

Durata de lucru a sudorilor se va micșora, în funcție de temperatură, reducindu-se chiar pînă la o oră, alternând cu pauze de circa 10 minute, pentru odihnă și încălzire.

În acest scop se vor pune la dispoziție cel puțin cociere instalațe în adăposturi provizorii (gherete), așezate în apropierea locului de muncă și avînd dimensiunile de minimum $2 \times 2 \times 2,5$ m. Aceste adăposturi vor fi acoperite și vor avea în peretele opus vîntului un gol de cel puțin 1,5 m pentru intrarea muncitorilor și evacuarea fumului și gazelor emanate de cociere. În acest caz gheretele de adăpostire trebuie să poată fi întoarse cu intrarea în orice direcție, după nevoie. Cocierile vor fi introduse în gheretă numai după încingerea suficientă a brichetelor și vor fi supravegheate în permanență de un responsabil, pentru a se evita pericolul de incendiu și cel al intoxicației cu gaze.

13. LUCRĂRI DE FINISAJ

Indicații generale

13.1. Lucrările exterioare de finisaj, bazate pe procese umede de execuție, cum sunt: tencuielile, zugrăvelile, vopsitorii, placaje etc., nu se execută de regulă pe timp friguros, fiind pericolitate de îngheț. Dacă se impune totuși executarea acestora în zilele friguroase se vor lua măsuri corespunzătoare de închidere și încălzire a spațiului de lucru, pentru a se crea condiții de execuție ca și pentru lucrările interioare (pct. 13.2).

13.2. Lucrările interioare de finisaj, bazate pe procese umede, pot fi executate și pe timp friguros dacă procesul tehnologic se desfășoară în încăperi închise în care s-au creat următoarele condiții: (vezi tabel pag. 69)

13.3. Pentru executarea tencuielilor interioare se vor avea în vedere prevederile din capitolul 10 al prezentului normativ.

Nu se admite introducerea în mortare a rumegușului sau resturilor de călă, căci acestea acumulează umezeală, întîrziind uscarea tencuielii.

| Procesul tehnologic și condiții de execuție | Regim termic critic | |
|---------------------------------------------------------------------------------------------------------|---------------------|--------------------|
| | Temperatura | Durata |
| a. Depozitarea materialelor în spațiile de lucru sau în spații vecine | + 5° | 1 zi |
| b. Mixturile ce urmează a fi așternute sau aplicate | + 5° | Durata de execuție |
| c. Execuțarea tencuielilor și a celorlalte lucrări de finisaj | + 8°...+ 10° | Durata de execuție |
| d. Maturizarea straturilor realizate prin așternerea sau aplicarea mixturilor, cu excepția tencuielilor | + 8°...+ 10° | 1 zi |
| e. Maturizarea mortarelor folosite la tencuieli | | Cap. 10 |

13.4. La executarea șapelor suport a pardoselilor se va ține seama de prevederile din capitolul 10 al prezentului normativ.

Se vor folosi mortare cu raport A/C mic. Ridicarea mortarului în bene, la etajele unde urmează a se aplica, se va face în cantități care pot fi preluate imediat pentru zona de lucru respectivă.

Pentru pardoselile din mozaic, trecerea la operațiile de slăvuire se va face numai după verificarea comportării acestora prin încercări pe suprafețele reduse.

14. MONTAREA GEAMURILOA

14.1. Depozitarea, prelucrarea și montarea geamurilor se va face pe timp friguros în următoarele condiții: (vezi tabel pag. 70)

14.2. La montarea geamurilor se vor mai respecta următoarele:

a) cercevelele trebuie să fie curățate de zăpadă înainte de introducerea în încăperea în care se vor monta geamurile;

b) montarea geamurilor este permisă numai după uscarea completă a falțurilor cercevelelor și la cel puțin 2 zile de la grundiarea lor;

c) este interzis să se manipuleze foi izolate de geam ce au stat la ger, deoarece sunt friabile.

| Procesul tehnologic și condiții de desfășurare | | Regim termic critic | |
|------------------------------------------------|--------------------------------------------------------------------------------------------------|---------------------|------------|
| | | Temperatura | Durata |
| Depozitarea materialelor | Geamurile în lăzi Chiturile în cutii și încăperi inchise | + 5° | Permanent |
| Prelucrarea geamurilor | Scoaterea din lăzi și tăierea | + 15° | — |
| Montarea geamurilor | Păstrarea cercevelelor în încăperi inchise cu umiditate sub 60% | + 5° | 2...3 zile |
| | Manipularea și montarea geamurilor peste 2 m ² suprafață, a celor curbe sau cu ondule | + 5° | — |
| | Chituirea | + 5° | — |
| | Păstrarea cercevelelor cu geamuri, după chituire | + 5° | 2 zile |

14.3. Aplicarea directă a geamurilor pe cercevele în aer liber este permisă numai în mod excepțional la luminatoare și la ferestrele fixe ale căror cercevele sau rame nu pot fi demontate.

În aceste cazuri geamurile se vor monta direct pe cercevele sau ramele fixe în zilele în care umiditatea aerului exterior este sub 60%, iar temperatura aerului exterior măsurată în condițiile de la pct. 1.3, este mai mare sau cel puțin egală cu +5°C (temperatură critică).

Chitul folosit va conține cu 10...15% ulei în plus iar temperatura lui va fi de +20°C.

Prinderea geamurilor de cercevele sau rame se va face cu un număr sporit de ținte sau cleme. Lucrările astfel executate vor fi revizuite după trecerea perioadei convenționale de timp friguros, și eventual se va vopsi chitul cu vopsea de ulei.

Dacă cercevele sănt înghețate sau umede geamurile se vor monta provizoriu cu ținte sau cleme fără a se mai aplica chitul, urmând ca definitivarea montării să se facă după trecerea perioadei de timp friguros.

15. IZOLAȚII

Izolații termice

15.1. Izolațiile termice ale elementelor de construcții, conductelor, aparatelor și instalațiilor tehnologice, se vor executa pe timp friguros cu respectarea următoarelor condiții:

| Procesul tehnologic și condiții de desfășurare | | Regim termic critic | |
|------------------------------------------------|-------------------------------------------------------------------------------------------------------------------|-----------------------|--------------------|
| | | Temperatura | Durata |
| a. | Betoane termoizolatoare | Cap. 8 | |
| b. | Șape suport și de protecție pentru materiale termoizolatoare în vrac, BCA etc. | Cap. 10 | |
| c. | Termoizolații aplicate prin lipire cu bitum la cald sau cu suspensii sau emulsii bituminoase | Cap. 15 pct. 15.3 | |
| d. | Termoizolații aplicate prin mijloace mecanice | - 10° | Durata de execuție |
| e. | Straturi adiacente: bariere contra vaporilor; straturi de difuzie, hidroizolația. | Cap. 15 pct. 15.3. | |
| f. | Bariere contra vaporilor sub formă de pelicule din emailuri pe suprafața interioară a elementelor de construcție. | Cap. 13 Cap. 16 | |

15.2. Lucrările de termoizolare executate în aer liber vor fi oprite pe timpul căderii precipitațiilor (ploaie, lapoviță, zăpadă).

Izolații hidrofuge

15.3. Izolațiile hidrofuge se vor executa în perioada de timp friguros ținându-se seama de prevederile din „Normativ pentru executarea hidroizolațiilor bituminoase la lucrările de construcții C 112-80, precum și de următoarele condiții:

| Procesul tehnologic și condiții de desfășurare | | Regim termic critic | |
|------------------------------------------------|---------------------------------------------------------------------------------------------|---------------------|-------------------------------------------------------|
| | | Temperatura | Durata |
| a. | Hidroizolații bituminoase prin procedee la cald. | + 5° | Durata de execuție |
| b. | Hidroizolații prin procedee la rece (SUBIF sau emulsii bituminoase) numai în spații inchise | + 8° | Durata de execuție |
| c. | Hidroizolații cu folii și adezivi din mase plastice. | | |
| d. | Hidroizolații din mortar de ciment, cu sau fără adaosuri hidrofuge, numai în spații inchise | + 5° | Durata de execuție și de maturizare critică (cap. 10) |

15.4. La executarea hidroizolațiilor se vor avea în vedere și următoarele:

a. Suprafețele elementelor de construcții pe care se aplică hidroizolațiile de orice fel să fie bine curățate de zăpadă, gheată, polei și impurități și să fie uscate.

b. Hidroizolațiile exterioare care nu s-au putut executa în soluție definitivă, pînă la începerea timpului friguros, se vor realiza prin soluții provizorii, pentru protejarea elementelor de construcții în perioada friguroasă, urmînd ca la revenirea timpului cald să se aplice soluția definitivă.

La fel se va proceda și cu aplicarea straturilor de protecție a hidroizolațiilor, surprinse de apariția timpului friguros.

c. Nici o lucrare de hidroizolație nu se va executa pe timp de ploaie, ninsoare sau vînt puternic (avînd viteza mai mare de 6 m/s).

Izolații fonice

15.5. Izolațiile fonice se execută în spații inchise, astfel că ele necesită aceleasi condiții de lucru ca și celelalte lucrări interioare de finisaj (tencuieli, zugrăveli etc.), pentru care, în capitolul 13 din prezentul normativ, se dău condițiile necesare de execuție.

16. PROTECȚIA ANTICOROSIVĂ ÎN CONSTRUCȚII

16.1. Lucrările de protecție anticorosivă se pot executa pe timp friguros numai în hale închise în care se asigură cu strictețe condițiile limită de temperatură și umiditate indicate de furnizorul materialelor prin norme interne de fabricație, prospete, instrucțiuni de utilizare etc. În lipsa acestora se vor respecta următoarele condiții generale:

| Procesul tehnologic și condiții de realizare | | Regim termic critic | |
|----------------------------------------------|-----------------------------------------------------------------------------------------------------------------|---------------------|---------------------------------------------------|
| | | Temperatura | Durata |
| a. | Depozitarea materialelor de protecție anticorosivă | + 10°...+ 15° | Permanent |
| b. | Pregătirea suportului-pereți sau pardoseli — pentru a nu depăși umiditatea de 4%, iar a mediului ambiant de 65% | + 15° | Durata de pregătire |
| c. | Executarea lucrărilor de protecție | + 15° | Durata de execuție |
| d.. | Polimerizarea și stabilizarea chiturilor și maselor de șpaclu aplicate | + 15° | 7...14 zile (eventual pînă la darea în folosință) |

16.2. În spațiul de lucru se vor asigura mijloacele necesare pentru o ventilare corespunzătoare, cu un schimb al aerului de 10...12 ori/oră, pentru eliminarea vaporilor de substanțe volatile din chituri, mase de șpaclu și vopsele.

16.3. Spațiul de lucru va fi iluminat corespunzător, cu corpuri de iluminare protejate etanș, pentru a nu se produce explozii.

16.4. În cazul lucrărilor de protecție ce trebuie executate în aer liber, se vor lua măsuri de închidere a obiectelor sau elementelor ce se protejează, folosind schelete de metal sau lemn și folii sau prelate, pentru obținerea de spații ferite de intemperii și care pot fi încălzite, ventilate și iluminate în condițiile indicate mai sus.

16.5. Toate soluțiile tehnice cele mai eficiente și economice pentru asigurarea condițiilor strict necesare executării lucrărilor de protecție anticorosivă pe timp friguros vor fi stabilite de proiectant, care va întocmi un proiect separat de execuție cu detaliile necesare și instrucțiuni tehnice speciale pentru utilizarea justă a materialelor și tehnologiilor de aplicare.

17. LUCRĂRI DE ZIDĂRIE REFRACTARĂ

17.1. Lucrările de zidărie refractară se vor executa pe timp friguros cu respectarea următoarelor condiții: (vezi tabel pag. 75).

17.2. Cărămizile care, din diverse motive, s-au umezit vor fi uscate înainte de utilizare; cărămizile care după o umezire accidentală au fost expuse frigului, astfel că au înghețat, nu se vor utiliza decât în locuri de importanță cu totul secundară și numai cu avizul favorabil al proiectantului, care trebuie să le precizeze o asemenea destinație, fie prin proiectul de execuție a lucrărilor pe timp friguros, fie la sesizarea expresă a constructorului sau beneficiarului.

17.3. Cărămizile care nu au suferit acțiunea umidității ci numai a frigului, astfel că au o temperatură foarte scăzută, nu se vor folosi la zidării deoarece provoacă răcirea bruscă a mortarelor, periclitând calitatea acestora și a întregii zidării.

17.4. Nu se admite utilizarea aditivilor antigel în mortarele zidăriilor refractare.

17.5. Pentru realizarea condițiilor termice la locul de punere în operă a materialelor, lucrările se vor executa în spații închise și încălzite în condițiile de la cap. 4.

În acest scop se va asigura din timp închiderea halei respective și încălzirea ei cu sobe, calorifere sau generatoare de aer cald. Dacă acest lucru nu se poate realiza se vor face închideri provizorii cu caracter local: barăci, corturi, folii de polietilenă, prelate etc., la care însă trebuie în orice caz să se asigure încălzirea spațiului astfel delimitat.

Aceste închideri provizorii nu se vor demonta decât după uscarea perfectă a zidăriei pe care au protejat-o astfel ca expunerea ei la o scădere bruscă de temperatură prin contactul cu aerul mult mai rece din restul halei să nu-i mai poată periclita calitatea.

| | Procesul tehnologic și condiții de realizare | Regim termic critic * | |
|----|-----------------------------------------------------------------------------------------------------------------------|--------------------------------------------------------------------------------------------------------------------------------------------------|-------------------------------------------------------------------------------------------|
| | | Temperatura | Durata |
| a. | Depozitarea materialelor (cărămizi, făină de magnezită, cimenturi, șamote, etc.) în spații închise, ferite de umezelă | 0° | Permanent |
| b. | Preîncălzirea materialelor de la pct. a prin depozitarea lor temporară în spații închise, ferite de umezelă | +5° | 1 zi |
| c. | Fasonarea prin tăiere, cioplire etc. a cărămizilor refractare, în spații închise | +5° | Durata de execuție |
| d. | Executarea zidăriilor cu mortare umede în spații închise | <ul style="list-style-type: none"> - încălzirea apei - prepararea mortarelor - executarea zidăriei | <ul style="list-style-type: none"> +60°...+80° +100° +5° |
| e. | Executarea zidăriilor cu mortare uscate în spații închise | <ul style="list-style-type: none"> - preîncălzirea făinurilor de mortar cu care se umplu rosturile - executarea zidăriei | <ul style="list-style-type: none"> +60°...+70° -5° |
| f. | Lucrări de șamotare în spații închise | <ul style="list-style-type: none"> - preîncălzirea stratului suporț - executarea lucrărilor de șamotare | <ul style="list-style-type: none"> +8° +8° |
| g. | Lucrări de zidărie antiacidă, în spații închise | +15° | Durata de execuție |
| h. | Uscarea zidăriilor și lucrărilor de șamotare | +5° | Durata de uscare |

17.6. Închiderile la locul de lucru, se vor limita la realizarea unui volum minim de spațiu închis, asigurîndu-se totușî în interior lătimile minime necesare circulației în zona locului de lucru.

Aceste închideri se pot realiza în mai multe feluri, ca de exemplu: folii de polietilenă simplă sau armată fixată pe un schelet din ţeavă pentru schelele metalice de inventar; panouri de inventar din PFL sau azbociment; panouri sandviș cu vată minerală și polietilenă pe rame de lemn; plăci de azbociment ondulat pe rame de oțel-beton etc.

17.7. În cazurile cînd, în jurul zidăriei refractare, zidăria obișnuită (de roșu) și cea termoizolatoare s-au putut executa în prealabil, încăperile astfel formate pot înlocui închiderile provizorii, cu condiția încălzirii lor corespunzătoare.

17.8. Nu se vor utiliza mijloace de încălzire care consumă motorină, petrol sau gaze de sondă, preferîndu-se pe cele ce necesită combustibili solizi.

17.9. Încălzirea locurilor de lucru trebuie asigurată pe toată perioada desfășurării lucrărilor, fără nici o întrerupere, atît ziua cît și noaptea, inclusiv în zilele de repaus legal, spre a nu se expune zidăria refractară la înghețare înainte de uscarea ei completă.

Atunci cînd cauze de forță majoră determină întreruperea accidentală a încălzirii, precum și în timpul pauzelor de lucru de pe șantier, zidăria executată va fi protejată prin acoperirea cu rogojini, saci de iută etc.

17.10. Atît zidăria refractară cît și cea obișnuită, care au fost surprinse și degradate de îngheț, se vor reface. La refacere se vor respecta cu mai multă atenție măsurile de precauție și protecție specifice timpului friguros, date în prezentul capitol.

Nu se admite folosirea mortarelor rezultate din desfacerea unor asemenea zidării.

18. INSTALAȚII INTERIOARE

18.1. La organizarea execuției pe timp friguros a lucrărilor de instalații aferente construcțiilor se va ține seama de caracteristicile tehnice ale materialelor ce se prelucrează și se montează

și de natura operațiilor necesare, în condițiile factorilor climatici din zilele de timp friguros, definite prin prezentul normativ.

18.2. Transportul, manipularea și depozitarea materialelor de instalații se vor efectua în conformitate cu prevederile condițiilor tehnice din standardele sau normele interne ale produselor respective.

Instalații sanitare, de încălzire și ventilare

18.3. Pentru realizarea unei calități corespunzătoare a lucrărilor de instalații interioare: sanitare, de încălzire și de ventilare, se vor respecta la executarea lor următoarele condiții: (vezi tabel pag. 78)

18.4. În proiectele de organizare a șantierelor, pentru activitatea pe timp friguros, în fișele tehnologice precum și în alte documente ale proiectului privind execuția lucrărilor de instalații, se vor preciza condițiile de efectuare a lucrărilor la diferite temperaturi ale mediului ambiant.

18.5. Execuția operațiilor tehnologice ale unor lucrări de construcții aferente lucrărilor de instalații ca de exemplu: lucrări de pămînt, lucrări de beton, zidărie, lucrări de vopsitorie și izolații, construcții metalice din oțel etc. se va organiza și efectua în conformitate cu prevederile capitolelor respective din prezentul normativ.

18.6. În cazul unor temperaturi exterioare sub +5°C, pentru a feri instalațiile de îngheț în încăperile neîncălzite, se va proceda la golirea de apă a tuturor elementelor instalației.

Instalații electrice și de automatizare

18.7. Instalațiile electrice și de automatizare se pot executa pe timp friguros cu respectarea următoarelor condiții: (vezi tabel pag. 79)

| Felul materialului | Procesul tehnologic și condiții de realizare | Regim termic critic | |
|---------------------------------------|-----------------------------------------------------------------------------------------------------------------------------|---------------------|------------------------------------------|
| | | Temp. | Durata |
| — | a. Lucrările de fixare a elementelor de instalării în structurile de construcții de beton zidărie, etc. prin procedee umede | +5° | Durata de execuție și maturizare critică |
| Inele de cauciuc, adezivi și solventi | b. Depozitarea în magazii închise bine aerisite | +5° | Permanent |
| Tevi din PVC | c. Depozitarea în magazii închise | -5° | Permanent |
| | d. Preincălzirea prin depozitare temporară în spații închise, dacă urmează a fi prelucrate la rece | +5° | 24 ore |
| | e. Prelucrarea mecanică, la rece | +5° | Durata de prelucrare |
| | f. Prelucrarea prin deformare la cald, sudură, lipire | 0...+5° | Durata de execuție |
| | g. Montarea pe șantier | 0...-5° | Durata de montare |
| | h. Lucrări de sudură autogenă și electrică | | Cap. 12 |
| | i. Montarea conductelor și accesoriilor | 0° | Durata de montare |
| | j. Montarea | 0° | Durata de montare |
| Obiecte sanitare | k. Efectuarea probelor de presiune sau de funcționare (cu apă sau cu aer), la rece sau la cald. | +5° | Durata probei |

| Procesul tehnologic și condiții de realizare | | Regim termic critic | |
|----------------------------------------------|------------------------------------------------------------------------------------------------------------|----------------------------------------------------------------------------------------------------------------------------------------------------------------------------------------------------------------------------------------------------------------------------------------------------------------------------------------------------------|-----------------------------------------------------------------------------------------------------------|
| | | Temp. | Durata |
| 1 | 2 | 3 | |
| a. | Depozitare și manipulare | <ul style="list-style-type: none"> — Tuburi izolate IPY și IPEY din PVC — Conducte din Cu și Al cu izolații din PVC — Conducte de conexiuni pentru telecomunicații și automatizări cu izolație din PVC — Conducte de conexiuni pentru telecomunicații și automatizări cu izolație textilă | <ul style="list-style-type: none"> -5° -5° -5° -15° |
| b. | Preincălzirea tuburilor izolante IPY și IPEY din PVC prin depozitare în spații închise | | +5° |
| c. | Manevrarea și pozarea cablurilor electrice fără încălzire prealabilă | <ul style="list-style-type: none"> — Cabluri cu izolație de hîrtie 15...35kV — cabluri cu izolație și manta din PVC pînă la 1 kV — cabluri cu izolație de hîrtie și mașta de plumb, aluminiu sau PVC pînă la 10 kV — cabluri armate cu izolație din cauciuc — cabluri nearmate cu izolație de cauciuc | <ul style="list-style-type: none"> +5° +4° 0° -7° -20° |
| d. | Preincălzirea cablurilor în vederea manevrării și pozării lor la temperaturi inferioare celor de la pct. c | <ul style="list-style-type: none"> — în spații închise și în călăzite — cu curent alternativ trifazic | <ul style="list-style-type: none"> + 5°...10° + 10°...20° + 20°...40° |
| | | | 3 zile |
| | | | 40 ore |
| | | | 20 ore |
| | | | conf. pct. 18.8 |

| | 1 | 2 | 3 |
|----|----------------------------------------------------------------------------------------------------------------------------------------------------------------------------------------------------------------------------------------------------------|-------------|---------------|
| e. | Preincălzirea rășinii ce se amestecă cu intăritorul în vederea obținerii masei de turnare la executarea manșoanelor de legătură și a cutiilor terminale | +40°...+50° | La amestecare |
| f. | Probarea și punerea în funcțiune a aparatelor, armăturilor și a instalațiilor electrice și de automatizare se fac în conformitate cu prevederile standardelor, normelor interne de fabricație și prescripțiilor de execuție la temperaturi ale mediului. | +5° | Durata probei |

18.8. În cazul încălzirii cablurilor pe cale electrică cu curent alternativ trifazic, durata de încălzire, curentul și tensiunea admisă sînt date pentru exemplificare la cabluri cu izolație din hîrtie impregnată, de la 10 kV, în tabelul de mai jos.

| Nr. și secțiunea vinelor conductorului cablului 10 kV cu izolație de hîrtie impregnată | Curent maxim admis pentru încălzirea aerului | Timp aproximativ necesar pentru încălzirea față de temperatură medie a aerului înconjurător (min.) | Tensiunea (în V) necesară la bornele transformatorului la o lungime a cablului (în m) de: | | | | | | | |
|----------------------------------------------------------------------------------------|----------------------------------------------|----------------------------------------------------------------------------------------------------|-------------------------------------------------------------------------------------------|------|------|------|------|------|------|------|
| | | | 0° | -10° | -20° | 100 | 200 | 300 | 400 | 500 |
| 3× 10 | 76 | 59 | 66 | 87 | 23 | 46 | 69 | 92 | 100 | 100 |
| 3× 16 | 102 | 66 | 73 | 94 | 19 | 39 | 58 | 77 | 97 | 97 |
| 3× 25 | 130 | 71 | 88 | 106 | 16 | 32 | 48 | 64 | 80 | 80 |
| 3× 35 | 160 | 74 | 93 | 112 | 14 | 28 | 42 | 56 | 70 | 70 |
| 3× 50 | 190 | 90 | 113 | 134 | 11,6 | 23 | 34,5 | 46 | 58 | 58 |
| 3× 70 | 230 | 97 | 122 | 149 | 10 | 22 | 30 | 40 | 50 | 50 |
| 3× 95 | 285 | 99 | 124 | 151 | 9 | 18 | 27 | 36 | 45 | 45 |
| 3× 120 | 330 | 110 | 138 | 170 | 8,5 | 17 | 25 | 34 | 42 | 42 |
| 3× 150 | 375 | 124 | 150 | 185 | 7,5 | 15 | 23 | 31 | 38 | 38 |
| 3× 185 | 425 | 134 | 167 | 208 | 6 | 12 | 17 | 23 | 29 | 29 |
| 3× 240 | 490 | 152 | 190 | 234 | 5,3 | 10,6 | 15,9 | 21,2 | 26,5 | 26,5 |

P A R T E A III-a

Anexe

ANEXA A

NIVELURI DE ASIGURARE RECOMANDATE PENTRU EXECUTAREA PE TEMP FRIGUROS A LUCRĂRILOR DE CONSTRUCȚII ȘI INSTALAȚIILOR AFERENTE

| Cap. | Felul lucrărilor | Procesul tehnologic și condiții climatice | Nivel de asigurare recomandat θ_{ae} (*) | 1 | | 2 | | 3 | | 4 | |
|------|-----------------------------------------------|---------------------------------------------------------------------------|-------------------------------------------------|---------------------------------------------------------------------------------------------------------------------|-----------------------------------|---|---|---|---|---|---|
| | | | | 1 | 2 | 3 | 4 | 5 | 6 | 7 | 8 |
| 6 | Lucrări de pămînt | Săparea și transportul pămîntului în depozit | -15° | | | | | | | | |
| | | Săparea, transportul, împrăștierea și compactarea pămîntului în umpluturi | 0° | | | | | | | | |
| 7 | Fundații și construcții sub nivelul terenului | Fundații de suprafață | Cap. 6 | a) | Săparea, gropilor pentru fundații | | | | | | |
| | | b) | Cap. 8 | Prepararea, transportul, punerea în operă a betonului și protejarea elementului în perioada critică de maturizare | | | | | | | |
| | | c) | Cap. 6 | Execuția umpluturilor | | | | | | | |
| | | Fundații de adâncime | Cap. 6 | a) | Săparea, forarea | | | | | | |
| | | b) | Cap. 8 | Prepararea, transportul și punerea în operă a betonului și protejarea elementului în perioada critică de maturizare | | | | | | | |

| 1 | 2 | 3 | 4 |
|-------------------------------------------------|---------------------------------------------------------|------------------------------------------------------------------------------------------------------------------------------------------------------------------------|---------------------------------------------------------------------------------------------------------------------------|
| 7 Fundații și construcții sub nivelul terenului | Conducte și cabluri subterane | a) Săparea șanțurilor | Cap. 6 |
| | | b) Pozarea conductelor metalice | Cap. 12 |
| | | c) Probe de presiune cu apă la conducte | 5° |
| | | d) Pozarea cablurilor electrice | Cap. 18 |
| | | a) Săparea șanțurilor | Cap. 6 |
| | Canale și lucrări aferente | b) Executarea canalelor din beton | Cap. 8 |
| | | c) Executarea canalelor din zidărie | Cap. 10 |
| | | d) Tencuieți, etanșări | Cap. 13 |
| | | e) Izolări | Cap. 15 |
| | | Zile friguroase (pot. 1.4) în care temperatura aerului (pot. 1.3) variază: — peste 0°C — între -5° și -10° (numai dacă betonul încălzește după punerea în operă) | 0° -5° -10° |
| 8 Lucrări de beton | Prepararea, transportul și punerea în operă a betonului | Metoda conser-vării căldurii fără aditivi antigel (**) | Temperatura aerului (pot. 1.3) în ziua punerii în opera-variază: — peste 5°C — între 5° și 0° — între 0° și -5°C |
| | | | 0° -5° -10° |

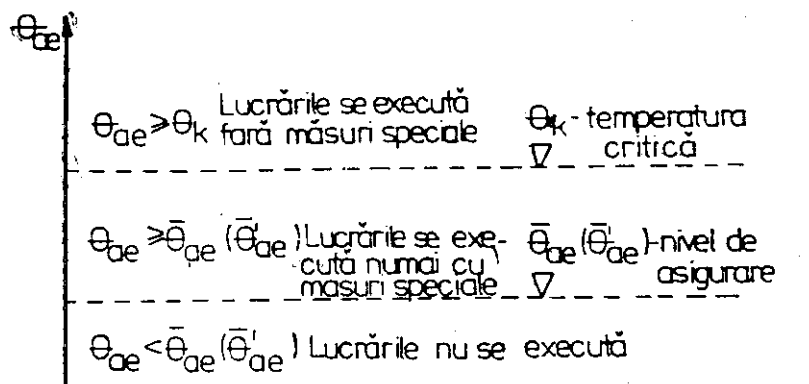
| 1 | 2 | 3 | 4 |
|-----------------------------|----------------------------------------------|-----------------------------------------------------------------------|------------------------------------------------------------------------------------------------------------------------------------------------------|
| | | Metoda încălzirii după punerea în opera- | Temperatura aerului (pot. 1.3) în ziua punerii în opera-variază: — peste +5°C — între +5° și 0°C — între 0° și -5°C — între -5° și -10°C |
| 9 Montarea prefabrica-telor | Metalice Din beton armat sau precomprimat | Manipulare, montare | +5° |
| | | a) Manipulare, montare | 0° |
| | | b) Sudarea armăturilor | -5° |
| | | c) Turnarea betonului de monolitizare | -10° |
| 10 Lucrări de zidărie | | Manipulare, montare | -15° |
| | | a) Manipulare, montare | -15° |
| | | b) Sudarea armăturilor | Cap. 12 |
| | | c) Turnarea betonului de monolitizare | Cap. 8 |
| | | a) Depozitarea materialelor de zidărie | 0° |
| | | b) Prepararea mortarului | +5° |
| | | c) Transportul și punerea în operă a mortarului | +5° |
| | | d) Executarea zidăriei | +5° |
| | | e) Protejarea zidăriei după executare — în spații închise | 0° |
| | | f) zidăriei după executare — pentru conservarea căldurii înmagazinate | -5° |

| 1 | 2 | 3 | 4 |
|----|-------------------------------|---------------------------------------------------------------------------------------------------------------------------------------------------------------------------------------------------------------------------------------------------------------------------------------------------------------------------------------------------------------------------------------------|-----------------------------------------------------------------------------------------|
| 11 | Învelitori și tinichigerie | a) Tigle și olane; montare b) Plăci din azbociment și PAS c) Tablă plană, ondulată sau cutată d) Folii bituminante, primul strat e) Sără, șindrilă din lemn, plăci și șără din azbociment | -10° -10° +5° -10° +5° +15° +5° -10° |
| 12 | Construcții metalice din oțel | a) Sudarea: - în aer liber OB 37 PC 52; PC 60; PC 90 - în spații închise și încălzite b) Montarea c) Vopsirea elementelor izolate în spații inchise și încălzite. | -5° 0° -10° -10° -10° -10° -5° -5° |
| 13 | Lucrări de finisaj | În spații inchise | -5° |
| 14 | Montarea | geamurilor în spații inchise | -5° |
| 15 | Izolații termice | a) Betoane termoizolatoare b) řape de protecție (procese umede) c) Termoizolații aplicate prin lipire cu bitum cald d) Termoizolații aplicate prin mijloace mecanice e) Straturi adiacente; bariere contra vaporilor; straturi de difuzie; hidroizolații f) Bariere contra vaporilor sub formă de pelicule din emaluri, pe suprafață inferioară a elementelor de construcții | Cap. 8 Cap. 10 Cap. 15 hidroiz. -10° Cap. 15 hidroiz. Cap. 13 Cap. 16 |

| 1 | 2 | 3 | 4 |
|----|----------------------------------------------------------|----------------------------------------------------------------------------------------------------------------------------------------------------------------------------------------------------------------------------------------------------------------------------------------------------------------------|--------------------------------------------------------|
| 15 | Hidroizo-lătii | a) Hidroizolații prin procedee la cald b) Hidroizolații prin procedee la rece (SUBIEF sau emulsiile bituminoase) numai în spații închise c) Hidroizolații cu folii și adezivi din din mase plastice d) Hidroizolații din mortar de ciment, cu sau fără adaosuri hidrofuge, numai în spații închise. | +5° -5° Prospectele firmelor producătoare -5° |
| 16 | Protecția anticorosivă în construcții | a) Depozitarea materialelor de protecție anticorosive b; c) Pregătirea suportului, executarea lucrărilor de protecție | (***) 0° |
| 17 | Lucrări de zidărie refracțiară | d) Polimerizarea și stabilizarea chiturilor și maselor de spachiu aplicate a) Depozitarea materialelor specifice b...c) Preîncălzirea, fasonarea, execu-tarea zidăriilor f; g) Lucrări de șamotare și zidărie antiacidă h) Uscarea zidăriilor și lucrărilor de șamotare | -10° (***) -5° 0° -10° |
| 18 | Instalații interioare sanitare de încălzire și ventilare | a) Lucrări de fixare b) Depozitarea materialelor din PVC c...f) Preîncălzire, prelucrare meca-nică la rece, la cald, montare pe șantier a materialelor din PVC g) Lucrări de sudură h...i) Montarea conductelor metalice, a accesoriilor și a obiectelor sani-tare j) Efectuarea probelor de presiune | -5° (***) -5° Cap. 12 -5° 0° |

| 1 | 2 | 3 | 4 |
|----|---------------------------------|----------------------------------------------------------------------------|--------------------------------|
| 18 | Instalații interioare electrice | a) Depozitarea și manipularea tuburilor și conductorilor | (***) |
| | | b) Preincălzirea tuburilor izolante din PVC | -5° |
| | | c) Manevrarea și pozarea cablurilor electrice fără preincălzire prealabilă | Temperatura critică, pct. 18.7 |
| | | d) Preincălzirea cablurilor | -5° |
| | | e) Preincălzirea rășinii la executarea manșoanelor și cutiilor terminale | -5° |

(*) Nivelul de asigurare $\bar{\theta}_{ae}$ (pct. 1.12 din Normativ) este temperatura aerului exterior, definită conform pct. 1.3, pentru care se iau măsurile menite să asigure realizarea temperaturii critice a materialului sau elementului de construcție (pct. 1.7).



(**) În cazul folosirii de aditivi antigel se vor adăuga la temperaturile din col. 4, valoarea +5°C.

(***) Conform pct. 1.14 a din Normativ.

POLOȘIREA GRADULUI DE MATERIZARE LA CONTROLUL CALITĂȚII BETONULUI PUS ÎN OPERA PE TIMP FRIGUROS

1. Condiții de calitate

1.1. Calitatea betonului pus în operă pe timp friguros este asigurată dacă acesta atinge înainte de a îngheța un grad de maturizare (fig. B₁) evaluat pentru suprafețele elementului de construcție cele mai expuse răciri (M'_{θ_i}), al cărui echivalent cu gradul de maturizare evaluat la temperatura normală de +20°C este superior gradului critic de maturizare M_k (Normativ, pct. 8.2). Această condiție se exprimă prin relațiile:

$$\sum_{i=1}^n M'_{\theta_i} K_{\theta_i} = \sum_{i=1}^n (\theta'_i + 10) t_i K_{\theta_i} \geq M_k \quad (1.1)$$

$$t_k = \sum_{i=1}^n t_i \quad (1.2)$$

în care

M'_{θ_i} este gradul de maturizare efectiv al betonului, în h°C, evaluat pentru zona elementului de construcție cea mai expusă răciri, în intervalul de timp t_i ;

t_i – durata în h a intervalului de timp i , în care temperatura variază liniar;

M_k – gradul critic de maturizare al betonului, evaluat la temperatura normală +20°C, necesar a fi obținut în beton înainte de înghețarea lui, pentru ca rezistențele finale să nu fie afectate defavorabil;

K_{θ_i} – coeficientul de echivalare a gradului de maturizare al betonului evaluat la o temperatură oarecare θ_i , (θ'_i) cu gradul de maturizare evaluat la temperatura normală de +20°C;

t_k – durata critică de maturizare pentru care se obține în beton un grad de maturizare efectiv, echivalent din punct de vedere al nivelului de întărire, cu cel evaluat la temperatura normală de +20°C, în h;

θ'_i – valorile medii, pentru intervalele de timp t_i , ale temperaturii betonului măsurată în zona elementului de construcție cea mai expusă răciri;

n – numărul de intervale t_i în care se măsoară temperatura.

Valorile gradului critic de maturizare M_k în funcție de raportul A/C sunt date, pentru două tipuri de ciment folosite curent în RSR, în anexa B_{1.1}.

Pentru alte tipuri de cimenturi valorile gradului critic de maturizare M_k se determină experimental, prin studii de laborator.

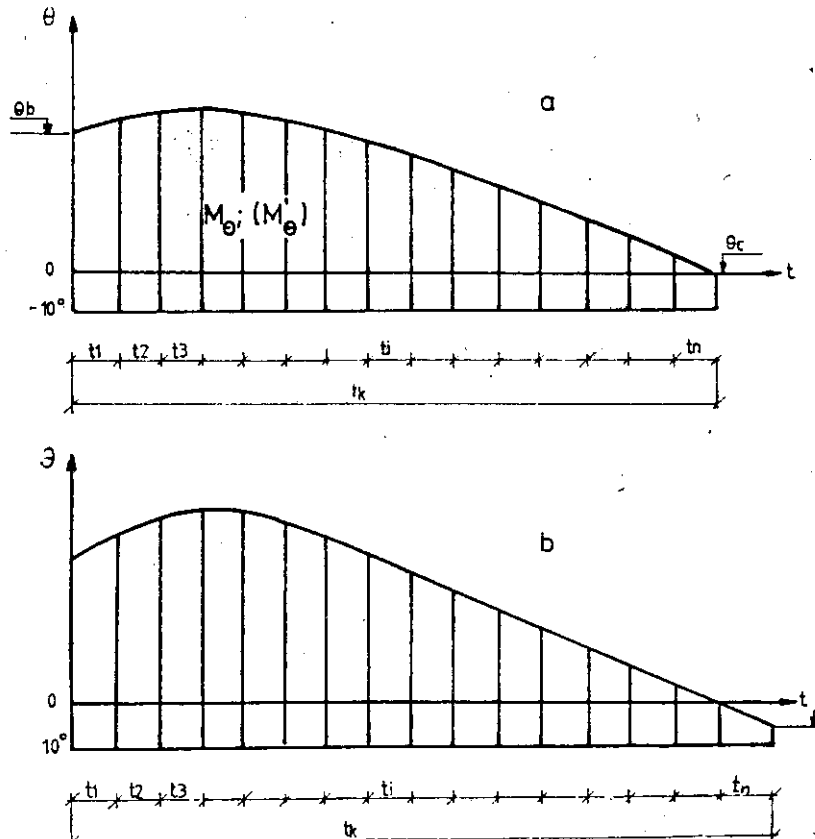


Fig. B.1. Gradul de maturizare efectiv M_θ ; (M'_θ)
 a. La betoane cu temperatură de îngheț 0°C
 b. La betoane cu temperatură de îngheț scăzută prin folosirea de aditivi specifici

1.2. Valorile coeficientului K_{θ_i} de echivalare a gradului de maturizare la temperatura θ_i (respectiv θ'_i) cu gradul de maturizare la temperatura normală, $+20^\circ\text{C}$, sint date in Anexa B_{1.2}.

1.3. Condiția de decofrare a elementelor de construcție bazată pe evaluarea gradului de maturizare efectiv la temperatură variabilă și compararea echivalentului său la temperatura normală de $+20^\circ\text{C}$ cu gradul de maturizare M_β , corespunzător unui nivel de întărire β , se exprimă prin relațiile:

$$\sum_{i=1}^n M'_{\theta_i} K_{\theta_i} = \sum_{i=1}^n (\theta'_i + 10) t_i K_{\theta_i} \geq M_\beta \quad (1.3)$$

$$t_\beta = \sum_{i=1}^n t_i \quad (1.4)$$

în care:

M_β este gradul de maturizare al betonului, evaluat la temperatura normală de $+20^\circ\text{C}$, corelat cu nivelul de întărire β , necesar pentru a fi permisă decofrarea, în h°C ;

t_β — termenul de decofrare, în h , la care se obține un grad de maturizare efectiv, echivalent din punct de vedere al nivelului de întărire cu cel evaluat la temperatura normală de $+20^\circ\text{C}$;

Parametrii M'_{θ_i} , K_{θ_i} , t_i , θ'_i , n , au aceleași semnificații ca și la punctul 1.1, relațiile (1.1) și (1.2).

Valorile gradului de maturizare M_β necesar la temperatura normală de $+20^\circ\text{C}$, corelate cu nivelul de întărire β , sint date pentru două tipuri de cimenturi folosite curent in RSR, in anexa B_{1.3}.

Valorile coeficientului K_{θ_i} rezultă din Anexa B_{1.2}.

1.4. Durata minimă de menținere a protecției se numește durată de maturizare critică și se corelează cu durata prevăzută in graficele de execuție cu relația:

$$t_k = 24 z_k + \Delta t \quad (1.5)$$

în care:

t_k este durata critică de maturizare, în h ;

z_k — durata rezervată in graficele de execuție pentru această fază tehnologică intre ziua de turnare a betonului și cea de îndepărțare a protecției, în zile;

Δt — timpul disponibil pentru maturizarea betonului in ziua punerii lui in operă, variind intre 0 ... 16 h, in funcție de regimul de lucru zilnic și de schimbul in care s-a pus in operă betonul, în h .

Regimul termic al betonului după punerea lui in operă trebuie să asigure realizarea gradului critic de maturizare in perioada t_k evaluată cu relația (1.2).

În lipsa unor durate z_k impuse prin graficele de execuție, durata critică de maturizare t_k se va determina concomitent cu proiectarea regimurilor termice.

În vederea reducerii la minimum a consumului de energie se vor adopta, în general, pentru duratele valorile maxime posibile.

1.5. Durata t_β , pentru decofrare, se evaluatează în funcție de durata z_β prevăzută în graficul de execuție în mod similar cu durata t_k . Se folosește relația:

$$t_\beta = 24 z_\beta + \Delta t \quad (1.6)$$

unde Δt are aceeași semnificație ca la pct. 1.4 (rel. 1.5).

Durata t_β , respectiv z_β , se poate impune prin graficele de execuție numai în măsura în care se crează în mod artificial și un regim termic corespunzător. În toate celelalte cazuri durata de maturizare rezultă din controlul regimului termic pentru realizarea gradului de maturizare efectiv, conform pct. 2.

2. Evaluarea gradului de maturizare efectiv

Realizarea gradului de maturizare necesar se controlează la execuție prin evaluarea echivalentului la temperatura normală de $+20^\circ\text{C}$ a gradului de maturizare efectiv obținut la temperaturi variabile θ_i sau θ'_i și compararea lui cu gradul critic M_k (pct. 1.1) sau cu cel necesar pentru decofrare M_β (pct. 1.3).

Se folosește în acest scop o fișă de calcul (Anexa B₂) în care se înscriu în coloana 1 și 2 datele necesare evaluării intervalelor de timp la care conform prevederilor din Normativ pct. 8.26, s-au efectuat măsurările pentru temperatura betonului, inscrisă în col. 4.

În fișă se înscriu în col. 3 și temperaturile aerului exterior, pentru evidențierea condițiilor în care s-a maturizat betonul.

În coloana 5 se fac mediile aritmetice ale temperaturilor din col. 4 luate cîte două, în ordinea în care au fost măsurate.

În coloana 6 se înscriu valorile K_{θ_i} din anexa B_{1.2}, corespunzătoare temperaturilor medii θ_i din coloana 5.

În coloana 7 se înscriu duratele t_i , rezultate din diferența dintre momentele în care s-au efectuat două măsurători succesive (col. 1 și 2).

În coloana 8 se calculează valorile $(\theta'_i + 10) K_{\theta_i} t_i$ iar în coloana 9 se cumulează relațiile (1.1 sau 1.3).

În momentul în care valoarea cumulată din col. 9 îndeplinește condiția (1.1) sau (1.3) se însumează duratele t_i din col. 7 rezultind durata t_k , respectiv t_β (relațiile 1.2 sau 1.4) la care se pot lua măsurile de îndepărtare a protecției, respectiv de decofrare.

3. Metode pentru maturizarea critică a betonului. Tipuri de regimuri termice și domeniile lor de aplicare

3.1. Gradul critic de maturizare, M_k , poate fi realizat prin metoda conservării căldurii sau prin metoda încălzirii betonului după punerea lui în operă, în funcție de valoarea raportului M_s/R_s , între modulul de suprafață al elementului și nivelul său de protecție termică.

Metoda folosită determină în beton următoarele tipuri de regimuri termice:

- a. Metoda conservării căldurii: regimul termic CC_k .
- b. Metoda încălzirii după punerea în operă: regimurile termice TT_k ; TC_k ; RT_k ; RC_k ; RTC_k care se diferențiază în funcție de durata perioadelor caracteristice pentru încălzirea artificială și pentru răcirea naturală.

3.2. Regimul termic CC_k (fig. 3.1) este recomandat pentru valori reduse ale parametrului M_s/R_s și se caracterizează prin variația naturală a temperaturii pe întreaga perioadă de maturizare critică t_k , se poate realiza în trei variante în funcție de modul în care variază temperatura;

a. Temperatura betonului crește (fig. 3.1. a) de la o valoare θ_b , la terminarea punerii în operă, la o valoare θ_c , la sfîrșitul perioadei t_c , deoarece intensitatea de degajare a exotermiei (P_{sex}) este mai mare decît cea de pierdere a căldurii prin protecția adoptată (P_{s1}); rezultă:

$$\theta_b < \theta_c; \quad t_k = t_c \quad (3.1)$$

b. Temperatura betonului scade (fig. 3.1. b) de la o valoare θ_b , la terminarea punerii în operă, la o valoare θ_c , la sfîrșitul perioadei t_c , deoarece intensitatea de degajare a exotermiei (P_{sex}) este mai mică decît cea de pierdere a căldurii prin protecția adoptată (P_{s1}); rezultă:

$$\theta_b > \theta_c; \quad t_k = t_c \quad (3.2)$$

c. Temperatura betonului se menține relativ constantă (fig. 3.1. c) pe întreaga perioadă t_c , datorită egalității aproximative a intensității de degajare a exotermiei (P_{sex}) cu cea de pierdere a căldurii prin protecția adoptată (P_{s1}); rezultă:

$$\theta_b \cong \theta_c; \quad t_k = t_c \quad (3.3)$$

3.3. Regimurile termice TT_k și TC_k sunt recomandate pentru valori ridicate ale parametrului M_s/R_s și se caracterizează, pentru o aceeași durată de maturizare t_k , printr-o temperatură de punere în operă θ_b , mai redusă decît pentru regimul CC_k . În consecință, este necesar ca temperatura θ_b să fie menținută constantă o perioadă t_t , la terminarea căreia se întrerupe încălzirea și betonul este lăsat să se răcească natural, o perioadă t_c .

a) Regimul TT_k (fig. 3.2. a) este un regim termic de referință pentru deținerea domeniilor eficiente de aplicare din punct de vedere al consumului de energie, între regimurile CC_k și TC_k ; se caracterizează prin parametrii:

$$\theta_b = \theta_t = \theta_c; \quad t_k = t_t; \quad t_c = 0 \quad (3.4)$$

b) Regimul TC_k (fig. 3.2. b) este un regim termic efectiv mai avantajos decât un regim CC_k din punct de vedere al consumului specific de energie pentru valori ridicate M_s/R_s ; se caracterizează prin parametrii:

$$\theta_b = \theta_t > \theta_c; \quad t_k = t_t + t_c \quad (3.5)$$

3.4. Regimurile RT_k ; RC_k ; RTC_k (fig. 3.3) reprezintă alternative, în general mai economice din punct de vedere al consumului specific de energie, față de regimurile TT_k ; CC_k și TC_k . Aceste regimuri se caracterizează prin punerea

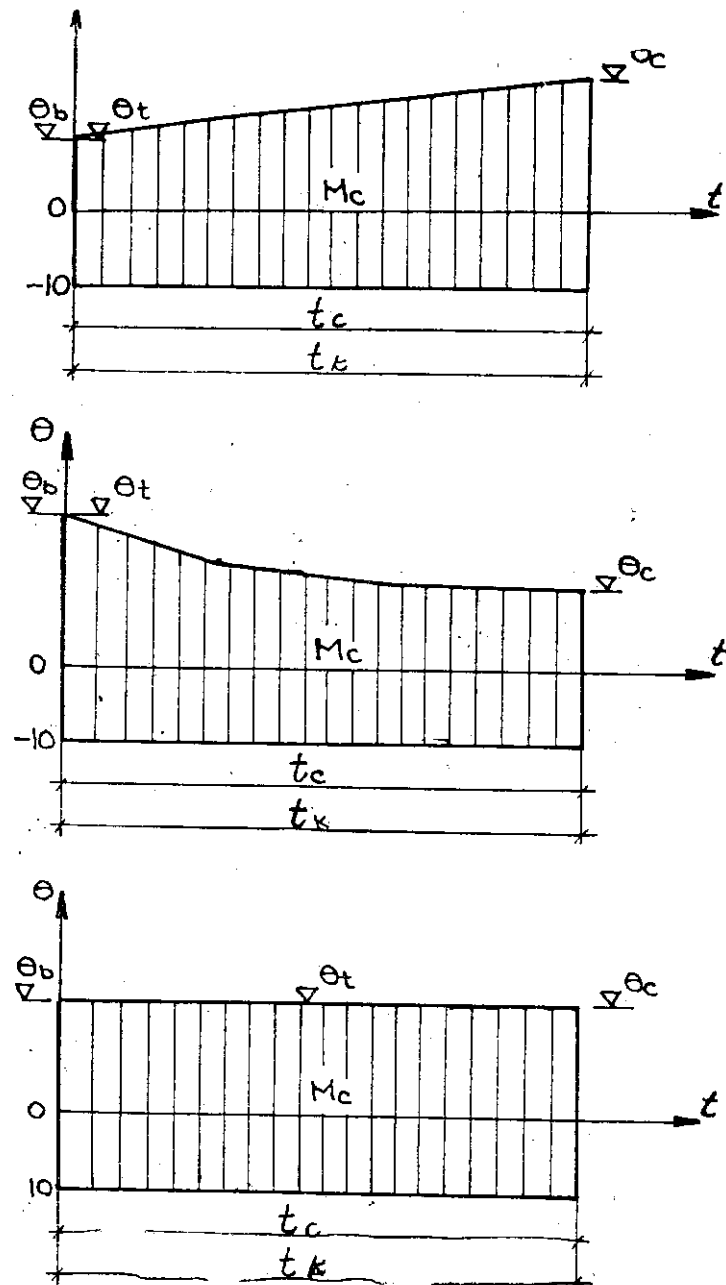


Fig. 3.1. Regimuri termice în metoda conservării căldurii (răcire naturală)

CC_k : $t_r = 0$; $t_t = 0$; $t_c > 0$

a°. $\theta_c > \theta_b$ — temperatura crește

b°. $\theta_c < \theta_b$ — temperatura scade

c°. $\theta_c \approx \theta_b$ — temperatura rămîne constantă

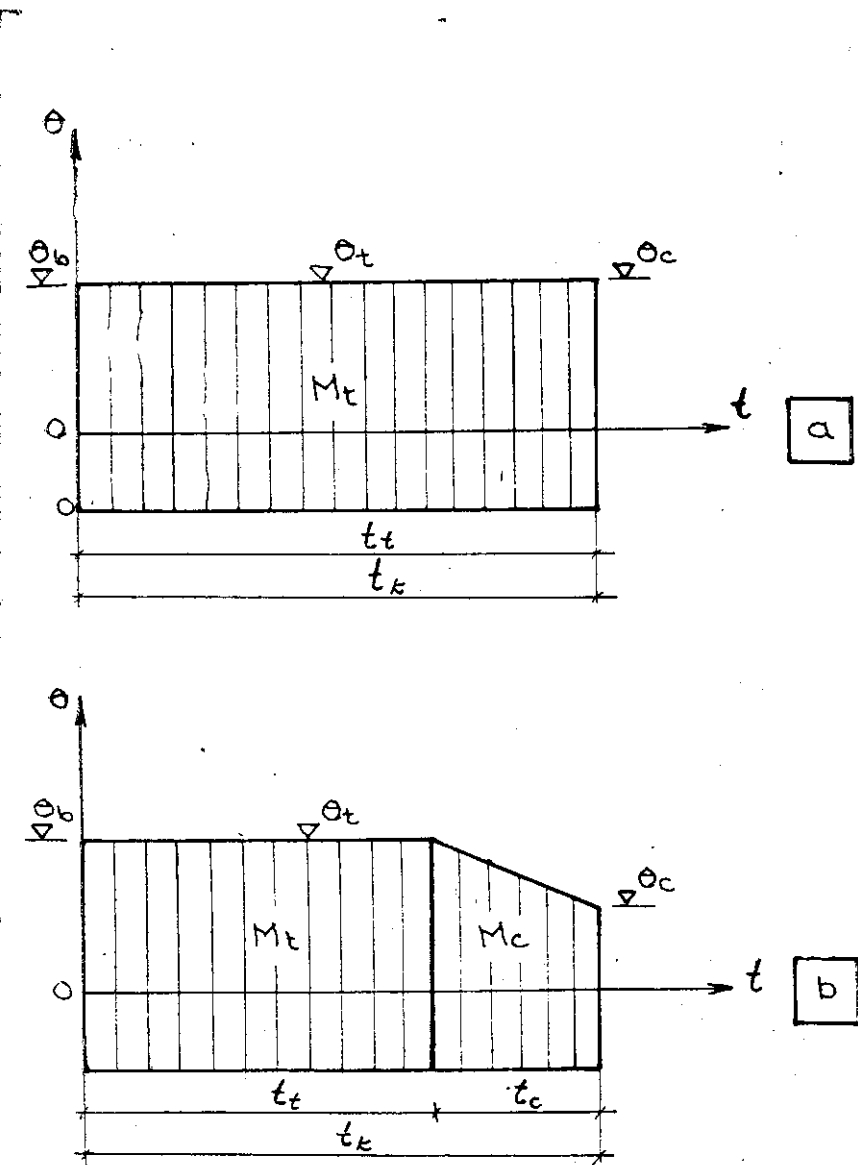


Fig. 3.2. Regimuri termice la încălzire după turnare

a°. — TT_k — de referință $t_r = 0$; $t_t > 0$; $t_c = 0$ $\theta_b = \theta_t = \theta_c$

b°. — TC_k — efectiv $t_r = 0$; $t_t > 0$; $t_c > 0$; $\theta_b = \theta_t > \theta_c$

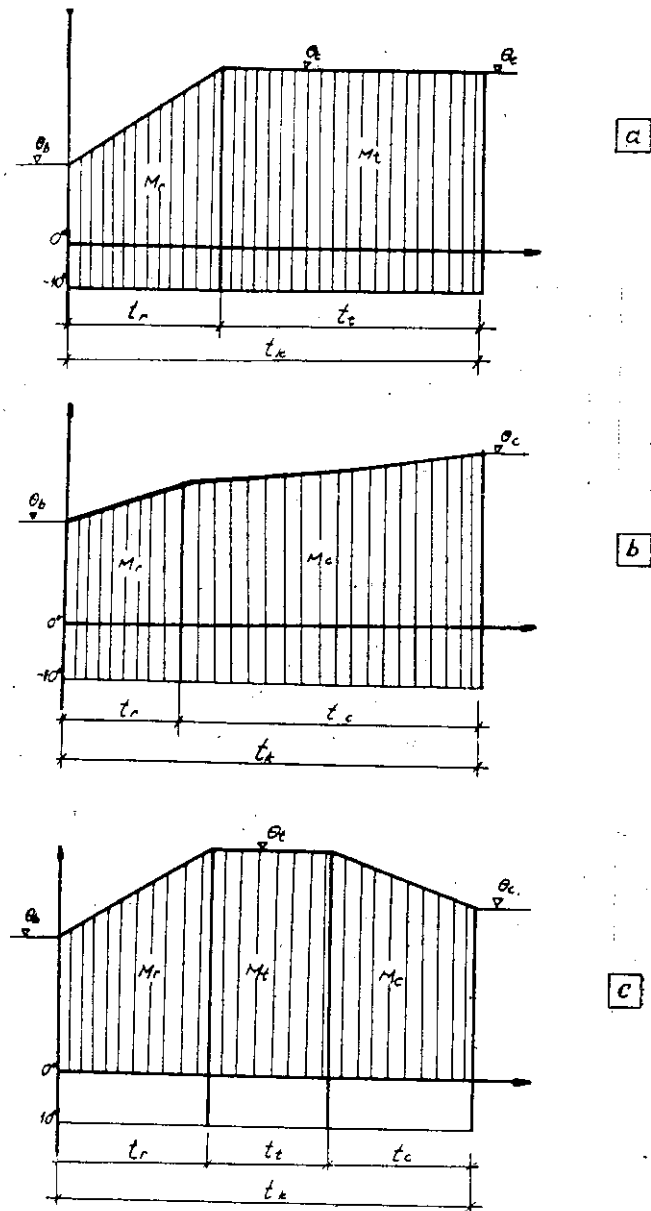


Fig. 3.3. Regimuri termice la încălzirea betonului după turnare
 a: RT_k — de referință $t_r > 0$; $t_t > 0$; $t_c = 0$
 b: RC_k — efectiv $t_r > 0$; $t_t = 0$; $t_c > 0$
 c: RTC_k — efectiv $t_r > 0$; $t_t > 0$; $t_c > 0$

în operă a betonului la o temperatură θ_b relativ scăzută, astfel încât pentru maturizarea lui critică este necesară ridicarea temperaturii la o valoare superioară θ_t , într-o perioadă t_r .

a) Regimul RT_k (fig. 3.3. a) este un regim termic de referință, pentru deținerea domeniilor eficiente de aplicare, din punct de vedere al consumului specific de energie, între regimurile RC_k și RTC_k ; se caracterizează prin parametrii:

$$\theta_b < \theta_t = \theta_c; \quad t_k = t_r + t_t; \quad t_c = 0 \quad (3.6)$$

b) Regimul RC_k constituie o alternativă pentru regimul CC_k , față de care conduce, în general, la consumuri specifice de energie mai reduse. Se caracterizează prin ridicarea artificială a temperaturii betonului de la temperatura θ_b și la θ_t , de la care, datorită cauzelor menționate la pct. 1.2. a, temperatura betonului crește în continuare, fără încălzire; rezultă:

$$\theta_b < \theta_t \leq \theta_c; \quad t_k = t_r + t_c; \quad t_t = 0 \quad (3.7)$$

c) Regimul RTC_k constituie o alternativă pentru regimul TC_k , față de care conduce, în general, la consumuri specifice mai reduse.

Se caracterizează prin ridicarea temperaturii, într-o perioadă t_r , de la valoarea θ_b , la o valoare superioară θ_t care trebuie menținută constantă o perioadă t_t , înainte de a se întrerupe încălzirea și a fi lăsat betonul să se răcească, în mod natural, o perioadă t_c ; rezultă:

$$\theta_b < \theta_t \geq \theta_c; \quad t_k = t_r + t_c + t_t \quad (3.8)$$

4. Corelarea regimului termic la preparare cu regimul termic la maturizarea betonului; bilanțul energetic

4.1. Regimul termic la preparare se corelează cu cel din timpul maturizării, prin temperatura θ_t de livrare a betonului către șantier, după descărcarea din mijlocul de transport (fig. 4).

Temperatura θ_t se evidențiază prin bonul de livrare (transport—primire beton) conform prevederilor de la pct. 5.3 din Normativ.

4.2. Între temperatura θ_t , la livrare, și regimul termic la preparare, respectiv regimul termic la maturizare, trebuie să se respecte următoarele corelații (fig. 4):

$$\theta_p \geq \bar{\theta}_{ae}' + \frac{2 + K_t'}{2 - K_t'} (\theta_t - \bar{\theta}_{ae}') \quad (4.1)$$

$$\theta_t \geq \bar{\theta}_{ae}'' + \frac{2 + K_t''}{2 - K_t''} (\theta_b - \bar{\theta}_{ae}'') \quad (4.2)$$

în care:

θ_p este temperatura betonului la descărcarea din betonieră, în °C;

θ_t — temperatura la descărcarea din mijlocul de transport, în °C;

θ_b — temperatura la terminarea punerii în operă, în °C;

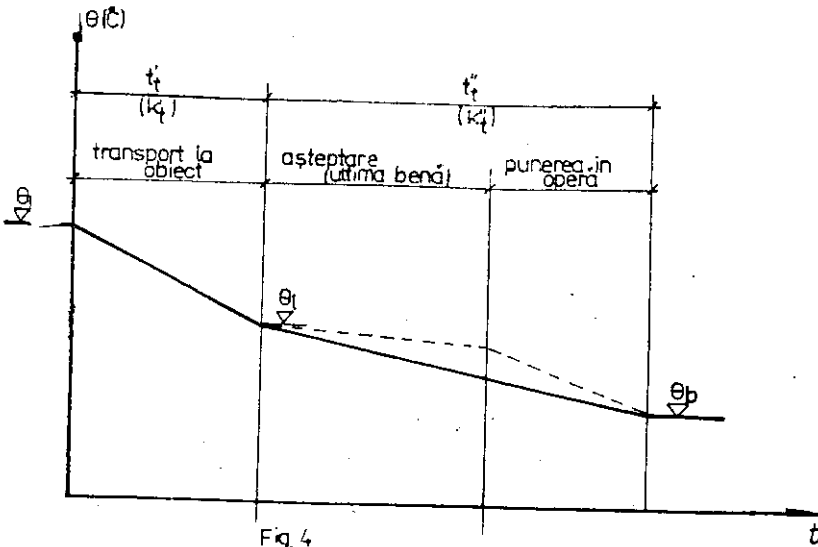


Fig. 4

- $\bar{\theta}_{ae}'$ — temperatură aerului exterior sau (nivelul de asigurare) în timpul preparării, transportului și punerii în operă, în °C;
- K'_t — coeficient de scădere a temperaturii de la stația de preparare la obiect (anexa D, pct. 6.1);
- K''_t — coeficient de scădere a temperaturii în timpul transportului (ridicării) pe obiect și al punerii în operă (anexa D, pct. 6.2).

4.3. Indicațiile de la pct. 3.2 ... 3.4 privind domeniile eficiente de aplicare ale regimurilor termice, din punct de vedere al consumurilor specifice de energie, se bazează pe bilanțul energetic total la preparare și la încălzirea după turnare, considerind randamentele acestora egale.

Bilanțul energetic se exprimă prin relația:

$$Q_s = \frac{Q_{sp}}{r_p} + \frac{Q_{ss}}{r_s} = \text{minim} \quad (4.3)$$

în care:

- Q_s este consumul specific total, în kWh/m³;
- Q_{sp} — consumul specific tehnic, la prepararea betonului, în kWh/m³;
- Q_{ss} — consumul specific tehnic, la încălzirea betonului pe șantier, după punerea în operă, în kWh/m³;
- r_p — randamentul instalațiilor de încălzire la prepararea betonului;
- r_s — randamentul instalațiilor de încălzire a betonului după punerea lui în operă.

Randamentul r_p , la prepararea betonului, se evaluează pentru acoperirea pierderilor din rețeaua de alimentare cu energie calorică a instalațiilor de încălzire a componentelor și a pierderilor de căldură din timpul funcționării acestora. Pierderile de căldură în timpul amestecării sunt incluse în consumul tehnic.

Randamentul r_s , la încălzirea betonului în perioada de maturizare, se evaluează numai pentru acoperirea pierderilor din rețeaua de distribuție a energiei calorice și a celor datorate imperfecțiunilor soluțiilor de protecție, intrucât pierderile din timpul funcționării instalației sunt incluse în consumul tehnic.

4.4. Bilanțul energetic de la pct. 4.3 se poate modifica și odată cu acesta și concluziile pentru delimitarea domeniilor eficiente de aplicare ale diferitelor regimuri termice, dacă randamentele r_p și r_s sunt diferite.

Limitele pentru care concluziile de la pct. 3.2 ... 3.4 rămân valabile, rezultă:

$$\frac{r_s}{r_p} \geq \lim \frac{r_s}{r_p} = \frac{Q_{ss2} - Q_{ss1}}{Q_{sp1} - Q_{sp2}} \quad (4.4)$$

în care:

$Q_{sp1}; Q_{ss1}$ sunt consumurile specifice la preparare, respectiv pe șantier pentru soluția etalon (cu care se face comparație — CC_k sau TC_k);

$Q_{sp2}; Q_{ss2}$ — consumurile specifice pentru soluția ce se compară (TC_k cu CC_k ; RC_k cu CC_k ; RTC_k cu TC_k).

ANEXA B_{1.1}

Gradul critic de maturizare

| Felul cimentului | E ₂₈ | | Gradul critic de maturizare M _k (la +20°C) pentru A/C = | | | |
|-------------------|-----------------|-------|--------------------------------------------------------------------|------|------|------|
| | Kcal/Kg | Kj/Kg | 0,4 | 0,5 | 0,6 | 0,7 |
| P _a 35 | 56 | 234 | 850 | 1100 | 1400 | 1620 |
| P 40 | 60 | 252 | 750 | 1000 | 1270 | 1500 |

ANEXA B_{1.2}

Coefficientul K_{θi} de echivalare a gradului de maturizare la temperatura θ_i, cu gradul de maturizare la +20°C

| θ _i = [°C] | | | | | | | | | | | |
|-----------------------|-----------------|----------------|-----------------|----------------|-----------------|----------------|-----------------|----------------|-----------------|----------------|-----------------|
| 1 ... 5 | | 6 ... 10 | | 11 ... 15 | | 16 ... 20 | | 21 ... 25 | | 26 ... 30 | |
| θ _i | K _{θi} | θ _i | K _{θi} | θ _i | K _{θi} | θ _i | K _{θi} | θ _i | K _{θi} | θ _i | K _{θi} |
| 1 | 0,270 | 6 | 0,800 | 11 | 0,912 | 16 | 0,968 | 21 | 1,020 | 26 | 1,136 |
| 2 | 0,420 | 7 | 0,840 | 12 | 0,924 | 17 | 0,976 | 22 | 1,040 | 27 | 1,172 |
| 3 | 0,560 | 8 | 0,868 | 13 | 0,936 | 18 | 0,984 | 23 | 1,060 | 28 | 1,208 |
| 4 | 0,660 | 9 | 0,884 | 14 | 0,948 | 19 | 0,992 | 24 | 1,080 | 29 | 1,244 |
| 5 | 0,760 | 10 | 0,900 | 15 | 0,960 | 20 | 1,000 | 25 | 1,100 | 30 | 1,280 |

ANEXA B_{1.3}Gradul de maturizare M_β și corelarea lui cu nivelul de întărire β

| Felul cimentului | Gradul de maturizare M (la +20°C), în h°C pentru β = [%] | | | | | | | | | |
|-------------------|----------------------------------------------------------|-----|------|------|------|------|------|------|-------|--|
| | 10 | 20 | 30 | 40 | 50 | 60 | 70 | 80 | 90 | |
| P _a 35 | 600 | 880 | 1290 | 1880 | 2760 | 4050 | 5930 | 8700 | 12700 | |
| P 40 | 520 | 740 | 1150 | 1690 | 2510 | 3720 | 5520 | 8200 | 12100 | |

ANEXA B₂PIŞĂ PENTRU CONTROLUL GRADULUI CRITIC DE MATORIZARE M_k SAU GRADULUI DE MATORIZARE PENTRU DECOFRARE M_β

Exemplu:

B 250 - L₃ - Pa 35 - 31M_k = 1310 h°C

$$\frac{M_s}{R_s} = 5; K_b = 0,200$$

| Data | Ora | θ _{ae} | Temperatura în beton °C | | K _{θi} | Interval de timp t _i | M' _θ K _θ | | |
|--------|-----|-----------------|-------------------------|------------------------|-----------------|---------------------------------|--------------------------------|---------|-----|
| | | | Măsurată | Medie θ _i ' | | | Simplu | Cumulat | |
| 14 XII | 8,0 | -5 | - | - | - | - | - | - | |
| | 14 | -2 | 10,0 | 10,0 | | 10 | 0,900 | 7 | 126 |
| | 21 | -6 | 10,0 | 10,0 | | 10 | 0,900 | 11 | 198 |
| 15 XII | 8,0 | -9 | 10,0 | 10,0 | - | - | - | - | |
| | 14 | -3 | 10,0 | 10,0 | | 10 | 0,900 | 6 | 108 |
| | 21 | -5 | 10,0 | 10,0 | | 10 | 0,900 | 7 | 126 |
| 16 XII | 8,0 | -13 | 10,0 | 10,0 | - | - | - | - | |
| | 14 | -11 | 9,0 | 9,5 | | 9,5 | 0,892 | 6 | 104 |
| | 21 | -12 | 8,0 | 8,5 | | 8,5 | 0,876 | 7 | 113 |
| 17 XII | 8,0 | -15 | 6,0 | 7,0 | - | - | - | - | |
| | 14 | -8 | 6,0 | 6,0 | | 6,0 | 0,800 | 6 | 77 |
| | 21 | -10 | 6,0 | 6,0 | | 6,0 | 0,800 | 7 | 90 |
| 18 XII | 8,0 | -13 | 5,5 | 5,75 | - | - | - | - | |
| | | | | | | | | | |

$$t_k = \sum t_i = 90 \text{ ore}$$

SOLUȚII TIP PENTRU REGIMURI TERMICE LA EXECUTAREA LUCRĂRIILOR DE BETON PE TEMP FRIGUROS

Soluțiile tip prezentate în anexa C sunt caracterizate printr-o serie de parametri de ale căror valori depinde realizarea regimului termic proiectat.

În consecință, compararea valorilor acestor parametri cu cele ce rezultă din situația reală este necesară pe de o parte pentru alegerea unei soluții corespunzătoare, iar pe de altă parte pentru identificarea măsurilor necesare a fi luate pentru aplicarea în practică a soluției alese.

1. Parametrii pe baza cărora se face alegerea soluției tip de regim termic pentru maturizarea critică a betonului

Soluția tip de regim termic se alege în funcție de:

- tipul betonului și compoziția acestuia;
- nivelul de asigurare conform recomandărilor din Anexa A;
- durata critică de maturizare conform indicațiilor din Anexa B (pct. 1.4);
- parametrii ce caracterizează elementul de construcție din punct de vedere al masivității și al nivelului de protecție;
- parametrii ce caracterizează condițiile de transport și de punere în operă.

Tipurile de betoane pentru care se dău soluții de regimuri termice tip se prezintă în anexa C₁.

Dacă caracteristicile betonului pus în operă pe temp friguros nu se încadrează în limitele din anexa C₁ este necesar să se proiecteze regimuri termice specifice, conform indicațiilor din Anexa D.

2. Evaluarea parametrilor ce caracterizează elementul de construcție din punct de vedere al masivității și nivelului de protecție termică

2.1. Se adoptă soluțiile de protejare a elementului de construcție și se estimează valorile rezistențelor termice R'_{sj} ; R''_{sj} aferente suprafețelor opuse S'_j ; S''_j normale pe direcțiile j , ce corespund celor trei axe rectangulare ale elementului de construcție $j = x; y; z$. Se procedează conform indicațiilor din anexa C_{2.1} folosind soluțiile tip din anexa C_{2.7} sau soluții speciale proiectate conform indicațiilor din Anexa D₂.

2.2. Se evaluatează parametrii $(M_s/R_s)_j$ și K_{bj} pentru fiecare din direcțiile j conform indicațiilor din Anexa C_{2.2} folosind tabelele din Anexele C_{2.4} – C_{2.6}.

2.3. Se evaluatează parametrii M_s/R_s și K_b pentru întregul element de construcție conform indicațiilor din Anexa C_{2.3}.

Parametrii ce caracterizează elementul de construcție din punct de vedere al masivității și nivelului de protecție termică se evaluatează în primul rînd în ipoteza aplicării metodei conservării căldurii, chiar dacă se folosesc pentru protecție soluții ce ar putea fi utilizate și pentru încălzirea după turnare (spre exemplu cofraje încălzitoare).

3. Soluțiile tip de regimuri termice prezentate în Anexa C și posibilități de extindere a aplicării lor

Soluțiile tipizate de regimuri termice sunt proiectate pentru:

- niveluri de asigurare variabile, conform prevederilor din Anexa A;
- gradele critice de maturizare corespunzătoare cimenturilor Pa 35 și P 40 (Anexa B_{1.1});
- durate de maturizare variabile, conform prevederilor din Anexa B, pct. 1.4.1;
- tipurile de regimuri termice din Anexa B, pct. 3;
- tipurile de betoane din Anexa C₁;
- parametrii $K_b = 0,050$ și $K_b = 0,200$;
- parametrii M_s/R_s variabili, conform prevederilor din Anexa C, pct. 2.

Anexa C₃ permite identificarea tabelelor din care urmează a fi extrase soluțiile tip de regimuri termice în funcție de metoda folosită, de tipul betonului pus în operă și de coeficientul K_b .

4. Metoda conservării căldurii. Alegerea unui regim termic tip CC_k (Anexa B, fig. 3.1 și Anexele C_{4.1} ... C_{4.8})

4.1. Se estimează nivelul de asigurare $\bar{\theta}_{ae}$ pe baza prevederilor din Anexa A.

4.2. Se determină parametrii ce caracterizează elementul de construcție $(M_s/R_s; K_b)$ conform prevederilor din anexa C₂.

4.3. Se identifică din Anexele C_{4.1} ... C_{4.8} tabelul corespunzător tipului de beton și coeficientului K_b , astfel:

- pentru $K_b < 0,050$ se folosesc tabelele cu $K_b = 0,050$;
- pentru $0,050 < K_b \leq 0,200$ se folosesc tabelele cu $K_b = 0,200$;
- pentru $K_b > 0,200$ se utilizează tabelele cu $K_b = 0,200$, corectându-se însă temperatura θ_b pentru ca să se asigure realizarea gradului de maturizare pe suprafețele cele mai reci ale elementului de construcție. Se folosește relația:

$$\theta'_b = \theta_b \frac{1 - K_b}{1 - K'_b} - \bar{\theta}_{ae} \frac{K'_b - K_b}{1 - K'_b} \quad (4.1)$$

în care:

θ'_b este valoarea ce se va adopta în loc θ_b , în regimul termic corespunzător pentru K'_b efectiv;

θ_b — temperatura corespunzătoare regimului termic stabilit pentru o valoare particulară K_b , în anexele C_{4.1} .. C_{4.8}.

4.4. Din tabelul corespunzător tipului de beton și coeficientului K_b se extrag pentru parametrii determinați la pct. 2.1...2.3. parametrii ce caracterizează regimul termic CC_k :

- durată de maturizare critică, în zile;
- temperatură betonului la terminarea punerii în operă θ_b , în °C;
- temperatură betonului la terminarea perioadei de maturizare critică, θ_c , în °C;
- durata critică de maturizare efectivă $t_k = t_c$, în h.

5. Metoda încălzirii betonului după punerea în operă

5.1. Pentru încălzirea betonului după punerea lui în operă este necesar să fie îndeplinite următoarele condiții:

- a. elementul de construcție să se caracterizeze printr-un coeficient $K_b < 0,100$;
- b. să existe posibilitatea de încălzire a betonului după punerea lui în operă (să se poată aplica unul din procedeele cunoscute);
- c. randamentul r_s al instalației de încălzire a betonului după punerea în operă să fie superior sau cel puțin egal cu randamentul r_p al instalației de încălzire a componentelor.

Alegerea unui regim termic TC_k (tabelele $C_{5.1} \dots C_{5.4}$) fig. 3.2 Anexa B)

5.2. În condițiile de la punctul 5.1 se poate adopta un regim termic TC_k mai eficient decât regimul CC_k , din punct de vedere al consumului de energie, pentru valori ridicate ale parametrului M_s/R_s . Limita de separație între cele două regimuri este însă variabilă în funcție de tipul de beton, de nivelul de asigurare, de durata critică de maturizare.

5.3. Dacă sunt îndeplinite condițiile de la punctul 5.1, pe baza parametriilor determinați conform punctelor 2.1; 2.2 și 2.3 (pentru $K_b < 0,100$) se identifică dintre tabelele $C_{5.1} \dots C_{5.4}$ tabelul corespunzător duratei t_k necesare și tipului de beton, din care se extrag în funcție de nivelul de asigurare adoptat parametrii ce caracterizează regimul termic TC_k ; rezultă:

- temperaturile caracteristice: θ_b , la terminarea punerii în operă (egală cu temperatura de tratare izotermă $\theta_b = \theta_t$) și temperatura θ_c , la terminarea duratei critice de maturizare, în °C;
- duratele caracteristice: t_t , de tratare izotermă și t_c , de răcire naturală, pînă la atingerea gradului critic de maturizare, în h;
- puterea specifică P_{st} , necesară în perioada t_t , în W/m³;
- consumul specific de energie, Q_{ss} , necesar pe săntier în kWh/m³; pentru transformare în Kcal/m³ se multiplică cu 860 Kcal/kWh.

Pentru valorile M_s/R_s inferioare celor din tabelele $C_{5.1} \dots C_{5.4}$ regimul termic CC_k este mai eficient decât un regim corespunzător TC_k la randamentele $r_s = r_p$.

5.4. Valorile puterii și consumului specific sunt valori tehnice, estimate pentru un coeficient $K_s = 1,075$, corelat cu valorile $K_b < 0,100$.

Valorile efective ale puterii instalate și consumului specific se obțin prin raportarea valorilor tehnice la randamentul r_s .

Alegerea unui regim RC_k (tabelele $C_{5.5}; C_{5.6}$) (fig. 3.3 din anexa B)

5.5. În condițiile de la pct. 5.1, pentru durate critice de maturizare reduse, se poate adopta un regim termic RC_k mai eficient decât regimul termic CC_k , și pentru valori M_s/R_s inferioare celor pentru care s-a recomandat conform pct. 5.3, regimul termic TC_k .

5.6. Dacă sunt îndeplinite condițiile de la pct. 5.1, pe baza parametriilor determinați conform pct. 2.1...2.3 (pentru $K_b < 0,100$) se identifică dintre tabelele $C_{5.5} \dots C_{5.6}$ tabelul corespunzător tipului de beton din care se extrag pentru durata $t_k = 64$ h parametrii ce caracterizează regimul termic RC_k ; rezultă:

- temperaturile caracteristice: θ_b , la terminarea punerii în operă; θ_t , la terminarea perioadei de ridicare a temperaturii și θ_c , la terminarea perioadei de maturizare critică, în °C;
- perioadele caracteristice: t_r , de ridicare artificială a temperaturii și t_c de variație naturală a acesteia după incetarea încălzirii, în h;
- puterea specifică P_{sr} în perioada t_r , în W/m³;
- consumul specific tehnic de energie necesar pe săntier Q_{ss} , în kWh/m³; pentru transformare în Kcal/m³ se multiplică cu 860 Kcal/kWh,
- viteza de ridicare a temperaturii, v_r , în °C/h.

5.7. Puterea și consumul specific sunt determinate în condițiile precizate la pct. 5.4.

Viteza de ridicare a temperaturii este minimă pentru realizarea gradului critic de maturizare în durata t_k și corespunde puterii instalate minime. Mărirea vitezei de ridicare determină o creștere importantă a puterii instalate, în paralel cu o reducere nesemnificativă a duratei t_k și a consumului specific.

Alegerea unui regim RTC_k (tabelul $C_{5.7} \dots C_{5.10}$) (fig. 3.3 din anexa B)

5.8. În condițiile de la pct. 5.1, pentru durate critice de maturizare reduse, se poate adopta un regim termic RTC_k , mai eficient din punct de vedere al consumului de energie decât regimul termic TC_k , recomandat conform pct. 5.3.

5.9. Dacă sunt îndeplinite condițiile de la pct. 5.1, pe baza parametriilor determinați conform pct. 2.1...2.3 (pentru $K_b < 0,100$) se identifică dintre tabelele $C_{5.7} \dots C_{5.10}$ tabelul corespunzător tipului de beton, din care se extrag, pentru durata $t_k = 64$ h, în funcție de nivelul de asigurare adoptat, parametrii ce caracterizează regimul termic RTC_k ; rezultă:

- temperaturile caracteristice: θ_b , la terminarea punerii în operă; θ_t , de tratare izotermă și θ_c , la terminarea perioadei critice de maturizare, în °C;
- duratele caracteristice: t_r , de ridicare a temperaturii; t_t , de tratare izotermă și t_c de variație naturală a temperaturii după incetarea încălzirii, în h;
- puterile specifice P_{sr} și P_{st} necesare în perioadele t_r și t_t , în W/m³;
- consumul specific de energie necesar pe săntier Q_{ss} , în kWh/m³; pentru transformare în Kcal/m³ se multiplică cu 860 Kcal/kWh.

5.10. Puterea și consumul specific sunt determinate în condițiile precizate la pct. 5.4.

În tabele se prezintă două variante de regimuri termice diferite din punct de vedere al puterii specifice necesare; se remarcă reducerea nesemnificativă a consumului specific de energie pentru varianta P_{ssmax} deși puterea instalată are o creștere importantă.

6. Alegerea regimului termic la transportul și punerea în operă a betonului (Anexele C_{6.1}; C_{6.2})

6.1. Pentru ipoteze uzuale de organizare a procesului de transport și punere în operă rezultă din Anexa C_{6.1} valorile coeficientului unitar K'_t , de scădere a temperaturii în perioada t'_t de transport de la stație la obiect iar din Anexa C_{6.2} cele ale coeficientului K''_t , în perioada de transport pe obiect și punere în operă, t''_t .

6.2. În funcție de temperatura θ_b caracteristică regimului termic adoptat (anexa C, pct. 4 și 5), de coeficienții K'_t ; K''_t și de nivelul de asigurare $\bar{\theta}'_{ae}$ se determină în Anexa C_{6.2} valorile $(\theta_t - \bar{\theta}'_{ae})$ și respectiv $(\theta_p - \bar{\theta}'_{ae})$ din care se obțin θ_t și θ_p .

7. Alegerea regimului termic la prepararea betonului (Anexele C_{7.1} ... C_{7.5})

7.1. Pentru tipurile de betoane din Anexa C₁ preparate cu argegate avind umidități variabile între 1% și 3% se pot obține temperaturile finale ale apei θ_{fa} și agregatelor, θ_{fag} , în funcție de nivelul de asigurare $\bar{\theta}'_{ae}$ și temperatura θ_p necesară la descărcarea betonului din malaxor, folosind Anexele C_{7.1} ... C_{7.5}.

În același tabel se dă și valorile parametrului Q_{so} pentru evaluarea consumurilor specifice tehnice de energie cu relația evidențiată pe ultima linie a tabelului.

7.2. Consumul specific real de energie la preparare se estimează prin raportarea consumului tehnic la randamentul r_p al instalațiilor de încălzire a componentelor evaluat conform prevederilor din Anexa B, pct. 4.3.

8. Definitivarea soluției pentru maturizarea critică a betonului

8.1. Regimurile termice posibile pentru asigurarea realizării gradului critic de maturizare M_k , înainte de înghețare, se compară între ele din punct de vedere al consumului specific de energie, conform prevederilor din anexa B, pct. 4.3; 4.4.

Odată cu definitivarea regimului termic se evidențiază toti parametrii de care depinde acesta, inclusiv măsurile de protecție necesare în diferitele faze ale procesului tehnologic.

9. Exemple de calcul

9.1. Parametri generali

a. Tipul de beton pus în operă: B 250 – L₃ – Pa 35 – 31
Compoziția efectivă trebuie să se încadreze în limitele:

$$A = 176; \quad C = 325; \quad A/C = 0,54 \text{ pînă la}$$

$$A = 194; \quad C = 340; \quad A/C = 0,57$$

b., Niveluri de asigurare ce pot fi luate în considerare (Anexa A):

– pentru metoda conservării căldurii, fără aditivi antigel:

$$\bar{\theta}'_{ae} = 0^\circ\text{C} \text{ și } -5^\circ\text{C} \text{ (turnarea betonului se oprește la } -5^\circ\text{C)}$$

$$\bar{\theta}_{ae} = 0^\circ\text{C}; -5^\circ\text{C}; \text{ și } -10^\circ\text{C};$$

– pentru metoda conservării căldurii cu aditivi antigel:

$$\bar{\theta}'_{ae} = 0^\circ\text{C} \text{ și } -5^\circ\text{C}; \text{ turnarea betonului se oprește la } -5^\circ\text{C}$$

$$\bar{\theta}_{ae} = 0^\circ\text{C} \text{ și } -5^\circ\text{C};$$

– pentru metoda încălzirii după turnare:

$$\bar{\theta}'_{ae} = 0^\circ\text{C}; -5^\circ\text{C}; -10^\circ\text{C} \text{ (turnarea betonului se oprește la } -10^\circ\text{C);}$$

$$\bar{\theta}_{ae} = 0^\circ\text{C}; -5^\circ\text{C}; -10^\circ\text{C};$$

c. durata de maturizare critică (Anexa B, pct. 1.4) se iau în considerare valorile:

$$z_k = 6 \text{ zile}; \quad t_k = 160 \text{ h.}$$

$$z_k = 2 \text{ zile}; \quad t_k = 64 \text{ h.}$$

9.2. Evaluarea parametrilor ce caracterizează elementul de construcție din punct de vedere al masivității și nivelului de protecție termică

a. Stabilirea soluțiilor de protejare și evaluare a rezistențelor termice R'_{sj} și R''_{sj} , conform indicațiilor din Anexa C_{2.1}.

a₁. Pentru suprafețele verticale ale fundațiilor: panouri din placaj izolate termic cu 5 cm pîslă minerală, (Anexa C_{2.7}, poz. 7, col. 2), protejate suplimentar cu prelată din pînză impermeabilă de 3 mm (Anexa C_{2.7}, poz. 13) cu strat de aer vertical de 2 cm.

$$R'_{sj} = R''_{sj} = 0,696 + 0,190 = 0,886 \text{ m}^2\text{K/W}$$

a₂. Pentru suprafețele orizontale ale fundațiilor se adoptă aceeași soluție de protejare ca și pentru cele verticale; stratul de aer este însă de 5 cm orizontal, la flux termic ascendent (de jos în sus).

$$R'_{sz} = 0,696 + 0,190 = 0,886 \text{ m}^2\text{K/W}$$

$$R''_{sz} = \infty \text{ (Anexa C_{2.7}, poz. 11).}$$

a₃. Pentru suprafețele verticale ale diafragmelor se adoptă soluția de a se folosi panouri de cofraj metalice de inventar, existente în stoc, încălzitoare, dar fără a fi alimentate cu energie termică (metoda conservării căldurii), anexa C_{2.7}, poz. 10, col. 2:

$$R'_{sj} = R''_{sj} = R_{s1j} = 1,060 \text{ m}^2\text{K/W.}$$

b. Evaluarea parametrilor $(M_s/R_s)_j$; K_{bj} , conform indicațiilor din Anexa C_{2.3} și C_{2.4} și valorilor din tabele C_{2.4} ... C_{2.8}.

— Fundație: 2,00 × 2,50 avind $h = 1,50$ m.

Pe direcția celor două axe orizontale, din tabelul C_{2.4} rezultă pentru $R'_{sj} = R''_{sj} = 0,886 \text{ m}^2\text{K/W}$:

$$d_x = 2,00 \text{ m}; \quad (M_s/R_s)_x = 0,96 - (0,96 - 0,88) \frac{0,886 - 0,800}{0,900 - 0,800} = 0,953$$

$$K_{bx} < 0,200$$

$$d_y = 2,50 \text{ m}; \quad (M_s/R_s)_y = 0,73 - (0,73 - 0,67) \frac{0,886 - 0,800}{0,100} = 0,725$$

$$0,200 < K_{by} < 0,300$$

Pentru direcția verticală, $R'_{sj} = 0,886$; $R''_{sj} = \infty$ rezultă din tabelele C_{2.5} și C_{2.6}:

$$d_z = 1,50 \text{ m}; \quad (M'_s/R'_s)_z = 0,58 - (0,58 - 0,53) \frac{0,886 - 0,800}{0,100} = 0,576$$

$$0,200 < K_{bz} < 0,300$$

$$(M''_s/R''_s)_z = 0$$

Anexa C_{2.3}, pct. b.

$$M_s/R_s = 0,953 + 0,725 + 0,576 = 2,254$$

$$K_b = 0,200$$

— Diafragmă $d_x = 0,15$ m

Pentru $R'_{sx} = R''_{sx} = 1,060 \text{ m}^2\text{K/W}$; anexa C_{2.4}

$$(M_s/R_s)_x = 13,10 - (13,10 - 11,93) \frac{1,060 - 1,000}{1,100 - 1,000} = 12,398$$

$$K_{bx} < 0,050$$

Anexa C_{2.5}, pct. e

$$M_s/R_s = (M_s/R_s)_y = 12,4$$

$$K_b = 0,050$$

9.3. Alegerea regimului termic tip la maturizarea betonului.

Din Anexa C₃ rezultă că regimurile termice tip se vor extrage pentru beton B 250 — L₃, Pa 35–31 din:

- pentru fundație, regim CC_k; $K_b \leq 0,200$ din Anexa C_{4.3};
- pentru diafragmă, regim CC_k; $K_b \leq 0,050$ din Anexa C_{4.6};

- pentru diafragmă, regim TC_k; $t_k = 160$ h din Anexa C_{5.1};
- pentru diafragmă, regim TC_k; $t_k = 64$ h din Anexa C_{5.3};
- pentru diafragmă, regim RC_k; RTC_k; $t_k = 64$ h din Anexa C_{5.5} și C_{5.8}.

9.4. Metoda conservării căldurii; regimul CC_k.

a. Fundație; Anexa C_{4.3}. Se adoptă regimul termic corespunzător valorii $M_s/R_s = 3 > 2,25$ și $K_b = 0,200$, pentru $t_k = 160$ h (6 zile).

| M_s/R_s | K_b | $\bar{\theta}_{ae}$ | θ_b | θ_c | $t_k = t_c$ | Z_k |
|-----------|-------|---------------------|------------|------------|-------------|-------|
| 3 | 0,200 | 0 | 2,5 | 9,1 | 133 | 5 |
| | | -5 | 3,5 | 7,7 | 140 | 6 |
| | | -10 | 4,5 | 5,9 | 151 | 6 |

b. Element de construcție diafragmă, regim CC_k, B 250 — L₃ — Pa 35 — 31; $K_b = 0,05$ — Anexa C_{4.6}.

Se alege regimul termic pentru $M_s/R_s = 12,4$ prin interpolare între $M_s/R_s = 12$ și 14.

| t_k plan. h | $\bar{\theta}_{ae}$ | Regim termic | | | Soluția de protejare a elementului | |
|---------------------|---------------------|--------------|------------|-------|------------------------------------|--|
| | | θ_b | θ_c | t_k | | |
| 160 | 0 | 4,5 | 2,5 | 156 | Conf. pct. 9.2 a ₃ | |
| | -5 | 15,0 | 2,5 | 86 | | |
| | -10 | Neeconomică | | | | |
| 64 | 0 | 16,5 | 10,5 | 63 | | |
| | -5 | Neeconomică | | | | |
| | -10 | Neeconomică | | | | |

Soluțiile „Neeconomice“ necesită temperaturi $\theta_b > 16 \dots 17^\circ\text{C}$ respectiv $\theta_p > 25 \dots 30^\circ\text{C}$.

Se poate reține ca soluție certă numai varianta corespunzătoare duratei $t_k = 160$ h pentru nivelul de asigurare 0°C.

Soluția $t_k = 160$ h și $\bar{\theta}_{ae} = -5^\circ\text{C}$ poate fi reținută pentru a fi comparată cu soluțiile specifice încălzirii după turnare.

Soluția $t_k = 64$ h și $\bar{\theta}_{ae} = 0^\circ C$ trebuie eliminată ca neeconomică, ca și cele corespunzătoare nivelelor de asigurare $\bar{\theta}_{ae} = -5^\circ C$ și $\bar{\theta}_{ae} = -10^\circ C$.

9.5. Metoda încălzirii după turnare pentru elementul de construcție diafragmă;

a. Regim TC_k . Se folosesc Anexa C_{5.1} pentru $t_k = 160$ h și Anexa C_{5.3} pentru $t_k = 64$ h; pentru $M_s/R_s = 12,4$ se interpolează între $M_s/R_s = 12$ și $M_s/R_s = 14$.

| t_k planif. h | $\bar{\theta}_{ae}$ | Regim termic | | | | | | Soluția de protejare a elementului | |
|-----------------------|---------------------|--------------|------------|------------|-------|-------|------------------------------|------------------------------------------|----------------------------------|
| | | θ_b | θ_t | θ_c | t_t | t_c | P_{st} W/m ³ | Q_{ss} KWh/m ³ | |
| 160 | 0 | 5 | 5 | 3,0 | 34,4 | 126,6 | 19 | 0,7 | Conf. pct. 9.2 a ₃ |
| | -5 | 5 | 5 | 1,0 | 111,3 | 38,5 | 88 | 9,9 | |
| | -10 | 5 | 5 | 1,0 | 125,0 | 20,4 | 158 | 19,7 | |
| 64 | 0 | 13 | 13 | 11,2 | 38,2 | 25,8 | 61 | 2,3 | Conf. pct. 9.2 a ₃ |
| | -5 | 13 | 13 | 11,0 | 51,4 | 12,6 | 127 | 6,5 | |
| | -10 | 14 | 14 | 8,7 | 41,6 | 22,4 | 207 | 8,6 | |

b. Regim termic RTC_k pentru $t_k = 64$ h.
Se folosește Anexa C_{5.5}. Se interpolează pentru $M_s/R_s = 12,4$, între $M_s/R_s = 12$ și 14 se ia în considerare puterea specifică instalată, minimă.

| $\bar{\theta}_{ae}$ | θ_b | θ_t | θ_c | t_r | t_t | t_c | P_{sr} | P_{st} | Q_{ss} | Soluția de protejare a elementului |
|---------------------|------------|------------|------------|-------|-------|-------|----------|----------|----------|------------------------------------------|
| 0 | 3 | 14 | 11,5 | 7,4 | 22,4 | 34,2 | 1149 | 67 | 10,0 | conf. pct. 9.2. a ₃ |
| -5 | 1 | 14 | 11,8 | 8,7 | 41,9 | 13,4 | 1254 | 134 | 16,9 | |
| -10 | 1 | 15 | 9,7 | 9,3 | 33,3 | 21,4 | 1294 | 208 | 19,0 | |

9.6. Regimul termic la transportul, punere în operă și prepararea betonului; consumuri specifice totale (Q_s).

Din Anexa C_{6.1} rezultă pentru transportul betonului la distanță $D = 5$ km cu autoagitatorul prevăzut cu capac (soluția 1. b), coeficientul $K'_t = 0,200$.

Din anexa C_{6.2} se obține pentru punerea în operă a betonului în fundații, folosind bene izolate termic (soluția 1. d), coeficientul $K''_t = 0,070$.

Tot din Anexa C_{6.2} se obține pentru punerea în operă a betonului în diafragme, folosind bene izolate termic (soluția 2 d), coeficientul $K''_t = 0,098 \sim 0,100$.

Valorile temperaturilor θ_l și θ_p , în funcție de temperaturile θ_b stabilite la punctele 9.4 a și b, respectiv 9.5 a și b, se determină din Anexa C_{6.3}, iar consumurile specifice de energie la preparare pentru $r_p = 1$, din Anexa C_{7.3}. Se folosesc indicațiile din Anexa C, pct. 6.1; 6.2 și 7.1 și se ține seama că în conformitate cu prevederile de la pct. 8.3 d din Normativ, temperatura minimă la preparare este $\theta_p = +5^\circ C$.

Toate valorile θ_p se rotunjesc în plus pînă la grade întregi.

În tabelul următor se dă ca exemplu cum se organizează calculul și cum se prezintă parametrii ce caracterizează regimul termic pentru elementul de construcție fundație, analizat la pct. 9.4 a, pentru durata $t_k = 160$ h (6 zile).

| Nivelul de asigurare | Regim termic | | | | | | | | Q_s KWh/m ³ | |
|-------------------------|---------------------------|---------------------------|--------|------------------|------------------------------------------|------------|------------------|------------------|--------------------------------|--------------------------------|
| | Maturizare | | | | Preparare, transport, punere în operă | | | | | |
| | $\bar{\theta}_{ae}$ °C | $\bar{\theta}_{ae}$ °C | Tip | θ_b °C | θ_c °C | t_c h | θ_l °C | θ_p °C | Q_{sr} KWh/m ³ | Q_{sp} KWh/m ³ |
| CC_k | 0 | 0 | CC_k | 2,5 | 9,1 | 133 | 2,7 | 5 | 1,75 | 5,6 |
| | -5 | 3,5 | | 3,5 | 7,7 | 140 | 3,7 | 5 | | 5,6 |
| | -5 | 3,5 | | 3,5 | 7,7 | 140 | 4,2 | | | 9,8 |
| | -10 | 4,5 | | 5,9 | 151 | 4,8 | 7 | 4,35 | | 9,8 |

Ipoze (parametri caracteristici):

$$B\ 250 - L_3 - Pa\ 35-31 \quad K'_t = 0,200$$

$$M_k = 1310 \text{ h}^\circ C \quad K''_t = 0,070$$

$$M_s/R_s = 2,25 \quad \theta_{tag} = \theta_{fc} = \bar{\theta}_{ae}$$

$$K_b = 0,200 \quad u_{ag} = 2\%$$

9.7. Bilanțul energetic

În cazul diafragmei pentru care s-au analizat concomitent mai multe variante de regimuri termice, tabelul centralizator al rezultatelor reprezintă și bilanțul energetic al soluțiilor posibile pe baza căruia se alege varianta optimă.

În tabelul următor se dă și un exemplu de asemenea bilanț energetic.

Din rezultatele obținute rezultă pentru elementul analizat – diafragmă – următoarele concluzii:

— Regimul CC_k este soluția cea mai economică pentru $t_k = 160$ h și niveluri de asigurare $\bar{\theta}_{ae} = 0^\circ C$; $\bar{\theta}_{ae} = 0^\circ C$.

— Pentru niveluri de asigurare de $-5^\circ C$ soluția cea mai economică este un regim TC_k cu $t_k = 160$ h, dacă randamentele instalațiilor de la preparare și de pe sănțier sunt egale $r_s = r_p$.

— Pentru durate scurte $t_k = 64$ h regimurile cele mai economice sunt cele de tip RTC_k , pentru toate nivelurile de asigurare. Se remarcă faptul că pentru $\bar{\theta}_{ae} = -10^\circ C$ regimul RTC_k cu $t_k = 64$ h coînduce la regimuri termice cu consumuri specifice mai reduse decât TC_k , cu $t_k = 160$ h; aceste consumuri pot fi reduse și mai mult prin creșterea puterii instalate (după cum rezultă din Anexa C_{5.8}).

— În toate variantele consumurile specifice sunt mai reduse dacă se iau măsuri pentru reducerea coeficienților K'_t ; K''_t de scădere a temperaturii betonului în timpul transportului și punerii în operă.

c. Regimurile termice adoptate se evidențiază în fișa tehnologică într-un tabel în care se inscriu și măsurile specifice necesare pentru realizarea lor, exemple în Anexele C_{8.1} și C_{3.2}.

9.8. Mareea importanță pe care o prezintă protejarea elementului de construcție în perioada de maturizare critică a betonului în perioada de transport și punere în operă rezultă din exemplul următor în care se analizează elementul de fundație într-o variantă de protejeare insuficientă.

a. Fundația se cofrează și se protejează și la partea superioară cu panouri neizolat termic (Anexa C_{2.7}, soluția 6) și se acoperă cu o prelată care închide un strat de aer vertical de 2 cm, respectiv orizontal de 5 cm (Anexa C_{2.7}, soluția 13).

— pentru fețele verticale:

$$R'_{sj} = R''_{sj} = 0,126 + 0,190 = 0,316 \text{ m}^2 \text{ K/W}$$

— pentru fețele orizontale:

$$R'_{lz} = 0,126 + 0,190 = 0,316$$

$$R''_{sz} = \infty$$

Din tabelul C_{2.4} rezultă pentru $R'_{sj} = R''_{sj} = 0,316$

Procedind ca la pct. 9.2 b, se obține:

$$d_x = 2,00 \text{ m}; (M_s/R_s)_x = 1,85 - (1,85 - 1,56) \frac{0,316 - 0,300}{0,100} = 1,794$$

$$d_y = 2,50 \text{ m}; (M_s/R_s)_y = 1,33 - (1,33 - 1,14) \frac{0,316 - 0,300}{0,100} = 1,300$$

$$d_z = 1,50 \text{ m}; (M_s/R_s)_z = 1,01 - (1,01 - 0,88) \frac{0,316 - 0,300}{0,100} = 0,989$$

$$(M_s/R_s)_z'' = 0$$

$$M_s/R_s = 1,794 + 1,300 + 0,989 = 4,1 \text{ W}/\text{Cm}^3$$

$$K_b = K_{bx} = 0,300 < K_{by}; K_{bz}$$

Bilanț energetic pentru elementul de construcție diafragmă

| Nivel de asigurare $\bar{\theta}_{ae}$ | $t_k = 160$ h (6 zile) conform pct. 9.4 b și 9.5 a | Regim termic | | | | | | $\rho_s = 1$ $r_p = 1 \text{ kWh/m}^3$ | Iată parametri caracteristici |
|-------------------------------------------|----------------------------------------------------|--------------|--------|---------|--------|---------|--------|-------------------------------------------|-----------------------------------|
| | | CC_k | TC_k | RTC_k | TC_k | RTC_k | TC_k | | |
| 0 | 0 | 4,5 | 5,0 | 3,0 | 34,4 | 126,6 | — | 5,0 | 7,2* |
| 0 | TC_k | 2,5 | — | — | 156,6 | — | — | 5,7 | 7,2* |
| 0 | TC_k | 3,0 | — | — | 19 | 0,7 | — | 7 | 7,9 |
| -5 | CC_k | 15,0 | 2,5 | — | 86,0 | — | — | 16,6 | 21 17,9 17,9 |
| -5 | TC_k | 5,0 | 1,0 | — | 111,3 | 38,5 | — | 88 | 9,9 5,5 7 |
| -5 | TC_k | 15,0 | 2,5 | — | — | — | — | 17,1 | 22 21,3 21,3 |
| -5 | TC_k | 5,0 | 1,0 | — | 111,3 | 38,5 | — | 88 | 9,9 6,1 9 |
| -10 | TC_k | 5,0 | 1,0 | — | 125,0 | 20,4 | — | 158 | 19,7 6,1 9 |
| | | | | | | | | | $M_s/R_s = 12,4$ |
| | | | | | | | | | $K_b = 0,050$ |
| | | | | | | | | | $K_s = 0,075$ |
| | | | | | | | | | $K_t = 0,200$ |
| | | | | | | | | | $K_i = 0,100$ |
| | | | | | | | | | $0,1ag = f_c =$ |
| | | | | | | | | | $= \bar{\theta}_{ae} - 2^\circ C$ |
| | | | | | | | | | $u_{ag} = 2^\circ C$ |

| Nivel de asigurare $\bar{\theta}_{ae}$ | $t_k = 64$ h (2 zile) conform pct. 9.5 b | Preparare, transport, punere în operă | | | | | | $\rho_s = 1$ $r_p = 1 \text{ kWh/m}^3$ |
|-------------------------------------------|------------------------------------------|---------------------------------------|--------|---------|--------|---------|--------|-------------------------------------------|
| | | CC_k | TC_k | RTC_k | TC_k | RTC_k | TC_k | |
| 0 | 0 | 16,5 | 11,2 | — | 63,0 | — | — | 18,2 2,3 19,5 19,5 |
| 0 | TC_k | 13,0 | 11,2 | — | 38,2 | 2,5,8 | — | 61 2,3 14,4 18 15,6 17,9 |
| 0 | TC_k | 3,0 | 14,0 | 11,5 | 7,4 | 22,4 | 34,2 | 114,9 67 10,0 3,3 5 15,6 15,6* |
| -5 | TC_k | 13,0 | 11,0 | — | 51,4 | 12,6 | — | 127 6,5 14,4 18 15,6 22,1 |
| -5 | TC_k | 1,0 | 14,0 | 11,8 | 8,7 | 41,9 | 13,4 | 125,4 134 16,9 1,1 5 5,6 22,5 |
| -5 | TC_k | 13,0 | 11,0 | — | 51,4 | 12,6 | — | 127 6,5 14,9 20 19 8 26,3 |
| -5 | TC_k | 1,0 | 14,0 | 11,8 | 8,7 | 41,9 | 13,4 | 125,4 134 16,9 1,6 5 8,2 25,1* |
| -10 | TC_k | 1,0 | 14,0 | 8,7 | — | 41,6 | 22,4 | — 207 8,6 16,0 21 20,5 29,1 |
| -10 | TC_k | 1,0 | 15,0 | 9,7 | 9,3 | 33,3 | 21,4 | 129,4 208 19,0 1,6 5 8,2 27,2* |

Din tabelul Anexă C_{4,3} pentru $K_b = 0,200$ și ținând seama de prevederile din Anexa C, pct. 4.3, rezultă pentru $t_k = 160$ h:

$$\bar{\theta}_{ae} = 0^\circ\text{C}; \quad \theta_b' = 2,5 \frac{1-0,2}{1-0,3} = 3^\circ\text{C}$$

$$\bar{\theta}_{ae} = -5^\circ\text{C}; \quad \theta_b' = 4,5 \frac{1-0,2}{1-0,3} + 5 \frac{0,3-0,2}{1-0,3} = 6^\circ\text{C}$$

$$\bar{\theta}_{ae} = -10^\circ\text{C}; \quad \theta_b' = 6 \frac{1-0,2}{1-0,3} + 10 \frac{0,3-0,2}{1-0,3} = 9^\circ\text{C}$$

b. Pentru regimul termic la transport se adoptă din Anexa C_{6,1} soluția 2 a avind $K_t' = 0,280$ iar din Anexa C_{6,2} soluția 1 a cu $K_t'' = 0,382$; din Anexa C_{6,3} se obțin temperaturile θ_e și θ_p , iar cu datele din Anexa C_{7,3} se calculează Q_{sp}' (Anexa C, pct. 7.1).

c. Rezultă regimurile termice din tabelul următor, în care s-a evidențiat și diferența ΔQ_s față de soluțiile analizate la pct. 9.4. a și 9.6.

| Regim termic | t_k | $\bar{\theta}_{ae}$ | $\bar{\theta}_{ae}'$ | θ_b | θ_e | θ_p | Q_{so} | $Q_s = \frac{Q_{so}}{Q_{sp}}$ | ΔQ_s | |
|-----------------|-------|---------------------|----------------------|------------|------------|------------|----------|-------------------------------|--------------------|-------|
| | | | | | | | | | KWh/m ³ | % |
| CC _k | 160 | 0 | 0 | 3 | 4,4 | 6 | 1,75 | 6,4 | + 1,2 | + 14 |
| | | | -5 | 6 | 8,8 | 11 | | 10,2 | + 4,6 | + 82 |
| | | | -5 | 6 | 11,2 | 17 | | 17,4 | + 8,4 | + 89 |
| | | | -10 | 9 | 15,6 | 23 | | 22,1 | + 12,3 | + 126 |

d. Influența temperaturii betonului la terminarea punerii în operă, ieșe în evidență dacă se aplică condițiile de transport și punere în operă de la pct. b. de mai sus variantei de regim termic analizată la pct. 9.4 a; rezultă regimurile termice la transport și preparare din tabelul următor în care s-au evidențiat deasemenea diferențele ΔQ_s față de soluțiile analizate la pct. 9.4 a și 9.6.

Se subliniază faptul că diferențe ($\theta_p - \theta_b$) este cu atât mai mare cu cît crește temperatura θ_b , ceilalți parametri K_t' ; K_t'' ; $\bar{\theta}_{ae}'$ rămânind constanți (fig. 6.1).

Tot din fig. 6.1 rezultă că diferențele ($\theta_{p1} - \theta_{p2}$) sunt întotdeauna mari decit ($\theta_{b1} - \theta_{b2}$).

| Regim termic | t_k | $\bar{\theta}_{ae}$ | $\bar{\theta}_{ae}'$ | θ_b | θ_e | θ_p | Q_{so} | $Q_s = \frac{Q_{so}}{Q_{sp}}$ | ΔQ_s | |
|-----------------|-------|---------------------|----------------------|------------|------------|------------|----------|-------------------------------|--------------|------|
| | | | | | | | | KWh/m ³ | % | |
| CC _k | 160 | 0 | 0 | 2,5 | 3,7 | 5 | 1,75 | 5,6 | 0 | 0 |
| | | | -5 | 3,5 | 5,2 | 7 | | 7,2 | + 1,6 | + 28 |
| | | | -5 | 3,5 | 6,6 | 11 | | 12,8 | + 3,8 | + 42 |
| | | | -10 | 4,5 | 9,0 | 14 | | 15,1 | + 5,3 | + 54 |

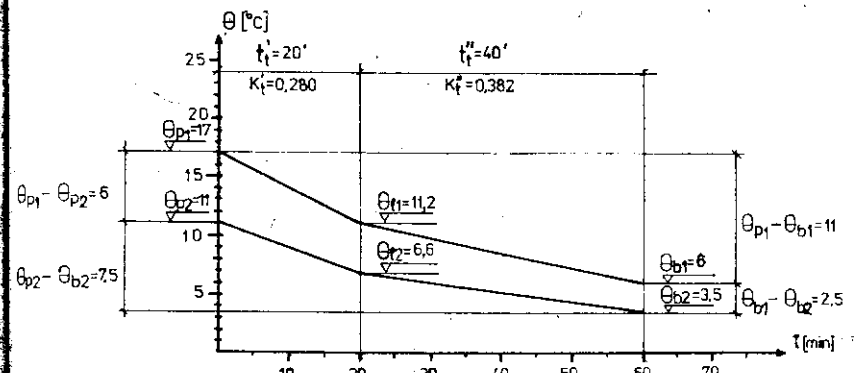


Fig. 6.1.

Ipoteze:

- Transportul betonului cu autoagitatorul de 5 m³ prevăzut cu capac (Anexa C_{6,1} soluția 2 a), la $D = 5$ Km; $t'_t = 20$; $K_t' = 0,280$.
- Așteptarea în bine de 1 m³ neprotejate și punerea în operă în fundații (Anexa C_{6,2} soluția 1a); $t''_t = 40$; $K_t'' = 0,382$.

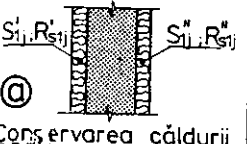
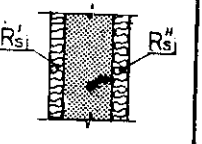
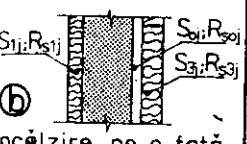
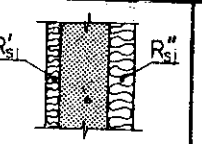
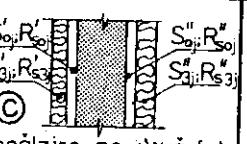
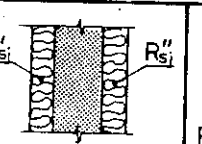
Pentru aceste motive consumurile specifice minime de energie se obțin întotdeauna în cazul temperaturilor θ_b minime, indiferent de metoda adoptată pentru maturizare (conservarea căldurii sau încălzirea după turnare), dacă randamentele sunt egale ($r_s = r_p$).

TIPURILE DE BETOANE PENTRU CARE S-AU TIPIZAT SOLUȚII DE REGIMURI TERMICE ȘI CARACTERISTICILE LOR

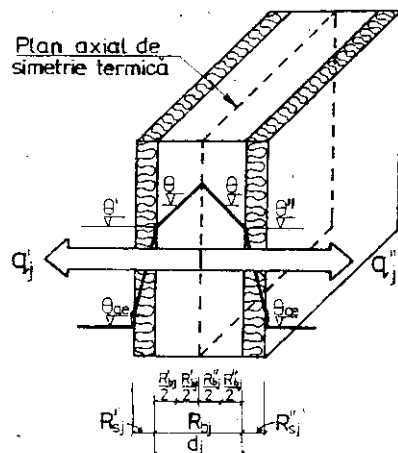
| Nr. crt. | Tipul betonului | Limite (*) | Compoziția $\frac{\text{Kg}}{\text{m}^3}$ | | | A/C | M_k $^{\circ}\text{C}$ | P_{se} |
|----------|--------------------------------|------------|-------------------------------------------|-----|------|------|--------------------------|----------|
| | | | A | C | Ag | | | |
| 1 | B 150-L ₂ -Pa 35-31 | a | 162 | 240 | | 0,68 | 1576 | 3,445 |
| | | b | 170 | 240 | 1971 | 0,73 | 1686 | 3,405 |
| | | c | 178 | 244 | | 0,73 | 1686 | 3,462 |
| 2 | B 200-L ₃ -Pa 53-31 | a | 176 | 289 | | 0,61 | 1422 | 4,254 |
| | | b | 185 | 289 | 1886 | 0,64 | 1488 | 4,216 |
| | | c | 194 | 303 | | 0,64 | 1488 | 4,421 |
| 3 | B 250-L ₃ -Pa 35-31 | a | 176 | 325 | | 0,54 | 1220 | 4,900 |
| | | b | 185 | 325 | 1854 | 0,57 | 1310 | 4,886 |
| | | c | 194 | 340 | | 0,57 | 1310 | 5,112 |
| 4 | B 250-L ₃ -P 40-31 | a | 176 | 298 | | 0,59 | 1243 | 5,320 |
| | | b | 185 | 298 | 1818 | 0,62 | 1316 | 5,247 |
| | | c | 194 | 313 | | 0,62 | 1316 | 5,511 |
| 5 | B 300-L ₃ -P 40-31 | a | 185 | 342 | | 0,54 | 1108 | 6,244 |
| | | b | 195 | 342 | 1812 | 0,57 | 1189 | 6,181 |
| | | c | 205 | 360 | | 0,57 | 1189 | 6,507 |

- b. compozitia de bază;
- a. limita superioară din punct de vedere al raportului A/C (M_k)
- c. limita superioară din punct de vedere al dozajului C;

EVALUAREA REZISTENȚELOR TERMICE ALE PROTECȚIEI BETONULUI

| Schema de protejare a betonului | Model de calcul | Relații de evaluare |
|---------------------------------------------------------------------------------------------------------------|-------------------------------------------------------------------------------------|------------------------------------------------------------------------------------------------------------------------------------------------------------------------------------------------------------------------------------------------------------------------------------------------------------------------------------------------------------------------------------------------------------------------------------------------------|
|  Conservarea căldurii |  | $R'_{sj} = R'_{stj}$ $R''_{sj} = R''_{stj}$ $R'_{stj}; R''_{stj}$ - din tabelul C.2.7.a col.2 ^(*) |
|  Încălzire pe o față |  | $R'_{sj} = R'_{stj}$ $R''_{sj} = R''_{soj} + R''_{sj3} \frac{S_0}{S_3}$ R_{stj} - din tabel C.2.7.a col.2 ^(*) R_{soj} - din tabel C.2.7.a col.4 R_{sj3} - din tabel C.2.7.a col.5 ^(*) |
|  Încălzire pe două fețe |  | $R'_{sj} = R'_{soj} + R'_{sj3} \frac{S_0'}{S_3'}$ $R''_{sj} = R''_{soj} + R''_{sj3} \frac{S_0''}{S_3''}$ R_{soj}, R_{sj3} - din tabel C.2.7.a col.4 R_{sj3}, R_{sj3} - din tabel C.2.7.a col.5 ^(*) S_0, S_0' = suprafețele de separație între mediul încălzitor și beton S_3, S_3' = suprafețele de separație între mediul încălzitor și aerul ext. evaluate pentru toate elementele închise în aceeași incintă |

NOTA : ^(*) Valorile R_{sj} ; R'_{sj} ; R''_{sj} respectiv R_{sj3} ; R'_{sj3} ; R''_{sj3} extrase din tabelul C.2.7.a col. 2 sau 5 pot fi majorate prin adăugarea valorilor din tabelul C.2.7.b corespunzătoare soluțiilor de sporire a rezistenței termice.

EVALUAREA PARAMETRILOR $\left(\frac{M_s}{R_s}\right)_j$ SI K_{bj} PE DIRECTIA d_j 

q'_j ; q''_j - fluxuri termice de sens contrar pe directia j

R'_{sj} ; R''_{sj} - rezistente termice ale protecției de pe suprafețe normale pe direcția j

$R_{bj} = \frac{d_j}{2,088}$ - rezistență termică a betonului pe direcția j .

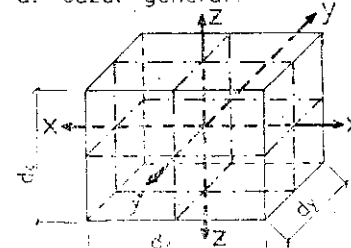
$$\Delta R_{sj} = R''_{sj} - R'_{sj}$$

| Nr. crt | Schema protecției | Caracteristicile fluxurilor termice și ale protecției | $\left(\frac{M_s}{R_s}\right)_j$ și K_{bj} |
|---------|-------------------|-----------------------------------------------------------------------------|-------------------------------------------------------------------------------------------------------------------------------------------------------------------------------------------------------------------------|
| a | | $q'_j = q''_j$ $R''_{sj} = R'_{sj}$ $\Delta R_{sj} = 0$ | $\left(\frac{M_s}{R_s}\right)_j = C.2.4$ K_{bj} - din anexa C.2.4 |
| b | | $q''_j = q'_j$ $R''_{sj} > R'_{sj}$ $0 < \Delta R_{sj} < R_{bj}$ | $\left(\frac{M_s}{R_s}\right)_j = C.24 - (C.24 - C.25) \frac{\Delta R_{sj}}{R_{bj}}$ $K_{bj} \geq \left(\frac{M_s}{R_s}\right)_j \frac{d_j^2}{(R'_sj)^2 \times 8,352} \left(1 + \frac{\Delta R_{sj}}{R_{bj}}\right)$ |
| c | | $q''_j = q'_j$ $R''_{sj} = R'_{sj} + R_{bj}$ $\Delta R_{sj} = R_{bj}$ | $\left(\frac{M_s}{R_s}\right)_j = 2 \times C.2.5$ K_{bj} din anexa C.2.5 |
| d | | $q''_j < q'_j$ $R''_{sj} > R'_{sj} + R_{bj}$ $\Delta R_{sj} > R_{bj}$ | $\left(\frac{M_s}{R_s}\right)_j = C.25 + C.2.6$ K_{bj} din anexa C.2.5 |

NOTA: C.24, C.25 și C.26 sunt valoriile $\left(\frac{M_s}{R_s}\right)_j$, $\left(\frac{M_s}{R_s}\right)_j'$, $\left(\frac{M_s}{R_s}\right)_j''$ din anexele C.24, C.25, C.26.
In anexele C.24, C.25 și C.26 se interpolează liniar.

EVALUAREA PARAMETRILOR $\frac{M_s}{R_s}$ SI K_b PENTRU UN ELEMENT DE CONSTRUCȚIE

a. Cazul general:



Directiile $j = x, y, z$

$$\frac{M_s}{R_s} = \left(\frac{M_s}{R_s}\right)_x + \left(\frac{M_s}{R_s}\right)_y + \left(\frac{M_s}{R_s}\right)_z$$

b. Cazul particular fundație de formă paralelipipedică:

$$\left(\frac{M_s}{R_s}\right)_z = 0; \quad \left(\frac{M_s}{R_s}\right)_x = \left(\frac{M_s}{R_s}\right)_y$$

c. Cazul particular stâlp

$$z_o \gg x_o, y_o; \quad \left(\frac{M_s}{R_s}\right)_z = 0; \quad \frac{M_s}{R_s} = \left(\frac{M_s}{R_s}\right)_x + \left(\frac{M_s}{R_s}\right)_y$$

d. Cazul particular grindă

$$y_o \gg x_o, z_o; \quad \left(\frac{M_s}{R_s}\right)_y = 0;$$

e. Cazul particular diafragmă

$$y_o, z_o \gg x_o; \quad \left(\frac{M_s}{R_s}\right)_y = 0; \quad \left(\frac{M_s}{R_s}\right)_z = 0$$

f. Cazul particular placă

$$x_o, y_o \gg z_o; \quad \left(\frac{M_s}{R_s}\right)_x = 0; \quad \left(\frac{M_s}{R_s}\right)_y = 0$$

g. Cazul particular fundație din mai multe blocuri suprapuse

$$\left(\frac{M_s}{R_s}\right)_z = 0; \quad \left(\frac{M_s}{R_s}\right)_x = \left(\frac{M_s}{R_s}\right)_y$$

$$\frac{M_s}{R_s} = \sum_{i=1}^n \left[\frac{V_i}{V} \left(\frac{M_s}{R_s}\right)_{xi} + \frac{V_i'}{V} \left(\frac{M_s}{R_s}\right)_{zi} + \frac{V_i''}{V} \left(\frac{M_s}{R_s}\right)_{yi} \right]$$

$$V_i = d_{x1} \cdot d_{y1} \cdot d_{z1}; \quad V = (d_{x1} \cdot d_{y1} \cdot d_{z1}) \sum d_{zi}$$

$$V = \sum V_i$$

$$\text{Exemplu: } V = V_1 + V_2 + V_3$$

$$V_1 = d_{x1} \cdot d_{y1} \cdot d_{z1} \quad V_1 = (d_{x1} \cdot d_{y1} \cdot d_{z1}) \cdot d_{z1}$$

$$V_2 = d_{x2} \cdot d_{y2} \cdot d_{z2} \quad V_2 = (d_{x2} \cdot d_{y2} \cdot d_{z2}) \cdot (d_{z1} + d_{z2})$$

$$V_3 = d_{x3} \cdot d_{y3} \cdot d_{z3} \quad V_3 = d_{x3} \cdot d_{y3} \cdot (d_{z1} + d_{z2} + d_{z3})$$

NOTA: în toate cazurile K_b valoarea minima dintre K_{bx} , K_{by} și K_{bz}

| $(M_s / R_s)_f$ pentru $\Delta R_{sj} = 0$ și $d_f = [m]$ | | | | | | | | | | | | | | |
|-----------------------------------------------------------|--------|--------|--------|--------|-------|-------|-------|-------|-------|-------|-------|-------|-------|-------|
| $*R'_{sj}$ | 0,10 | 0,15 | 0,20 | 0,25 | 0,30 | 0,35 | 0,40 | 0,45 | 0,50 | 0,55 | 0,60 | 0,65 | 0,70 | 0,75 |
| 1 | 2 | 3 | 4 | 5 | 6 | 7 | 8 | 9 | 10 | 11 | 12 | 13 | 14 | 15 |
| 0,050 | 322,72 | 196,19 | 135,23 | 100,98 | 77,59 | 62,18 | 51,08 | 42,78 | 36,41 | 31,39 | 27,36 | 24,07 | 21,35 | 19,08 |
| 0,075 | 229,26 | 143,43 | 101,06 | 76,24 | 60,10 | 48,88 | 40,69 | 34,49 | 29,66 | 25,82 | 22,70 | 20,13 | 17,99 | 16,18 |
| 0,100 | 178,61 | 113,03 | 80,68 | 61,57 | 49,05 | 40,27 | 33,81 | 28,88 | 25,02 | 21,93 | 19,40 | 17,30 | 15,54 | 14,05 |
| 0,125 | 146,01 | 93,27 | 67,14 | 51,64 | 41,43 | 34,24 | 28,92 | 24,85 | 21,64 | 19,05 | 16,93 | 15,17 | 13,68 | 12,41 |
| 0,150 | 123,48 | 79,38 | 57,49 | 44,46 | 35,86 | 29,78 | 25,27 | 21,80 | 19,06 | 16,85 | 15,03 | 13,81 | 12,22 | 11,12 |
| 0,200 | 94,35 | 61,17 | 44,65 | 34,79 | 28,26 | 23,62 | 20,17 | 17,51 | 15,39 | 13,68 | 12,26 | 11,08 | 10,07 | 9,20 |
| 0,300 | 64,11 | 41,93 | 30,87 | 24,25 | 19,85 | 16,71 | 14,37 | 12,56 | 11,12 | 9,94 | 8,96 | 8,14 | 7,44 | 6,84 |
| 0,400 | 48,55 | 31,98 | 25,57 | 18,61 | 15,29 | 12,93 | 11,16 | 9,79 | 8,70 | 7,81 | 7,06 | 6,44 | 5,91 | 5,44 |
| 0,500 | 39,06 | 25,74 | 19,09 | 15,10 | 12,44 | 10,54 | 9,13 | 8,02 | 7,14 | 6,43 | 5,83 | 5,33 | 4,89 | 4,52 |
| 0,600 | 32,68 | 21,58 | 16,03 | 12,70 | 10,48 | 8,90 | 7,72 | 6,80 | 6,06 | 5,46 | 4,96 | 4,54 | 4,18 | 3,87 |
| 0,700 | 28,09 | 18,57 | 13,81 | 10,96 | 9,06 | 7,70 | 6,68 | 5,90 | 5,26 | 4,75 | 4,32 | 3,96 | 3,65 | 3,38 |
| 0,800 | 24,63 | 16,30 | 12,14 | 9,64 | 7,98 | 6,79 | 5,90 | 5,21 | 4,65 | 4,20 | 3,82 | 3,51 | 3,23 | 3,00 |
| 0,900 | 21,93 | 14,52 | 10,82 | 8,60 | 7,12 | 6,07 | 5,27 | 4,66 | 4,17 | 3,76 | 3,43 | 3,15 | 2,90 | 2,69 |
| 1,000 | 19,76 | 13,10 | 9,77 | 7,77 | 6,44 | 5,48 | 4,77 | 4,22 | 3,77 | 3,41 | 3,11 | 2,85 | 2,64 | 2,45 |
| 1,100 | 17,99 | 11,93 | 8,90 | 7,08 | 5,87 | 5,00 | 4,35 | 3,85 | 3,45 | 3,12 | 2,84 | 2,61 | 2,41 | 2,24 |
| 1,200 | 16,50 | 10,95 | 8,17 | 6,50 | 5,39 | 4,60 | 4,01 | 3,54 | 3,17 | 2,87 | 2,62 | 2,41 | 2,23 | 2,07 |
| 1,300 | 15,24 | 10,12 | 7,55 | 6,02 | 4,99 | 4,26 | 3,71 | 3,28 | 2,94 | 2,66 | 3,43 | 2,23 | 2,06 | 1,92 |
| 1,400 | 14,16 | 9,40 | 7,02 | 5,59 | 4,64 | 3,96 | 3,45 | 3,06 | 2,74 | 2,48 | 2,26 | 2,08 | 1,93 | 1,79 |

 $K_b \leq 0,050$ ANEXA C_{2.4} (continuare)

| $(M_s / R_s)_f$ pentru $\Delta R_{sj} = 0$ și $d_f = [m]$ | | | | | | | | | | | | | | |
|-----------------------------------------------------------|-------|-------|-------|-------|-------|------|------|------|------|------|------|------|------|------|
| R'_{sj} | 0,80 | 0,85 | 0,90 | 0,95 | 1,00 | 1,25 | 1,50 | 1,75 | 2,00 | 2,25 | 2,50 | 2,75 | 3,00 | 3,50 |
| 1 | 2 | 3 | 4 | 5 | 6 | 7 | 8 | 9 | 10 | 11 | 12 | 13 | 14 | 15 |
| 0,050 | 17,15 | 15,50 | 14,09 | 12,86 | 11,78 | 8,01 | 5,81 | 4,40 | 3,45 | 2,78 | 2,29 | 1,92 | 1,63 | 1,22 |
| 0,075 | 14,64 | 13,31 | 12,16 | 11,15 | 10,27 | 7,12 | 5,24 | 4,02 | 3,18 | 2,58 | 2,14 | 1,80 | 1,54 | 1,16 |
| 0,100 | 12,77 | 11,66 | 10,70 | 9,85 | 9,10 | 6,41 | 4,77 | 3,69 | 2,95 | 2,41 | 2,00 | 1,69 | 1,45 | 1,10 |
| 0,125 | 11,32 | 10,38 | 9,55 | 8,82 | 8,17 | 5,82 | 4,38 | 3,42 | 2,74 | 2,25 | 1,89 | 1,60 | 1,38 | 1,05 |
| 0,150 | 10,17 | 9,35 | 8,62 | 7,98 | 7,41 | 5,34 | 4,04 | 3,18 | 2,57 | 2,12 | 1,78 | 1,52 | 1,31 | 1,00 |
| 0,200 | 8,45 | 7,80 | 7,22 | 6,71 | 6,26 | 4,58 | 3,51 | 2,79 | 2,27 | 1,89 | 1,60 | 1,37 | 1,19 | 0,92 |
| 0,300 | 6,32 | 5,86 | 5,45 | 5,09 | 4,76 | 3,56 | 2,78 | 2,24 | 1,85 | 1,56 | 1,33 | 1,16 | 1,01 | 0,79 |
| 0,400 | 5,04 | 4,69 | 4,38 | 4,10 | 3,85 | 2,91 | 2,30 | 1,88 | 1,56 | 1,33 | 1,14 | 1,00 | 0,88 | 0,70 |
| 0,500 | 4,20 | 3,91 | 3,66 | 3,43 | 3,23 | 2,46 | 1,96 | 1,61 | 1,33 | 1,16 | 1,00 | 0,88 | 0,78 | 0,62 |
| 0,600 | 3,59 | 3,35 | 3,14 | 2,95 | 2,78 | 2,13 | 1,71 | 1,41 | 1,19 | 1,02 | 0,89 | 0,78 | 0,70 | 0,56 |
| 0,700 | 3,14 | 2,32 | 2,75 | 2,59 | 2,44 | 1,88 | 1,52 | 1,26 | 1,06 | 0,92 | 0,80 | 0,71 | 0,63 | 0,51 |
| 0,800 | 2,79 | 2,61 | 2,45 | 2,30 | 2,17 | 1,68 | 1,36 | 1,13 | 0,96 | 0,83 | 0,73 | 0,64 | 0,58 | 0,47 |
| 0,900 | 2,51 | 2,35 | 2,21 | 2,08 | 1,96 | 1,52 | 1,24 | 1,03 | 0,88 | 0,76 | 0,67 | 0,59 | 0,53 | 0,43 |
| 1,000 | 2,28 | 2,14 | 2,01 | 1,89 | 1,79 | 1,39 | 1,13 | 0,94 | 0,81 | 0,70 | 0,62 | 0,55 | 0,49 | 0,40 |
| 1,100 | 2,09 | 1,96 | 1,84 | 1,73 | 1,64 | 1,28 | 1,04 | 0,87 | 0,75 | 0,65 | 0,57 | 0,51 | 0,46 | 0,38 |
| 1,200 | 1,93 | 1,81 | 1,70 | 1,60 | 1,52 | 1,18 | 0,97 | 0,81 | 0,69 | 0,60 | 0,53 | 0,48 | 0,43 | 0,35 |
| 1,300 | 1,79 | 1,68 | 1,58 | 1,49 | 1,41 | 1,10 | 0,90 | 0,76 | 0,65 | 0,57 | 0,50 | 0,45 | 0,40 | 0,33 |
| 1,400 | 1,67 | 1,57 | 1,47 | 1,39 | 1,32 | 1,03 | 0,84 | 0,71 | 0,61 | 0,53 | 0,47 | 0,42 | 0,38 | 0,31 |

 $K_b \leq 0,100$

| R'_{sj} | | $(M_s/R_s)'$ pentru $\Delta R_{sj} = R_{bj}$ și $d_j = \Delta R_{sj} = d_j : 2,088$ | | | | | | | | | | | | | |
|-----------|-------|-------------------------------------------------------------------------------------|-------|-------|-------|-------|-------------------------------|-------|-------|-------|-------|-------|-------|-------|------|
| | | $\Delta R_{sj} = R_{bj}$ | | | | | $\Delta R_{sj} = d_j : 2,088$ | | | | | | | | |
| | | 0,10 | 0,15 | 0,20 | 0,25 | 0,30 | 0,35 | 0,40 | 0,45 | 0,50 | 0,55 | 0,60 | 0,65 | 0,70 | 0,75 |
| 1 | 2 | 3 | 4 | 5 | 6 | 7 | 8 | 9 | 10 | 11 | 12 | 13 | 14 | 15 | |
| 0,050 | 0,048 | 0,072 | 0,096 | 0,120 | 0,144 | 0,168 | 0,192 | 0,216 | 0,239 | 0,263 | 0,287 | 0,311 | 0,335 | 0,359 | |
| 0,075 | 0,075 | 101,06 | 60,10 | 40,69 | 29,66 | 22,70 | 17,99 | 14,64 | 12,16 | 10,27 | 8,80 | 7,99 | 6,67 | 5,89 | 5,24 |
| 0,100 | 0,100 | 80,68 | 49,05 | 33,81 | 25,02 | 19,40 | 15,54 | 12,77 | 10,70 | 9,10 | 7,85 | 7,43 | 6,02 | 5,34 | 4,77 |
| 0,125 | 0,125 | 67,14 | 41,43 | 28,92 | 21,64 | 16,95 | 13,68 | 11,32 | 9,55 | 8,17 | 7,08 | 6,44 | 5,48 | 4,88 | 4,38 |
| 0,150 | 0,150 | 57,82 | 35,86 | 25,27 | 19,06 | 15,03 | 12,22 | 10,17 | 8,62 | 7,41 | 6,45 | 5,88 | 5,03 | 4,50 | 4,05 |
| 0,200 | 0,200 | 44,85 | 28,26 | 20,17 | 15,39 | 12,26 | 10,07 | 8,45 | 7,22 | 6,26 | 5,48 | 4,99 | 4,33 | 3,89 | 3,51 |
| 0,300 | 0,300 | 30,96 | 19,85 | 14,37 | 11,12 | 8,96 | 7,44 | 6,32 | 5,45 | 4,76 | 4,21 | 3,84 | 3,38 | 3,05 | 2,78 |
| 0,400 | 0,400 | 23,64 | 15,29 | 11,16 | 8,70 | 7,06 | 5,91 | 5,04 | 4,38 | 3,85 | 3,42 | 3,12 | 2,77 | 2,52 | 2,30 |
| 0,500 | 0,500 | 19,12 | 12,44 | 9,13 | 7,14 | 5,83 | 4,89 | 4,20 | 3,66 | 3,23 | 2,88 | 2,63 | 2,35 | 2,14 | 1,96 |
| 0,600 | 0,600 | 16,05 | 10,48 | 7,72 | 6,06 | 4,96 | 4,18 | 3,59 | 3,14 | 2,78 | 2,48 | 2,27 | 2,04 | 1,86 | 1,71 |
| 0,700 | 0,700 | 13,83 | 9,06 | 6,69 | 5,26 | 4,32 | 3,65 | 3,14 | 2,75 | 2,44 | 2,19 | 2,00 | 1,80 | 1,65 | 1,52 |
| 0,800 | 0,800 | 12,15 | 7,97 | 5,90 | 4,65 | 3,82 | 3,23 | 2,79 | 2,45 | 2,17 | 1,95 | 1,79 | 1,61 | 1,48 | 1,36 |
| 0,900 | 0,900 | 10,83 | 7,12 | 4,22 | 4,17 | 3,43 | 2,90 | 2,51 | 2,21 | 1,96 | 1,76 | 1,61 | 1,46 | 1,34 | 1,24 |
| 1,000 | 1,000 | 9,78 | 6,44 | 4,77 | 3,77 | 3,11 | 2,64 | 2,28 | 2,01 | 1,79 | 1,61 | 1,47 | 1,33 | 1,22 | 1,13 |
| 1,100 | 1,100 | 8,91 | 5,87 | 4,36 | 3,45 | 2,84 | 2,41 | 2,09 | 1,84 | 1,64 | 1,48 | 1,35 | 1,23 | 1,13 | 1,04 |
| 1,200 | 1,200 | 8,18 | 5,39 | 4,01 | 3,17 | 2,62 | 2,23 | 1,93 | 1,70 | 1,52 | 1,37 | 1,25 | 1,13 | 1,04 | 0,97 |

 $K_b \leqslant 0,050$ $K_b \leqslant 0,100$

| R'_{sj} | | $(M_s/R_s)'$ pentru $\Delta R_{sj} = R_{bj}$ și $d_j = \Delta R_{sj} = d_j : 2,088$ | | | | | | | | | | | | | |
|-----------|-------|-------------------------------------------------------------------------------------|------|------|------|------|-------------------------------|------|------|------|------|------|------|------|------|
| | | $\Delta R_{sj} = R_{bj}$ | | | | | $\Delta R_{sj} = d_j : 2,088$ | | | | | | | | |
| | | 0,80 | 0,85 | 0,90 | 0,95 | 1,00 | 1,25 | 1,50 | 1,75 | 2,00 | 2,25 | 2,50 | 2,75 | 3,00 | 3,50 |
| 1 | 2 | 3 | 4 | 5 | 6 | 7 | 8 | 9 | 10 | 11 | 12 | 13 | 14 | 15 | |
| 0,050 | 0,050 | 5,17 | 4,64 | 4,18 | 3,79 | 3,45 | 2,29 | 1,63 | 1,22 | 0,94 | 0,75 | 0,62 | 0,51 | 0,43 | 0,32 |
| 0,075 | 0,075 | 4,69 | 4,22 | 3,82 | 3,48 | 3,18 | 2,14 | 1,54 | 1,16 | 0,90 | 0,72 | 0,59 | 0,50 | 0,42 | 0,31 |
| 0,100 | 0,100 | 4,29 | 3,88 | 3,52 | 3,24 | 2,95 | 2,00 | 1,45 | 1,10 | 0,86 | 0,70 | 0,57 | 0,48 | 0,41 | 0,30 |
| 0,125 | 0,125 | 3,95 | 3,58 | 3,26 | 2,99 | 2,74 | 1,89 | 1,37 | 1,05 | 0,83 | 0,67 | 0,55 | 0,46 | 0,39 | 0,30 |
| 0,150 | 0,150 | 3,66 | 3,33 | 3,04 | 2,79 | 2,57 | 1,78 | 1,31 | 1,00 | 0,80 | 0,65 | 0,53 | 0,45 | 0,38 | 0,29 |
| 0,200 | 0,200 | 3,19 | 2,92 | 2,67 | 2,46 | 2,23 | 1,60 | 1,19 | 0,92 | 0,74 | 0,60 | 0,50 | 0,42 | 0,36 | 0,28 |
| 0,300 | 0,300 | 2,54 | 2,34 | 2,16 | 2,00 | 1,85 | 1,33 | 1,04 | 0,80 | 0,64 | 0,53 | 0,45 | 0,38 | 0,33 | 0,25 |
| 0,400 | 0,400 | 2,11 | 1,95 | 1,81 | 1,68 | 1,56 | 1,14 | 0,88 | 0,70 | 0,57 | 0,47 | 0,40 | 0,34 | 0,30 | 0,23 |
| 0,500 | 0,500 | 1,81 | 1,67 | 1,55 | 1,45 | 1,35 | 1,00 | 0,78 | 0,62 | 0,51 | 0,43 | 0,36 | 0,31 | 0,27 | 0,21 |
| 0,600 | 0,600 | 1,57 | 1,46 | 1,36 | 1,27 | 1,19 | 0,89 | 0,70 | 0,56 | 0,46 | 0,39 | 0,33 | 0,29 | 0,25 | 0,20 |
| 0,700 | 0,700 | 1,40 | 1,30 | 1,21 | 1,13 | 1,06 | 0,80 | 0,63 | 0,51 | 0,42 | 0,36 | 0,31 | 0,27 | 0,24 | 0,19 |
| 0,800 | 0,800 | 1,26 | 1,17 | 1,08 | 1,02 | 0,96 | 0,73 | 0,58 | 0,47 | 0,39 | 0,33 | 0,29 | 0,25 | 0,22 | 0,17 |
| 0,900 | 0,900 | 1,15 | 1,07 | 1,00 | 0,93 | 0,88 | 0,67 | 0,53 | 0,46 | 0,36 | 0,31 | 0,27 | 0,23 | 0,21 | 0,16 |
| 1,000 | 1,000 | 1,05 | 0,98 | 0,91 | 0,86 | 0,81 | 0,62 | 0,49 | 0,40 | 0,34 | 0,29 | 0,25 | 0,22 | 0,19 | 0,16 |
| 1,100 | 1,100 | 0,97 | 0,90 | 0,84 | 0,79 | 0,75 | 0,57 | 0,46 | 0,38 | 0,32 | 0,27 | 0,24 | 0,21 | 0,18 | 0,15 |
| 1,200 | 1,200 | 0,87 | 0,84 | 0,78 | 0,74 | 0,70 | 0,53 | 0,43 | 0,35 | 0,30 | 0,26 | 0,22 | 0,20 | 0,17 | 0,14 |

 $K_{bj} \leqslant 0,200$ $K_{bj} \leqslant 0,300$ $K_{bj} \leqslant 0,400$

ANEXA C_{2.6}

| R''_{sj} | $(M_s/R_s)''_j$ pentru $\Delta R_{sj} > R_{bj}$ și $d_j = [m]$ | | | | | | | | | | | | | |
|------------|----------------------------------------------------------------|-------|-------|-------|-------|-------|-------|-------|-------|------|------|------|------|----|
| | 0,10 | 0,15 | 0,20 | 0,25 | 0,30 | 0,35 | 0,40 | 0,45 | 0,50 | 0,55 | 0,60 | 0,65 | | |
| 1 | 2 | 3 | 4 | 5 | 6 | 7 | 8 | 9 | 10 | 11 | 12 | 13 | 14 | 15 |
| 0,150 | 66,67 | 44,44 | 33,33 | 26,67 | 22,22 | 14,29 | 12,50 | 11,11 | 10,00 | 6,06 | 5,56 | 5,13 | 4,76 | |
| 0,200 | 50,00 | 33,31 | 25,00 | 20,00 | 16,67 | 11,11 | 9,52 | 8,33 | 7,41 | 6,67 | 4,55 | 4,17 | 3,85 | |
| 0,300 | 33,33 | 22,22 | 16,67 | 13,33 | 11,11 | 8,33 | 7,14 | 6,25 | 5,56 | 5,00 | 3,64 | 3,33 | 3,08 | |
| 0,400 | 25,00 | 16,67 | 12,50 | 10,00 | 8,00 | 6,67 | 5,71 | 5,00 | 4,44 | 4,00 | 3,03 | 2,78 | 2,56 | |
| 0,500 | 20,00 | 13,33 | 10,00 | 8,00 | 6,67 | 5,56 | 4,76 | 4,17 | 3,70 | 3,33 | 2,60 | 2,38 | 2,22 | |
| 0,600 | 16,67 | 11,11 | 8,33 | 6,67 | 5,56 | 4,08 | 3,57 | 3,17 | 2,86 | 2,50 | 2,27 | 2,04 | 1,90 | |
| 0,700 | 14,29 | 9,52 | 7,14 | 5,71 | 4,76 | 3,57 | 3,13 | 2,78 | 2,50 | 2,27 | 2,08 | 1,92 | 1,79 | |
| 0,800 | 12,50 | 8,33 | 6,25 | 5,00 | 4,17 | 3,03 | 2,60 | 2,27 | 2,02 | 1,82 | 1,67 | 1,54 | 1,43 | |
| 0,900 | 11,11 | 7,41 | 5,56 | 4,44 | 3,70 | 3,17 | 2,78 | 2,47 | 2,22 | 2,02 | 1,85 | 1,71 | 1,59 | |
| 1,000 | 10,00 | 6,67 | 5,00 | 4,00 | 3,33 | 2,86 | 2,50 | 2,22 | 2,00 | 1,82 | 1,67 | 1,54 | 1,43 | |
| 1,100 | 9,09 | 6,06 | 4,55 | 3,64 | 3,03 | 2,60 | 2,27 | 2,02 | 1,82 | 1,65 | 1,52 | 1,40 | 1,30 | |
| 1,200 | 8,33 | 5,56 | 4,17 | 3,33 | 2,78 | 2,38 | 2,08 | 1,85 | 1,67 | 1,52 | 1,39 | 1,28 | 1,19 | |
| 1,300 | 7,69 | 4,96 | 3,85 | 3,08 | 2,56 | 2,20 | 1,92 | 1,71 | 1,54 | 1,40 | 1,28 | 1,18 | 1,10 | |
| 1,400 | 7,14 | 4,76 | 3,57 | 2,86 | 2,38 | 2,04 | 1,79 | 1,59 | 1,43 | 1,30 | 1,19 | 1,10 | 1,03 | |
| 1,500 | 6,67 | 4,44 | 3,33 | 2,67 | 2,22 | 1,90 | 1,67 | 1,48 | 1,33 | 1,21 | 1,11 | 1,03 | 0,95 | |
| 1,600 | 6,25 | 4,17 | 3,13 | 2,50 | 2,08 | 1,79 | 1,56 | 1,39 | 1,25 | 1,14 | 1,04 | 0,96 | 0,89 | |
| 1,700 | 5,88 | 3,92 | 2,94 | 2,35 | 1,96 | 1,68 | 1,47 | 1,31 | 1,18 | 1,07 | 0,98 | 0,90 | 0,83 | |
| ∞ | 0 | 0 | 0 | 0 | 0 | 0 | 0 | 0 | 0 | 0 | 0 | 0 | 0 | |

122

ANEXA C_{2.6} (continuare)

| R''_{sj} | $(M_s/R_s)''_j$ pentru $\Delta R_{sj} > R_{bj}$ și $d_j = [m]$ | | | | | | | | | | | | | |
|------------|----------------------------------------------------------------|------|------|------|------|------|------|------|------|------|------|------|------|----|
| | 0,80 | 0,85 | 0,90 | 0,95 | 1,00 | 1,25 | 1,50 | 1,75 | 2,00 | 2,25 | 2,50 | 2,75 | | |
| 1 | 2 | 3 | 4 | 5 | 6 | 7 | 8 | 9 | 10 | 11 | 12 | 13 | 14 | 15 |
| 0,150 | | | | | | | | | | | | | | |
| 0,200 | | | | | | | | | | | | | | |
| 0,300 | | | | | | | | | | | | | | |
| 0,400 | 3,13 | 2,94 | 2,78 | | | | | | | | | | | |
| 0,500 | 2,50 | 2,35 | 2,22 | 2,11 | 2,00 | | | | | | | | | |
| 0,600 | 2,08 | 1,96 | 1,85 | 1,75 | 1,67 | 1,33 | | | | | | | | |
| 0,700 | 1,79 | 1,68 | 1,59 | 1,50 | 1,43 | 1,14 | 0,95 | | | | | | | |
| 0,800 | 1,56 | 1,47 | 1,39 | 1,32 | 1,25 | 1,00 | 0,83 | 0,71 | | | | | | |
| 0,900 | 1,39 | 1,31 | 1,23 | 1,17 | 1,11 | 0,89 | 0,74 | 0,63 | | | | | | |
| 1,000 | 1,25 | 1,18 | 1,11 | 1,05 | 1,00 | 0,80 | 0,67 | 0,57 | 0,50 | | | | | |
| 1,100 | 1,14 | 1,07 | 1,01 | 0,96 | 0,91 | 0,73 | 0,61 | 0,52 | 0,46 | 0,40 | | | | |
| 1,200 | 1,04 | 0,98 | 0,93 | 0,88 | 0,83 | 0,67 | 0,56 | 0,48 | 0,42 | 0,37 | 0,33 | | | |
| 1,300 | 0,96 | 0,90 | 0,85 | 0,81 | 0,77 | 0,62 | 0,51 | 0,44 | 0,38 | 0,34 | 0,31 | 0,28 | | |
| 1,400 | 0,89 | 0,84 | 0,79 | 0,75 | 0,71 | 0,57 | 0,48 | 0,41 | 0,36 | 0,32 | 0,29 | 0,26 | 0,24 | |
| 1,500 | 0,83 | 0,78 | 0,74 | 0,70 | 0,67 | 0,53 | 0,44 | 0,38 | 0,33 | 0,30 | 0,27 | 0,24 | 0,22 | |
| 1,600 | 0,78 | 0,71 | 0,69 | 0,66 | 0,63 | 0,50 | 0,42 | 0,36 | 0,31 | 0,28 | 0,25 | 0,23 | 0,21 | |
| 1,700 | 0,74 | 0,69 | 0,65 | 0,62 | 0,59 | 0,47 | 0,39 | 0,34 | 0,29 | 0,26 | 0,24 | 0,21 | 0,17 | |
| ∞ | 0 | 0 | 0 | 0 | 0 | 0 | 0 | 0 | 0 | 0 | 0 | 0 | 0 | |

123

**REZISTENȚELE TERMICE ALE UNOR SOLUȚII RECOMANDATE
PENTRU PROTEJAREA SUPRAFETEILOR ELEMENTELOR DE
CONSTRUCȚIE DIN BETON**

C_{2.7a}

| Nr. crt. | Soluția de protejare | Răcire naturală | Încălzire după turnare | | | |
|-------------|---------------------------------------------------------------------------------------------------------------------------------------------------------------------------------------------------------|--------------------|---------------------------|------------------|------------------|--|
| | | | Mediu încălzit | R _{s0j} | R _{s3j} | |
| | | R _{s1j} | 3 | 4 | 5 | |
| 0 | 1 | 2 | | | | |
| 1 | Folie de polietilenă de 1 mm grosime. | 0,049 | abur | 0,010 | 0,053 | |
| | | | aer | 0,049 | 0,092 | |
| 2 | Prelată din piță impermeabilă de 3 mm. | 0,073 | abur | — | 0,077 | |
| | | | aer | — | 0,116 | |
| 3 | Prelată din piță impermeabilă de 3 mm cuplată cu folie de 1 mm gros. | 0,079 | abur | — | 0,083 | |
| | | | aer | — | 0,122 | |
| 4 | Plăpușă din poliuretan de 3 cm grosime între două folii de polietilenă de 1 mm. | 0,651 | abur | — | 0,655 | |
| | | | aer | — | 0,694 | |
| 5 | Idem cu 4 cm de poliuretan | 0,713 | abur | — | 0,717 | |
| | | | aer | — | 0,756 | |
| 6 | Panouri de cofraj din placaj F de 10 mm tipizate neizolate termic | 0,117 | abur | — | 0,121 | |
| | | | aer | 0,126 | 0,160 | |
| 7 | Idem, izolate termic cu 5 cm pislă minerală ($\rho = 250 \text{ Kg/m}^3$; $\lambda = 0,08$) | 0,696 | abur | — | 0,700 | |
| | | | aer | — | 0,739 | |
| 8 | Cofraje metalice neprotejate termic | 0,043 | abur | 0,004 | 0,047 | |
| | | | aer | 0,043 | 0,086 | |
| 9 | Idem, izolate termic cu 6 cm de pislă minerală având 9,5% punți termice | 0,722 | — | — | — | |
| 10 | Cofraje metalice încălzitoare (perete dublu) protejate la exterior cu 6 cm vată minerală de sticlă (100 Kg/m^3) sau 8 cm de pislă minerală (250 Kg/m^3) și 14,3% punți termice. | 1,060 | abur | 0,004 | 0,904 | |
| | | | aer | 0,043 | 0,943 | |
| 11 | Terenul de fundație (dezghetat) | ∞ | — | — | — | |

**SPORIREA REZISTENȚELOR TERMICE R_{s1j}; R_{s3j} PRIN
PROTEJAREA SUPLEMENTARĂ CU FOLIE DE POLIETILENA SAU
PRELATĂ CE INCHID UN STRAT DE AER STATIONAR**

C_{2.7b}

| Nr. crt. | Soluția de protejare | Strat de aer | | | | | | |
|-------------|--------------------------------------|----------------------|-------|-------|----------------|-------------------------|--------------------|----------------|
| | | vertical, de grosime | | | Flux termic | orizontal de grosime | | |
| | | 1 cm | 2 cm | 5 cm | | 10 cm | 15 cm | 1 cm |
| 12 | Soluția 1 tabel C _{2.7a} | 0,146 | 0,166 | 0,186 | 0,176 | 0,166 | ascend. descend | 0,146 0,156 |
| 13 | Soluția 2 tabel C _{2.7a} | 0,170 | 0,190 | 0,210 | 0,200 | 0,190 | ascend. descend | 0,170 0,180 |
| 14 | Soluția 3 tabel C _{2.7a} | 0,176 | 0,196 | 0,216 | 0,206 | 0,196 | ascend. descend | 0,176 0,186 |

ANEXA C₃

TIPURILE DE REGIMURI TERMICE PROIECTATE ÎN FUNCȚIE DE PARAMETRII CARACTERISTICI

$$\bar{\theta}_{ae} = 0^\circ\text{C}; -5^\circ\text{C}; -10^\circ\text{C}$$

$\frac{M_s}{R_s}$ = variabil

| Nr. crt. | Tipul betonului | K_b | t_k [h] | Anexele ce conțin regimurile termice tipizate pentru metoda | | | | | | | | | | Încălzirea după turnare | | | 4z=112h | | | 3z=88h | | |
|----------|--------------------------------|-------|--------------|-------------------------------------------------------------|------------------|------------------|------------------|-----------------|---|---|------------------|----|----|-------------------------|----------------|----|---------|----------------|----|--------|----------------|---|
| | | | | Conserva-rearea căldurii CC_k | TC _k | | | RC _k | | | RTC _k | | | | t _c | | | t _b | | | t _e | |
| 0 | 1 | 2 | 3 | | 4 | 5 | 6 | 7 | 8 | 9 | 10 | 11 | 12 | 13 | 14 | 15 | 16 | 17 | 18 | 19 | 20 | |
| 1 | B 150-L ₂ -Pa 35-31 | 0,200 | var* | C _{4.1} | — | — | — | — | — | — | — | — | — | — | — | — | — | — | — | — | — | |
| 2 | B 200-L ₃ -Pa 35-31 | 0,200 | var* | C _{4.2} | — | — | — | — | — | — | — | — | — | — | — | — | — | — | — | — | — | |
| | | 0,050 | var* | C _{4.5} | — | — | — | — | — | — | — | — | — | — | — | — | — | — | — | — | — | |
| | | 160 | | C _{4.5} | C _{5.1} | — | — | — | — | — | — | — | — | — | — | — | — | — | — | — | — | |
| | | 64 | | C _{4.5} | C _{5.3} | C _{5.3} | — | — | — | — | — | — | — | — | — | — | — | — | — | — | — | |
| 3 | B 250-L ₃ -Pa 35-31 | 0,200 | var* | C _{4.3} | — | — | — | — | — | — | — | — | — | — | — | — | — | — | — | — | — | |
| | | 0,050 | var* | C _{4.6} | — | — | — | — | — | — | — | — | — | — | — | — | — | — | — | — | — | — |
| | | 160 | | C _{4.6} | C _{5.1} | — | — | — | — | — | — | — | — | — | — | — | — | — | — | — | — | — |
| | | 64 | | C _{4.6} | C _{5.3} | C _{5.3} | — | — | — | — | — | — | — | — | — | — | — | — | — | — | — | — |
| 4 | B 250-L ₃ -P 40-31 | 0,200 | var* | C _{4.4} | — | — | — | — | — | — | — | — | — | — | — | — | — | — | — | — | — | — |
| | | 0,050 | var* | C _{4.7} | — | — | — | — | — | — | — | — | — | — | — | — | — | — | — | — | — | — |
| | | 160 | | C _{4.7} | C _{5.2} | — | — | — | — | — | — | — | — | — | — | — | — | — | — | — | — | — |
| | | 64 | | C _{4.7} | C _{5.4} | C _{6.6} | — | — | — | — | — | — | — | — | — | — | — | — | — | — | — | — |
| 5 | B 300-L ₃ -P 40-31 | 0,050 | var* | C _{4.8} | — | — | — | — | — | — | — | — | — | — | — | — | — | — | — | — | — | — |
| | | 160 | | C _{4.8} | C _{5.2} | C _{5.2} | — | — | — | — | — | — | — | — | — | — | — | — | — | — | — | — |
| | | 64 | | C _{4.8} | C _{5.4} | C _{5.6} | C _{5.6} | — | — | — | — | — | — | — | — | — | — | — | — | — | — | — |
| | | | | | | | | | | | | | | | | | | | | | | |

(*) Variabil între 64 h ... 160 h (și peste) sau 2 zile ... 6 zile (și peste)

ANEXA C_{4.1}

Regim termic CC_k
Element de construcție $K_b = 0,200$
Beton B 150-L₂-Pa 35-31; $M_k = 1686$ h°C

| $\bar{\theta}_{ae}$ °C | $\frac{M_s}{R_s}$ | $>6z = 160h$ | | | $6z = 160h$ | | | $5z = 136h$ | | | $4z = 112h$ | | | $3z = 88h$ | | | $2z = 61h$ | | | |
|---------------------------|-------------------|--------------|------------|-------|-------------|------------|-------|-------------|------------|-------|-------------|------------|-------|------------|------------|-------|------------|------------|-------|---|
| | | θ_b | θ_e | t_c | θ_b | θ_e | t_c | θ_b | θ_e | t_c | θ_b | θ_e | t_c | θ_b | θ_e | t_c | θ_b | θ_e | t_c | |
| 1 | 1 | 1,5 | 8,7 | 2,10 | 3,5 | 10,7 | 142 | 4,5 | 11,7 | 127 | 6,5 | 13,7 | 108 | 10,5 | 17,7 | 86 | — | — | — | |
| | 2 | 1,5 | 7,5 | 22,4 | 3,5 | 9,4 | 149 | 4,5 | 10,4 | 132 | 6,5 | 12,3 | 112 | 10,5 | 16,4 | 88 | — | — | — | |
| | 3 | 1,5 | 6,5 | 24,1 | 3,5 | 8,3 | 157 | 4,5 | 10,0 | 126 | 7,5 | 11,8 | 109 | 11,5 | 15,4 | 88 | — | — | — | |
| | 4 | 1,5 | 5,4 | 26,2 | 4,5 | 8,0 | 145 | 5,5 | 8,0 | 131 | 5,5 | 11,5 | 112 | 12,5 | 14,7 | 87 | — | — | — | |
| | 5 | 1,5 | 4,5 | 28,9 | 4,5 | 6,9 | 153 | 5,5 | 7,7 | 136 | 8,5 | 10,0 | 111 | 13,5 | 14,4 | 86 | — | — | — | |
| | 6 | 1,5 | 3,5 | 32,2 | 5,5 | 6,6 | 144 | 6,5 | 7,3 | 132 | 9,5 | 9,4 | 108 | 14 | 13,3 | 86 | — | — | — | |
| | 7 | 1,5 | 2,6 | 36,4 | 5,5 | 5,6 | 151 | 6,5 | 6,2 | 136 | 10 | 8,9 | 107 | 15 | 12,6 | 86 | — | — | — | |
| | 8 | 1,5 | 2,0 | 43,7 | 6 | 5,4 | 151 | 7 | 5,9 | 136 | 10 | 7,8 | 112 | 16 | 11,9 | 85 | — | — | — | |
| | 9 | 1,5 | 1,5 | 43,7 | 6 | 4,5 | 161 | 8 | 5,6 | 135 | 11 | 7,2 | 112 | 16 | 10,5 | 88 | — | — | — | |
| | 10 | 2 | 1,1 | 43,7 | 7 | 4,1 | 156 | 9 | 5,2 | 133 | 12 | 6,8 | 112 | — | — | — | — | — | — | — |
| | 11 | 4 | 1,4 | 31,1 | 8 | 3,7 | 155 | 10 | 4,8 | 132 | 13 | 6,3 | 111 | — | — | — | — | — | — | — |
| | 12 | 5 | 1,2 | 28,8 | 9 | 3,3 | 155 | 11 | 4,4 | 132 | 14 | 5,8 | 112 | — | — | — | — | — | — | — |
| | 14 | 8 | 1,2 | 23,3 | 11 | 2,5 | 159 | 13 | 3,5 | 135 | 16 | 4,9 | 112 | — | — | — | — | — | — | — |
| | 16 | 12 | 1,4 | 19,0 | 14 | 2,2 | 152 | 16 | 3,1 | 130 | — | — | — | — | — | — | — | — | — | — |
| | 1 | 1,5 | 7,4 | 26,3 | 3,5 | 10,1 | 158 | 5,5 | 12,3 | 125 | 7,5 | 14,4 | 108 | 11,5 | 18,4 | 86 | — | — | — | — |
| | 2 | 1,5 | 1,4 | 48,0 | 4,5 | 8,7 | 153 | 6,5 | 10,9 | 125 | 8,5 | 13,0 | 108 | 12,5 | 17,1 | 87 | — | — | — | — |
| | 3 | 3 | 2,3 | 31,3 | 5,5 | 7,4 | 150 | 7,5 | 9,6 | 124 | 9,5 | 11,6 | 109 | 13,5 | 15,7 | 87 | — | — | — | — |
| | 4 | 5 | 4,3 | 189 | 6 | 5,9 | 149 | 7,5 | 7,2 | 132 | 10,5 | 10,3 | 107 | 14,5 | 14,3 | 87 | — | — | — | — |
| | 5 | 6 | 2,3 | 183 | 7 | 4,4 | 159 | 9 | 6,9 | 128 | 11 | 8,9 | 111 | 16 | 13,8 | 85 | — | — | — | — |
| | 6 | 8 | 2,4 | 175 | 9 | 4,2 | 146 | 10 | 5,4 | 132 | 13 | 8,5 | 106 | — | — | — | — | — | — | — |
| | 7 | 10 | 2,0 | 163 | 11 | 3,8 | 139 | 12 | 5,1 | 126 | 14 | 7,2 | 109 | — | — | — | — | — | — | — |

| 1 | 2 | 3 | 4 | 5 | 6 | 7 | 8 | 9 | 10 | 11 | 12 | 13 | 14 | 15 | 16 | 17 | 18 | 19 | 20 |
|----|-----|-----|-----|-----|------|-----|-----|------|-----|-------|------|-----|------|------|----|----|----|----|----|
| 8 | - | - | - | - | 12 | 1,5 | 158 | 13 | 3,4 | 134 | 15 | 5,7 | 112 | - | - | - | - | - | - |
| 9 | - | - | - | - | - | - | 15 | 2,8 | 130 | - | - | - | - | - | - | - | - | - | - |
| 10 | - | - | - | - | - | - | - | - | - | - | - | - | - | - | - | - | - | - | - |
| 1 | 1,5 | 3,7 | 4,9 | 4,5 | 10,7 | 152 | 5,5 | 11,8 | 136 | 8,5 | 15,1 | 109 | 12,5 | 19,2 | 87 | - | - | - | - |
| 2 | 3,5 | 3,5 | 256 | 5,5 | 7,9 | 159 | 7,5 | 10,5 | 129 | 9,5 | 12,7 | 112 | 13,5 | 17,1 | 88 | - | - | - | - |
| 3 | 6 | 4,5 | 181 | 7 | 6,3 | 156 | 9,5 | 9,2 | 122 | -11,5 | 11,5 | 107 | 15,5 | 15,9 | 86 | - | - | - | - |
| 4 | 8 | 2,2 | 184 | 9 | 4,9 | 149 | 10 | 6,4 | 134 | 13 | 10,2 | 107 | 16 | 13,7 | 88 | - | - | - | - |
| 5 | - | - | - | - | 11 | 2,8 | 154 | 12 | 4,9 | 133 | 14 | 7,8 | 112 | - | - | - | - | - | - |
| 6 | - | - | - | - | - | - | - | - | 3,1 | 136 | 16 | 6,5 | 110 | - | - | - | - | - | - |
| 7 | - | - | - | - | - | - | - | - | - | - | - | - | - | - | - | - | - | - | - |

ANEXA C_{4:2}Regim termic CC_kElement de construcție K_b = 0,200Beton B 200-L₃Pa 35-31; M_k = 1488 h°C

| $\bar{\theta}_{as}$ | $\frac{M_s}{R_s}$ | > 6z = 160 h | | | | 6z = 160 h | | | | 5z = 136 h | | | | 4 z = 112 h | | | | 3 z = 88 h | | | | 2 z = 64 h | | | | |
|---------------------|-------------------|--------------|------------|-------|------------|------------|-------|------------|------------|------------|------------|------------|-------|-------------|------------|-------|------------|------------|-------|------------|------------|------------|------------|------------|-------|--|
| | | θ_b | θ_e | t_c | θ_b | θ_e | t_c | θ_b | θ_e | t_c | θ_b | θ_e | t_c | θ_b | θ_e | t_c | θ_b | θ_e | t_c | θ_b | θ_e | t_c | θ_b | θ_e | t_c | |
| 1 | 2 | 3 | 4 | 5 | 6 | 7 | 8 | 9 | 10 | 11 | 12 | 13 | 14 | 15 | 16 | 17 | 18 | 19 | 20 | | | | | | | |
| 1 | 1,5 | 9,6 | 176 | 2,5 | 10,6 | 141 | 3,5 | 11,7 | 121 | 4,5 | 12,7 | 109 | 7,5 | 15,7 | 87 | 13,5 | 21,7 | 64 | | | | | | | | |
| 2 | 1,5 | 8,6 | 186 | 2,5 | 9,6 | 148 | 3,5 | 10,5 | 127 | 5,5 | 12,5 | 104 | 8,5 | 15,3 | 85 | 14,5 | 21,2 | 64 | | | | | | | | |
| 3 | 1,5 | 7,3 | 196 | 2,5 | 8,5 | 155 | 3,5 | 9,5 | 131 | 4,5 | 11,3 | 110 | 9,5 | 14,0 | 87 | 15,5 | 20,6 | 63 | | | | | | | | |
| 4 | 1,5 | 6,7 | 209 | 3,5 | 8,4 | 137 | 4,5 | 9,3 | 121 | 5,5 | 10,2 | 110 | 9,5 | 13,6 | 86 | 15,5 | 19,1 | 64 | | | | | | | | |
| 5 | 1,5 | 5,8 | 224 | 3,5 | 7,5 | 144 | 4,5 | 8,3 | 126 | 6,5 | 9,9 | 106 | 9,5 | 12,3 | 88 | 16,5 | 18,4 | 64 | | | | | | | | |
| 6 | 1,5 | 4,9 | 243 | 3,5 | 6,5 | 152 | 4,5 | 7,3 | 132 | 6,5 | 8,8 | 108 | 10,5 | 11,9 | 87 | - | - | - | - | - | - | - | - | - | | |
| 7 | 1,5 | 4,1 | 266 | 4,5 | 6,4 | 138 | 5,5 | 7,1 | 124 | 7,5 | 8,5 | 106 | 11,5 | 11,4 | 85 | - | - | - | - | - | - | - | - | - | | |
| 8 | 1,5 | 3,3 | 293 | 4,5 | 5,6 | 146 | 5,5 | 6,2 | 129 | 7,5 | 109 | 12 | 10,9 | 85 | - | - | - | - | - | - | - | - | - | - | | |
| 9 | 1,5 | 2,6 | 326 | 4,5 | 4,7 | 154 | 5,5 | 5,3 | 133 | 8 | 7,3 | 109 | 12 | 9,8 | 88 | - | - | - | - | - | - | - | - | - | | |
| 10 | 1,5 | 2,1 | 386 | 5 | 4,7 | 154 | 6 | 5,3 | 133 | 9 | 6,9 | 106 | 13 | 9,4 | 87 | - | - | - | - | - | - | - | - | - | | |
| 11 | 1,5 | 1,2 | 386 | 6 | 4,4 | 143 | 7 | 4,9 | 128 | 9 | 6,1 | 111 | 14 | 9,0 | 85 | - | - | - | - | - | - | - | - | - | | |
| 12 | 2 | 1,3 | 386 | 6 | 3,6 | 154 | 7 | 4,2 | 136 | 10 | 5,8 | 110 | 15 | 8,6 | 86 | - | - | - | - | - | - | - | - | - | | |
| 13 | 4 | 1,0 | 294 | 8 | 3,1 | 145 | 9 | 3,6 | 133 | 12 | 5,1 | 108 | 16 | 7,1 | 88 | - | - | - | - | - | - | - | - | - | | |
| 14 | 7 | 1,2 | 219 | 10 | 2,5 | 147 | 11 | 2,9 | 132 | 14 | 4,4 | 108 | - | - | - | - | - | - | - | - | - | - | - | - | | |
| 15 | - | - | - | - | - | - | - | - | - | - | - | - | - | - | - | - | - | - | - | - | - | - | - | - | | |
| 16 | 1 | 1,5 | 8,8 | 209 | 2,5 | 10,2 | 158 | 3,5 | 11,3 | 132 | 5,5 | 13,5 | 107 | 8,5 | 16,6 | 87 | 14,5 | 22,7 | 64 | | | | | | | |
| 17 | 2 | 1,5 | 4,9 | 311 | 3,5 | 9,1 | 147 | 4,5 | 10,2 | 127 | 6,5 | 12,4 | 105 | 9,5 | 15,5 | 87 | 15,5 | 21,6 | 64 | | | | | | | |
| 18 | 3 | 2,5 | 3,7 | 258 | 4,5 | 8,0 | 140 | 5,5 | 9,2 | 123 | 6,5 | 10,3 | 112 | 10,5 | 14,4 | 86 | 16,5 | 20,4 | 64 | | | | | | | |
| 19 | 4 | 3,5 | 3,3 | 207 | 5,5 | 6,5 | 136 | 5,5 | 7,0 | 136 | 7,5 | 9,3 | 114 | 11,5 | 13,3 | 86 | - | - | - | - | - | - | - | - | - | |
| 20 | 5 | 5 | 3,0 | 176 | 6 | 5,7 | 143 | 7 | 6,9 | 117 | 8,5 | 8,2 | 108 | 12,5 | 12,2 | 85 | - | - | - | - | - | - | - | - | - | |
| 21 | 6 | 6 | 2,6 | 171 | 7 | 4,6 | 139 | 8 | 5,9 | 122 | 9 | 7,4 | 112 | 13 | 11,1 | 87 | - | - | - | - | - | - | - | - | - | |
| 22 | 7 | - | - | - | 8 | 3,2 | 144 | 9 | 4,8 | 125 | 11 | 7,0 | 105 | 14 | 9,9 | 87 | - | - | - | - | - | - | - | - | - | |

| | 1 | 2 | 3 | 4 | 5 | 6 | 7 | 8 | 9 | 10 | 11 | 12 | 13 | 14 | 15 | 16 | 17 | 18 | 19 | 20 |
|------|-----|-----|------|------|------|-----|-----|------|-----|-----|------|-----|------|------|------|------|------|----|----|----|
| 8 | - | - | - | - | - | 9 | 2,3 | 14,1 | 10 | 3,7 | 13,1 | 12 | 5,8 | 10,7 | 15 | 8,8 | 8,8 | - | - | - |
| 9 | - | - | - | - | - | 11 | 1,1 | 14,8 | 12 | 3,2 | 12,2 | 13 | 4,6 | 11,0 | 16 | 7,8 | 8,8 | - | - | - |
| 10 | - | - | - | - | - | - | - | - | 13 | 1,1 | 13,6 | 15 | 4,5 | 10,4 | - | - | - | - | - | - |
| 11 | - | - | - | - | - | - | - | - | 15 | 1,1 | 12,9 | 16 | 3,2 | 10,9 | - | - | - | - | - | - |
| 12 | - | - | - | - | - | - | - | - | - | - | - | - | - | - | - | - | - | - | - | - |
| 1 | 1,5 | 7,1 | 29,5 | 3,5 | 10,9 | 147 | 4,5 | 12,1 | 128 | 6,5 | 14,3 | 103 | 9,5 | 17,4 | 87 | 15,5 | 23,5 | 64 | | |
| 2 | 2,5 | 2,4 | 30,4 | 4,5 | 8,5 | 148 | 5,5 | 9,9 | 130 | 7,5 | 12,3 | 108 | 10,5 | 15,6 | 88 | - | - | - | - | - |
| 3 | 4,5 | 4,1 | 18,1 | 5,5 | 6,1 | 154 | 6,5 | 7,7 | 133 | 8,5 | 10,3 | 110 | 12,5 | 14,8 | 85 | - | - | - | - | - |
| -10° | 4 | 6 | 1,1 | 20,2 | 7 | 5,0 | 145 | 8 | 6,7 | 127 | 10 | 9,4 | 107 | 14 | 13,9 | 84 | - | - | - | - |
| 5 | - | - | - | - | 9 | 3,9 | 138 | 10 | 5,8 | 121 | 11 | 7,2 | 111 | 15 | 12,2 | 84 | - | - | - | - |
| 6 | - | - | - | - | - | - | - | - | - | - | - | - | - | - | - | - | - | - | - | - |
| 7 | - | - | - | - | - | - | - | - | - | - | - | - | - | - | - | - | - | - | - | - |
| 8 | - | - | - | - | - | - | - | - | - | - | - | - | - | - | - | - | - | - | - | - |
| 9 | - | - | - | - | - | - | - | - | - | - | - | - | - | - | - | - | - | - | - | - |

ANEXA C_{4,3}Regim termic CC_kElement de construcție $K_b = 0,200$ Beton B 250-L₃ Pa 35-31; $M_k = 1310$ °C

| $\bar{\theta}_{de}$ | M_s | $> 6z = 160$ h | | | | $6z = 160$ h | | | | $5z = 136$ h | | | | $4z = 112$ h | | | | $3z = 88$ h | | | | $2z = 64$ h | | | | | | |
|---------------------|-------|----------------|------------|------------|-------|--------------|------------|-------|------------|--------------|-------|------------|------------|--------------|------------|------------|-------|-------------|------------|-------|------------|-------------|-------|------------|------------|-------|--|--|
| | | R_s | θ_b | θ_e | t_c | θ_b | θ_e | t_c | θ_b | θ_e | t_c | θ_b | θ_e | t_c | θ_b | θ_e | t_c | θ_b | θ_e | t_c | θ_b | θ_e | t_c | θ_b | θ_e | t_c | | |
| 1 | 1 | - | - | - | - | 1,5 | 9,8 | 15,3 | 2,5 | 10,9 | 12,3 | 3,5 | 11,9 | 106 | 5,5 | 14,0 | 87 | 10,5 | 19,1 | 64 | | | | | | | | |
| 2 | 2 | - | - | - | - | 1,5 | 8,9 | 160 | 2,5 | 9,9 | 128 | 3,5 | 10,9 | 110 | 6,5 | 13,8 | 84 | 11,5 | 18,6 | 64 | | | | | | | | |
| 3 | 3 | 1,5 | 8,1 | 168 | 2,5 | 9,1 | 13,3 | 2,5 | 9,1 | 13,3 | 4,5 | 10,8 | 101 | 6,5 | 12,8 | 86 | 12,5 | 18,3 | 62 | | | | | | | | | |
| 4 | 4 | 1,5 | 7,3 | 176 | 2,5 | 8,2 | 13,9 | 3,5 | 9,0 | 118 | 4,5 | 9,9 | 104 | 6,5 | 11,7 | 88 | 12,5 | 17,1 | 64 | | | | | | | | | |
| 5 | 5 | 1,5 | 6,5 | 185 | 2,5 | 7,3 | 145 | 3,5 | 8,2 | 122 | 4,5 | 9,1 | 108 | 7,5 | 11,5 | 85 | 13,5 | 16,8 | 63 | | | | | | | | | |
| 6 | 6 | 1,5 | 5,7 | 198 | 2,5 | 6,5 | 153 | 3,5 | 7,3 | 127 | 4,5 | 8,1 | 112 | 7,5 | 11,2 | 85 | 10,5 | 88 | 13,5 | 15,5 | 64 | | | | | | | |
| 7 | 7 | 1,5 | 4,9 | 214 | 3,5 | 6,3 | 134 | 3,5 | 6,5 | 134 | 5,5 | 8,0 | 105 | 8,5 | 10,3 | 85 | 14,5 | 15,1 | 64 | | | | | | | | | |
| 8 | 8 | 1,5 | 4,2 | 231 | 3,5 | 5,8 | 141 | 4,5 | 6,4 | 121 | 5,5 | 7,3 | 109 | 8,5 | 9,3 | 88 | 15 | 14,8 | 64 | | | | | | | | | |
| 9 | 9 | 1,5 | 3,5 | 251 | 3,5 | 5,0 | 151 | 4,5 | 5,8 | 127 | 5,5 | 6,4 | 112 | 8,5 | 8,4 | 88 | 16 | 14,4 | 62 | | | | | | | | | |
| 10 | 10 | 1,5 | 2,8 | 278 | 3,5 | 4,2 | 160 | 4,5 | 5,1 | 135 | 6,5 | 6,2 | 106 | 9 | 8,3 | 88 | 16 | 13,2 | 64 | | | | | | | | | |
| 11 | 11 | 1,5 | 2,2 | 306 | 4,5 | 4,1 | 136 | 4,4 | 4,2 | 136 | 4,4 | 6,1 | 106 | 10 | 7,9 | 87 | - | - | - | - | - | - | - | - | - | - | | |
| 12 | 12 | 1,5 | 1,7 | 340 | 5 | 4,0 | 136 | 5 | 4,1 | 136 | 7 | 5,5 | 111 | 11 | 7,7 | 86 | - | - | - | - | - | - | - | - | - | | | |
| 14 | 14 | 2 | 1,2 | 340 | 6 | 3,5 | 138 | 7 | 4,0 | 122 | 8 | 4,6 | 112 | 12 | 6,7 | 87 | - | - | - | - | - | - | - | - | - | | | |
| 16 | 16 | 4 | 1,0 | 257 | 7 | 2,6 | 145 | 8 | 3,2 | 128 | 10 | 4,2 | 107 | 14 | 6,2 | 85 | - | - | - | - | - | - | - | - | - | | | |
| 0°C | 1 | 1,5 | 9,3 | 177 | 2,5 | 10,6 | 136 | 2,5 | 10,6 | 136 | 4,5 | 12,7 | 102 | 6,5 | 14,7 | 87 | 12,5 | 20,7 | 63 | | | | | | | | | |
| 2 | 2 | 1,5 | 6,4 | 233 | 2,5 | 8,4 | 154 | 3,5 | 9,8 | 125 | 4,5 | 10,9 | 109 | 7,5 | 14,1 | 87 | 12,5 | 19,2 | 64 | | | | | | | | | |
| 3 | 3 | 2,5 | 5,7 | 191 | 3,5 | 7,7 | 140 | 4,5 | 9,0 | 118 | 5,5 | 10,1 | 105 | 7,5 | 12,2 | 88 | 13,5 | 18,3 | 63 | | | | | | | | | |
| 4 | 4 | 3,5 | 5,1 | 169 | 4,5 | 6,9 | 130 | 4,5 | 6,9 | 130 | 5,5 | 8,2 | 112 | 8,5 | 11,4 | 88 | 14,5 | 17,5 | 63 | | | | | | | | | |
| 5 | 5 | - | - | - | 4,5 | 4,6 | 147 | 5,5 | 6,6 | 124 | 6,5 | 7,4 | 110 | 9,5 | 10,6 | 87 | 15,5 | 16,0 | 63 | | | | | | | | | |
| 6 | 6 | - | - | - | 5 | 3,2 | 157 | 6 | 5,7 | 126 | 7 | 6,5 | 112 | 10 | 9,7 | 88 | 16 | 15,7 | 64 | | | | | | | | | |
| -5°C | 7 | - | - | - | 6 | 2,1 | 157 | 7 | 4,4 | 126 | 8 | 5,8 | 109 | 11 | 8,9 | 87 | - | - | - | - | - | - | - | - | - | | | |

| 1 | 2 | 3 | 4 | 5 | 6 | 7 | 8 | 9 | 10 | 11 | 12 | 13 | 14 | 15 | 16 | 17 | 18 | 19 | 20 |
|-------|-----|-----|-----|-----|------|-----|-----|------|-----|-----|------|-----|------|------|------|------|------|------|----|
| 8 | - | - | - | - | - | - | - | 8 | 3,3 | 126 | 9 | 4,8 | 110 | 12 | 8,1 | 86 | - | - | - |
| 9 | - | - | - | - | - | - | - | 9 | 2,3 | 131 | 10 | 4,3 | 111 | 13 | 7,2 | 87 | - | - | - |
| 10 | - | - | - | - | - | - | - | 11 | 1,6 | 115 | 12 | 4,2 | 102 | 14 | 6,5 | 87 | - | - | - |
| 11 | - | - | - | - | - | - | - | - | - | - | 13 | 3,0 | 107 | 15 | 5,4 | 88 | - | - | - |
| 12 | - | - | - | - | - | - | - | - | - | - | 14 | 2,5 | 112 | 16 | 4,8 | 88 | - | - | - |
| 13 | - | - | - | - | - | - | - | - | - | - | - | - | - | - | - | - | - | - | - |
| 14 | - | - | - | - | - | - | - | - | - | - | - | - | - | - | - | - | - | - | - |
| 1 | 1,5 | 8,3 | 220 | 2,5 | 10,1 | 153 | 3,5 | 11,4 | 126 | 4,5 | 12,6 | 111 | 7,5 | 15,9 | 86 | 12,5 | 21,1 | 64 | 64 |
| 2 | 2,5 | 5,0 | 227 | 3,5 | 8,1 | 151 | 4,5 | 9,7 | 124 | 5,5 | 11,0 | 8,5 | 14,3 | 86 | 13,5 | 19,6 | 64 | 64 | |
| 3 | - | - | - | 4,5 | 5,9 | 151 | 5,5 | 7,8 | 125 | 6,5 | 9,2 | 111 | 9,5 | 12,7 | 87 | 15,5 | 19,3 | 63 | 63 |
| -10°C | 4 | - | - | - | - | - | - | 6 | 5,4 | 131 | 7,5 | 7,5 | 110 | 10,5 | 11,1 | 88 | 16,5 | 17,9 | 63 |
| 5 | - | - | - | - | - | - | - | 8 | 5,3 | 119 | 9 | 6,9 | 106 | 12 | 10,7 | 85 | - | - | - |
| 6 | - | - | - | - | - | - | - | - | - | - | 10 | 4,8 | 112 | 13 | 9,2 | 86 | - | - | - |
| 7 | - | - | - | - | - | - | - | - | - | - | 12 | 4,3 | 107 | 14 | 7,5 | 88 | - | - | - |
| 8 | - | - | - | - | - | - | - | - | - | - | 14 | 3,6 | 103 | 15 | 5,3 | 88 | - | - | - |
| 9 | - | - | - | - | - | - | - | - | - | - | - | - | - | - | - | - | - | - | |

ANEXA 4.4

Regim termic CC_k Element de construcție $K_b = 0,200$ Beton B 250-L_gP 40-31; $M_k = 1324$ h°C.

| $\bar{\theta}_{ae}$ | $\frac{M_s}{R_s}$ | >6 z = 160 h | | | | 6 z = 160 h | | | | 5 z = 136 h | | | | 4 z = 112 h | | | | 3 z = 88 h | | | | 2 z = 64 h | | | | | |
|---------------------|-------------------|--------------|------------|-------|------------|-------------|-------|------------|------------|-------------|------------|------------|-------|-------------|------------|-------|------------|------------|-------|------------|------------|------------|------------|------------|-------|----|----|
| | | θ_b | θ_c | t_c | θ_b | θ_c | t_c | θ_b | θ_c | t_c | θ_b | θ_c | t_c | θ_b | θ_c | t_c | θ_b | θ_c | t_c | θ_b | θ_c | t_c | θ_b | θ_c | t_c | | |
| 1 | 2 | 3 | 4 | 5 | 6 | 7 | 8 | 9 | 10 | 11 | 12 | 13 | 14 | 15 | 16 | 17 | 18 | 19 | 20 | 1 | 2 | 3 | 4 | | | | |
| 0°C | 1 | - | - | - | 1,5 | 10,5 | 149 | 2,5 | 11,6 | 12,1 | 3,5 | 12,6 | 105 | 5,5 | 14,6 | 87 | 10,5 | 20,1 | 64 | 64 | 64 | 64 | 64 | 64 | 64 | 64 | 64 |
| | 2 | - | - | - | 1,5 | 9,7 | 155 | 2,5 | 10,7 | 125 | 3,5 | 11,7 | 108 | 6,5 | 14,5 | 83 | 11,5 | 19,5 | 63 | 63 | 63 | 63 | 63 | 63 | 63 | 63 | 63 |
| | 3 | 1,5 | 8,7 | 162 | 2,5 | 9,6 | 130 | 2,5 | 9,6 | 130 | 3,5 | 10,6 | 112 | 6,5 | 13,4 | 86 | 11,5 | 18,2 | 64 | 64 | 64 | 64 | 64 | 64 | 64 | 64 | 64 |
| | 4 | 1,5 | 7,8 | 170 | 2,5 | 8,7 | 136 | 2,5 | 8,7 | 136 | 4,5 | 10,4 | 104 | 6,4 | 12,3 | 88 | 12,5 | 17,8 | 64 | 64 | 64 | 64 | 64 | 64 | 64 | 64 | 64 |
| | 5 | 1,5 | 6,9 | 179 | 2,5 | 7,8 | 141 | 3,5 | 8,6 | 120 | 4,5 | 9,5 | 107 | 7,5 | 12,2 | 85 | 13,5 | 17,5 | 63 | 63 | 63 | 63 | 63 | 63 | 63 | 63 | 63 |
| | 6 | 1,5 | 6,3 | 190 | 2,5 | 7,0 | 148 | 3,5 | 7,8 | 125 | 4,5 | 8,7 | 110 | 7,5 | 11,1 | 87 | 11,5 | 16,2 | 64 | 64 | 64 | 64 | 64 | 64 | 64 | 64 | 64 |
| | 7 | 1,5 | 5,6 | 156 | 2,5 | 6,3 | 156 | 3,5 | 7,1 | 131 | 4,5 | 8,6 | 104 | 8,5 | 14,5 | 85 | 14,5 | 15,8 | 63 | 63 | 63 | 63 | 63 | 63 | 63 | 63 | 63 |
| | 8 | 1,5 | 4,8 | 217 | 3,5 | 6,2 | 136 | 3,5 | 6,3 | 136 | 5,5 | 7,8 | 107 | 8,5 | 10,0 | 87 | 14 | 13,4 | 64 | 64 | 64 | 64 | 64 | 64 | 64 | 64 | 64 |
| | 9 | 1,5 | 4,1 | 235 | 3,5 | 5,6 | 144 | 4,5 | 6,2 | 124 | 5,5 | 7,6 | 112 | 9,5 | 9,7 | 85 | 15 | 14,2 | 64 | 64 | 64 | 64 | 64 | 64 | 64 | 64 | 64 |
| | 10 | 1,5 | 3,4 | 257 | 3,5 | 4,9 | 154 | 4,5 | 5,6 | 129 | 6,5 | 6,9 | 107 | 10 | 9,5 | 85 | 16 | 13,8 | 64 | 64 | 64 | 64 | 64 | 64 | 64 | 64 | 64 |
| | 11 | 1,5 | 2,8 | 282 | 4,5 | 4,5 | 136 | 4,5 | 4,9 | 136 | 7 | 6,3 | 107 | 10 | 8,0 | 88 | - | - | - | - | - | - | - | - | - | - | |
| | 12 | 1,5 | 2,2 | 342 | 4,5 | 4,3 | 136 | 5 | 4,8 | 136 | 7 | 5,7 | 112 | 11 | 7,1 | 87 | - | - | - | - | - | - | - | - | - | - | |
| | 13 | 2 | 1,1 | 340 | 5 | 3,4 | 153 | 6 | 4,0 | 129 | 8 | 5,1 | 109 | 12 | 7,1 | 87 | - | - | - | - | - | - | - | - | - | - | |
| | 14 | 3 | 1,0 | 297 | 6 | 2,6 | 157 | 7 | 3,1 | 136 | 9 | 4,2 | 112 | 13 | 6,1 | 88 | - | - | - | - | - | - | - | - | - | - | |
| | 15 | - | - | - | - | - | - | - | - | - | - | - | - | - | - | - | - | - | - | - | - | - | - | - | - | | |
| | 16 | - | - | - | - | - | - | - | - | - | - | - | - | - | - | - | - | - | - | - | - | - | - | - | - | | |
| | 1 | 1,5 | 10,2 | 171 | 2,5 | 11,4 | 132 | 2,5 | 11,4 | 132 | 3,5 | 12,5 | 112 | 6,5 | 15,6 | 87 | 11,5 | 20,8 | 64 | 64 | 64 | 64 | 64 | 64 | 64 | 64 | 64 |
| | 2 | 1,5 | 7,4 | 215 | 2,5 | 9,3 | 148 | 3,5 | 10,5 | 124 | 4,5 | 11,7 | 107 | 7,5 | 15,1 | 84 | 12,5 | 20,0 | 64 | 64 | 64 | 64 | 64 | 64 | 64 | 64 | 64 |
| | 3 | 1,5 | 1,7 | 378 | 3,5 | 8,5 | 135 | 3,5 | 8,5 | 135 | 5,5 | 11,0 | 103 | 7,5 | 13,1 | 88 | 13,5 | 19,1 | 36 | 36 | 36 | 36 | 36 | 36 | 36 | 36 | 36 |
| | 4 | 2,5 | 2,7 | 246 | 3,5 | 6,1 | 157 | 4,5 | 7,8 | 126 | 5,5 | 9,0 | 110 | 8,5 | 12,2 | 87 | 14,5 | 18,3 | 63 | 63 | 63 | 63 | 63 | 63 | 63 | 63 | 63 |
| | 5 | 3,5 | 3,2 | 184 | 4,5 | 5,5 | 143 | 5,5 | 7,0 | 121 | 6,5 | 8,2 | 108 | 9,5 | 11,3 | 86 | 15,5 | 17,4 | 63 | 63 | 63 | 63 | 63 | 63 | 63 | 63 | 63 |
| | 6 | - | - | - | - | - | - | - | - | - | - | - | - | - | - | - | - | - | - | - | - | - | - | - | - | | |
| | 7 | - | - | - | - | - | - | - | - | - | - | - | - | - | - | - | - | - | - | - | - | - | - | - | - | | |

| 1 | 2 | 3 | 4 | 5 | 6 | 7 | 8 | 9 | 10 | 11 | 12 | 13 | 14 | 15 | 16 | 17 | 18 | 19 | 20 |
|----|-----|-----|-----|-----|------|-----|-----|------|-----|-----|------|-----|-----|------|-----|------|------|----|----|
| 8 | - | - | - | - | - | 7 | 2,3 | 145 | 8 | 4,4 | 119 | 9 | 5,7 | 106 | 12 | 8,7 | 86 | - | - |
| 9 | - | - | - | - | - | - | - | 9 | 3,4 | 121 | 10 | 4,9 | 106 | 13 | 8,0 | 85 | - | - | |
| 10 | - | - | - | - | - | - | - | - | 10 | 1,6 | 132 | 12 | 4,8 | 100 | 14 | 7,0 | 86 | - | - |
| 11 | - | - | - | - | - | - | - | - | 12 | 1,3 | 115 | 13 | 3,9 | 102 | 16 | 6,2 | 81 | - | - |
| 12 | - | - | - | - | - | - | - | - | - | - | 14 | 2,5 | 107 | 16 | 5,2 | 88 | - | - | |
| 13 | - | - | - | - | - | - | - | - | - | - | 16 | 1,0 | 110 | - | - | - | - | - | - |
| 14 | - | - | - | - | - | - | - | - | - | - | - | - | - | - | - | - | - | - | - |
| 15 | - | - | - | - | - | - | - | - | - | - | - | - | - | - | - | - | - | - | - |
| 16 | - | - | - | - | - | - | - | - | - | - | - | - | - | - | - | - | - | - | - |
| 1 | 1,5 | 9,2 | 208 | 2,5 | 11,0 | 148 | 3,5 | 12,3 | 123 | 4,5 | 13,4 | 109 | 7,5 | 16,6 | 86 | 12,5 | 21,9 | 64 | |
| 2 | 2,5 | 6,5 | 203 | 3,5 | 9,0 | 144 | 4,5 | 10,5 | 121 | 5,5 | 11,7 | 108 | 8,5 | 15,1 | 86 | 13,5 | 20,5 | 64 | |
| 3 | 3,5 | 3,7 | 201 | 4,5 | 7,0 | 143 | 5,5 | 8,8 | 121 | 6,5 | 10,1 | 108 | 9,5 | 13,6 | 86 | 14,5 | 19,2 | 64 | |
| 4 | - | - | - | - | - | - | - | - | - | - | - | - | - | - | - | - | - | - | - |
| 5 | - | - | - | - | - | - | - | - | - | - | - | - | - | - | - | - | - | - | - |
| 6 | - | - | - | - | - | - | - | - | - | - | - | - | - | - | - | - | - | - | - |
| 7 | - | - | - | - | - | - | - | - | - | - | - | - | - | - | - | - | - | - | - |
| 8 | - | - | - | - | - | - | - | - | - | - | - | - | - | - | - | - | - | - | - |
| 9 | - | - | - | - | - | - | - | - | - | - | - | - | - | - | - | - | - | - | - |
| 10 | - | - | - | - | - | - | - | - | - | - | - | - | - | - | - | - | - | - | - |

ANEXA C_{4,5}

Regim termic CC_k.
Element de construcție $K_b = 0,050$.
Beton B 200-T_g-Pa 35-3; $M_k = 1488$ h°C.

| $\overline{\theta}_{ae}$ °C | $\frac{M_s}{R_s}$ | $> 6 z = 160$ h | | | | $6 z = 160$ h | | | | $5 z = 136$ h | | | | $4 z = 121$ h | | | | $3 z = 88$ h | | | | $2 z = 64$ h | | | | | |
|--------------------------------|-------------------|-----------------|------------|-------|------------|---------------|-------|------------|------------|---------------|------------|------------|-------|---------------|------------|-------|------------|--------------|-------|------------|------------|--------------|------------|------------|-------|--|--|
| | | θ_b | θ_c | t_e | θ_b | θ_b | t_e | θ_b | θ_c | t_e | θ_b | θ_c | t_e | θ_b | θ_c | t_e | θ_b | θ_c | t_e | θ_b | θ_c | t_e | θ_b | θ_c | t_e | | |
| 1 | 1,5 | 10 | 171 | 2,5 | 11 | 138 | 3,5 | 12 | 116 | 4,5 | 13 | 103 | 6,5 | 15 | 87 | 12,5 | 20 | 62 | | | | | | | | | |
| 2 | 1,5 | 9 | 181 | 2,5 | 10 | 143 | 3,5 | 11 | 121 | 4,5 | 12 | 108 | 7,5 | 14 | 84 | 12,5 | 19 | 94 | | | | | | | | | |
| 3 | 1,5 | 8 | 184 | 2,5 | 9 | 149 | 3,5 | 10 | 126 | 4,5 | 10 | 111 | 7,5 | 13 | 87 | 13,5 | 19 | 63 | | | | | | | | | |
| 4 | 1,5 | 7 | 184 | 2,5 | 8 | 157 | 3,5 | 9 | 131 | 5,5 | 10 | 105 | 8,5 | 13 | 84 | 14,5 | 18 | 61 | | | | | | | | | |
| 5 | 1,5 | 6 | 214 | 3,5 | 8 | 138 | 4,5 | 9 | 120 | 6,5 | 10 | 99 | 8,5 | 12 | 87 | 14,5 | 17 | 63 | | | | | | | | | |
| 6 | 1,5 | 5 | 229 | 3,5 | 7 | 146 | 4,5 | 8 | 126 | 6,5 | 9 | 104 | 9,5 | 11 | 85 | 15,5 | 16 | 63 | | | | | | | | | |
| 7 | 1,5 | 4 | 261 | 3,5 | 6 | 159 | 4,5 | 7 | 135 | 6,5 | 8 | 110 | 10,5 | 11 | 84 | 16 | 15 | 64 | | | | | | | | | |
| 8 | 1,5 | 4 | 288 | 4,5 | 6 | 143 | 5,5 | 7 | 126 | 7,5 | 8 | 105 | 11 | 10 | 84 | 17 | 15 | 62 | | | | | | | | | |
| 9 | 1,5 | 3 | 319 | 4,5 | 5 | 152 | 5,5 | 6 | 129 | 7,5 | 8 | 105 | 11 | 9 | 87 | 18 | 14 | 61 | | | | | | | | | |
| 10 | 1,5 | 2 | 378 | 5 | 4 | 152 | 6 | 5 | 129 | 8 | 6 | 109 | 12 | 9 | 83 | 18 | 13 | 64 | | | | | | | | | |
| 11 | 1,5 | 2 | 378 | 5 | 3 | 160 | 7 | 5 | 125 | 9 | 6 | 106 | 12 | 7 | 88 | 19 | 12 | 63 | | | | | | | | | |
| 12 | 2 | 1 | 378 | 6 | 3 | 151 | 7 | 4 | 133 | 9 | 5 | 112 | 13 | 7 | 88 | 20 | 12 | 62 | | | | | | | | | |
| 13 | 4 | 1 | 282 | 7 | 2 | 153 | 8 | 3 | 135 | 10 | 4 | 112 | 14 | 6 | 88 | - | - | - | | | | | | | | | |
| 14 | 4 | 1 | 197 | 9 | 2 | 148 | 10 | 2 | 132 | 12 | 3 | 110 | 16 | 5 | 86 | - | - | - | | | | | | | | | |
| 15 | 7 | 1 | 197 | 9 | 2 | - | - | - | - | - | - | - | - | - | - | - | - | - | | | | | | | | | |
| 16 | 7 | 1 | 197 | 9 | 2 | - | - | - | - | - | - | - | - | - | - | - | - | - | | | | | | | | | |
| 25 | - | - | - | - | - | - | - | - | - | - | - | - | - | - | - | - | - | - | | | | | | | | | |
| 1 | 1,5 | 8 | 198 | 2,5 | 10 | 147 | 3,5 | 11 | 122 | 4,5 | 12 | 107 | 17 | 15 | 84 | 13,5 | 21 | 60 | | | | | | | | | |
| 2 | 1,5 | 5 | 295 | 3,5 | 9 | 136 | 3,5 | 9 | 136 | 5,5 | 11 | 104 | 8,5 | 14 | 82 | 13,5 | 19 | 63 | | | | | | | | | |
| 3 | 2,5 | 4 | 238 | 3,5 | 7 | 158 | 4,5 | 8 | 127 | 5,5 | 9 | 111 | 9,5 | 13 | 82 | 14,5 | 18 | 62 | | | | | | | | | |
| 4 | 3,5 | 4 | 188 | 4,5 | 6 | 146 | 5,5 | 7 | 122 | 6,5 | 8 | 109 | 9,5 | 11 | 86 | 15,5 | 17 | 62 | | | | | | | | | |
| 5 | - | - | - | - | - | - | - | - | - | - | - | - | - | - | - | - | - | - | | | | | | | | | |
| 6 | - | - | - | - | - | - | - | - | - | - | - | - | - | - | - | - | - | - | | | | | | | | | |

| | 1 | 2 | 3 | 4 | 5 | 6 | 7 | 8 | 9 | 10 | 11 | 12 | 13 | 14 | 15 | 16 | 17 | 18 | 19 | 20 |
|------------|----|-----|---|------|-----|-----|---|-----|-----|----|-----|-----|----|-----|-----|----|----|------|----|----|
| θ_c | 7 | — | — | — | — | 7 | 3 | 153 | 8 | 4 | 131 | 9 | 5 | 110 | 12 | 8 | 86 | 18 | 14 | 62 |
| -5 | 8 | — | — | — | — | — | — | — | 9 | 3 | 131 | 10 | 4 | 111 | 13 | 7 | 86 | 19 | 13 | 52 |
| 9 | — | — | — | — | — | — | — | — | 11 | 3 | 113 | 12 | 4 | 101 | 14 | 6 | 87 | 20 | 12 | 62 |
| 10 | — | — | — | — | — | — | — | — | 12 | 1 | 131 | 13 | 3 | 106 | 15 | 5 | 88 | — | — | — |
| 11 | — | — | — | — | — | — | — | — | — | — | — | 14 | 1 | 108 | 16 | 5 | 77 | 17 | 5 | 77 |
| 12 | — | — | — | — | — | — | — | — | — | — | — | 15 | 1 | 95 | 17 | 5 | 77 | — | — | — |
| 13 | — | — | — | — | — | — | — | — | — | — | — | — | — | — | — | — | — | — | — | — |
| 14 | — | — | — | — | — | — | — | — | — | — | — | — | — | — | — | — | — | — | — | — |
| | 1 | 1,5 | 6 | 2,5 | 3,5 | 2,5 | 9 | 160 | 3,5 | 10 | 129 | 4,5 | 12 | 100 | 6,5 | 14 | 85 | 12,5 | 20 | 64 |
| | 2 | 2,5 | 3 | 2,56 | — | 4,5 | 5 | 151 | 4,5 | 8 | 129 | 5,5 | 10 | 112 | 8,5 | 13 | 86 | 13,5 | 18 | 64 |
| | 3 | — | — | — | — | — | — | — | 5,5 | 8 | 129 | 6,5 | 7 | 113 | 9,5 | 11 | 87 | 14,5 | 17 | 64 |
| | 4 | — | — | — | — | — | — | — | 7 | 4 | 119 | 8 | 7 | 105 | 11 | 10 | 84 | 15,5 | 16 | 64 |
| | 5 | — | — | — | — | — | — | — | 8 | 3 | 130 | 9 | 5 | 109 | 12 | 9 | 84 | 17 | 14 | 62 |
| -10 | 6 | — | — | — | — | — | — | — | 10 | 2 | 122 | 11 | 4 | 103 | 13 | 7 | 86 | 18 | 13 | 63 |
| | 7 | — | — | — | — | — | — | — | 12 | 2 | 115 | 13 | 3 | 97 | 14 | 4 | 88 | 20 | 13 | 63 |
| | 8 | — | — | — | — | — | — | — | 14 | 1 | 114 | 15 | 3 | 93 | 16 | 5 | 84 | — | — | — |
| | 9 | — | — | — | — | — | — | — | 16 | 1 | 105 | 17 | 3 | 88 | 17 | 3 | 85 | — | — | — |
| | 10 | — | — | — | — | — | — | — | 18 | 1 | 98 | 19 | 4 | — | — | — | — | — | — | — |
| | 11 | — | — | — | — | — | — | — | — | — | — | — | — | — | — | — | — | — | — | — |

ANEXA C_{4,6}

Regim termic CC_k.
Element de construcție K_b = 0,05.
Beton B 250-L_a-Pa 53-31; M_k = 1310 h°C.

| $\overline{\theta}_{ae}$ $^{\circ}\text{C}$ | M_s R_s | $>7z = 160 \text{ h}$ | | | $7z = 160 \text{ h}$ | | | $6z = 136 \text{ h}$ | | | $5z = 112 \text{ h}$ | | | $4z = 88 \text{ h}$ | | | $3z = 64 \text{ h}$ | | |
|------------------------------------------------|----------------|-----------------------|------------|-------|----------------------|------------|-------|----------------------|------------|-------|----------------------|------------|-------|---------------------|------------|-------|---------------------|------------|-------|
| | | θ_b | θ_c | t_c | θ_b | θ_c | t_c | θ_b | θ_c | t_c | θ_b | θ_c | t_c | θ_b | θ_c | t_c | θ_b | θ_c | t_c |
| 1 | 2 | 3 | 4 | 5 | 6 | 7 | 8 | 9 | 10 | 11 | 12 | 13 | 14 | 15 | 16 | 17 | 18 | 19 | 20 |
| 1 | — | — | — | — | 1,5 | 10 | 149 | 2,5 | 11 | 118 | 3,5 | 12 | 101 | 5,5 | 14 | 82 | 9,5 | 18 | 6,5 |
| 2 | — | — | — | 1,5 | 9 | 155 | 2,5 | 10 | 123 | 3,5 | 11 | 104 | 5,5 | 13 | 85 | 10,5 | 17 | 6,2 | |
| 3 | 1,4 | 8 | 163 | 2,5 | 9 | 128 | 2,5 | 9 | 128 | 3,5 | 10 | 112 | 5,5 | 12 | 87 | 10,5 | 16 | 6,3 | |
| 4 | 1,5 | 7 | 172 | 2,5 | 8 | 134 | 2,5 | 8 | 134 | 3,5 | 9 | 112 | 6,5 | 12 | 83 | 11,5 | 16 | 6,1 | |
| 5 | 1,5 | 7 | 180 | 2,5 | 8 | 141 | 3,5 | 8 | 118 | 4,5 | 9 | 103 | 6,5 | 11 | 86 | 11,5 | 15 | 6,3 | |
| 6 | 1,5 | 6 | 172 | 2,5 | 7 | 148 | 3,5 | 8 | 122 | 4,5 | 8 | 106 | 6,5 | 10 | 88 | 12,5 | 15 | 6,2 | |
| 7 | 1,5 | 5 | 209 | 2,5 | 6 | 160 | 3,5 | 7 | 131 | 5,5 | 8 | 102 | 7,5 | 9 | 88 | 13,5 | 15 | 6,2 | |
| 8 | 1,5 | 5 | 226 | 3,5 | 6 | 140 | 4,5 | 7 | 118 | 5,5 | 8 | 106 | 7,5 | 9 | 88 | 13,5 | 14 | 6,2 | |
| 9 | 1,5 | 4 | 246 | 3,5 | 5 | 150 | 4,5 | 6 | 124 | 5,5 | 7 | 109 | 8,5 | 9 | 85 | 14 | 13 | 6,3 | |
| 10 | 1,5 | 3 | 272 | 3,5 | 5 | 160 | 4,5 | 5 | 131 | 6,5 | 7 | 102 | 9 | 8 | 85 | 15 | 12 | 6,2 | |
| 11 | 1,5 | 3 | 300 | 3,5 | 4 | 160 | 4,5 | 5 | 134 | 7 | 6 | 102 | 9 | 7 | 88 | 15 | 11 | 6,4 | |
| 12 | 1,5 | 2 | 333 | 4 | 3 | 160 | 4,5 | 4 | 134 | 7 | 5 | 107 | 10 | 7 | 86 | 16 | 11 | 6,3 | |
| 13 | 2 | 1 | 333 | 5 | 2 | 151 | 6 | 3 | 129 | 8 | 4 | 104 | 11 | 6 | 84 | 17 | 10 | 6,2 | |
| 14 | 4 | 1 | 242 | 6 | 2 | 156 | 7 | 2 | 134 | 9 | 3 | 107 | 12 | 5 | 86 | 18 | 9 | 9,3 | |
| 15 | — | — | — | — | — | — | — | — | — | — | 17 | 1 | 101 | — | — | — | — | — | — |
| 0 | 1 | 1,5 | 9 | 167 | 2,5 | 10 | 126 | 2,5 | 10 | 126 | 3,5 | 11 | 106 | 5,5 | 13 | 85 | 10,5 | 18 | 6,1 |
| 2 | 1,5 | 6 | 221 | 2,5 | 8 | 144 | 3,5 | 10 | 115 | 4,5 | 11 | 99 | 6,5 | 13 | 82 | 10,8 | 17 | 6,3 | |
| 3 | 2 | 1 | 339 | 3,5 | 8 | 131 | 3,5 | 8 | 131 | 4,5 | 9 | 107 | 6,5 | 11 | 86 | 11,5 | 16 | 6,3 | |
| 4 | 3 | 2 | 221 | 4,5 | 7 | 118 | 4,5 | 7 | 118 | 5,5 | 8 | 102 | 7,5 | 11 | 84 | 12,5 | 16 | 6,2 | |
| —5 | 5 | 4 | 3 | 168 | 5,5 | 7 | 114 | 5,5 | 7 | 114 | 6,5 | 7 | 98 | 8,5 | 10 | 82 | 13,5 | 15 | 6,1 |
| —5 | 6 | — | — | 5 | 3 | 139 | 6 | 5 | 113 | 6,5 | 7 | 100 | 9 | 8 | 84 | 14 | 13 | 6,2 | |

| 1 | 2 | 3 | 4 | 5 | 6 | 7 | 8 | 9 | 10 | 11 | 12 | 13 | 14 | 15 | 16 | 17 | 18 | 19 | 20 | |
|----|-----|---|-----|-----|---|-----|-----|----|-----|-----|----|-----|-----|-----|----|------|----|----|----|----|
| 7 | - | - | - | - | - | - | - | 6 | 2 | 133 | 7 | 4 | 110 | 10 | 8 | 82 | 14 | 12 | 63 | |
| 8 | - | - | - | - | - | - | - | 7 | 1 | 136 | 8 | 4 | 108 | 11 | 6 | 81 | 15 | 11 | 63 | |
| 9 | - | - | - | - | - | - | - | 8 | 1 | 132 | 9 | 3 | 112 | 11 | 5 | 87 | 16 | 10 | 63 | |
| 10 | - | - | - | - | - | - | - | 10 | 1 | 126 | 11 | 2 | 97 | 12 | 5 | 88 | 17 | 9 | 61 | |
| 11 | - | - | - | - | - | - | - | 11 | 1 | 122 | 12 | 2 | 111 | 13 | 5 | 86 | 18 | 8 | 58 | |
| 12 | - | - | - | - | - | - | - | - | - | 13 | 1 | 112 | 14 | 4 | 84 | 19 | 8 | 61 | - | |
| 13 | - | - | - | - | - | - | - | - | - | - | - | - | 16 | 1 | 88 | - | - | - | - | |
| 14 | - | - | - | - | - | - | - | - | - | - | - | - | - | - | - | - | - | - | - | |
| 15 | - | - | - | - | - | - | - | - | - | - | - | - | - | - | - | - | - | - | - | |
| 16 | - | - | - | - | - | - | - | - | - | - | - | - | - | - | - | - | - | - | - | |
| 1 | 1,5 | 7 | 203 | 2,5 | 9 | 140 | 3,5 | 10 | 105 | 3,5 | 10 | 105 | 5,5 | 13 | 87 | 10,5 | 18 | 62 | - | |
| 2 | 2,5 | 5 | 202 | 3,5 | 8 | 133 | 3,5 | 8 | 133 | 4,5 | 9 | 109 | 6,5 | 12 | 88 | 11,5 | 17 | 62 | - | |
| 3 | 4 | 3 | 167 | 4,5 | 6 | 129 | 4,5 | 6 | 129 | 5,5 | 7 | 113 | 8,5 | 12 | 88 | 12,5 | 16 | 62 | - | |
| 4 | - | - | - | 5,0 | 2 | 145 | 6 | 5 | 113 | 7 | 6 | 102 | 9,5 | 10 | 85 | 13,5 | 15 | 61 | - | |
| 5 | - | - | - | - | - | - | - | 7 | 3 | 114 | 8 | 5 | 97 | 11 | 9 | 77 | 14 | 13 | 62 | |
| 6 | - | - | - | - | - | - | - | - | - | - | - | 9 | 4 | 101 | 11 | 7 | 87 | 15 | 11 | 62 |
| 7 | - | - | - | - | - | - | - | - | - | - | - | 10 | 2 | 112 | 12 | 6 | 82 | 16 | 11 | 63 |
| 8 | - | - | - | - | - | - | - | - | - | - | - | 12 | 2 | 100 | 13 | 5 | 80 | 17 | 10 | 62 |
| 9 | - | - | - | - | - | - | - | - | - | - | - | 14 | 2 | 90 | 15 | 4 | 88 | 18 | 9 | 62 |
| 10 | - | - | - | - | - | - | - | - | - | - | - | - | - | - | - | - | - | - | - | |
| 11 | - | - | - | - | - | - | - | - | - | - | - | - | - | - | - | - | - | - | - | |
| 12 | - | - | - | - | - | - | - | - | - | - | - | - | - | - | - | - | - | - | - | |
| 13 | - | - | - | - | - | - | - | - | - | - | - | - | - | - | - | - | - | - | - | |
| 14 | - | - | - | - | - | - | - | - | - | - | - | - | - | - | - | - | - | - | - | |

ANEXA C_{4,7}Regim termic CC_K.Elemente de constructie K_b = 0,05Beton B 250-L₃-P 40-31.

| $\overline{\theta}_{ac}^*$ °C | M_s | > 7 z = 160 h | | | | 7 z = 160 h | | | | 6 z = 160 h | | | | 5 z = 136 h | | | | 5 z = 112 h | | | | 4 z = 88 h | | | | 3 z = 64 h | | | | | | | | | | | | | | | | | | | | | | | | | | | | | |
|----------------------------------|-------|---------------|------------|------------|-------|-------------|------------|-------|------------|-------------|-------|------------|------------|-------------|------------|------------|-------|-------------|------------|-------|------------|------------|-------|------------|------------|------------|---|---|---|----|----|----|----|----|----|----|----|----|----|----|---|---|---|---|---|---|---|---|---|---|---|---|---|---|---|
| | | R_s | θ_b | θ_e | t_c | θ_b | θ_e | t_c | θ_b | θ_e | t_c | θ_b | θ_e | t_c | θ_b | θ_e | t_c | θ_b | θ_e | t_c | θ_b | θ_e | t_c | θ_b | θ_e | t_c | | | | | | | | | | | | | | | | | | | | | | | | | | | | | |
| 0 | 1 | 2 | 3 | 4 | 5 | 6 | 7 | 8 | 9 | 10 | 11 | 12 | 13 | 14 | 15 | 16 | 17 | 18 | 19 | 20 | 1 | 2 | 3 | 4 | 5 | 6 | 7 | 8 | 9 | 10 | 11 | 12 | 13 | 14 | 15 | 16 | 17 | 18 | 19 | 20 | | | | | | | | | | | | | | | |
| | 1 | - | - | - | - | - | - | - | - | - | - | - | - | - | - | - | - | - | - | - | - | - | - | - | - | - | - | - | - | - | - | - | - | - | - | - | - | - | | | | | | | | | | | | | | | | | |
| | 2 | - | - | - | - | - | - | - | - | - | - | - | - | - | - | - | - | - | - | - | - | - | - | - | - | - | - | - | - | - | - | - | - | - | - | - | - | - | | | | | | | | | | | | | | | | | |
| | 3 | - | - | - | - | - | - | - | - | - | - | - | - | - | - | - | - | - | - | - | - | - | - | - | - | - | - | - | - | - | - | - | - | - | - | - | - | - | | | | | | | | | | | | | | | | | |
| | 4 | - | - | - | - | - | - | - | - | - | - | - | - | - | - | - | - | - | - | - | - | - | - | - | - | - | - | - | - | - | - | - | - | - | - | - | - | - | | | | | | | | | | | | | | | | | |
| | 5 | 1,5 | 7 | 174 | 2,5 | 8 | 160 | 2,5 | 9 | 131 | 3,5 | 10 | 111 | 6,5 | 12 | 86 | 10,5 | 18 | 61 | - | - | - | - | - | - | - | - | - | - | - | - | - | - | - | - | - | - | - | - | - | - | - | - | - | - | - | | | | | | | | | |
| | 6 | 1,5 | 7 | 185 | 2,5 | 7 | 143 | 3,5 | 8 | 119 | 4,5 | 9 | 105 | 6,5 | 10 | 88 | 12,5 | 16 | 61 | - | - | - | - | - | - | - | - | - | - | - | - | - | - | - | - | - | - | - | - | - | - | - | - | - | - | - | | | | | | | | | |
| | 7 | 1,5 | 6 | 197 | 2,5 | 7 | 151 | 3,5 | 7 | 125 | 4,5 | 8 | 108 | 7,5 | 10 | 84 | 12,5 | 14 | 63 | - | - | - | - | - | - | - | - | - | - | - | - | - | - | - | - | - | - | - | - | - | - | - | - | - | - | - | | | | | | | | | |
| | 8 | 1,5 | 5 | 212 | 2,5 | 6 | 160 | 3,5 | 7 | 121 | 4,5 | 7 | 112 | 7,5 | 10 | 86 | 13,5 | 14 | 62 | - | - | - | - | - | - | - | - | - | - | - | - | - | - | - | - | - | - | - | - | - | - | - | - | - | - | - | | | | | | | | | |
| | 9 | 1,5 | 5 | 231 | 3,5 | 6 | 138 | 4,5 | 7 | 117 | 5,5 | 7 | 105 | 8,5 | 9 | 84 | 14 | 13 | 62 | - | - | - | - | - | - | - | - | - | - | - | - | - | - | - | - | - | - | - | - | - | - | - | - | - | - | - | - | | | | | | | | |
| | 10 | 1,5 | 4 | 248 | 3,5 | 5 | 146 | 4,5 | 6 | 122 | 5,5 | 7 | 108 | 9 | 8 | 83 | 15 | 13 | 60 | - | - | - | - | - | - | - | - | - | - | - | - | - | - | - | - | - | - | - | - | - | - | - | - | - | - | - | - | | | | | | | | |
| | 11 | 1,5 | 3 | 274 | 3,5 | 5 | 160 | 4,5 | 5 | 129 | 6 | 5 | 110 | 10 | 8 | 80 | 15 | 11 | 62 | - | - | - | - | - | - | - | - | - | - | - | - | - | - | - | - | - | - | - | - | - | - | - | - | - | - | - | - | - | | | | | | | |
| | 12 | 1,5 | 3 | 305 | 3,5 | 4 | 160 | 5 | 4 | 129 | 6 | 5 | 110 | 10 | 7 | 81 | 16 | 11 | 60 | - | - | - | - | - | - | - | - | - | - | - | - | - | - | - | - | - | - | - | - | - | - | - | - | - | - | - | - | - | | | | | | | |
| | 13 | 2 | 1 | 336 | 5 | 3 | 144 | 6 | 4 | 122 | 7 | 4 | 111 | 11 | 6 | 83 | 17 | 10 | 62 | - | - | - | - | - | - | - | - | - | - | - | - | - | - | - | - | - | - | - | - | - | - | - | - | - | - | - | - | - | | | | | | | |
| | 14 | 2 | 1 | 289 | 6 | 2 | 147 | 7 | 4 | 127 | 8 | 4 | 104 | 12 | 5 | 84 | 18 | 8 | 63 | - | - | - | - | - | - | - | - | - | - | - | - | - | - | - | - | - | - | - | - | - | - | - | - | - | - | - | - | - | | | | | | | |
| | 15 | 3 | 1 | 247 | 7 | 1 | 142 | 16 | 1 | 113 | 17 | 2 | 101 | 19 | 3 | 88 | - | - | - | - | - | - | - | - | - | - | - | - | - | - | - | - | - | - | - | - | - | - | - | - | - | - | - | - | - | - | - | - | - | | | | | | |
| | 16 | 3 | 1 | 285 | 6 | 2 | 147 | 7 | 4 | 127 | 8 | 4 | 104 | 12 | 5 | 84 | 18 | 8 | 63 | - | - | - | - | - | - | - | - | - | - | - | - | - | - | - | - | - | - | - | - | - | - | - | - | - | - | - | - | - | | | | | | | |
| | 17 | - | - | - | - | - | - | - | - | - | - | - | - | - | - | - | - | - | - | - | - | - | - | - | - | - | - | - | - | - | - | - | - | - | - | - | - | - | - | - | - | - | - | - | - | - | - | - | - | - | - | - | - | - | - |
| | 18 | - | - | - | - | - | - | - | - | - | - | - | - | - | - | - | - | - | - | - | - | - | - | - | - | - | - | - | - | - | - | - | - | - | - | - | - | - | - | - | - | - | - | - | - | - | - | - | - | - | - | - | - | - | |
| | 19 | - | - | - | - | - | - | - | - | - | - | - | - | - | - | - | - | - | - | - | - | - | - | - | - | - | - | - | - | - | - | - | - | - | - | - | - | - | - | - | - | - | - | - | - | - | - | - | - | - | - | - | - | - | |
| | 20 | - | - | - | - | - | - | - | - | - | - | - | - | - | - | - | - | - | - | - | - | - | - | - | - | - | - | - | - | - | - | - | - | - | - | - | - | - | - | - | - | - | - | - | - | - | - | - | - | - | - | - | - | - | |

| 1 | 2 | 3 | 4 | 5 | 6 | 7 | 8 | 9 | 10 | 11 | 12 | 13 | 14 | 15 | 16 | 17 | 18 | 19 | 20 |
|-----|----|-----|---|-----|-----|----|-----|-----|----|-----|-----|-----|-----|-----|----|----|------|----|----|
| -5 | 7 | - | - | - | - | - | - | 6 | 4 | 121 | 7 | 5 | 105 | 9 | 7 | 86 | 14 | 12 | 63 |
| 8 | - | - | - | - | - | - | - | 7 | 3 | 121 | 8 | 4 | 105 | 10 | 7 | 85 | 15 | 12 | 61 |
| 9 | - | - | - | - | - | - | - | 8 | 2 | 125 | 9 | 4 | 102 | 11 | 6 | 84 | 16 | 11 | 61 |
| 10 | - | - | - | - | - | - | - | - | - | 10 | 3 | 102 | 12 | 5 | 84 | 17 | 10 | 61 | 61 |
| 11 | - | - | - | - | - | - | - | - | - | 11 | 2 | 107 | 13 | 5 | 84 | 18 | 10 | 61 | 61 |
| 12 | - | - | - | - | - | - | - | - | - | 13 | 2 | 97 | 14 | 4 | 85 | 19 | 9 | 61 | 61 |
| 14 | - | - | - | - | - | - | - | - | - | 15 | 2 | 94 | 16 | 3 | 83 | - | - | - | - |
| 16 | - | - | - | - | - | - | - | - | - | - | - | - | - | - | - | - | - | - | - |
| | 1 | 1,5 | 9 | 191 | 2,5 | 10 | 134 | 2,5 | 10 | 134 | 3,5 | 11 | 109 | 5,5 | 14 | 87 | 10,5 | 20 | 62 |
| | 2 | 2,5 | 6 | 182 | 3,5 | 8 | 128 | 3,5 | 8 | 128 | 4,5 | 10 | 106 | 6,5 | 12 | 86 | 11,5 | 18 | 62 |
| | 3 | 3,5 | 4 | 169 | 4,5 | 7 | 123 | 4,5 | 7 | 123 | 5,5 | 9 | 104 | 7,5 | 11 | 85 | 12,5 | 17 | 62 |
| | 4 | - | - | - | - | - | - | 5,5 | 6 | 115 | 6,5 | 7 | 103 | 8,5 | 10 | 85 | 13,5 | 16 | 61 |
| | 5 | - | - | - | - | - | - | 7,0 | 5 | 108 | 7 | 5 | 108 | 9 | 8 | 86 | 14 | 13 | 63 |
| -10 | 6 | - | - | - | - | - | - | - | 2 | 116 | 9 | 5 | 97 | 10 | 6 | 87 | 15 | 12 | 62 |
| | 7 | - | - | - | - | - | - | - | - | - | 10 | 3 | 103 | 12 | 6 | 81 | 16 | 11 | 62 |
| | 8 | - | - | - | - | - | - | - | - | - | 12 | 3 | 94 | 13 | 5 | 83 | 17 | 10 | 62 |
| | 9 | - | - | - | - | - | - | - | - | - | - | - | - | 14 | 3 | 87 | 18 | 9 | 63 |
| | 10 | - | - | - | - | - | - | - | - | - | - | - | - | 16 | 3 | 81 | 19 | 8 | 59 |
| | 11 | - | - | - | - | - | - | - | - | - | - | - | - | 17 | 2 | 84 | 20 | 7 | 64 |
| | 12 | - | - | - | - | - | - | - | - | - | - | - | - | 19 | 2 | 76 | - | - | - |
| | 14 | - | - | - | - | - | - | - | - | - | - | - | - | - | - | - | - | - | - |

ANEXA C_{4,8}

Regim termic CCk.

Element de constructie K_b = 0,05Beton B 300-L₃-P 40-31.

| $\overline{\theta}_{ae}^*$ C | M_s R_s | > 7 z = 160 h | | | | 7 z = 160 h | | | | 6 z = 136 h | | | | 5 z = 112 h | | | | 4 z = 88 h | | | | 3 z = 64 h | | | | | | | | |
|-----------------------------------|----------------|----------------|----------------|----------------|----------------|----------------|----------------|----------------|----------------|----------------|----------------|----------------|----------------|----------------|----------------|----------------|----------------|----------------|----------------|----------------|----------------|----------------|----------------|----------------|---|---|---|---|--|--|
| | | 0 _b | 0 _c | t _c | θ _b | 0 _b | 0 _c | t _c | θ _b | θ _c | | | | | | |
| 1 | 2. | 3 | 4 | 5 | 6 | 7 | 8 | 9 | 10 | 11 | 12 | 13 | 14 | 15 | 16 | 17 | 18 | 19 | 20 | 1 | 2 | 3 | 4 | 5 | 6 | 7 | 8 | | | |
| 0 | 1 | - | - | - | - | - | - | - | 1,5 | 11 | 125 | 2,5 | 12 | 101 | 3,5 | 13 | 87 | 8,5 | 17 | 62 | 1 | 2 | 3 | 4 | 5 | 6 | 7 | 8 | | |
| | 2 | - | - | - | - | - | - | - | 1,5 | 11 | 129 | 2,5 | 11 | 103 | 4,5 | 13 | 80 | 8,5 | 16 | 63 | | | | | | | | | | |
| | 3 | - | - | - | - | - | - | - | 1,5 | 10 | 134 | 2,5 | 11 | 107 | 4,5 | 13 | 82 | 8,5 | 16 | 61 | | | | | | | | | | |
| | 4 | - | - | - | - | - | - | - | 1,5 | 9 | 139 | 2,5 | 10 | 111 | 2,5 | 10 | 111 | 4,5 | 12 | 84 | 8,5 | 15 | 63 | | | | | | | |
| | 5 | - | - | - | - | - | - | - | 1,5 | 8 | 146 | 2,5 | 9 | 115 | 3,5 | 10 | 98 | 4,5 | 11 | 86 | 9,5 | 15 | 61 | | | | | | | |
| | 6 | - | - | - | - | - | - | - | 1,5 | 8 | 153 | 2,5 | 8 | 120 | 3,5 | 9 | 102 | 4,5 | 10 | 88 | 9,5 | 14 | 62 | | | | | | | |
| | 7 | - | - | - | - | - | - | - | 1,5 | 7 | 160 | 2,5 | 8 | 125 | 3,5 | 9 | 105 | 5,5 | 10 | 83 | 9,5 | 13 | 64 | | | | | | | |
| | 8 | 1,5 | 6 | 170 | 2,5 | 7 | 131 | 2,5 | 7 | 131 | 3,5 | 8 | 109 | 5,5 | 9 | 98 | 5,5 | 9 | 86 | 10,5 | 13 | 62 | | | | | | | | |
| | 9 | 1,5 | 6 | 179 | 2,5 | 6 | 137 | 3,5 | 7 | 113 | 4,5 | 8 | 101 | 6,5 | 9 | 84 | 6,5 | 9 | 84 | 11,5 | 12 | 64 | | | | | | | | |
| | 10 | 1,5 | 5 | 192 | 2,5 | 6 | 145 | 3,5 | 7 | 118 | 4,5 | 7 | 106 | 6,5 | 8 | 86 | 6,5 | 8 | 86 | 12 | 11 | 62 | | | | | | | | |
| | 11 | 1,5 | 4 | 207 | 2,5 | 5 | 155 | 3,5 | 6 | 124 | 4,5 | 7 | 110 | 7,5 | 8 | 81 | 7,5 | 8 | 81 | 13 | 11 | 60 | | | | | | | | |
| | 12 | 1,5 | 4 | 223 | 2,5 | 3 | 160 | 3,5 | 5 | 132 | 4,5 | 5 | 117 | 6 | 4 | 107 | 9 | 5 | 83 | 15 | 9 | 60 | | | | | | | | |
| | 14 | 1,5 | 3 | 264 | 3,5 | 4 | 145 | 4,5 | 5 | 125 | 6 | 4 | 101 | 7 | 3 | 95 | 5,5 | 10 | 85 | 9,5 | 14 | 63 | | | | | | | | |
| | 16 | 1,5 | 2 | 300 | 4 | 3 | 148 | 5 | 3 | 127 | 6 | 2 | 101 | 7 | 2 | 97 | 6,5 | 7 | 87 | 10,5 | 13 | 64 | | | | | | | | |
| | 25 | - | - | - | - | - | - | - | 10 | 1 | 145 | 11 | 1 | 127 | 13 | 2 | 101 | 15 | 3 | 85 | - | - | - | - | - | - | - | - | | |
| | 1 | - | - | - | - | - | - | - | - | - | 1,5 | 10 | 136 | 2,5 | 12 | 106 | 4,5 | 14 | 80 | 7,5 | 17 | 63 | | | | | | | | |
| | 2 | 1,5 | 8 | 163 | 2,5 | 10 | 117 | 2,5 | 10 | 117 | 3,5 | 11 | 96 | 4,5 | 12 | 74 | 8,5 | 16 | 62 | | | | | | | | | | | |
| | 3 | 1,5 | 5 | 227 | 2,5 | 8 | 131 | 2,5 | 8 | 131 | 3,5 | 10 | 104 | 5,5 | 12 | 80 | 8,5 | 15 | 64 | | | | | | | | | | | |
| | 4 | 2 | 1 | 306 | 3,5 | 8 | 114 | 3,5 | 8 | 114 | 4,5 | 9 | 95 | 5,5 | 10 | 85 | 9,5 | 14 | 63 | | | | | | | | | | | |
| | 5 | 2 | 3 | 199 | 3,5 | 6 | 124 | 3,5 | 6 | 124 | 4,5 | 8 | 104 | 6,5 | 10 | 81 | 10,5 | 14 | 61 | | | | | | | | | | | |
| | 6 | - | - | - | - | - | - | - | 4 | 3 | 149 | 4,5 | 6 | 116 | 5,5 | 7 | 97 | 6,5 | 8 | 87 | 10,5 | 13 | 64 | | | | | | | |

| 1 | 2 | 3 | 4 | 5 | 6 | 7 | 8 | 9 | 10 | 11 | 12 | 13 | 14 | 15 | 16 | 17 | 18 | 19 | 20 |
|----|---|-----|---|------|-----|---|-----|-----|----|-----|-----|----|-----|-----|----|----|------|----|----|
| -5 | 7 | - | - | - | - | - | - | 5 | 4 | 118 | 5 | 6 | 101 | 6,5 | 7 | 81 | 11,5 | 12 | 62 |
| 8 | - | - | - | - | - | - | - | - | - | - | 6 | 4 | 106 | 7 | 5 | 81 | 12 | 11 | 63 |
| 9 | - | - | - | - | - | - | - | - | - | - | 7 | 4 | 102 | 8 | 6 | 80 | 13 | 10 | 61 |
| 10 | - | - | - | - | - | - | - | - | - | - | 8 | 3 | 100 | 9 | 5 | 87 | 14 | 10 | 60 |
| 11 | - | - | - | - | - | - | - | - | - | - | 9 | 2 | 99 | 10 | 4 | 85 | 14 | 8 | 63 |
| 12 | - | - | - | - | - | - | - | - | - | - | 10 | 1 | 101 | 11 | 4 | 85 | 15 | 8 | 63 |
| 14 | - | - | - | - | - | - | - | - | - | - | - | - | - | - | - | - | - | - | - |
| 16 | - | - | - | - | - | - | - | - | - | - | - | - | - | - | - | - | - | - | - |
| 25 | - | - | - | - | - | - | - | - | - | - | - | - | - | - | - | - | - | - | - |
| 1 | 1 | - | - | - | - | - | - | - | - | - | - | - | - | - | - | - | - | - | - |
| 2 | 2 | 1,5 | 2 | 3,13 | 2,5 | 9 | 155 | 2,5 | 11 | 113 | 3,5 | 11 | 110 | 4,5 | 13 | 82 | 8,5 | 17 | 61 |
| 3 | 3 | 2,5 | 3 | 203 | 3,5 | 8 | 139 | 3,5 | 10 | 105 | 3,5 | 10 | 105 | 5,5 | 12 | 80 | 8,5 | 16 | 64 |
| 4 | - | - | - | - | - | - | - | - | - | - | - | - | - | - | - | - | - | - | - |
| 5 | - | - | - | - | - | - | - | - | - | - | - | - | - | - | - | - | - | - | - |
| 6 | - | - | - | - | - | - | - | - | - | - | - | - | - | - | - | - | - | - | - |
| 7 | - | - | - | - | - | - | - | - | - | - | - | - | - | - | - | - | - | - | - |
| 8 | - | - | - | - | - | - | - | - | - | - | - | - | - | - | - | - | - | - | - |
| 9 | - | - | - | - | - | - | - | - | - | - | - | - | - | - | - | - | - | - | - |
| 10 | - | - | - | - | - | - | - | - | - | - | - | - | - | - | - | - | - | - | - |
| 11 | - | - | - | - | - | - | - | - | - | - | - | - | - | - | - | - | - | - | - |
| 12 | - | - | - | - | - | - | - | - | - | - | - | - | - | - | - | - | - | - | - |
| 14 | - | - | - | - | - | - | - | - | - | - | - | - | - | - | - | - | - | - | - |

ANEXA C_{5,1}REGIM TERMIC TC_k

$$t_k = 160 \text{ h} = 6 \text{ zile}; \frac{M_s}{R_s} \geqslant \lim_{K_b \rightarrow 0,05} \frac{M_s}{R_s} (\text{CC}_k)$$

$$K_b = 0,05; K_s = 1,075$$

| B 200-L ₃ -Pa 35-31; M _k = 1488 | | | | | | | | B 250-L ₃ -Pa 53-31; M _k = 1310 | | | | | | | |
|-------------------------------------------------------|----------------------|----------------------|----------------------|---------------------|---------------------|----------------------------|------------------------------|-------------------------------------------------------|----------------------|----------------------|---------------------|---------------------|----------------------------|------------------------------|-----|
| M _s R _s | θ _b °C | θ _b °C | θ _e °C | t _t h | t _e h | P _{st} W mc | Q _{xs} KWh mc | θ _b °C | θ _t °C | θ _e °C | t _t h | t _e h | P _{st} W mc | Q _{xs} KWh mc | |
| 1 | 2 | 3 | 4 | 5 | 6 | 7 | 8 | 9 | 10 | 11 | 12 | 13 | 14 | 15 | |
| 12 | 5 | 5 | 3,2 | 16,8 | 143,2 | 1,3 | 0,2 | - | - | 2,6 | 3,6 | 9,4 | 150,6 | 3 | 0 |
| 14 | 5 | 5 | 2,7 | 52,0 | 108,0 | 24 | 1,2 | 4 | 4 | 2,8 | 2,5 | 57,1 | 102,9 | 12 | 0,7 |
| 16 | 5 | 5 | 2,3 | 67,8 | 92,2 | 34 | 2,3 | 8,0 | 4 | 2,5 | 8,1,2 | 78,8 | 20 | 1,7 | |
| 25 | 5 | 5 | 1,4 | 96,1 | 63,9 | 83 | 1,7 | 1,7 | 1,7 | 1,7 | 1,7 | 110,8 | 49,2 | 59 | 6,6 |

Nivel de asigurare $\bar{\theta}_{ae} = 0^\circ\text{C}$

| | | | | | | | | | | | | |
|----|-----|-------|-------|-----|------|---|-----|-------|-------|-------|------|------|
| 5 | 2,3 | 38,0 | 122,0 | 13 | 0,5 | - | 2,6 | 34,6 | 125,4 | 0 | 0 | |
| 6 | 1,9 | 74,4 | 88,6 | 24 | 1,7 | - | 2,1 | 75,6 | 84,4 | 10 | 0,7 | |
| 7 | 1,4 | 85,1 | 74,9 | 34 | 2,9 | - | 1,8 | 94,8 | 65,2 | 19 | 1,8 | |
| 8 | 1,0 | 92,9 | 67,1 | 45 | 4,2 | - | 1,6 | 111,4 | 107,4 | 52,6 | 3,1 | |
| 9 | 1,0 | 99,8 | 56,4 | 56 | 5,6 | - | 1,3 | 117,3 | 117,3 | 48,6 | 4,3 | |
| 10 | 1,0 | 104,8 | 48,6 | 67 | 7,0 | - | 1,0 | 121,0 | 121,0 | 42,7 | 4,8 | |
| 11 | 1,0 | 108,6 | 42,6 | 77 | 8,4 | - | 1,0 | 123,8 | 123,8 | 35,0 | 7,0 | |
| 12 | 1,0 | 113,9 | 34,4 | 99 | 11,3 | - | 1,0 | 128,2 | 128,2 | 28,0 | 9,5 | |
| 14 | 1,0 | 117,3 | 28,8 | 120 | 14,1 | - | 1,0 | 131,3 | 131,3 | 23,4 | 11,2 | |
| 16 | 1,0 | 124,9 | 16,6 | 217 | 28,1 | - | 1,0 | 137,8 | 137,8 | 10,6 | 14,0 | |
| 25 | 1,0 | - | - | - | - | - | - | 1,0 | 137,8 | 137,8 | 19,4 | 26,7 |

| 1 | 2 | 3 | 4 | 5 | 6 | 7 | 8 | 9 | 10 | 11 | 12 | 13 | 14 | 15 |
|------------------------------------------------------------|---|-----|-------|-------|-----|------|---|---|-----|-------|------|-----|------|----|
| Nivel de asigurare $\bar{\theta}_{ae} = -10^\circ\text{C}$ | | | | | | | | | | | | | | |
| $M_s = 1324 \text{ h}^\circ\text{C}$ | | | | | | | | | | | | | | |
| 4 | | 2,4 | 58,0 | 102,0 | 13 | 0,7 | | | 2,6 | 93,5 | 66,3 | 12 | 1,1 | |
| 5 | | 1,5 | 86,7 | 73,3 | 29 | 2,5 | | | 1,9 | 111,1 | 48,9 | 27 | 3,0 | |
| 6 | | 1,0 | 91,5 | 59,0 | 45 | 4,1 | | | 1,5 | 121,0 | 39,0 | 42 | 5,1 | |
| 7 | | 1,0 | 108,7 | 46,2 | 61 | 6,7 | | | 1,2 | 125,6 | 34,4 | 57 | 7,2 | |
| 8 | 5 | 1,0 | 113,4 | 38,1 | 77 | 8,8 | 4 | 4 | 1,0 | 129,4 | 30,0 | 72 | 9,3 | |
| 9 | | 1,0 | 117,0 | 32,5 | 94 | 10,9 | | | 1,0 | 131,9 | 26,0 | 87 | 11,5 | |
| 10 | | 1,0 | 119,9 | 28,1 | 110 | 13,1 | | | 1,0 | 135,3 | 21,0 | 102 | 13,8 | |
| 11 | | 1,0 | 121,9 | 24,9 | 126 | 15,3 | | | 1,0 | 135,3 | 21,0 | 117 | 15,9 | |
| 12 | | 1,0 | 123,5 | 22,3 | 142 | 17,5 | | | 1,0 | 137,2 | 18,0 | 132 | 18,1 | |
| 14 | | 1,0 | 126,0 | 18,5 | 174 | 21,9 | | | 1,0 | 139,7 | 14,4 | 162 | 22,7 | |
| 16 | | 1,0 | 129,5 | 15,8 | 206 | 26,7 | | | 1,0 | 141,1 | 12,4 | 192 | 27,2 | |
| 25 | | 1,0 | 131,5 | 9,5 | 352 | 46,2 | | | 1,0 | 144,2 | 7,5 | 328 | 47,3 | |

ANEXA C₆₃₂REGIM TERMIC TC_k

$$t_k = 160 \text{ h } \approx 7 \text{ zile}; \frac{M_s}{R_s} \geqslant \lim \frac{M_s}{R_s} (CC_k)$$

$$K_b = 0,05; \quad K_e = 1,075$$

| B 250-L _g P 40-31; M _k = 1324 h [°] C | | | | | | | B 300-L _g P 40-31; M _k = 1182 h [°] C | | | | | | | | |
|----------------------------------------------------------------------|------------------|------------------|------------------|------------|------------|---------------------|----------------------------------------------------------------------|------------------|------------------|------------------|------------|------------|---------------------|-----------------------|--|
| $\frac{M_s}{R_s}$ | θ_b °C | θ_t °C | θ_e °C | t_e h | t_t h | P_{st} W mc | Q_{bs} kWh mc | θ_b °C | θ_t °C | θ_e °C | t_e h | t_t h | P_{st} W mc | Q_{bs} kWh mc | |
| 1 | 2 | 3 | 4 | 5 | 6 | 7 | 8 | 9 | 10 | 11 | 12 | 13 | 14 | 15 | |
| Nivel de asigurare $\bar{\theta}_{ae} = 0^\circ\text{C}$ | | | | | | | | | | | | | | | |
| 14 | 4 | 4 | 3,0 | 35,6 | 124,4 | 9 | 0,4 | | | | | | | | |
| 16 | 4 | 4 | 2,7 | 79,5 | 80,5 | 17 | 1,4 | 4 | 4 | 3,0 | 0 | 147,6 | 0 | 0 | |
| 25 | | 1,8 | 112,1 | 47,9 | 56 | 6,3 | | | 1,4 | 79,4 | 80,6 | 46 | 3,9 | | |

| Nivel de asigurare $\bar{\theta}_{ae} = -5^\circ\text{C}$ | | | | | | | | | | | | | | |
|-----------------------------------------------------------|---|---|-----|-------|------|-----|------|---|---|-----|------|------|----|-----|
| 6 | | | 2,9 | 64,1 | 95,9 | 7 | 0,4 | | | | | | | |
| 7 | | | 2,4 | 95,3 | 64,7 | 16 | 1,5 | | | | | | | |
| 8 | | | 1,9 | 105,9 | 54,1 | 26 | 2,7 | | | | | | | |
| 9 | | | 1,7 | 131,7 | 46,3 | 36 | 4,0 | | | | | | | |
| 10 | 4 | 4 | 1,5 | 118,9 | 41,1 | 45 | 5,4 | 4 | 4 | 1,0 | 93,6 | 57,0 | 36 | 3,3 |
| 11 | | | 1,3 | 122,0 | 38,0 | 55 | 6,7 | | | | | | | |
| 12 | | | 1,0 | 124,4 | 35,6 | 65 | 8,0 | | | | | | | |
| 14 | | | 1,0 | 129,2 | 28,8 | 84 | 10,8 | | | | | | | |
| 16 | | | 1,0 | 132,4 | 23,9 | 103 | 13,7 | | | | | | | |
| 25 | | | 1,0 | 139,3 | 13,5 | 190 | 26,5 | | | | | | | |

| Nivel de asigurare $\bar{\theta}_{ae} = -10^\circ\text{C}$ | | | | | | | | | | | | | | |
|------------------------------------------------------------|-----|-------|------|-----|------|---|---|---|----|----|----|----|----|----|
| 1 | 2 | 3 | 4 | 5 | 6 | 7 | 8 | 9 | 10 | 11 | 12 | 13 | 14 | 15 |
| 4 | 2,8 | 89,6 | 70,4 | 9 | 0,8 | | | | | | | | | |
| 5 | 2,2 | 113,3 | 49,7 | 24 | 2,7 | | | | | | | | | |
| 6 | 1,8 | 122,1 | 37,9 | 38 | 4,7 | | | | | | | | | |
| 7 | 1,5 | 127,3 | 32,7 | 54 | 6,8 | | | | | | | | | |
| 8 | 1,2 | 130,9 | 29,1 | 69 | 9,0 | | | | | | | | | |
| 9 | 1,0 | 133,1 | 26,9 | 84 | 11,2 | | | | | | | | | |
| 10 | 1,0 | 135,9 | 22,5 | 99 | 13,4 | | | | | | | | | |
| 11 | 1,0 | 137,7 | 19,8 | 114 | 15,7 | | | | | | | | | |
| 12 | 1,0 | 139,1 | 17,8 | 129 | 17,9 | | | | | | | | | |
| 14 | 1,0 | 141,3 | 14,7 | 159 | 22,5 | | | | | | | | | |
| 16 | 1,0 | 142,7 | 12,5 | 189 | 27,0 | | | | | | | | | |
| 25 | 1,0 | 145,8 | 7,5 | 325 | 47,3 | | | | | | | | | |

ANEXA C₆₋₃

| REGIM TERMIC TC_k | | | | | | | | | | | | | | |
|-----------------------------------------------------------------------------------------------|--------------------------------|--------------------------------|--------------------------------|------------|------------|---------------------|-----------------------|--------------------------------|--------------------------------|--------------------------------|------------|------------|---------------------|-----------------------|
| $t_k = 64 \text{ h} = 3 \text{ zile}; \frac{M_s}{R_s} \gg \lim \frac{M_s}{R_s} (\text{CC}_k)$ | | | | | | | | | | | | | | |
| B 200-L _a -Pa 35-31; $M_k = 1488 \text{ h}^\circ\text{C}$ | | | | | | | | | | | | | | |
| $\frac{M_s}{R_s}$ | θ_b $^\circ\text{C}$ | θ_t $^\circ\text{C}$ | θ_e $^\circ\text{C}$ | t_e h | t_i h | P_{st} W mc | Q_{ss} kwh mc | θ_b $^\circ\text{C}$ | θ_t $^\circ\text{C}$ | θ_e $^\circ\text{C}$ | t_i h | t_e h | P_{st} W mc | Q_{ss} kwh mc |
| 1 | 2 | 3 | 4 | 5 | 6 | 7 | 8 | 9 | 10 | 11 | 12 | 13 | 14 | 15 |
| 9 | 13,7 | 13,8 | 50,2 | 40 | 0,5 | | | | | | | | | |
| 10 | 13,2 | 21,6 | 42,4 | 57 | 1,2 | | | | | | | | | |
| 11 | 13,3 | 32,4 | 31,6 | 74 | 2,4 | | | | | | | | | |
| 12 | 16 | 12,4 | 29,6 | 34,4 | 91 | 2,7 | | 13 | | | | | | |
| 14 | | 11,9 | 34,8 | 29,2 | 126 | 4,4 | | | 10,9 | 41,7 | | | | |
| 16 | | 11,5 | 38,3 | 25,7 | 160 | 6,1 | | | 10,6 | 45,1 | | | | |
| 25 | | 9,8 | 44,4 | 19,6 | 315 | 14,0 | | | 9,6 | 50,8 | | | | |
| Nivel de asigurare $\bar{\theta}_{ae} = 0^\circ\text{C}$ | | | | | | | | | | | | | | |
| 9 | 14,5 | 7,6 | 56,4 | 20 | 0,2 | | | | | | | | | |
| 7 | 13,9 | 25,6 | 38,4 | 43 | 1,1 | | | | | | | | | |
| 8 | 13,2 | 29,6 | 34,4 | 66 | 1,9 | | | | | | | | | |
| 9 | 12,8 | 33,9 | 30,1 | 88 | 3,0 | | | | | | | | | |
| 10 | 16 | 12,3 | 36,2 | 27,8 | 111 | 4,0 | | 13 | | | | | | |
| 11 | | 12,0 | 39,0 | 25,0 | 133 | 5,2 | | | 11,7 | 47,4 | | | | |
| 12 | | 12,1 | 42,5 | 21,5 | 156 | 6,6 | | | 11,3 | 50,4 | | | | |
| 14 | | 11,3 | 43,7 | 20,3 | 201 | 8,8 | | | 11,1 | 51,0 | | | | |
| 16 | | 10,7 | 45,7 | 18,3 | 246 | 11,3 | | | 10,8 | 52,8 | | | | |
| 25 | | 8,9 | 49,7 | 14,3 | 449 | 22,3 | | | 10,7 | 54,4 | | | | |
| Nivel de asigurare $\bar{\theta}_{ae} = -5^\circ\text{C}$ | | | | | | | | | | | | | | |
| 6 | 14,5 | 7,6 | 56,4 | 20 | 0,2 | | | | | | | | | |
| 7 | 13,9 | 25,6 | 38,4 | 43 | 1,1 | | | | | | | | | |
| 8 | 13,2 | 29,6 | 34,4 | 66 | 1,9 | | | | | | | | | |
| 9 | 12,8 | 33,9 | 30,1 | 88 | 3,0 | | | | | | | | | |
| 10 | 16 | 12,3 | 36,2 | 27,8 | 111 | 4,0 | | 13 | | | | | | |
| 11 | | 12,0 | 39,0 | 25,0 | 133 | 5,2 | | | 11,7 | 47,4 | | | | |
| 12 | | 12,1 | 42,5 | 21,5 | 156 | 6,6 | | | 11,3 | 50,4 | | | | |
| 14 | | 11,3 | 43,7 | 20,3 | 201 | 8,8 | | | 11,1 | 51,0 | | | | |
| 16 | | 10,7 | 45,7 | 18,3 | 246 | 11,3 | | | 10,8 | 52,8 | | | | |
| 25 | | 8,9 | 49,7 | 14,3 | 449 | 22,3 | | | 10,7 | 54,4 | | | | |

| | 1 | 2 | 3 | 4 | 5 | 6 | 7 | 8 | 9 | 10 | 11 | 12 | 13 | 14 | 15 |
|------------------------------------------------------------|----|------|------|------|-----|------|----|----|------|------|------|------|----|------|------|
| Nivel de asigurare $\bar{\theta}_{ae} = -10^\circ\text{C}$ | | | | | | | | | | | | | | | |
| 5 | | 14,5 | 18,8 | 45,2 | 25 | 0,5 | | | | 11,6 | 13,0 | 51,0 | | | - |
| 6 | | 13,8 | 32,6 | 31,4 | 53 | 1,7 | | | 10,9 | 23,7 | 40,3 | 68 | | 0,5 | 1,6 |
| 7 | | 13,2 | 37,4 | 26,6 | 81 | 3,0 | | | 10,3 | 30,3 | 33,7 | 94 | | 2,8 | 4,1 |
| 8 | | 12,4 | 38,3 | 25,7 | 109 | 4,2 | | | 9,9 | 34,1 | 29,9 | 119 | | 5,4 | 6,6 |
| 9 | | 12,4 | 42,6 | 21,4 | 137 | 5,8 | | | 9,4 | 37,5 | 26,5 | 145 | | 17,1 | 17,1 |
| 10 | 16 | 16 | 44,9 | 19,1 | 165 | 7,4 | 14 | 14 | 9,0 | 38,7 | 25,3 | 171 | | 23,1 | 23,1 |
| 11 | | 11,7 | 46,9 | 17,1 | 192 | 9,0 | | | 8,8 | 40,9 | 20,5 | 197 | | 8,0 | 10,8 |
| 12 | | 11,7 | 46,9 | 17,1 | 220 | 10,3 | | | 8,1 | 43,5 | 20,5 | 248 | | 19,6 | 300 |
| 13 | | 11,0 | 49,0 | 15,0 | 276 | 13,5 | | | 7,5 | 44,4 | 19,6 | 13,3 | | 31,6 | 532 |
| 14 | | 11,0 | 50,8 | 13,2 | 332 | 16,9 | | | 6,0 | 47,7 | 16,0 | 25,4 | | | |
| 15 | | 10,9 | 54,2 | 9,8 | 584 | 31,6 | | | | | | | | | |
| 16 | | 9,6 | | | | | | | | | | | | | |
| 25 | | | | | | | | | | | | | | | |

ANEXA C_{5,4}REGIM TERMIC T_{C_k}

$$t_k = 64 \text{ h} = 3 \text{ zile}; \frac{M_s}{R_s} \geqslant \lim_{n \rightarrow \infty} \frac{M_s}{R_s} (\text{CC}_k)$$

| B 250-L ₃ P 40-31; $M_k = 1324 \text{ h}^\circ\text{C}$ | | | | | | B 300-L ₃ P 40/31; $M_k = 1182 \text{ h}^\circ\text{C}$ | | | | | | | | | | |
|--------------------------------------------------------------------|--------------------------------|--------------------------------|--------------------------------|------------|--------------------------|--------------------------------------------------------------------|--------------------------------|--------------------------------|--------------------------------|------------|--------------------------|-----------------------------------|------|-----|-----|-----|
| $\frac{M_s}{R_s}$ | θ_b $^\circ\text{C}$ | θ_t $^\circ\text{C}$ | θ_e $^\circ\text{C}$ | t_e h | $\frac{P_{st}}{W}$ mc | $\frac{Q_{ss}}{\text{kwh}}$ mc. | θ_b $^\circ\text{C}$ | θ_t $^\circ\text{C}$ | θ_e $^\circ\text{C}$ | t_e h | $\frac{P_{st}}{W}$ mc | $\frac{Q_{ss}}{\text{kwh}}$ mc | | | | |
| | | | | | | | | | | | | | | | | |
| 1 | 2 | 3 | 4 | 5 | 6 | 7 | 8 | 9 | 10 | 11 | 12 | 13 | 14 | 15 | | |
| 9 | | 12,9 | 38,3 | 25,7 | 4 | 0,2 | | | | | | | | | - | - |
| 10 | | 12,4 | 38,3 | 25,7 | 18 | 0,7 | | | | | | | | | - | - |
| 11 | | 12,0 | 38,3 | 25,7 | 32 | 1,2 | | | | | | | | | - | - |
| 12 | 13 | 11,9 | 47,3 | 16,7 | 46 | 2,2 | | | 11 | 11 | 10,7 | 43,5 | 20,5 | 15 | 0,7 | 0,7 |
| 13 | | 11,4 | 48,0 | 16,0 | 74 | 3,6 | | | | | 10,0 | 42,2 | 21,8 | 39 | 1,6 | 1,6 |
| 14 | | 11,3 | 50,0 | 14,0 | 102 | 5,1 | | | | | 9,8 | 48,2 | 15,8 | 62 | 3,0 | 3,0 |
| 15 | | 11,5 | 54,6 | 9,4 | 228 | 12,4 | | | | | 9,0 | 53,8 | 10,2 | 169 | 9,1 | 9,1 |

| Nivel de asigurare $\bar{\theta}_{ae} = -5^\circ\text{C}$ | | | | | | Nivel de asigurare $\bar{\theta}_{ae} = 0^\circ\text{C}$ | | | | | | | | | | | |
|-----------------------------------------------------------|--------------------------------|--------------------------------|--------------------------------|------------|--------------------------|----------------------------------------------------------|--------------------------------|--------------------------------|--------------------------------|------------|--------------------------|------------------------------------|------|-----|----|----|--|
| $\frac{M_s}{R_s}$ | θ_b $^\circ\text{C}$ | θ_t $^\circ\text{C}$ | θ_e $^\circ\text{C}$ | t_e h | $\frac{P_{st}}{W}$ mc | $\frac{Q_{ss}}{\text{kwh}}$ mc. | θ_b $^\circ\text{C}$ | θ_t $^\circ\text{C}$ | θ_e $^\circ\text{C}$ | t_e h | $\frac{P_{st}}{W}$ mc | $\frac{Q_{ss}}{\text{kwh}}$ mc. | | | | | |
| | | | | | | | | | | | | | | | | | |
| 8 | 9 | 10 | 11 | 12 | 13 | 14 | 15 | 16 | 17 | 18 | 19 | 20 | 21 | 22 | 23 | 24 | |
| 8 | | 11,8 | 6,0 | 58,0 | 42 | 0,3 | | | | | 9,9 | 57,7 | 29 | 0,2 | | | |
| 9 | | 11,1 | 18,3 | 45,7 | 62 | 1,1 | | | | | 9,7 | 23,8 | 40,2 | 56 | | | |
| 10 | | 10,6 | 27,4 | 36,6 | 83 | 2,3 | | | | | 8,6 | 20,2 | 43,8 | 74 | | | |
| 11 | 14 | 10,2 | 31,4 | 32,6 | 103 | 3,2 | | | | | 8,4 | 27,9 | 36,1 | 92 | | | |
| 12 | | 9,8 | 33,7 | 30,3 | 124 | 4,2 | | | | | 8,0 | 35,2 | 28,8 | 120 | | | |
| 13 | | 9,3 | 37,7 | 26,3 | 64 | 6,2 | | | | | 7,4 | 38,6 | 25,4 | 166 | | | |
| 14 | | 8,8 | 40,8 | 23,2 | 205 | 8,4 | | | | | 5,8 | 46,1 | 17,9 | 350 | | | |
| 15 | | 8,0 | 47,0 | 17,0 | 389 | 18,3 | | | | | | | | | | | |

| 1 | 2 | 3 | 4 | 5 | 6 | 7 | 8 | 9 | 10 | 11 | 12 | 13 | 14 | 15 | |
|------------------------------------------------------------|----|------|------|------|------|------|----|----|------|------|------|------|------|----|--|
| Nivel de asigurare $\bar{\theta}_{ae} = -10^\circ\text{C}$ | | | | | | | | | | | | | | | |
| 6 | | 12,1 | 11,2 | 52,8 | 33 | 0,4 | | | 10,0 | 15,0 | 49,0 | 39 | 0,6 | | |
| 7 | | 11,4 | 26,5 | 37,5 | 59 | 1,6 | | | 9,5 | 28,1 | 35,9 | 62 | 1,8 | | |
| 8 | | 10,8 | 32,1 | 31,9 | 85 | 2,7 | | | 8,9 | 33,1 | 30,9 | 86 | 2,8 | | |
| 9 | | 10,4 | 36,5 | 27,5 | 11,1 | 4,0 | | | 8,6 | 36,6 | 27,4 | 11,0 | 4,0 | | |
| 10 | 14 | 10,4 | 41,5 | 22,5 | 13,7 | 5,7 | 12 | 12 | 8,2 | 39,6 | 24,4 | 13,3 | 5,3 | | |
| 11 | | 9,8 | 41,6 | 22,4 | 16,2 | 6,8 | | | 7,9 | 41,6 | 22,4 | 15,7 | 6,5 | | |
| 12 | | 9,5 | 42,6 | 21,4 | 18,8 | 8,0 | | | 7,5 | 45,0 | 19,0 | 20,4 | 9,2 | | |
| 14 | | 8,8 | 45,2 | 18,8 | 24,0 | 10,8 | | | 6,8 | 46,2 | 17,8 | 24,3 | 11,2 | | |
| 16 | | 8,1 | 46,3 | 17,7 | 29,1 | 13,5 | | | 5,2 | 51,0 | 13,0 | 46,4 | 23,7 | | |
| 25 | | 6,8 | 49,6 | 14,4 | 52,4 | 26,0 | | | | | | | | | |

150

| REGIM TERMIC RC | | | | | | | | | | | | | | | | | |
|------------------------------------------------------------|-------------------------------------------------------------------------------|--------------------|--------------------|--------------|--------------|------------------|--------------------|---------------|-------------------------------------------------------------------------------|--------------------|--------------------|--------------|--------------|------------------|--------------------|---------------|------|
| $k_a = 9050$ $k_s = 4075$ Anexa C55 | | | | | | | | | | | | | | | | | |
| M_s R_s | BETON B200 - L ₂ - P ₆ 35-31 $M_x = 1488 \text{ kN}$ | | | | | | | | BETON B250 - L ₃ - P ₆ 35-31 $M_x = 1310 \text{ kN}$ | | | | | | | | |
| | θ_s (°C) | θ_t (°C) | θ_c (°C) | t_n (h) | t_c (h) | P_{sr} (kW) | Q_{sa} (kW/m) | V_r (°C) | θ_s (°C) | θ_t (°C) | θ_c (°C) | t_n (h) | t_c (h) | P_{sr} (kW) | Q_{sa} (kW/m) | V_r (°C) | |
| 1 | 2 | 3 | 4 | 5 | 6 | 7 | 8 | 9 | 10 | 11 | 12 | 13 | 14 | 15 | 16 | 17 | |
| Nivel de asigurare $\bar{\theta}_{ac} = 0^\circ\text{C}$ | | | | | | | | | | | | | | | | | |
| 1 | | | | 22,1 | 30,1 | 33,9 | 280 | 8,4 | 0,47 | | | | 19,3 | 34,5 | 33,5 | 198 | 6,0 |
| 2 | | | | 21,3 | 28,5 | 35,5 | 344 | 8,8 | 0,49 | | | | 18,6 | 29,1 | 34,9 | 220 | 6,4 |
| 3 | | | | 20,4 | 26,7 | 37,3 | 346 | 9,2 | 0,52 | | | | 17,8 | 27,6 | 36,4 | 245 | 6,7 |
| 4 | | | | 19,5 | 24,7 | 39,3 | 389 | 9,6 | 0,57 | | | | 17,2 | 26,2 | 39,8 | 270 | 7,1 |
| 5 | 3 | 17 | | 18,6 | 22,6 | 41,4 | 439 | 9,9 | 0,62 | 3 | 14 | | 16,4 | 24,3 | 39,7 | 304 | 7,4 |
| 6 | | | | 17,6 | 20,6 | 43,4 | 495 | 10,2 | 0,68 | | | | 15,6 | 22,1 | 44,9 | 347 | 7,7 |
| 7 | | | | 16,5 | 14,2 | 49,8 | 737 | 10,5 | 0,99 | | | | 14,8 | 19,6 | 44,4 | 404 | 7,9 |
| 8 | | | | 15,4 | 10,9 | 53,1 | 972 | 10,6 | 1,28 | | | | 14,0 | 11,0 | 53,0 | 743 | 8,2 |
| 9 | | | | 14,0 | 4,7 | 59,3 | 2258 | 10,6 | 2,98 | | | | 13,0 | 11,0 | 53,0 | 752 | 8,3 |
| 10 | | | | | | | | | | | | | 11,9 | 3,8 | 69,2 | 2187 | 8,3 |
| Nivel de asigurare $\bar{\theta}_{ac} = -5^\circ\text{C}$ | | | | | | | | | | | | | | | | | |
| 1 | | | | 22,5 | 26,1 | 37,9 | 403 | 10,5 | 0,61 | | | | 19,6 | 25,7 | 38,3 | 320 | 8,2 |
| 2 | | | | 21,3 | 23,6 | 40,4 | 467 | 11,0 | 0,68 | | | | 18,8 | 23,9 | 40,1 | 362 | 8,7 |
| 3 | 1 | 17 | | 20,0 | 20,8 | 43,2 | 551 | 11,5 | 0,77 | 1 | 14 | | 17,6 | 21,4 | 42,6 | 423 | 9,1 |
| 4 | | | | 18,6 | 18,0 | 46,0 | 656 | 11,8 | 0,89 | | | | 16,5 | 18,8 | 49,2 | 500 | 9,4 |
| 5 | | | | 17,1 | 16,1 | 47,9 | 750 | 12,1 | 0,99 | | | | 15,2 | 15,2 | 48,8 | 637 | 9,7 |
| 6 | | | | 15,4 | 7,6 | 56,4 | 1601 | 12,2 | 2,11 | | | | 13,8 | 6,7 | 57,3 | 1467 | 9,8 |
| 7 | | | | | | | | | | | | | 12,2 | 2,4 | 61,6 | 4096 | 9,8 |
| Nivel de asigurare $\bar{\theta}_{ac} = -10^\circ\text{C}$ | | | | | | | | | | | | | | | | | |
| 1 | | | | 22,4 | 24,7 | 39,3 | 435 | 10,7 | 0,65 | | | | 20,4 | 28,9 | 35,1 | 305 | 8,8 |
| 2 | | | | 20,9 | 21,4 | 42,6 | 530 | 11,4 | 0,75 | | | | 19,0 | 26,4 | 37,6 | 359 | 9,5 |
| 3 | 1 | 17 | | 19,2 | 17,0 | 46,2 | 665 | 11,8 | 0,90 | 1 | 15 | | 17,6 | 23,9 | 40,1 | 420 | 10,0 |
| 4 | | | | 17,3 | 14,6 | 49,4 | 833 | 12,2 | 1,10 | | | | 16,2 | 20,5 | 43,5 | 513 | 10,5 |
| 5 | | | | 15,0 | 5,0 | 59,0 | 2437 | 12,2 | 3,20 | | | | 14,4 | 13,6 | 59,4 | 795 | 10,8 |
| 6 | | | | | | | | | | | | | 12,3 | 6,1 | 57,9 | 1765 | 10,8 |

151

REGIM TERMIC RC_x

$t_x = 64h = 3$ zile
 $M_s \leq \lim_{R_s} M_s (RC_x)$

$K_b = 0.050$
 $K_s = 1.075$

Anexa C.5.6

| M_s R_s | BETON B ₂₅₀ - L ₃ - P ₄₀₋₃₁ M _x = 1324 t°C | | | | | | | BETON B ₃₀₀ - L ₃ - P ₄₀₋₃₁ M _x = 1182 t°C | | | | | | | | |
|----------------|-------------------------------------------------------------------------------------------|--------------------|--------------------|--------------|--------------|---------------------------------|-----------------------------------|-------------------------------------------------------------------------------------------|--------------------|--------------------|--------------------|--------------|--------------|---------------------------------|-----------------------------------|---------------|
| | θ_b (°C) | θ_t (°C) | θ_c (°C) | t_r (h) | t_c (h) | P_{sr} (W/m ³) | Q_{ss} (KWh/m ³) | v_r (°C) | θ_b (°C) | θ_t (°C) | θ_c (°C) | t_r (h) | t_c (h) | P_{sr} (W/m ³) | Q_{ss} (KWh/m ³) | v_r (°C) |
| 1 | 2 | 3 | 4 | 5 | 6 | 7 | 8 | 9 | 10 | 11 | 12 | 13 | 14 | 15 | 16 | 17 |
| | | | | | | | | | | | | | | | | |

Nivel de asigurare $\theta_{ae} = 0^\circ C$

| | | | | | | | | | | | | | | | | |
|----|---|--|----|------|------|------|------|-----|------|---|------|------|------|------|-----|------|
| 1 | | | | 19,8 | 289 | 341 | 197 | 59 | 0,37 | | 178 | 330 | 310 | 117 | 38 | 0,27 |
| 2 | | | | 19,1 | 285 | 355 | 219 | 63 | 0,39 | | 172 | 320 | 320 | 131 | 42 | 0,28 |
| 3 | | | | 18,4 | 272 | 368 | 243 | 66 | 0,40 | | 167 | 30,8 | 332 | 147 | 45 | 0,29 |
| 4 | | | | 17,6 | 256 | 384 | 271 | 69 | 0,43 | | 162 | 29,6 | 344 | 164 | 49 | 0,30 |
| 5 | 3 | | 14 | 16,9 | 237 | 403 | 306 | 72 | 0,46 | | 155 | 282 | 358 | 184 | 52 | 0,32 |
| 6 | | | | 16,1 | 21,7 | 423 | 347 | 7,5 | 0,51 | 3 | 150 | 264 | 376 | 208 | 5,5 | 0,34 |
| 7 | | | | 15,3 | 19,3 | 44,7 | 404 | 7,8 | 0,57 | | 143 | 24,8 | 39,2 | 233 | 5,8 | 0,36 |
| 8 | | | | 14,4 | 17,6 | 46,4 | 454 | 8,0 | 0,63 | | 137 | 22,9 | 41,1 | 263 | 6,0 | 0,39 |
| 9 | | | | 13,5 | 8,6 | 53,4 | 956 | 8,2 | 1,20 | | 131 | 20,2 | 63,8 | 311 | 6,3 | 0,45 |
| 10 | | | | 12,5 | 4,3 | 59,7 | 1927 | 8,3 | 2,56 | | 123 | 19,6 | 444 | 329 | 6,5 | 0,46 |
| 11 | | | | | | | | | | | 11,7 | 9,5 | 54,5 | 705 | 6,7 | 0,95 |
| 12 | | | | | | | | | | | 10,8 | 6,5 | 57,5 | 1042 | 6,8 | 1,38 |

Nivel de asigurare $\theta_{ae} = -5^\circ C$

| | | | | | | | | | | | | | | | | |
|---|---|--|----|------|------|------|------|------|------|--|------|------|------|-----|-----|------|
| 1 | | | | 20,9 | 296 | 34,4 | 286 | 8,5 | 0,47 | | 189 | 323 | 317 | 203 | 6,6 | 0,37 |
| 2 | | | | 19,8 | 281 | 35,9 | 319 | 9,0 | 0,50 | | 182 | 30,9 | 33,1 | 229 | 7,1 | 0,39 |
| 3 | | | | 18,8 | 264 | 37,6 | 357 | 9,4 | 0,53 | | 174 | 29,4 | 34,6 | 257 | 7,5 | 0,41 |
| 4 | 1 | | 15 | 17,8 | 24,3 | 39,7 | 406 | 9,9 | 0,58 | | 164 | 27,9 | 36,1 | 286 | 8,0 | 0,43 |
| 5 | | | | 16,6 | 21,8 | 42,2 | 469 | 10,2 | 0,64 | | 155 | 25,9 | 38,1 | 324 | 8,4 | 0,46 |
| 6 | | | | 15,3 | 20,0 | 44,0 | 527 | 10,5 | 0,70 | | 14,5 | 23,6 | 404 | 371 | 8,8 | 0,51 |
| 7 | | | | 14,0 | 13,7 | 50,3 | 783 | 10,7 | 1,02 | | 13,4 | 21,7 | 42,3 | 417 | 9,1 | 0,55 |
| 8 | | | | 13,1 | 9,9 | 54,1 | 1092 | 10,8 | 4,41 | | 12,3 | 14,8 | 49,2 | 624 | 9,2 | 0,81 |
| 9 | | | | | | | | | | | 10,9 | 9,8 | 54,2 | 948 | 9,3 | 1,22 |

Nivel de asigurare $\theta_{ae} = -10^\circ C$

| | | | | | | | | | | | | | | | | |
|---|---|--|----|------|------|------|------|------|------|--|------|------|------|------|-----|------|
| 1 | | | | 20,8 | 28,2 | 35,8 | 309 | 8,7 | 0,50 | | 190 | 30,9 | 33,1 | 221 | 6,8 | 0,39 |
| 2 | | | | 19,5 | 26,2 | 37,8 | 357 | 9,4 | 0,53 | | 180 | 29,1 | 34,9 | 258 | 7,5 | 0,41 |
| 3 | 1 | | 15 | 18,2 | 23,7 | 40,3 | 449 | 9,9 | 0,59 | | 168 | 26,9 | 37,1 | 301 | 8,1 | 0,45 |
| 4 | | | | 16,7 | 20,5 | 43,5 | 507 | 10,4 | 0,68 | | 156 | 24,5 | 39,5 | 352 | 8,6 | 0,49 |
| 5 | | | | 15,1 | 18,4 | 45,6 | 585 | 10,8 | 0,76 | | 14,2 | 21,0 | 43,0 | 416 | 9,1 | 0,52 |
| 6 | | | | 13,0 | 8,0 | 56,0 | 1349 | 10,8 | 1,75 | | 12,6 | 12,8 | 51,2 | 726 | 9,3 | 0,94 |
| 7 | | | | | | | | | | | 10,7 | 6,4 | 57,6 | 1450 | 9,3 | 1,88 |

REGIM TERMIC RTC_x

$t_x = 64h = 2$ zile ; $k_b = 0.050$; $M_s \geq \lim_{R_s} M_s (RC_x)$; $K_s = 1.075$

Beton B₂₀₀ - L₃ - Pa₃₅₋₃₁; $M_x = 1488$ t°C. Anexa C.5.7

| M_s R_s | θ_b (°C) | θ_t (°C) | θ_c (°C) | t_n (h) | t_r (h) | t_c (h) | P _{ss} minim ($v_r = 1,50$) | | | | P _{ss} maxim ($v_r = 2,0$) | | | | | |
|----------------|--------------------|--------------------|--------------------|--------------|--------------|--------------|----------------------------------------|------------------------------|--------------------------------|-------|---------------------------------------|-------|-------|----------|----------|----------|
| | | | | | | | P_{sr} W/m ³ | P_{st} W/m ³ | Q_{ss} KWh/m ³ | G_c | t_n | t_r | t_c | P_{sr} | P_{st} | Q_{ss} |
| 1 | 2 | 3 | 4 | 5 | 6 | 7 | 8 | 9 | 10 | 11 | 12 | 13 | 14 | 15 | 16 | 17 |

Nivel de asigurare $\theta_{ae} = 0^\circ C$

| | | | | | | | | | | | | | | | | | | |
|----|---|----|--|------|-----|--|------|------|------|-----|------|------|-----|------|------|------|------|------|
| 9 | | | | 14,6 | | | 8,9 | 45,8 | 1149 | 44 | 11,1 | 14,3 | 4,2 | 52,8 | 1521 | 44 | 10,8 | |
| 10 | | | | 14,2 | | | 15,5 | 39,2 | 1160 | 62 | 11,8 | 13,8 | 4,7 | 44,9 | 1532 | 62 | 11,5 | |
| 11 | | | | 13,8 | | | 20,1 | 34,6 | 1170 | 81 | 12,5 | 13,4 | 5,2 | 39,5 | 1543 | 81 | 12,2 | |
| 12 | 3 | 17 | | 13,5 | 9,3 | | 23,3 | 31,4 | 1181 | 99 | 13,3 | 13,0 | 7 | 20,8 | 36,2 | 1553 | 99 | 12,9 |
| 14 | | | | 12,6 | | | 25,7 | 29,0 | 1203 | 135 | 14,7 | 12,2 | 8 | 24,2 | 32,8 | 1575 | 135 | 14,3 |
| 16 | | | | 12,5 | | | 30,4 | 24,3 | 1224 | 172 | 16,6 | 11,9 | 9 | 29,0 | 28,0 | 1596 | 172 | 16,2 |
| 25 | | | | 10,8 | | | 36,7 | 18,0 | 1321 | 336 | 24,6 | 10,0 | 10 | 36,0 | 21,0 | 1693 | 336 | 24,0 |

Nivel de asigurare $\theta_{ae} = -5^\circ C$

| | | | | | | | | | | | | | | | | | | |
|----|---|----|--|------|------|--|------|------|------|-----|------|------|----|------|------|------|-----|------|
| 6 | | | | 15,9 | | | 15,0 | 38,3 | 1142 | 22 | 12,5 | 15,5 | 8 | 2,2 | 33,8 | 1522 | 22 | 12,2 |
| 7 | | | | 15,5 | | | 26,8 | 26,5 | 1157 | 45 | 13,6 | 14,8 | 9 | 16,9 | 39,1 | 1537 | 45 | 13,1 |
| 8 | | | | 15,0 | | | 30,5 | 22,8 | 1173 | 69 | 14,7 | 14,3 | 10 | 24,3 | 31,7 | 1552 | 69 | 14,1 |
| 9 | | | | 14,8 | | | 34,3 | 19,0 | 1188 | 92 | 15,9 | 13,9 | 11 | 28,5 | 27,5 | 1567 | 92 | 15,2 |
| 10 | 1 | 17 | | 14,5 | 10,7 | | 35,5 | 17,8 | 1203 | 116 | 17,0 | 13,3 | 12 | 29,7 | 26,3 | 1582 | 116 | 16,1 |
| 11 | | | | 14,2 | | | 37,5 | 15,8 | 1218 | 140 | 18,3 | 13,1 | 13 | 33,2 | 22,8 | 1597 | 140 | 17,4 |
| 12 | | | | 14,0 | | | 38,4 | 14,9 | 1233 | 163 | 19,5 | 12,8 | 14 | 34,8 | 24,2 | 1613 | 163 | 18,6 |
| 14 | | | | 13,7 | | | 40,0 | 13,3 | 1263 | 211 | 21,9 | 12,4 | 15 | 37,1 | 18,9 | 1643 | 211 | 21,0 |
| 16 | | | | 13,4 | | | 41,8 | 11,5 | 1293 | 258 | 24,6 | 12,0 | 16 | 39,1 | 16,9 | 1673 | 258 | 23,5 |
| 25 | | | | 12,3 | | | 43,9 | 9,4 | 1428 | 471 | 36,0 | 10,3 | 17 | 42,6 | 13,4 | 1808 | 471 | 34,5 |

| REGIM TERMIC RTC _k | | | | | | | | | | | | | | Anexa C.5.8 | | | | | | | | | |
|-------------------------------------------------------------------|----------------------|----------------------|----------------------|---------|---------------------|---------------------|-------------------------------------|-------------------------------------|---------------------------------------|----------------|-----|----------------|----------------|--------------------------------------------------|-----------------|-----------------|--|--|--|--|--|--|--|
| $t_k = 64h = 3zile$ $K_b = 0,050$ | | | | | | | | | | | | | | $M_s > R_m \frac{M_s}{R_s} (RC_k)$ $K_b = 1,075$ | | | | | | | | | |
| Beton B250 - L ₃ - P ₄₀ - 31 ; $M_k = 1310$ | | | | | | | | | | | | | | | | | | | | | | | |
| P _{ss} minim (v _f =1,50) | | | | | | | | | | | | | | P _{ss} maxim (v _f =2,0) | | | | | | | | | |
| M _s R _s | θ _b °C | θ _t °C | θ _c °C | tr h | t _t h | t _c h | P _{sr} W/m ³ | P _{st} W/m ³ | Q _{ss} kWh/m ² | θ _c | tr | t _t | t _c | P _{sr} | P _{st} | θ _{ss} | | | | | | | |
| 1 | 2 | 3 | 4 | 5 | 6 | 7 | 8 | 9 | 10 | 11 | 12 | 13 | 14 | 15 | 16 | 17 | | | | | | | |
| Nivel de asigurare $\bar{\theta}_{ac} = 0^{\circ}C$ | | | | | | | | | | | | | | | | | | | | | | | |
| 10 | | | 12,3 | | 8,3 | 48,3 | 1127 | 31 | 8,6 | 12,2 | | 2,8 | 55,7 | 1514 | 31 | 8,6 | | | | | | | |
| 11 | | | 11,8 | | 16,1 | 40,5 | 1136 | 36 | 9,2 | 11,7 | | 13,5 | 45,0 | 1523 | 36 | 9,0 | | | | | | | |
| 12 | 3 | 14 | 11,6 | 7,4 | 21,4 | 36,2 | 1145 | 61 | 9,8 | 11,3 | 5,5 | 18,8 | 39,7 | 1532 | 61 | 9,6 | | | | | | | |
| 14 | | | 11,0 | | 26,6 | 30,0 | 1164 | 91 | 11,0 | 10,8 | | 25,4 | 33,1 | 1550 | 91 | 10,8 | | | | | | | |
| 16 | | | 10,6 | | 30,8 | 25,8 | 1182 | 141 | 12,5 | 10,3 | | 30,1 | 28,5 | 1568 | 121 | 12,3 | | | | | | | |
| 25 | | | 8,7 | | 36,2 | 20,9 | 1266 | 237 | 18,7 | 8,6 | | 38,3 | 20,2 | 1651 | 237 | 18,9 | | | | | | | |
| Nivel de asigurare $\bar{\theta}_{ac} = -5^{\circ}C$ | | | | | | | | | | | | | | | | | | | | | | | |
| 6 | | | 13,9 | | 25,5 | 29,8 | 1168 | 3 | 10,2 | 13,8 | | 0,0 | 57,5 | 1561 | 0 | 10,1 | | | | | | | |
| 7 | | | 15,1 | | 25,5 | 29,8 | 1181 | 24 | 10,9 | 12,7 | | 15,1 | 50,9 | 1575 | 24 | 10,6 | | | | | | | |
| 8 | | | 12,8 | | 33,3 | 22,0 | 1195 | 45 | 11,9 | 12,2 | | 25,1 | 32,5 | 1588 | 45 | 11,6 | | | | | | | |
| 9 | | | 12,6 | | 37,5 | 17,8 | 1208 | 65 | 12,9 | 11,9 | | 30,7 | 26,8 | 1601 | 65 | 12,5 | | | | | | | |
| 10 | 1 | 14 | 12,3 | 8,7 | 37,6 | 15,7 | 1222 | 85 | 14,0 | 11,6 | 6,5 | 34,2 | 23,3 | 1615 | 85 | 13,6 | | | | | | | |
| 11 | | | 12,0 | | 40,6 | 16,7 | 1235 | 108 | 15,0 | 11,2 | | 36,6 | 21,1 | 1628 | 108 | 14,6 | | | | | | | |
| 12 | | | 11,9 | | 41,5 | 13,8 | 1249 | 126 | 16,6 | 11,0 | | 37,6 | 20,1 | 1642 | 126 | 15,6 | | | | | | | |
| 14 | | | 11,6 | | 43,3 | 12,0 | 1275 | 167 | 18,3 | 10,6 | | 40,1 | 17,4 | 1669 | 167 | 17,5 | | | | | | | |
| 16 | | | 11,5 | | 46,7 | 10,6 | 1302 | 207 | 20,6 | 10,3 | | 41,9 | 15,6 | 1695 | 207 | 19,7 | | | | | | | |
| 25 | | | 10,1 | | 42,5 | 7,8 | 1423 | 391 | 31,0 | 8,6 | | 46,2 | 11,3 | 1816 | 391 | 29,9 | | | | | | | |
| Nivel de asigurare $\bar{\theta}_{ac} = -10^{\circ}C$ | | | | | | | | | | | | | | | | | | | | | | | |
| 6 | | | 12,7 | | 6,3 | 48,6 | 1170 | 35 | 11,1 | 12,6 | | 1,6 | 55,6 | 1573 | 35 | 10,9 | | | | | | | |
| 7 | | | 12,0 | | 17,0 | 37,7 | 1190 | 62 | 12,1 | 11,6 | | 14,3 | 42,7 | 1582 | 62 | 11,8 | | | | | | | |
| 8 | | | 11,6 | | 22,6 | 32,1 | 1209 | 89 | 13,3 | 10,9 | | 20,1 | 36,9 | 1591 | 89 | 12,9 | | | | | | | |
| 9 | | | 10,9 | | 26,0 | 28,7 | 1228 | 116 | 15,6 | 10,4 | | 24,3 | 32,7 | 1601 | 116 | 16,0 | | | | | | | |
| 10 | 1 | 15 | 10,7 | 9,3 | 30,6 | 24,1 | 1248 | 143 | 16,0 | 10,2 | 7,0 | 30,0 | 27,0 | 1620 | 143 | 15,6 | | | | | | | |
| 11 | | | 10,6 | | 31,6 | 23,1 | 1267 | 170 | 17,2 | 9,7 | | 30,5 | 26,5 | 1639 | 170 | 16,7 | | | | | | | |
| 12 | | | 9,8 | | 32,8 | 21,5 | 1287 | 197 | 18,4 | 9,2 | | 31,9 | 25,1 | 1659 | 197 | 17,9 | | | | | | | |
| 14 | | | 9,2 | | 35,5 | 19,2 | 1323 | 250 | 21,2 | 8,5 | | 34,9 | 22,1 | 1697 | 250 | 20,6 | | | | | | | |
| 16 | | | 8,6 | | 38,6 | 16,1 | 1366 | 304 | 26,6 | 7,8 | | 38,3 | 18,7 | 1736 | 304 | 23,8 | | | | | | | |
| 25 | | | 7,3 | | 40,2 | 16,5 | 1538 | 566 | 36,3 | 6,2 | | 40,4 | 16,6 | 1910 | 566 | 35,6 | | | | | | | |

| REGIM TERMIC RTC _k | | | | | | | | | | | | | | Anexa C.5.9 | | | | | | | | | |
|-------------------------------------------------------------|----------------------|----------------------|----------------------|---------|---------------------|---------------------|-------------------------------------|-------------------------------------|---------------------------------------|----------------|-----|----------------|----------------|--------------------------------------------------|-----------------|-----------------|--|--|--|--|--|--|--|
| $t_k = 64h = 3zile$ $K_b = 0,050$ | | | | | | | | | | | | | | $M_s > R_m \frac{M_s}{R_s} (RC_k)$ $K_b = 1,075$ | | | | | | | | | |
| BETON B250 - L ₃ P ₄₀ 31 $M_k = 1324$ | | | | | | | | | | | | | | | | | | | | | | | |
| Pos minim | | | | | | | | | | | | | | Pos maxim | | | | | | | | | |
| M _s R _s | θ _b °C | θ _t °C | θ _c °C | tr h | t _t h | t _c h | P _{sr} W/m ³ | P _{st} W/m ³ | Q _{ss} kWh/m ² | θ _c | tr | t _t | t _c | P _{sr} | P _{st} | θ _{ss} | | | | | | | |
| 1 | 2 | 3 | 4 | 5 | 6 | 7 | 8 | 9 | 10 | 11 | 12 | 13 | 14 | 15 | 16 | 17 | | | | | | | |
| Nivel de asigurare 0°C | | | | | | | | | | | | | | | | | | | | | | | |
| 10 | | | 12,7 | | 8,2 | 48,5 | 1136 | 23 | 8,5 | 12,6 | | 3,3 | 55,2 | 1507 | 23 | 8,4 | | | | | | | |
| 11 | | | 12,2 | | 20,1 | 36,6 | 1145 | 38 | 9,1 | 11,9 | | 17,1 | 41,4 | 1516 | 38 | 9,0 | | | | | | | |
| 12 | 3 | 14 | 11,9 | 7,3 | 23,4 | 33,3 | 1154 | 53 | 9,7 | 11,7 | 5,5 | 21,2 | 37,3 | 1525 | 53 | 9,5 | | | | | | | |
| 14 | | | 11,5 | | 29,3 | 26,8 | 1173 | 83 | 11,0 | 11,2 | | 27,6 | 30,9 | 1544 | 83 | 10,8 | | | | | | | |
| 16 | | | 10,8 | | 31,1 | 25,6 | 1191 | 113 | 12,2 | 10,5 | | 30,0 | 28,5 | 1562 | 113 | 12,0 | | | | | | | |
| 25 | | | 10,8 | | 36,0 | 20,7 | 1273 | 248 | 18,2 | 10,4 | | 34,8 | 23,7 | 1644 | 248 | 17,7 | | | | | | | |
| Nivel de asigurare -5°C | | | | | | | | | | | | | | | | | | | | | | | |
| 3 | | | 12,3 | | 13,7 | 41,0 | 1175 | 58 | 11,7 | 11,9 | | 9,9 | 47,1 | 1547 | 58 | 11,1 | | | | | | | |
| 10 | | | 12,0 | | 23,4 | 31,3 | 1189 | 80 | 12,3 | 11,3 | | 17,9 | 33,1 | 1561 | 80 | 12,4 | | | | | | | |
| 11 | | | 11,3 | | 24,0 | 30,7 | 1203 | 101 | 13,6 | 10,8 | | 21,9 | 35,1 | 1575 | 101 | 13,2 | | | | | | | |
| 12 | 1 | 15 | 10,9 | 9,3 | 26,7 | 28,0 | 1217 | 123 | 14,6 | 10,4 | 7,0 | 25,1 | 31,9 | 1589 | 123 | 14,2 | | | | | | | |
| 14 | | | 10,4 | | 30,1 | 24,6 | 1245 | 166 | 16,6 | 9,3 | | 28,3 | 28,7 | 1617 | 166 | 16,0 | | | | | | | |
| 16 | | | 9,8 | | 32,8 | 21,9 | 1273 | 203 | 18,7 | 9,2 | | 32,0 | 25,0 | 1645 | 203 | 18,2 | | | | | | | |
| 25 | | | 8,0 | | 38,8 | 15,9 | 1358 | 402 | 28,6 | 7,2 | | 38,7 | 18,3 | 1671 | 402 | 27,3 | | | | | | | |
| Nivel de asigurare -10°C | | | | | | | | | | | | | | | | | | | | | | | |

REGIM TERMIC $R T C_k$

$$t_k = 64 \text{ h} = 3 \text{ zile}$$

$$\frac{M_s}{R_s} \geq \lim_{R_s \rightarrow 0} \frac{M_s}{R_s} (R C_k)$$

$$K_b = 0,050$$

$$K_b = 1,075$$

BETON B300 - L₃ - P₄₀ - 31 M_k = 1182

Anexa C_{5,10}

| $\frac{M_s}{R_s}$ | θ_b | θ_t | θ_c | P _{ss} minim | | | | P _{ss} maxim | | | | | | | | |
|-------------------|------------|------------|------------|-----------------------|----------------|----------------|-----------------|-----------------------|-----------------|----------------|----------------|----------------|----------------|-----------------|-----------------|-----------------|
| | | | | t _r | t _t | t _c | P _{sr} | P _{st} | Q _{ss} | θ _c | t _r | t _t | t _c | P _{sr} | P _{st} | Q _{ss} |
| 1 | 2 | 3 | 4 | 5 | 6 | 7 | 8 | 9 | 10 | 11 | 12 | 13 | 14 | 15 | 16 | 17 |

Nivel de asigurare 0°C -

| | | | | | | | | | | | | | | | | |
|----|---|----|------|-----|------|------|------|-----|------|-----|-----|------|------|------|-----|------|
| 14 | | | 10,0 | | 17,0 | 41,0 | 1145 | 45 | 7,6 | 9,9 | | 15,4 | 44,1 | 1521 | 45 | 7,5 |
| 16 | 3 | 12 | 9,5 | 6,0 | 26,4 | 31,6 | 1161 | 71 | 8,9 | 9,3 | 4,5 | 24,8 | 34,7 | 1537 | 71 | 8,7 |
| 25 | | | 8,0 | | 37,8 | 20,2 | 1234 | 187 | 14,5 | 7,7 | | 37,6 | 21,9 | 1610 | 187 | 14,3 |

Nivel de asigurare -5°C

| | | | | | | | | | | | | | | | | |
|----|---|------|------|--|------|------|------|-----|------|-----|--|------|------|------|-----|------|
| 10 | | | 10,1 | | 9,0 | 47,0 | 1169 | 51 | 9,8 | 9,8 | | 6,7 | 51,3 | 1545 | 51 | 9,6 |
| 11 | | | 9,7 | | 15,7 | 40,3 | 1181 | 70 | 10,5 | 9,4 | | 13,8 | 44,2 | 1558 | 70 | 10,3 |
| 12 | | | 9,3 | | 19,8 | 36,2 | 1194 | 89 | 11,3 | 8,9 | | 18,2 | 39,8 | 1571 | 89 | 11,1 |
| 14 | 1 | 13,0 | 8,0 | | 26,1 | 29,9 | 1220 | 128 | 13,1 | 8,1 | | 25,1 | 32,9 | 1596 | 128 | 12,8 |
| 16 | | | 8,0 | | 28,7 | 27,3 | 1246 | 167 | 14,8 | 7,6 | | 28,2 | 29,8 | 1622 | 167 | 14,4 |
| 25 | | | 6,1 | | 37,2 | 18,8 | 1362 | 341 | 23,6 | 5,6 | | 37,5 | 20,5 | 1738 | 341 | 23,2 |

Nivel de asigurare -10°C

| | | | | | | | | | | | | | | | | | |
|----|---|------|------|-----|------|------|------|-----|------|-----|--|------|------|------|-----|------|--|
| 7 | | | 10,9 | | 2,5 | 53,5 | 1167 | 30 | 9,4 | - | | - | - | - | - | - | |
| 8 | | | 10,1 | | 16,0 | 40,0 | 1186 | 55 | 10,4 | 9,8 | | 13,7 | 44,3 | 1562 | 55 | 10, | |
| 9 | | | 9,6 | | 22,0 | 34,0 | 1204 | 80 | 11,4 | 9,2 | | 20,2 | 37,8 | 1580 | 80 | 11,1 | |
| 10 | | | 9,2 | | 26,4 | 29,6 | 1222 | 104 | 12,5 | 8,8 | | 25,2 | 32,8 | 1599 | 104 | 12,2 | |
| 11 | 1 | 13,0 | 8,0 | 8,0 | 29,4 | 26,6 | 1241 | 129 | 13,7 | 8,4 | | 28,5 | 29,5 | 1617 | 129 | 13, | |
| 12 | | | 8,4 | | 31,7 | 24,3 | 1259 | 154 | 14,9 | 8,0 | | 30,8 | 27,2 | 1635 | 154 | 14,5 | |
| 14 | | | 7,6 | | 34,2 | 21,8 | 1295 | 203 | 17,3 | 7,2 | | 33,8 | 24,2 | 1672 | 203 | 16, | |
| 16 | | | 7,2 | | 36,8 | 19,2 | 1332 | 253 | 20,0 | 6,7 | | 36,7 | 21,3 | 1708 | 253 | 19, | |
| 25 | | | 5,4 | | 40,8 | 15,2 | 1496 | 475 | 31,4 | 4,6 | | 41,3 | 16,7 | 1873 | 475 | 30, | |

ANEXA C_{6,1}

Coefficientul K'_t pentru soluții tipizate de organizare a transportului la obiect

| Nr. crt. | Mijlocul de transport | Distanță (Km) | Durata (min) | K'_t pentru mijlocul | |
|----------|---------------------------|---------------|--------------|------------------------|----------------|
| | | | | a neprotejat | b (*) protejat |
| 1 | Autobasculantă sau dumpăr | 1,5 | 6 | — | 0,152 |
| 2 | Autoagitator | 5 | 20 | 0,280 | 0,200 |

(*) Soluții de protejare a mijlocului de transport:

- Autobasculanta sau dumpărul sunt acoperite cu prelată
- Autoagitatorul are gura de alimentare acoperită cu un capac.

ANEXA C_{6,2}

Coefficientul K''_t pentru soluții tipizate de organizare a transportului la obiect și punerea în operă

| Nr. crt. | Punerea în operă a betonului în elementul de construcție având dimensiunile caracteristice (cm) | K''_t | | | |
|----------|-------------------------------------------------------------------------------------------------|-----------------------------------------------------------------------------------------|-------|-------|-------|
| | | pentru o durată de așteptare a ultimei benări de 40' și soluția de izolare termică (*): | a | b | c |
| 1 | Fundații cu dimensiunea minimă | 50 | 0,382 | 0,222 | 0,142 |
| 2 | Stilpi, pereți, grinzi cu înălțimea | 25 | 0,772 | 0,452 | 0,292 |
| | | > 50 | 0,722 | 0,402 | 0,242 |
| 3 | Plăci cu grosimea | 6 | 0,991 | 0,672 | 0,512 |
| | | 10 | 0,872 | 0,552 | 0,392 |
| | | 20 | 0,782 | 0,462 | 0,302 |

(*) Soluții de protejare a benelor în timpul așteptării:

- a. Neprotejată (nu se recomandă);
- b. Acoperită cu folie de polietilenă sau prelată;
- c. Pereți izolați termic cu două straturi de carton astfaltat; buna este acoperită în timpul așteptării cu o folie de polietilenă sau prelată;
- d. Pereți izolați termic cu 7 cm de vată minerală; zona de încărcare acoperită cu un capac izolat termic cu 4 cm de vată minerală; buna este acoperită în timpul așteptării cu o folie de polietilenă sau prelată.

ANEXA C_{6.3}

Corelarea temperaturilor ($\theta_l - \bar{\theta}'_{ae}$) cu
 $(\theta_b - \bar{\theta}'_{ae})$ și ($\theta_p - \bar{\theta}'_{ae}$) cu ($\theta_l - \bar{\theta}'_{ae}$)

| $(\theta_b - \bar{\theta}'_{ae})$ sau $(\theta_l - \bar{\theta}'_{ae})$ | $(\theta_l - \bar{\theta}'_{ae})$ sau $(\theta_p - \bar{\theta}'_{ae})$ (*) | | | | | | | |
|-------------------------------------------------------------------------------|-----------------------------------------------------------------------------|------|------|------|------|------|------|------|
| | pentru K'_t sau K_t = | | | | | | | |
| 0,075 0,100 0,150 0,200 0,250 0,300 0,400 0,500 | | | | | | | | |
| 1 | 1,1 | 1,1 | 1,2 | 1,2 | 1,3 | 1,3 | 1,5 | 1,7 |
| 2 | 2,2 | 2,2 | 2,3 | 2,4 | 2,6 | 2,7 | 3,0 | 3,3 |
| 3 | 3,2 | 3,3 | 3,5 | 3,7 | 3,9 | 4,1 | 4,5 | 5,0 |
| 4 | 4,3 | 4,4 | 4,6 | 4,9 | 5,1 | 5,4 | 6,0 | 6,7 |
| 5 | 5,4 | 5,5 | 5,8 | 6,1 | 6,4 | 6,8 | 7,5 | 8,3 |
| 6 | 6,5 | 6,6 | 7,0 | 7,3 | 7,7 | 8,1 | 9,0 | 10,0 |
| 7 | 7,5 | 7,7 | 8,1 | 8,6 | 9,0 | 9,5 | 10,5 | 11,7 |
| 8 | 8,6 | 8,8 | 9,3 | 9,8 | 10,3 | 10,8 | 12,0 | 13,3 |
| 9 | 9,7 | 9,9 | 10,5 | 11,0 | 11,6 | 12,2 | 13,5 | 15,0 |
| 10 | 10,8 | 11,1 | 11,6 | 12,2 | 12,9 | 13,5 | 15,0 | 16,7 |
| 11 | 11,9 | 12,2 | 12,8 | 13,4 | 14,1 | 14,9 | 16,5 | 18,3 |
| 12 | 12,9 | 13,3 | 13,9 | 14,7 | 15,4 | 16,2 | 18,0 | 20,0 |
| 13 | 14,0 | 14,4 | 15,1 | 15,9 | 16,7 | 17,6 | 19,5 | 21,7 |
| 14 | 15,1 | 15,5 | 16,3 | 17,1 | 18,0 | 18,9 | 21,0 | 23,3 |
| 15 | 16,2 | 16,6 | 17,4 | 18,3 | 19,3 | 20,3 | 2,52 | 25,0 |
| 16 | 17,2 | 17,7 | 18,6 | 19,6 | 20,6 | 21,6 | 24,0 | 26,7 |
| 17 | 18,3 | 18,8 | 19,8 | 20,8 | 21,9 | 23,0 | 25,5 | 28,3 |
| 18 | 19,4 | 19,9 | 20,9 | 22,0 | 23,1 | 23,1 | 27,0 | 30,0 |
| 19 | 20,5 | 21,0 | 22,1 | 23,2 | 24,4 | 225, | 28,5 | 31,7 |
| 20 | 21,6 | 22,1 | 23,2 | 24,4 | 25,7 | 27,1 | 30,0 | 33,3 |
| 21 | 22,6 | 23,2 | 24,4 | 25,7 | 27,0 | 28,4 | 31,5 | 35,0 |
| 22 | 23,7 | 24,3 | 25,6 | 26,9 | 28,3 | 29,8 | 3,03 | 36,7 |
| 23 | 24,8 | 25,4 | 26,7 | 28,1 | 29,6 | 31,1 | 34,5 | 38,3 |
| 24 | 25,9 | 26,5 | 27,9 | 29,3 | 30,9 | 32,5 | 36,0 | 40,0 |
| 25 | 26,9 | 27,6 | 29,1 | 30,5 | 23,1 | 33,8 | 37,5 | |
| 26 | 28,0 | 28,7 | 30,2 | 31,7 | 33,4 | 35,2 | 39,0 | |
| 27 | 29,1 | 29,8 | 31,4 | 33,0 | 34,7 | 3,65 | | |
| 28 | 30,2 | 30,9 | 32,5 | 34,2 | 36,0 | 37,9 | | |
| 29 | 31,3 | 32,1 | 33,7 | 35,4 | 37,2 | 39,2 | | |
| 30 | 32,3 | 33,2 | 34,9 | 36,7 | 38,6 | 40,6 | | |

$$\theta_l = (\theta_l - \bar{\theta}'_{ae}) + \bar{\theta}'_{ae}$$

$$\theta_p = (\theta_p - \bar{\theta}'_{ae}) + \bar{\theta}'_{ae}$$

ANEXA C_{7.1}

REGIMUL TERMIC LA PREPARAREA BETONULUI B-150-L2-P0 35-31

| θ_p °C | UMIDITATEA AGREGATELOR (%) | | | | | | | |
|------------------|---------------------------------------|------|------|------|------|------|------|------|
| | 1% | 2% | 3% | 4% | 5% | 6% | 7% | 8% |
| 0 | -5°C | 0°C | -5°C | 0°C | -5°C | 0°C | -5°C | 0°C |
| 1 | 10,0 | 11,4 | 12,8 | 14,2 | 15,6 | 17,0 | 18,4 | 19,8 |
| 2 | 17,0 | 18,5 | 20,1 | 21,5 | 23,4 | 25,1 | 26,9 | 28,7 |
| 3 | 21,3 | 22,9 | 24,4 | 26,2 | 28,8 | 30,0 | 31,7 | 33,6 |
| 4 | 25,6 | 27,2 | 29,0 | 31,5 | 33,1 | 35,0 | 37,1 | 39,1 |
| 5 | 30,0 | 32,4 | 34,3 | 35,9 | 37,4 | 39,0 | 41,5 | 44,7 |
| 6 | 34,3 | 36,7 | 39,2 | 40,2 | 42,0 | 44,6 | 46,3 | 5 |
| 7 | 39,6 | 41,7 | 44,5 | 46,1 | 47,7 | 49,4 | 51,2 | 53,0 |
| 8 | 44,0 | 46,3 | 48,8 | 50,4 | 52,6 | 54,3 | 56,1 | 59,4 |
| 9 | 47,3 | 50,0 | 52,4 | 54,7 | 57,4 | 59,2 | 60,9 | 64,9 |
| 10 | 51,6 | 53,2 | 55,9 | 57,5 | 60,3 | 62,3 | 64,1 | 66,0 |
| 11 | 55,9 | 57,5 | 59,9 | 61,8 | 63,4 | 65,2 | 67,0 | 70,5 |
| 12 | 60,3 | 62,0 | 64,6 | 66,1 | 67,7 | 70,0 | 73,0 | 76,7 |
| 13 | 64,6 | 66,9 | 68,9 | 70,5 | 72,0 | 76,9 | 78,7 | 80,0 |
| 14 | 68,9 | 73,2 | 74,8 | 79,1 | 79,1 | 79,1 | 80 | 80 |
| 15 | 73,2 | 74,8 | 79,1 | 79,1 | 79,1 | 79,1 | 80 | 80 |
| 16 | 77,6 | 79,1 | 79,1 | 79,1 | 79,1 | 79,1 | 80 | 80 |
| 17 | 82,0 | 82,0 | 82,0 | 82,0 | 82,0 | 82,0 | 82,0 | 82,0 |
| 18 | 86,4 | 86,4 | 86,4 | 86,4 | 86,4 | 86,4 | 86,4 | 86,4 |
| 19 | 88,9 | 88,9 | 88,9 | 88,9 | 88,9 | 88,9 | 88,9 | 88,9 |
| 20 | 93,2 | 93,2 | 93,2 | 93,2 | 93,2 | 93,2 | 93,2 | 93,2 |
| 21 | 77,6 | 79,1 | 79,1 | 79,1 | 79,1 | 79,1 | 79,1 | 79,1 |
| 22 | 57 | 63 | 63 | 63 | 63 | 63 | 63 | 63 |
| 23 | 80 | 80 | 80 | 80 | 80 | 80 | 80 | 80 |
| 24 | 80 | 9,0 | 9,0 | 9,0 | 9,0 | 9,0 | 9,0 | 9,0 |
| 25 | 10,6 | 10,6 | 10,6 | 10,6 | 10,6 | 10,6 | 10,6 | 10,6 |
| 26 | 12,2 | 12,2 | 12,2 | 12,2 | 12,2 | 12,2 | 12,2 | 12,2 |
| 27 | 13,9 | 13,9 | 13,9 | 13,9 | 13,9 | 13,9 | 13,9 | 13,9 |
| 28 | 15,5 | | | | | | | |
| 29 | Q _{sp} Kwh/m ³ | 2,45 | 5,03 | 1,55 | 4,25 | 6,95 | 3,35 | 6,05 |
| 30 | Q _{sp} Kwh/m ³ | 2,45 | 5,03 | 1,55 | 4,25 | 6,95 | 3,35 | 6,05 |

Consumul specific la prepararea betonului se determină cu relația $Q_{sp} = Q_{se} + 0,77 \theta_p$ [Kwh/m³]

REGIMUL TERMIC LA PREPARAREA BETONULUI B 200-L₃-P₀-35-31

| θ_p °C | UMIDITATEA AGREGATELOR (%) | | TEMPERATURA AERULUI EXTERIOR (θ_{ext}) | | | | | | | | 3% | | |
|-------------------|----------------------------|------------|--------------------------------------------------------|------------|------------|------------|------------|------------|------------|------------|------------|------------|------------|
| | 1% | 2% | 0°C | -5°C | -10°C | -5°C | 0°C | -10°C | 0°C | -10°C | 0°C | -5°C | -10°C |
| 5 | 0.00 °C | 0.00 °C | 0.00 °C | 0.00 °C | 0.00 °C | 0.00 °C | 0.00 °C | 0.00 °C | 0.00 °C | 0.00 °C | 0.00 °C | 0.00 °C | 0.00 °C |
| 6 | 12.1 | 10 | 13.0 | 11.6 | 13.0 | 10.5 | 12.4 | — | — | — | — | 11.2 | 0.00 °C |
| 7 | 16.1 | 13.0 | 17.8 | 15.6 | 17.5 | 14.9 | 16.2 | — | — | — | — | 16.4 | — |
| 8 | 20.1 | 21.8 | 23.5 | 23.5 | 21.9 | 19.4 | 21.3 | 19.3 | — | — | — | 21.5 | — |
| 9 | 24.1 | 25.8 | 27.5 | 27.5 | 26.4 | 23.9 | 25.8 | 24.4 | 25.6 | 24.4 | 24.6 | 26.6 | 28.9 |
| 10 | 28.1 | 29.0 | 31.5 | 31.5 | 30.9 | 28.3 | 30.3 | 29.6 | 30.3 | 29.6 | 29.6 | 32.6 | 34.0 |
| 11 | 32.1 | 33.0 | 35.5 | 35.5 | 35.4 | 32.3 | 34.7 | 34.7 | 34.7 | 34.7 | 34.7 | 36.9 | 39.1 |
| 12 | 36.0 | 37.0 | 39.0 | 39.0 | 39.0 | 37.3 | 39.2 | 39.2 | 39.2 | 39.2 | 39.2 | 42.0 | 44.3 |
| 13 | 40.0 | 41.0 | 43.5 | 43.5 | 44.3 | 40.2 | 42.2 | 42.2 | 42.2 | 42.2 | 42.2 | 45.0 | 47.2 |
| 14 | 44.0 | 45.7 | 47.5 | 47.5 | 48.8 | 46.2 | 48.2 | 48.2 | 48.2 | 48.2 | 48.2 | 50.1 | 52.3 |
| 15 | 48.0 | 49.7 | 51.5 | 51.5 | 53.3 | 49.7 | 51.7 | 51.7 | 51.7 | 51.7 | 51.7 | 55.2 | 56.5 |
| 16 | 52.0 | 53.7 | 55.4 | 55.4 | 55.4 | 52.2 | 54.1 | 54.1 | 54.1 | 54.1 | 54.1 | 56.9 | 59.7 |
| 17 | 56.0 | 57.7 | 59.4 | 59.4 | 60.7 | 56.7 | 58.7 | 58.7 | 58.7 | 58.7 | 58.7 | 62.0 | 64.8 |
| 18 | 60.0 | 61.7 | 63.4 | 63.4 | 63.4 | 60.6 | 62.5 | 62.5 | 62.5 | 62.5 | 62.5 | 66.7 | 69.9 |
| 19 | 64.0 | 65.7 | 67.4 | 67.4 | 71.2 | 67.1 | 73.1 | 73.1 | 73.1 | 73.1 | 73.1 | 75.0 | 75.0 |
| 20 | 68.0 | 69.7 | 71.4 | 71.4 | 75.6 | 70.0 | 77.6 | 77.6 | 77.6 | 77.6 | 77.6 | 80.0 | 82.0 |
| 21 | 71.9 | 73.7 | 75.4 | 75.4 | 80.0 | 73.7 | 80.0 | 80.0 | 80.0 | 80.0 | 80.0 | 83.0 | 85.0 |
| 22 | 75.9 | 77.7 | 79.4 | 79.4 | 80 | 67 | 80 | 80 | 80 | 80 | 80 | 84.0 | 87.4 |
| 23 | 79.9 | 80 | 80 | 80 | 80 | 60 | 80 | 80 | 80 | 80 | 80 | 89.0 | 90.5 |
| 24 | 83 | 87 | 80 | 80 | 80 | 60 | 80 | 80 | 80 | 80 | 80 | 91.4 | 92.0 |
| 25 | 86 | 91 | 91 | 91 | 91 | 60 | 90 | 90 | 90 | 90 | 90 | 93.0 | 93.0 |
| 26 | 90 | 10.0 | 10.0 | 10.0 | 10.0 | 60 | 90 | 90 | 90 | 90 | 90 | 94.5 | 94.5 |
| 27 | 11.7 | 11.7 | — | — | — | — | — | — | — | — | — | — | — |
| 28 | 13.4 | 13.4 | — | — | — | — | — | — | — | — | — | — | — |
| 29 | 15.1 | — | — | — | — | — | — | — | — | — | — | — | — |
| Op _{min} | -0.25 | 2.45 | 4.95 | 4.95 | 1.05 | 4.35 | 6.95 | 6.95 | 3.75 | 3.75 | 3.75 | 6.35 | 9.05 |

Consumul specific la prepararea betonului se determină cu rețința $Q_{\text{sp}} = Q_{\text{so}} + 0.7 \cdot Q_2$ [Kwh/m³]

| θ_p °C | UMIDITATEA AGREGATELOR (%) | | TEMPERATURA AERULUI EXTERIOR (θ_{ext}) | | | | | | | | 3% | | |
|-------------------|----------------------------|------------|--------------------------------------------------------|------------|------------|------------|------------|------------|------------|------------|------------|------------|------------|
| | 1% | 2% | 0°C | -5°C | -10°C | -5°C | 0°C | -10°C | 0°C | -10°C | 0°C | -5°C | -10°C |
| 5 | 0.00 °C | 0.00 °C | 0.00 °C | 0.00 °C | 0.00 °C | 0.00 °C | 0.00 °C | 0.00 °C | 0.00 °C | 0.00 °C | 0.00 °C | 0.00 °C | 0.00 °C |
| 6 | 10.3 | 12.2 | — | 13.2 | 16.2 | 10.9 | 13.1 | — | — | — | — | 11.0 | — |
| 7 | 16.3 | 20.2 | 17.7 | 17.7 | 22.2 | 19.9 | 22.0 | 19.5 | 22.1 | 19.5 | 19.5 | 22.1 | 24.5 |
| 8 | 20.4 | 22.3 | 24.2 | 24.2 | 26.0 | 24.3 | 26.5 | 24.7 | 27.2 | 24.7 | 24.7 | 29.7 | 32.3 |
| 9 | 24.4 | 26.3 | 28.1 | 28.1 | 28.6 | 26.0 | 29.8 | 29.8 | 32.3 | 29.8 | 29.8 | 34.9 | 37.9 |
| 10 | 28.4 | 30.3 | 31.1 | 31.1 | 33.3 | 33.3 | 35.4 | 34.9 | 37.5 | 34.9 | 34.9 | 42.6 | 45.1 |
| 11 | 32.4 | 34.3 | 35.6 | 35.6 | 37.1 | 37.1 | 39.9 | 39.9 | 40.7 | 39.9 | 39.9 | 47.7 | 50.2 |
| 12 | 36.4 | 38.3 | 40.1 | 40.1 | 42.2 | 42.2 | 44.4 | 44.4 | 46.2 | 44.4 | 44.4 | 50.3 | 52.9 |
| 13 | 40.4 | 42.3 | 44.5 | 44.5 | 46.7 | 46.7 | 48.9 | 48.9 | 50.3 | 48.9 | 48.9 | 56.5 | 59.3 |
| 14 | 44.4 | 46.3 | 48.9 | 48.9 | 51.2 | 51.2 | 53.3 | 53.3 | 55.5 | 53.3 | 53.3 | 60.4 | 63.6 |
| 15 | 48.4 | 50.3 | 52.1 | 52.1 | 55.6 | 55.6 | 57.6 | 57.6 | 60.6 | 57.6 | 57.6 | 63.1 | 66.3 |
| 16 | 52.4 | 54.3 | 56.1 | 56.1 | 60.1 | 60.1 | 62.3 | 62.3 | 65.7 | 60.1 | 60.1 | 68.3 | 70.7 |
| 17 | 56.4 | 58.3 | 60.1 | 60.1 | 64.6 | 64.6 | 66.8 | 66.8 | 70.9 | 64.6 | 64.6 | 73.4 | 75.6 |
| 18 | 60.3 | 62.3 | 64.0 | 64.0 | 66.9 | 66.9 | 69.1 | 69.1 | 73.5 | 67.0 | 67.0 | 78.5 | 81.0 |
| 19 | 64.3 | 66.3 | 68.0 | 68.0 | 71.4 | 71.4 | 75.7 | 75.7 | 80.0 | 71.4 | 71.4 | 86.6 | 90.5 |
| 20 | 68.3 | 70.3 | 72.0 | 72.0 | 75.8 | 75.8 | 80.0 | 80.0 | 85.0 | 75.8 | 75.8 | 90.0 | 93.0 |
| 21 | 72.3 | 74.3 | 76.0 | 76.0 | 80.0 | 80.0 | 85.0 | 85.0 | 90.0 | 80.0 | 80.0 | 92.0 | 95.0 |
| 22 | 76.3 | 78.3 | 80 | 80 | 80 | 80 | 85 | 85 | 90 | 80 | 80 | 90.0 | 93.0 |
| 23 | 80.0 | 80 | 80 | 80 | 80 | 80 | 85 | 85 | 90 | 80 | 80 | 90.0 | 93.0 |
| 24 | 86 | 86 | 80 | 80 | 80 | 80 | 85 | 85 | 90 | 80 | 80 | 90.0 | 93.0 |
| 25 | 80 | 10.2 | 11.0 | 11.0 | 11.0 | 11.0 | 11.7 | 11.7 | 12.0 | 11.0 | 11.0 | 13.2 | 14.7 |
| 26 | 11.9 | 13.6 | — | — | — | — | — | — | — | — | — | — | — |
| 27 | 13.4 | — | — | — | — | — | — | — | — | — | — | — | — |
| 28 | 15.1 | — | — | — | — | — | — | — | — | — | — | — | — |
| Op _{min} | 0.15 | 2.45 | 4.95 | 4.95 | 1.75 | 4.35 | 6.95 | 6.95 | 3.75 | 3.75 | 3.75 | 6.45 | 9.05 |

Consumul specific la prepararea betonului se determină cu rețința $Q_{\text{sp}} = Q_{\text{so}} + 0.7 \cdot Q_2$ [Kwh/m³]

REGIMUL TERMIC LA PREPARAREA BETONULUI B 250-L₃-P40-3/

| UMIDITATEA AGREGATELOR (U) | | | | | | | | | | | | |
|----------------------------|-----------|------------|-------------|-----------|------------|-------------|-----------|------------|-------------|-----------|------------|-------------|
| θ_p °C | 1% | | | 2% | | | 3% | | | 4% | | |
| | 0°C °C | -5°C °C | -10°C °C |
| 5 | 10,0 | 11,7 | 13,0 | 10,0 | 10,0 | 10,6 | 15,0 | 17,0 | 14,2 | 12,6 | 11,4 | 11,4 |
| 6 | 12,2 | 13,9 | 15,7 | 12,9 | 12,5 | 12,5 | 19,5 | 21,5 | 19,4 | 17,0 | 16,5 | 16,8 |
| 7 | 16,2 | 17,9 | 19,7 | 20,1 | 21,9 | 22,0 | 24,0 | 26,0 | 24,5 | 22,0 | 21,0 | 23,9 |
| 8 | 20,1 | 21,9 | 23,7 | 24,1 | 25,9 | 27,7 | 26,5 | 30,4 | 29,6 | 26,0 | 26,0 | 29,1 |
| 9 | 24,1 | 25,9 | 27,7 | 28,1 | 29,9 | 30,9 | 32,9 | 34,9 | 34,8 | 34,8 | 31,9 | 34,2 |
| 10 | 28,1 | 30,7 | 32,7 | 32,1 | 33,9 | 35 | 37,4 | 39,4 | 39,5 | 39,9 | 37,0 | 39,3 |
| 11 | 32,1 | 33,9 | 35,7 | 32,7 | 32,7 | 35,7 | 39,9 | 41,9 | 43,9 | 45,0 | 42,2 | 44,5 |
| 12 | 36,1 | 37,9 | 39,7 | 36,1 | 36,1 | 43,6 | 44,4 | 46,3 | 48,3 | 50,2 | 47,3 | 49,0 |
| 13 | 40,1 | 41,9 | 43,6 | 40,1 | 40,1 | 45,9 | 48,8 | 50,8 | 52,8 | 55,3 | 52,4 | 54,7 |
| 14 | 44,1 | 45,9 | 47,6 | 44,1 | 44,1 | 49,8 | 51,6 | 53,3 | 55,3 | 57,6 | 55,3 | 59,9 |
| 15 | 48,1 | 49,8 | 51,6 | 48,1 | 48,1 | 53,6 | 55,3 | 57,3 | 59,3 | 62,7 | 60,0 | 63,0 |
| 16 | 52,1 | 53,8 | 55,6 | 52,1 | 52,1 | 59,6 | 61,3 | 63,0 | 65,0 | 67,8 | 65,0 | 70,0 |
| 17 | 56,0 | 57,8 | 59,6 | 56,0 | 56,0 | 62,3 | 64,2 | 66,2 | 68,2 | 70,0 | 68,2 | 70,0 |
| 18 | 60,0 | 61,8 | 63,6 | 60,0 | 60,0 | 67,6 | 68,7 | 70,0 | 72,0 | 74,0 | 70,0 | 74,0 |
| 19 | 64,0 | 65,8 | 67,6 | 64,0 | 64,0 | 69,6 | 71,4 | 73,2 | 75,2 | 77,0 | 73,0 | 77,0 |
| 20 | 68,0 | 69,6 | 71,4 | 68,0 | 68,0 | 76,6 | 78,4 | 80,2 | 82,2 | 84,0 | 80,0 | 84,0 |
| 21 | 72 | 75 | 78 | 72 | 72 | 83 | 87 | 90 | 94 | 97 | 93,0 | 97,0 |
| 22 | 75 | 79 | 83 | 75 | 75 | 80,0 | 87 | 91 | 94 | 97 | 94,5 | 98,0 |
| 23 | 79 | 92 | 10,0 | 79 | 79 | 10,0 | 10,3 | 11,9 | 13,5 | 14,5 | 13,0 | 14,5 |
| 24 | 10,9 | 10,9 | 12,6 | 10,9 | 10,9 | 12,6 | 12,6 | 13,5 | 15,2 | 16,2 | 15,0 | 16,2 |
| 25 | 12,6 | 12,6 | 14,3 | 12,6 | 12,6 | 14,3 | 14,3 | 15,2 | 17,0 | 18,0 | 16,8 | 18,0 |
| 26 | 14,3 | 14,3 | 14,3 | 14,3 | 14,3 | 14,3 | 14,3 | 14,3 | 14,3 | 14,3 | 14,3 | 14,3 |
| Q_{sp} m^3 | -0,15 | 2,40 | 4,95 | 1,70 | 1,70 | 4,35 | 4,35 | 4,95 | 6,95 | 3,70 | 6,40 | 9,05 |

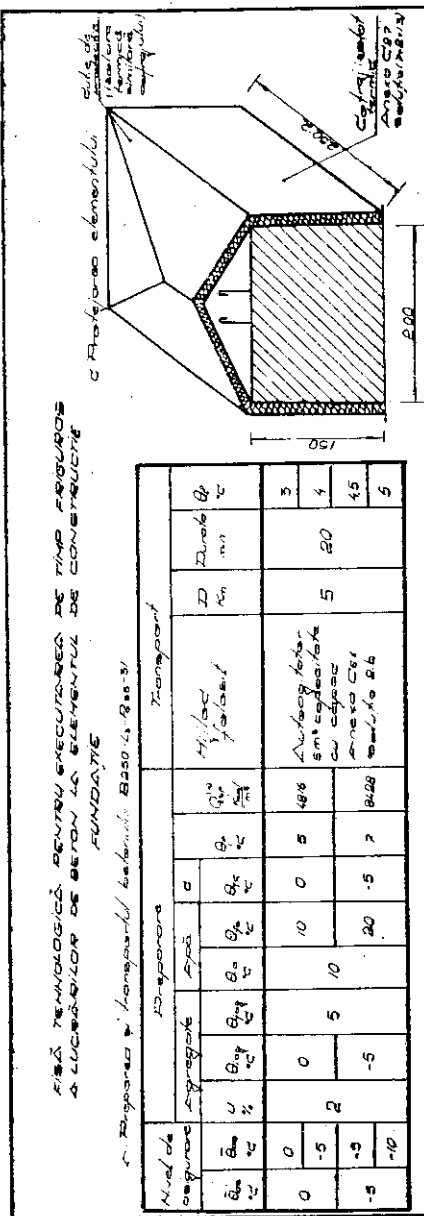
Consumul specific la prepararea betonului se determină cu rețință: $Q_{sp} = Q_{sp} + 0,77 Q_p + 0,77 Q_f [kWh/m^3]$

REGIMUL TERMIC LA PREPARAREA BETONULUI B 300-L₃-P40-3/

| UMIDITATEA AGREGATELOR (U) | | | | | | | | | | | | |
|----------------------------|-----------|------------|-------------|-----------|------------|-------------|-----------|------------|-------------|-----------|------------|-------------|
| θ_p °C | 1% | | | 2% | | | 3% | | | 4% | | |
| | 0°C °C | -5°C °C | -10°C °C |
| 5 | 10,0 | 12,0 | 12,7 | 10,0 | 10,0 | 10,7 | 14,9 | 17,1 | 12,6 | 12,6 | 11,5 | 12,0 |
| 6 | 13,0 | 15,5 | 17,0 | 13,0 | 13,0 | 17,0 | 21,3 | 21,3 | 13,9 | 13,9 | 16,4 | 16,8 |
| 7 | 17,6 | 21,4 | 23,3 | 17,6 | 17,6 | 21,2 | 23,4 | 25,6 | 23,5 | 23,5 | 21,2 | 23,7 |
| 8 | 21,4 | 25,2 | 27,1 | 21,4 | 21,4 | 25,5 | 27,6 | 29,8 | 28,5 | 28,5 | 26,1 | 28,6 |
| 9 | 23,2 | 29,7 | 30,9 | 23,2 | 23,2 | 30,9 | 34,9 | 38,3 | 38,3 | 38,3 | 31,0 | 33,4 |
| 10 | 29,0 | 32,7 | 34,7 | 29,0 | 29,0 | 36,1 | 40,4 | 42,5 | 42,5 | 42,5 | 35,0 | 38,3 |
| 11 | 30,8 | 36,5 | 38,5 | 30,8 | 30,8 | 42,2 | 44,6 | 46,8 | 46,8 | 46,8 | 43,2 | 47,0 |
| 12 | 34,0 | 40,3 | 44,1 | 34,0 | 34,0 | 46,0 | 49,8 | 50,9 | 50,9 | 50,9 | 45,6 | 50,5 |
| 13 | 39,4 | 44,1 | 47,9 | 39,4 | 39,4 | 52,2 | 55,6 | 57,3 | 57,3 | 57,3 | 52,6 | 57,6 |
| 14 | 42,2 | 47,9 | 51,7 | 42,2 | 42,2 | 54,0 | 59,6 | 61,6 | 61,6 | 61,6 | 56,3 | 59,9 |
| 15 | 45,9 | 52,5 | 55,4 | 45,9 | 45,9 | 58,7 | 63,7 | 63,7 | 63,7 | 63,7 | 58,7 | 62,6 |
| 16 | 49,7 | 55,4 | 59,2 | 49,7 | 49,7 | 61,1 | 65,9 | 67,9 | 67,9 | 67,9 | 62,5 | 65,5 |
| 17 | 53,5 | 59,2 | 63,0 | 53,5 | 53,5 | 64,9 | 69,8 | 70,0 | 70,0 | 70,0 | 67,4 | 69,9 |
| 18 | 57,3 | 63,0 | 66,9 | 57,3 | 57,3 | 68,7 | 73,6 | 75,8 | 75,8 | 75,8 | 71,2 | 75,3 |
| 19 | 61,1 | 66,9 | 70,7 | 61,1 | 61,1 | 70,7 | 75,8 | 78,0 | 78,0 | 78,0 | 73,0 | 77,0 |
| 20 | 64,9 | 66,9 | 70,0 | 64,9 | 64,9 | 70,0 | 75,8 | 78,0 | 78,0 | 78,0 | 73,0 | 77,0 |
| 21 | 68,6 | 70,0 | 70,0 | 68,6 | 68,6 | 70,0 | 75,8 | 78,0 | 78,0 | 78,0 | 73,0 | 77,0 |
| 22 | 6,1 | 7,9 | 7,0 | 6,1 | 6,1 | 7,0 | 9,2 | 10,1 | 10,1 | 10,1 | 12,1 | 12,1 |
| 23 | 7,9 | 7,0 | 6,8 | 7,9 | 7,9 | 6,8 | 10,1 | 10,1 | 10,1 | 10,1 | 13,2 | 13,2 |
| 24 | 70 | 9,6 | 10,5 | 70 | 70 | 10,5 | 12,5 | 14,2 | 14,2 | 14,2 | 15,3 | 15,3 |
| 25 | 11,4 | 13,1 | 14,9 | 11,4 | 11,4 | 14,9 | 15,8 | 17,5 | 17,5 | 17,5 | 18,6 | 18,6 |
| Q_{sp} m^3 | -0,15 | 2,35 | 4,85 | 4,85 | 4,85 | 4,85 | 4,75 | 4,35 | 4,35 | 4,35 | 3,85 | 3,85 |

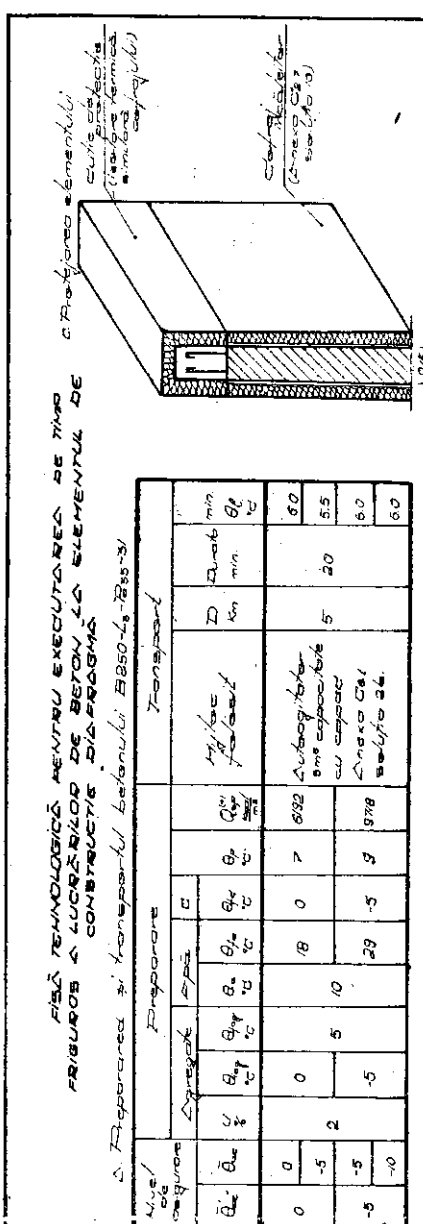
Consumul specific la prepararea betonului se determină cu rețință: $Q_{sp} = Q_{sp} + 0,77 Q_p + 0,77 Q_f [kWh/m^3]$

ANEXA C_a.1



164

ANEXA C_a.2



165

ANEXA D

PROIECTAREA REGIMURILOR TERMICE PENTRU EXECUTAREA LUCRĂRII DE BETON PE TEMP FRIGUROS

Proiectarea regimului termic la maturizarea critică a betonului constă în stabilirea condițiilor de timp și de temperatură necesare pentru atingerea gradului critic de maturizare înainte de coborârea temperaturii acestuia sub temperatură de ingheț, concomitent cu evidențierea măsurilor prin care se asigură realizarea acestor condiții.

1. Evaluarea parametrilor ce caracterizează betonul

1.1. Betonul pus în operă pe temp friguros se caracterizează prin:

- compoziție: raport A/C; dozaj ciment, C, în Kg/m³;
- gradul critic de maturizare M_k , în °C;
- modulul intensității de degajare a exotermiei $\bar{P}_{sex\ K}$, în W/m³K.

1.2. Gradul de maturizare critic M_k se determină pentru fiecare compozitie de beton în funcție de felul cimentului folosit și de raportul A/C (Anexa B, pct. 1.1); pentru cimenturile Pa 35 și P 40 se vor utiliza datele din anexa D_{1.1}.

1.3. Modulul intensității de degajare a exotermiei cimentului, $\bar{P}_{sex\ K}$, se determină pentru fiecare compozitie de beton, cu relația:

$$\bar{P}_{sex\ K} = \frac{\beta_K}{100} \frac{CE_{28}}{M_k} \quad (1.1)$$

unde: β_K este nivelul de întărire exprimat în procente din rezistență la 28 zile, R_{28} , la temperatura normală +20°C;

M_k — gradul de maturizare critic, în °C;

C — dozajul de ciment, în Kg/m³;

E_{28} — exotermia totală a cimentului, la temperatura normală +20°C, în Wh/Kg (valorile exprimate în Kcal/Kg se multiplică cu 1,163 iar cele în KJ/Kg cu 0,278).

1.4. Exemplu de calcul: B 250-L₃-Pa 35-31; A/C = 0,57;

$$C = 325 \text{ Kg/m}^3$$

$$\text{Anexa D}_{1.1}: M_k = \frac{1280 + 1340}{2} = 1310 \text{ h}^\circ\text{C};$$

$$\beta_K = \frac{29,8 + 30,8}{2} = 30,3\%; \quad E_{28} = 65 \text{ Wh/kg}$$

$$\bar{P}_{sex\ K} = \frac{30,3}{100} \frac{325 \times 65}{1310} = 4,886 \text{ W/m}^3$$

2. Evaluarea parametrilor ce caracterizează elementul de construcție din punct de vedere al masivității și al nivelului de protecție termică

Masivitatea și nivelul de protecție al elementului de construcție se evidențiază prin parametrii:

— raportul M_s/R_s , în W/m³K;

în care:

M_s — este modulul de suprafață, în m⁻¹;

R_s — rezistență termică medie a protecției, inclusiv cea a betonului (între zona în care se înregistrează temperatura medie θ și temperatura aerului exterior, θ_{ae}), în m²K/W;

— coeficientul K_b — de corelare între temperatura medie a betonului θ , într-o secțiune a elementului de construcție și temperatura pe suprafață cea mai rece;

— coeficientul K_s — de corelare între temperatura sursei de căldură θ_s și temperatura medie a betonului într-o secțiune (numai în cazul încălzirii betonului după punerea în operă).

Modulul de suprafață

2.1. Modulul de suprafață M_s este raportul între suprafață prin care elementul de construcție face schimb de căldură cu mediul (aerul) exterior sau cu mediul înălțitor și volumul său. Modulii de suprafață se evaluatează separat pentru fiecare dintre suprafețele ce limitează elementul de beton, în vederea corelarilor cu rezistențele termice, care pot fi diferite.

a. Lîndu-se în considerare un sistem de trei axe de coordonate, normale între ele: $j = x; y; z$ (fig. 2.1) se scriu relațiile:

$$M'_{sj} = \frac{S'_j}{V} = M''_{sj} = \frac{S''_j}{V} \quad (2.1)$$

în care:

$S'_j; S''_j$ sint suprafețele opuse, normale pe direcția j și egale între ele, în m²

— volumul elementului de construcție, în m³.

b. Schimbul de căldură între elementul de construcție și mediu se poate efectua:

— pe ambele fețe $S'_j; S''_j$ normale pe direcția j , rezultind două fluxuri termice de sens contrar, $n_j = 2$;

— numai pe una din fețe S'_j , deoarece cealaltă S''_j se află în contact cu un corp cu rezistență termică infinită cum este considerat terenul de fundare dezghețat; rezultă $n_j = 1$;

— pe nici una din fețe, în cazul în care suprafețele $S'_j; S''_j$ separă o porțiune din elementul de construcție de restul acestuia, având aceeași temperatură; rezultă $n_j = 0$.

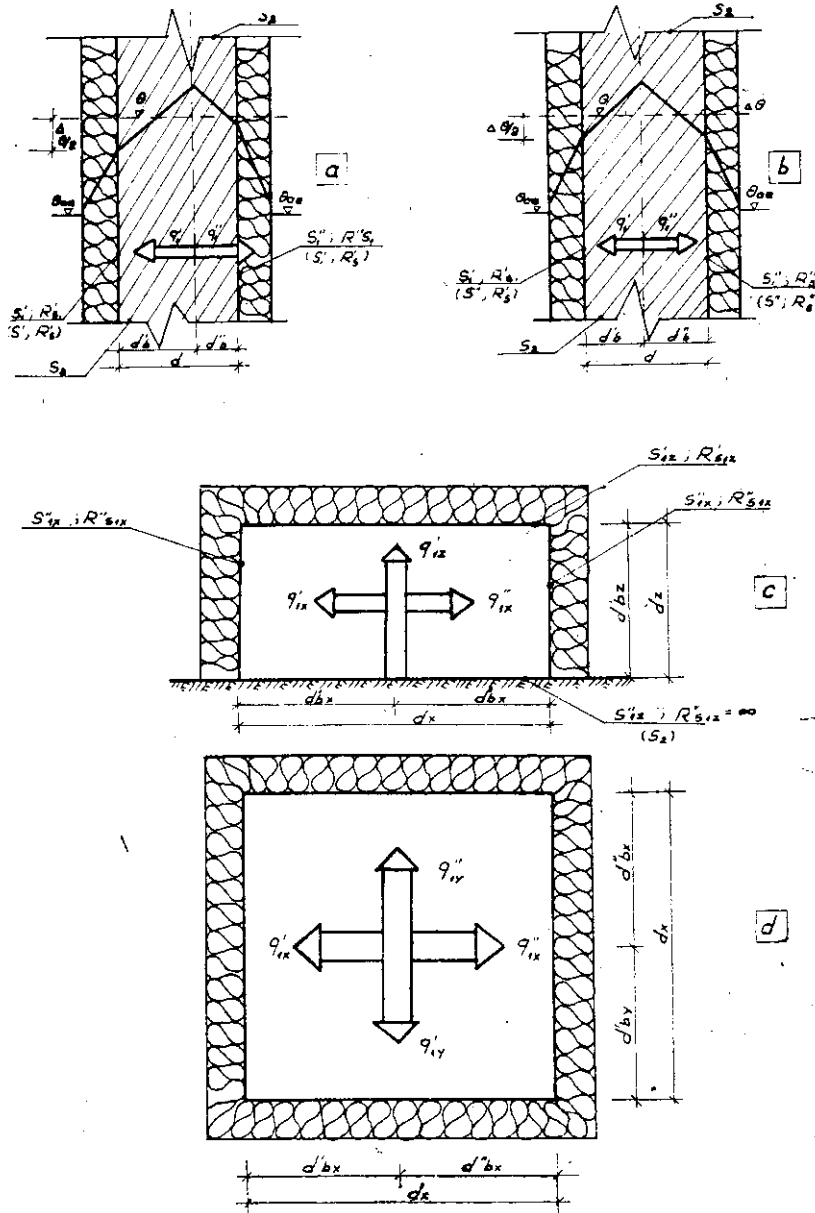


Fig. 2.1. Fluxuri termice și variația temperaturii în secțiunea elementului de beton la metoda conservării căldurii
a: $R_{s1}' < R_{s1}''$; b: $R_{s1}' = R_{s1}''$; c secțiune; d: plan

Corespunzător direcției j , modulul de suprafață este:

$$M_{sj} = \frac{n_j S'_j}{V} \quad (2.2)$$

în care:

n_j este numărul de suprafețe normale pe direcția j , pe care se face schimb de căldură; respectiv numărul de fluxuri termice pe direcția j ; ($n_j = 2$; 1 sau 0)

Modulul de suprafață total se determină cu expresia:

$$M_s = \sum M_{sj} = M_{sx} + M_{sy} + M_{sz} \quad (2.3)$$

Rezistențe termice de bază și optimizarea lor

2.2. Rezistența termică de bază \bar{R}_{sj} a soluției prin care este protejat betonul din elementul de construcție, sau sursa de căldură, pe suprafață S_j se evaluează cu relația:

$$\bar{R}_{sj} = \sum \frac{d_k}{b_k \cdot \lambda_k} \quad (2.4)$$

în care:

d_k este grosimea stratului, k , în m;

λ_k — coeficientul de conductivitate termică a materialului din stratul k , în W/mK;

b_k — coeficientul de calitate al izolației termice din stratul k .

În unele cazuri în care rezistența termică pe o suprafață S_j este variabilă pe porțiunile S_{jl} , este necesar să se calculeze o rezistență termică medie:

$$\bar{R}_{sj} = \frac{\sum S_{jl}}{\sum \frac{S_{jl}}{\bar{R}_{sjl}}} \quad (2.5)$$

în care :

\bar{R}_{sjl} sunt rezistențele termice calculate cu (2.4) pe porțiunile de suprafețe S_{jl} .

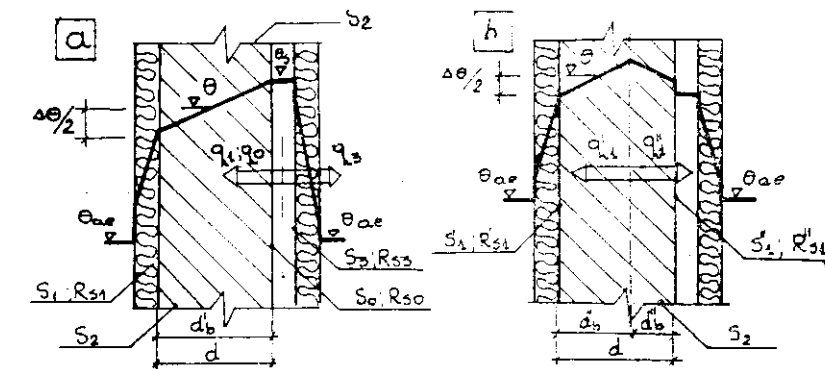
2.3. Suprafețele S_j' ; S_j'' ce mărginesc un element de construcție îndeplinește funcțiuni diferite, în funcție de metoda folosită pentru maturizarea critică a betonului; în vederea evidențierii acestor funcțiuni se notează (fig. 2.2):

S_0 — suprafețele ce separă elementul de construcție de o sursă de căldură exterioară (dacă există), în m^2 ;

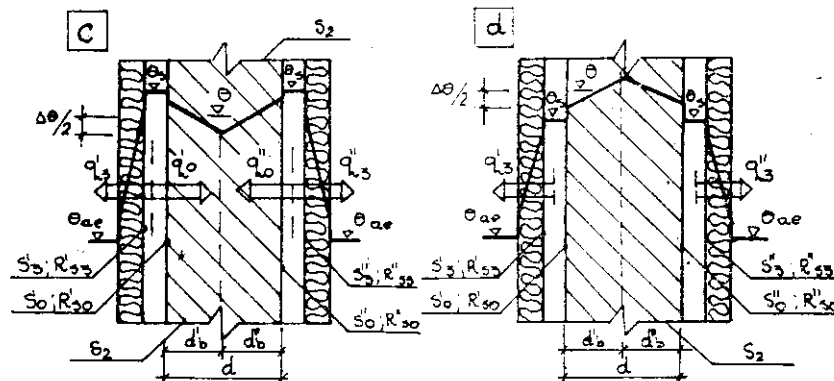
S_1 — suprafețele ce separă elementul de construcție de aerul exterior, în m^2 ;

S_2 — suprafețele pe care nu se face schimb de căldură, în m^2 ;

S_3 — suprafețele ce separă sursa de căldură (dacă există) de aerul exterior, în m^2 .



Incălzire pe o fază: a - perioada de incălzire; b - perioada de răcire



Incălzire pe două faze: c; d - perioada de incălzire

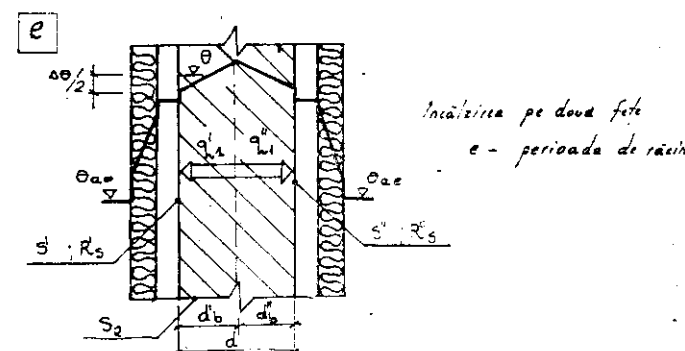


Fig. 2.2. Fluxuri termice și variația temperaturii în secțiunea de beton la incălzirea după turnare.

2.4. Fiecarei suprafețe de tip $S_0 \dots S_3$ îi corespunde o rezistență termică care se evaluatează cu relațiile:

$$R_{s0} = \bar{R}_{s0} + R_i \quad (2.6)$$

$$R_{s1} = \bar{R}_{s1} + R_e \quad (2.7)$$

$$R_{s2} = \infty \quad (2.8)$$

$$R_{s3} = R_i + \bar{R}_{s3} + R_e \quad (2.9)$$

unde: $R_{s0}, R_{s1}, R_{s2}, R_{s3}$ sunt rezistențele termice ale protecției pe suprafețele S_0, S_1, S_2, S_3 definite la pct. 2.3. în $\text{m}^2\text{K}/\text{W}$; $\bar{R}_{s0}, \bar{R}_{s1}, \bar{R}_{s3}$ sunt rezistențele termice de bază ale protecției de pe suprafețele S_0, S_1, S_3 evaluate cu relația (2.4) sau eventual (2.5), în $\text{m}^2\text{K}/\text{W}$;

R_i — rezistență la transfer termic pe suprafețele în contact cu mediul încălzitor, în $\text{m}^2\text{K}/\text{W}$;

R_e — rezistență la transfer termic pe suprafețele în contact cu aerul exterior, în $\text{m}^2\text{K}/\text{W}$.

Rezistențele termice $\bar{R}_{s0}, \bar{R}_{s1}, \bar{R}_{s3}; R_i; R_e$ pentru unele cazuri uzuale sunt date în Anexa D₂₋₁.

2.5. În vederea realizării unor regimuri termice optime rezistențele de bază \bar{R}_s trebuie să îndeplinească condiții diferențiate corelate cu funcțiunile suprafețelor respective și anume:

$$\bar{R}_{s0} = \text{minim} \quad (2.10)$$

$$R_{min} \leq \bar{R}_{s1} \text{ și } \bar{R}_{s3} \leq R_{max} \quad (2.11)$$

unde: R_{min} este valoarea rezistenței termice pentru care sumă costurilor izolațiilor termice și energiei consumate este minimă;

R_{max} — rezistență termică ce corespunde consumului minim de energie.

Valoarea R_{min} , exprimată în $\text{m}^2\text{K}/\text{W}$, se evaluatează cu relațiile:

$$R_{min} = \sqrt{\frac{n \cdot c_e \cdot N}{p \cdot \lambda}} \quad (2.12)$$

$$N = (0 - \theta_{se}) / t \quad (2.13)$$

unde: n este numărul de reutilizări ale izolației termice;

c_e — costul unității energetice consumate, în lei/Wh;

p — costul unitar al izolației termice, în lei/ m^3 ;

λ — coeficientul de conductivitate al izolației termice, în $\text{W}/(\text{m}\text{K})$;

θ — temperatura betonului, în $^{\circ}\text{C}$;

θ_{se} — temperatura aerului, în $^{\circ}\text{C}$;

t — durată pe care este menținută izolația termică, în h.

Valoarea $R_{max} = 1,9 \text{ m}^2\text{K/W}$ corespunzătoare consumului de energie minim este constantă și rezultă din condiția că sporirea izolației termice este nesemnificativă pentru reducerea consumului de energie.

Parametrii R_{min} și R_{max} rezultă în $\text{m}^2\text{h}^\circ\text{C}/\text{Kcal}$ dacă λ se exprimă în $\text{Kcal}/\text{mh}^\circ\text{C}$.

Materialele optime pentru a fi utilizate la izolarea termică a elementelor de construcție se recunosc prin valori reduse ale intervalului $R_{max} - R_{min}$.

Rezistențele termice R_{min} ale unor materiale termoizolatoare uzuale, cu valori particulare $N = 1800 \text{ h}^\circ\text{C}$; $c_e = 250 \text{ lei}/\text{Gcal}$ și valori variabile ale numărului n de folosiri sunt date în Anexa D_{2.2}.

Pentru alte materiale caracterizate prin valori variabile ale tuturor parametrilor p ; λ ; c_e și d (grosimea stratului) cu excepția valorii $N = 1800 \text{ h}^\circ\text{C}$, care rămîne constantă, se poate evalua rezistența termică R_{min} folosind graficul din Anexa D_{2.3}.

Rezistență termică a betonului

2.6. Fluxurile termice ce traversează un element de construcție întărită și rezistență termică a betonului a cărei valoare totală, pe o direcție j , normală pe suprafetele S'_j ; S''_j , ce-l limitează, se evaluatează cu relația:

$$R_{bj} = \frac{d_j}{b \cdot \lambda_b} = \frac{d_j}{2,088} \quad (2.14)$$

unde: R_{bj} este rezistența termică totală a unui element de beton, pe direcția j ;
 d_j — grosimea elementului de beton pe direcția j , în m ;
 $\lambda_b = 1,74 \text{ m}^2\text{K/W}$ — conductivitatea termică a betonului;
 $b = 1,2$ — coeficient de sporire a conductivității termice datorită umidității marii a betonului proaspăt.

Rezistențele termice totale și parametrii K_b , M_s/R_s în metoda conservării căldurii

2.7. În metoda conservării căldurii iau naștere pe fiecare din direcțiile j , fluxuri termice egale și de sens contrar care întărindă în beton rezistențe termice a căror valoare depinde de nivelurile de protecție $R'_{sj} = R'_{sjj}$; $R''_{sj} = R''_{sjj}$, de pe cele două fețe opuse (fig. 2.1).

Dacă se notează:

$$\Delta R_{sj} = R''_{sj} - R'_{sj} \geq 0 \quad (2.15)$$

rezultă:

$$R'_{bj} = \frac{R_{bj}}{2} + \frac{\Delta R_{sj}}{2} \leq R_{bj} \quad (2.16)$$

$$R''_{bj} = R_{bj} - R'_{bj} \quad (2.17)$$

unde: R_{bj} este rezistența termică totală în beton, evaluată cu relația (2.14);
 R'_{sj} ; R''_{sj} — rezistențele termice de tip R_{sj} (pct. 2.4) pe suprafetele opuse S'_j ; S''_j normale pe direcția d_j .

Rezistențele termice totale întărite de fluxurile termice între zona în care temperatura în beton are o valoare medie, θ , și aerul exterior pe cele două sensuri ale direcției j , sint:

$$(R_s)_j = R'_{sj} + \frac{R'_{bj}}{2} \quad (2.18)$$

$$(R_s)''_j = R''_{sj} + \frac{R''_{bj}}{2} \quad (2.19)$$

2.8. Raportul M_s/R_s se determină prin insumarea rapoartelor parțiale determinate pentru fiecare direcție și sens a fluxurilor tehnologice.

$$\begin{aligned} \frac{M_s}{R_s} &= \sum_{j=x}^z \left(\frac{M_s}{R_s} \right)_j = \sum_{j=x}^z \left[\left(\frac{M_s}{R_s} \right)'_j + \left(\frac{M_s}{R_s} \right)''_j \right] = \\ &= \sum_{j=x}^z \left(\frac{M'_{sj}}{R'_{sj} + \frac{R'_{bj}}{2}} + \frac{M''_{sj}}{R''_{sj} + \frac{R''_{bj}}{2}} \right); \end{aligned} \quad (2.20)$$

în care:

$(M_s/R_s)_j$ este raportul M_s/R_s pe direcția $j = x; y; z$, în $\text{W/m}^2\text{K}$;
 $(M_s/R_s)'_j$; $(M_s/R_s)''_j$ — rapoartele determinate pentru fiecare din cele două sensuri opuse ale fluxurilor termice pe direcția j .

Valori $(M_s/R_s)_j$ sau $(M_s/R_s)'_j$; $(M_s/R_s)''_j$ în funcție de d_j și R_{sj} se pot obține direct din Anexele C_{2.4} ... C_{2.6}.

2.9. Coeficientul K_b , necesar pentru evaluarea temperaturii betonului pe suprafață cea mai rece se determină separat pentru fiecare direcție j și porțiunea elementului de construcție pe care dimensiunea transversală a elementului d_j este constantă, folosind relația:

$$K_{bj} = \frac{R'_{bj}/2}{R'_{sj} + R'_{bj}/2} = \frac{R'_{bj}}{2R'_{sj} + R'_{bj}} \quad (2.21)$$

în care:

R'_{bj} este rezistența termică a betonului determinată cu (2.16) pentru fiecare porțiune din elementul de construcție pentru care dimensiunea transversală d_{ji} este constantă.

Coefficientul K_b este cea mai mică dintre valorile calculate cu (2.21), adică:

$$K_b = \min K_{bj} \quad (2.22)$$

Valorile coeficienților K_{bj} în funcție de dimensiunile transversale d_{ji} și rezistențele termice R'_{sj} sunt date în anexele D_{2.4}; D_{2.5}.

Rezistențele termice totale și parametrii $K_b M_s/R_s$ și K_s în metoda încălzirii după turnare

2.10. Parametrii K_b și M_s/R_s se determină în același mod ca și pentru metoda conservării căldurii (pct. 2.7; 2.8 și 2.9) cu mențiunea că parametrii R'_{sj} și R''_{sj} se stabilesc în modul următor:

a. Dacă elementul de construcție este încălzit pe o singură parte (fig. 2.2 a și b), se notează îninind seama de (2.15).

$$R'_{sj} = R_{s1j} \text{ și } R''_{sj} = R_{s0j} + R_{s3j} \frac{S_0}{S_3} \quad (2.23)$$

sau:

$$R'_{sj} = R_{s0j} + R_{s3j} \frac{S_0}{S_3} \text{ și } R''_{sj} = R_{s1j} \quad (2.24)$$

unde: S_0 reprezintă suprafața totală a elementului sau elementelor încălziți de la aceeași sursă de căldură, în m^2 ;

S_3 — suprafața totală ce separă sursa de căldură de aerul exterior.

b. Dacă elementul de construcție este încălzit pe două fețe (fig. 2.2. c, d și e):

$$R'_{sj} = R''_{sj} = R_{s0j} + R_{s3j} \frac{S_0}{S_3} \quad (2.25)$$

unde: S_0 și S_3 au aceeași semnificație ca la pct. a, relațiile (2.23) și (2.24).

2.11. Parametrul K_s , necesar pentru evaluarea puterii și consumului specific se evaluatează cu relația:

$$K_s = 1 + \frac{R_{s0} + R_b/2}{R_{s3} \frac{S_0}{S_3}} \quad (2.25)$$

Valori K_s în funcție de $(R_{s0} + R_b/2)$ și $R_{s3} S_0 / S_3$ se pot obține din Anexa D_{2.6}.

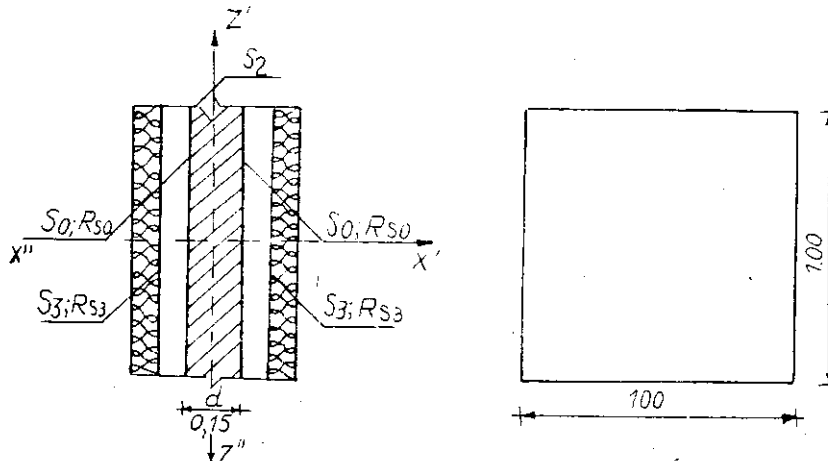


Fig. 2.3. Diafragmă încălzită pe două fețe în cofraje încălzitoare:
a — secțiune verticală prin tronsonul de 1,00 m; b — vedere laterală

2.12. Exemple de calcul:

a. Element de construcție diafragmă cu grosimea constantă $d_b = 0,15$ m, cofrată cu cofraje încălzitoare (fig. 2.3) care nu sunt racordate la o sursă de căldură exterioară, conținu-se numai pe izolare termică a lor.

Din tabelul D_{2.1}, pct. 10 rezultă pentru protecția sursei de căldură o rezistență termică de bază $R_s = 0,857 \text{ m}^2 \text{K/W}$. Din alcătuirea cofrajului rezultă că între protecție și plinul acestuia, din tablă, este inclus un strat de aer neventilat (tabel D_{2.1}, pct. 11 b). Se obține: rezistență termică de bază:

$$\bar{R}'_{s1} = 0,857 + 0,160 = 1,017 \text{ m}^2 \text{K/W}$$

Îninind seama de relațiile (2.7) și (2.14) ... (2.17):

$$R_{s1} = R'_s = R''_s = \bar{R}'_{s1} + R_i = 1,017 + 0,043 = 1,060 \text{ m}^2 \text{K/W}$$

$$R_b = R_{bj} = \frac{0,15}{1,2 \cdot 1,74} = 0,072 \text{ m}^2 \text{K/W}$$

$$R'_b = R''_b = \frac{R_b}{2} = \frac{0,072}{2} = 0,036 \text{ m}^2 \text{K/W}$$

Pentru evaluarea raportului M_s/R_s se separă în zona centrală a diafragmei o porțiune de 1 m^2 , mărginită pe contur cu suprafețele de tip S_2 , prin care nu se face schimb de căldură (nu există diferență de temperatură).

Tinind seama de relațiile (2.2) și (2.18) ... (2.20) se determină:

$$\frac{M_s}{R_s} = \frac{2 \times 1,00 \times 1,00}{1,00 \times 1,00 \times 0,15} \times \frac{1}{1,060 + 0,036 : 2} = 12,4 \text{ W/m}^3\text{K}$$

Cu relația (2.21) se determină:

$$K_b = \frac{0,036 : 2}{1,060 + 0,036 : 2} = 0,017$$

b. Element de construcție stilp (fig. 2.4) cu secțiunea $0,40 \times 0,45$ m cofrat cu panouri din placaj F, izolate termic cu 5 cm de pislă minerală tabel D_{2.1}, pct. 7). Ansamblul este acoperit cu o prelată de pînză de 3 mm (tabel D_{2.1}, pct. 2) ce închide între ea și cofraj un strat de aer vertical, neventilat, de minimum 5 cm (tabel D_{2.1}, pct. 11 c), rezultă:

$$R'_{s1x} = R''_{s1x} = R'_{s1y} = R''_{s1y} = 0,863 + 0,043 = 0,906 \text{ m}^2 \text{ K/W}$$

Pentru evaluarea raportului M_s/R_s se separă în zona centrală a stilpului un tronson de 1 m înălțime limitat de suprafețe de tip S₂ prin care nu se face schimb de căldură (deoarece nu există diferență de temperatură).

Cu relațiile (2.14) ... (2.17):

$$R'_{bx} = R''_{bx} = \frac{R_{bx}}{2} = \frac{0,54}{2 \times 2,088} = 0,108 \text{ m}^2 \text{ K/W}$$

$$R'_{by} = R''_{by} = \frac{R_{by}}{2} = \frac{0,40}{2 \times 2,088} = 0,096 \text{ m}^2 \text{ K/W}$$

Cu relațiile (2.2) și (2.18) ... (2.20):

$$\frac{M_s}{R_s} = \frac{2}{0,45 (0,906 + 0,108 : 2)} + \frac{2}{0,40 (0,906 + 0,096 : 2)} = 9,87 \text{ W/m}^3\text{K}$$

Cu relațiile (2.21); (2.22):

$$K_{bx} = \frac{0,054}{0,906 + 0,054} = 0,056; \quad K_{by} = \frac{0,084}{0,906 + 0,048} = 0,050$$

$$K_b = 0,050$$

c. Element de construcție: fundație (fig. 2.5), cofrată cu panouri din placaj F, izolate termic cu 5 cm de pislă minerală (tabel D_{2.1}, pct. 7). Aceste tip de panouri sunt utilizate și pentru protejarea betonului la partea superioară. Ansamblul este acoperit cu prelată de 3 mm (tabel D_{2.1}, pct. 2) ce închide între ea și cofraj un spațiu de aer neventilat orizontal de 5 cm (tabel D_{2.1}, pct. 12 c), iar vertical variind între 5 și 15 cm (tabel D_{2.1}, pct. 11 e).

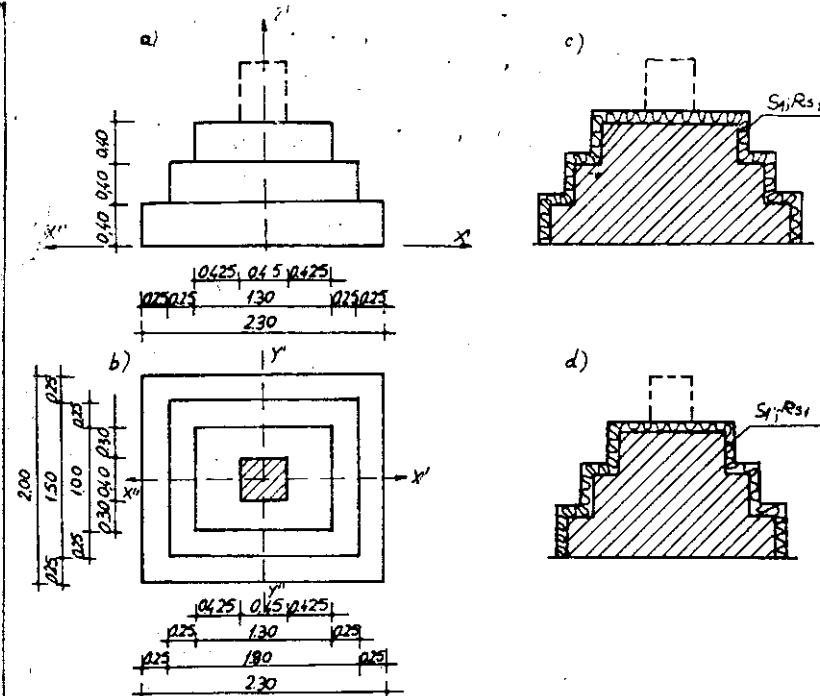


Fig. 2.4. Stilp tratat prin metoda conservării căldurii:
a - secțiune orizontală;
b - secțiune orizontală prin stilpul izolat termic;
c - secțiune verticală prin tronsonul de 1,00 m înălțime, izolat termic

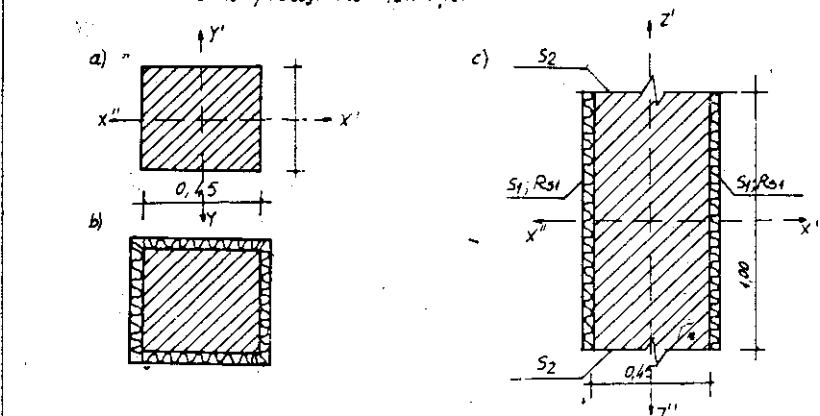


Fig. 2.5 Fundație tratată termic prin metoda conservării căldurii:
a - vedere laterală;
b - vedere în plan;
c - protejarea fundației

Rezistențele termice de bază, pe cele trei direcții $j = x; y; z$:

$$\bar{R}_{S1x} = \bar{R}_{S1y} = \bar{R}_{S1z} = 0,653 + 0,030 + 0,160 = 0,843 \text{ m}^2 \text{ K/W}$$

Relația (2.7):

$$R'_{S1x} = R''_{S1x} = R'_{S1y} = R''_{S1y} = R'_{S1z} = R''_{S1z} = R_{S1} = 0,843 + 0,043 = 0,886 \text{ m}^2 \text{ K/W}$$

$R''_{S1z} = \infty$ (teren dezghețat, nu se face schimb de căldură)

Suprafețele corespunzătoare și volumul fundației:

$$\text{Normale pe direcția } x: 1,00 \times 0,40 = 0,40 \text{ m}^2$$

$$1,50 \times 0,40 = 0,60 \text{ m}^2$$

$$2,00 \times 0,40 = 0,80 \text{ m}^2$$

$$\text{Normale pe direcția } y: 1,30 \times 0,40 = 0,52 \text{ m}^2$$

$$1,80 \times 0,40 = 0,72 \text{ m}^2$$

$$2,30 \times 0,40 = 0,92 \text{ m}^2$$

$$\text{Normale pe direcția } z: 1,30 \times 1,00 = 1,30 \text{ m}^2$$

$$1,80 \times 1,50 = 1,30 \times 1,00 = 1,40 \text{ m}^2$$

$$2,30 \times 2,00 = 1,80 \times 1,50 = 1,90 \text{ m}^2$$

$$V = (1,3 \times 1,0 + 1,8 \times 1,5 + 2,3 \times 2,0)0,40 = 3,44 \text{ m}^3$$

În continuare calculele se organizează în tabel.

| Direcția j | d_{bj} m | S'_{1j} | S''_{1j} | R_{bj} | R'_{bj} | R''_{bj} | $R'_{S1j} +$ | $R''_{S1j} +$ | Col. 3 Col. 8 | Col. 4 Col. 9 | K_{bj} Col. 6 2 Col. 8 |
|--------------|---------------|-----------|------------|----------|-----------|------------|-------------------------------------|--------------------------------------|------------------|------------------|--------------------------------|
| | | | | | | | $\frac{R'_{S1j}}{R_{bj}}$ + 2 | $\frac{R''_{S1j}}{R_{bj}}$ + 2 | | | |
| 1 | 2 | 3 | 4 | 5 | 6 | 7 | 8 | 9 | 10 | 11 | 12 |
| x | 1,30 | 0,40 | 0,40 | 0,622 | 0,311 | 0,311 | 1,041 | 1,104 | 0,384 | 0,384 | 1,150 |
| | 1,80 | 0,60 | 0,60 | 0,862 | 0,431 | 0,431 | 1,102 | 1,102 | 0,544 | 0,544 | 0,196 |
| | 2,30 | 0,80 | 0,80 | 1,102 | 0,551 | 0,551 | 1,162 | 1,162 | 0,688 | 0,688 | 0,237 |
| y | 1,00 | 0,52 | 0,52 | 0,479 | 0,239 | 0,239 | 1,005 | 1,005 | 0,517 | 0,517 | 0,119 |
| | 1,50 | 0,72 | 0,72 | 0,178 | 0,359 | 0,359 | 1,066 | 1,066 | 0,675 | 0,675 | 0,169 |
| | 2,00 | 0,92 | 0,92 | 0,958 | 0,479 | 0,479 | 1,126 | 1,126 | 0,817 | 0,817 | 0,213 |
| z | 1,20 | 1,30 | — | 0,575 | 0,575 | — | 1,173 | ∞ | 1,108 | — | 0,245 |
| | 0,80 | 1,40 | — | 0,583 | 0,383 | — | 1,078 | ∞ | 1,299 | — | 0,178 |
| | 0,40 | 1,90 | — | 0,192 | 0,192 | — | 0,982 | ∞ | 1,935 | — | 0,098 |
| Σ | | | | | | | 7,967 | 3,625 | | | |

$$\frac{M_S}{R_S} = \frac{7,967 + 3,625}{3,44} = 3,37 \text{ m}^{-1}$$

$$K_b = \min K_{bj} = 0,100$$

d. 1. Elementul de construcție diafragmă cofrată cu cofraje încălzitoare pe două fețe (fig. 2.3), dintre care numai una se racordează la sursa de căldură având ca agent încălzitor abur (fig. 2.2 a).

Conform datelor de la exemplul a:

Pe față neracordată la sursa de căldură.

$$R_{s1} = 1,060 \text{ m}^2 \text{ K/W}$$

$$M_{s1} = \frac{1,00 \times 1,00}{0,15 \times 1,00} = 6,67 \text{ m}^{-1} \text{ (relația 2.1).}$$

Pe față încălzitoare (relațiile 2.6; 2.8)

$$R_{s0} = \bar{R}_{s0} + R_t = 0,00 + 0,004 = 0,004 \text{ m}^2 \text{ K/W}$$

$$R_{s3} = (R_t + \bar{R}_{s3} + R_e) = (0,004 + 0,857 + 0,043) = 0,904$$

$$M_{s0} = \frac{1,00 \times 1,00}{0,15} = 6,67 \text{ m}^{-1}$$

Se notează (conform pct. 2.9. a), relațiile (2.15) și (2.24)

$$R_s = R_{s0} + R_{s3} = 0,004 + 0,904 = 0,908 \text{ m}^2 \text{ K/W}$$

$$R'_s = R''_s = 1,060 \text{ m}^2 \text{ K/W}$$

Relațiile (2.14) ... (2.22) și (2.25).

$$R_b = \frac{0,15}{1,2 \cdot 1,74} = 0,072 \text{ m}^2 \text{ K/W}$$

$$R'_b = \frac{0,072}{2} + \frac{1,060 - 0,908}{2} = 0,148 > R_b = 0,072$$

$$R_b = 0,072; R'_b = 0$$

$$M'_s = M_{s0} = 6,67$$

$$M''_s = M_{s1} = 6,67$$

$$\frac{M_s}{R_s} = \frac{6,67}{0,908 + 0,072/2} + \frac{6,67}{1,060} = 13,4 \text{ W/m}^3 \text{ K}$$

$$K_b = \frac{0,072}{2(0,908 + 0,072/2)} = 0,038$$

$$K_s = 1 + \frac{0,004 + 0,072/2}{0,904} = 1,044$$

e. Elemental de construcție de la pct. d, fig. 2.3 având racordate la sursa de căldură cofrajele de pe ambele fețe (fig. 2.2 c; d):

$$M_s' = M_s'' = M_{s0}' = M_{s0}'' = 6,67 \text{ m}^{-1}$$

$$R_s' = R_s'' = R_{s0} + R_{s3} = 0,004 + 0,904 = 0,908$$

$$R_b = 0,072 \text{ m}^3 \text{ K/W}$$

$$R_b' = R_b'' = \frac{0,072}{2} = 0,036 \text{ m}^2 \text{ K/W}$$

$$\frac{M_s}{R_s} = \frac{2 \times 6,67}{0,908 + 0,036 : 2} = 14,4 \text{ W/m}^3\text{K}$$

$$K_b = \frac{0,036}{2(0,908 + 0,036 : 2)} = 0,019$$

$$K_s = 1 + \frac{0,004 + 0,036 : 2}{0,904} = 1,024$$

3. Evaluarea nivelului de asigurare și a duratelor critice de maturizare

3.1. Nivelul de asigurare se determină conform prevederilor din Anexa A.

3.2. Durata critică de maturizare t_k se evaluatează:

a. din graficele, de execuție, dacă există în acestea asemenea prevederi, conform Anexa B pct. 1.4; Anexa D_{1.2}.

b. în acțiunea de proiectare a regimului termic ținând seama de faptul că, în general, consumurile specifice minime de energie corespund temperaturilor minime θ_b , la terminarea punerii în operă a betonului, iar acestea duratelor maxime.

3.3. Pentru orientare, se pot utiliza la evaluarea duratelor t_k și a temperaturilor θ_b următoarele date ajutătoare:

— pentru regimul CC_k , specific metodei conservării căldurii, graficele D_{3.1} ... D_{3.8} din care rezultă, pentru tipurile de betoane semnificative ce pot fi folosite, corelarea temperaturii θ_b , la terminarea punerii în operă cu durata t_k .

— pentru regimurile specifice încălzirii după turnare, graficele D_{3.9} ... D_{3.12} din care rezultă: pentru tipurile de betoane ce pot fi folosite, corelarea temperaturii $\theta_b = \theta_t$, cu durata t_k .

4. Proiectarea regimurilor termice CC_k în perioada de maturizare critică. Metoda conservării căldurii.

4.1. Regimul termic al betonului în cazul aplicării metodei conservării căldurii este de tipul CC_k (Anexa B, fig. 31). Pentru proiectarea acestuia se discretizează variația temperaturii θ_i din grad în grad și se notează:

$$m_i = (\theta_i + 10) K_{\theta_i} \quad (4.1)$$

$$m_i' = (\theta_i - \Delta\theta_i/2 + 10) K_{\theta_i} = [\theta_i - (\theta_i - \theta_{ae}) K_b + 10] K_{\theta_i} \quad (4.2)$$

în care:

m_i este gradul unitar de maturizare la temperatura de $+20^\circ\text{C}$, echivalent gradului efectiv de maturizare la temperatura medie θ_i , pentru o durată $t_i = 1 \text{ h}$;

m_i' — gradul unitar de maturizare la temperatura de $+20^\circ\text{C}$ echivalent gradului efectiv de maturizare pe suprafața cea mai rece având temperatura $(\theta_i - \frac{\Delta\theta_i}{2})$ într-o durată $t_i = 1 \text{ h}$.

Durata t_i în care temperatura betonului variază în mod natural în intervalul $(\theta_i - 0,5) \dots (\theta_i + 0,5)^\circ\text{C}$ se calculează cu relația:

$$t_i = \frac{c_b \cdot \rho_b \cdot \delta\theta_i}{m_i P_{sex} - (\theta_i - \theta_{ae}) M_s / R_s} \quad (4.3)$$

în care:

$c_b \rho_b = 700 \text{ W h/m}^3$ este produsul între căldura masică a betonului proaspăt $c_b = 0,28 \dots 0,29 \text{ W h/Kg}$ și densitatea lui aparentă $\rho_b = 2500 \dots 2400 \text{ Kg/m}^3$;

$\delta\theta_i = \pm 1^\circ\text{C}$ — creșterea sau scăderea temperaturii în intervalul $(\theta_i - 0,5) \dots (\theta_i + 0,5)^\circ\text{C}$.

Durata t_i are întotdeauna valori pozitive astfel încit în relația (4.3), intervalul $\delta\theta_i = \pm 1^\circ\text{C}$ are semnul numitorului.

4.2. Condițiile de realizare a gradului critic de maturizare, din Anexa B, pct. 1.1, relațiile (1.1) și (1.2) se scriu pentru duratele t_i calculate cu relația (4.3), sub forma:

$$M_c = \sum M_i' = \sum m_i' t_i \geq M_k \quad (4.4)$$

$$t_c = \sum t_i \leq t_k \quad (4.5)$$

Valorile m_i ; m_i' se extrag din anexa D, tabelul D_{4.1} pentru $\theta_i = 1,5 \dots 29,5^\circ\text{C}$ din grad în grad și K_b variabil; pentru alte valori K_b decât cele din tabel se poate interpola sau extrapola liniar.

Valorile t_i se determină cu relația (4.3) începând de la $\theta_i = 1,5^\circ\text{C}$, pentru o gamă mai largă de temperaturi și niveluri de asigurare ($\theta_{ae} = 0^\circ; -5^\circ; -10^\circ\text{C}$).

Calculele se organizează într-un tabel (pct. 4.4).

Semnul \pm rezultat pentru intervalul $\delta\theta_i$, astfel încit valorile duratelor să fie întotdeauna pozitive ($t_i > 0$), indică:

$\delta\theta_i = +1^\circ\text{C}$; creșterea temperaturii în perioada t_i de la $(\theta_i - 0,5) \dots (\theta_i + 0,5)^\circ\text{C}$;

$\delta\theta_i = -1^\circ\text{C}$; scăderea temperaturii în perioada t_i de la $(\theta_i + 0,5) \dots (\theta_i - 0,5)^\circ\text{C}$.

4.3. Cumulările prevăzute de relațiile (4.4) și (4.5) se fac în ordine crescătoare a valorilor θ_i înscrise în tabelul auxiliar, începînd cu cele mai mici și se continuă pe n valori θ_i pînă este indeplinită condiția (4.4).

Regimul termic se poate incadra în una din cele trei variante din fig. 3.1, Anexa B, după semnul parametrului $\delta\theta_i = \pm 1^\circ\text{C}$. În funcție de acesta se stabilesc și valorile temperaturilor θ_i , la începutul perioadei t_c , valoarea exactă a acesteia, ca și temperatura θ_c , la terminarea perioadei. Se procedează astfel:

a. Dacă $\delta\theta_i = +1^\circ\text{C}$, rezultă:

$$\theta_c > \theta_t = \theta_b \quad (4.6)$$

Se adoptă în acest caz:

$$\theta_t = \theta_1 \quad (4.7)$$

și se cumulează primele „ n ” valori M'_i și t_i pentru care este indeplinită condiția (4.4) simultan cu condiția privind durata t_c , exprimată prin relația:

$$t'_c = \sum_{i=1}^{n-1} t_i \leq t_k \quad (4.8)$$

Se calculează apoi valoarea:

$$0 < \Delta t_n = \frac{M_k - \sum_{i=1}^{n-1} M'_i}{m_n} < t_n \quad (4.9)$$

cu care se determină:

$$t_c = t'_c - \Delta t_n \leq t_k \quad (4.10)$$

$$\theta_c = \theta_n - 0,5 + \frac{\Delta t_n}{t_n} \quad (4.11)$$

Relațiile (4.7) ... (4.11) se aplică și în cazul particular:

$$M_k < M'_1 = M'_n; \sum_{i=1}^{n-1} M'_i = 0; t'_c = 0 \quad (4.12)$$

b. Dacă $\delta\theta_i = -1^\circ\text{C}$ rezultă:

$$\theta_c < \theta_t = \theta_b \quad (4.13)$$

Se cumulează o serie de valori succesive M'_i și t_i pînă este indeplinită condiția (4.4). Cea mai mare dintre valorile θ_i pentru care s-a verificat condiția (4.4) se notează θ_1 și se determină:

$$\theta_t = \theta_1 + 0,5 \quad (4.14)$$

Se cumulează din nou valorile θ_i , în ordine descrescătoare ale acestora, începînd cu $\theta_1 = \theta_t - 0,5$ pînă la $i = n$, pentru care este indeplinită condiția (4.4).

Regimul termic se definitivază folosind în continuare relațiile (4.8); (4.9); (4.11) și (4.12).

Temperatura θ_c se determină cu relația:

$$\theta_c = \theta_n + 0,5 - \frac{\Delta t_n}{t_n} \quad (4.15)$$

Dacă se începe cumularea cu $\theta_1 = 1,5^\circ\text{C}$ se obțin regimurile termice cu consum minim de energie, dar cu durată maximă.

În măsura în care se începe cumularea cu valori $\theta_1 > 1,5^\circ\text{C}$ se obțin regimuri termice cu durate mai mici, dar cu consumuri specifice mai mari.

4. Exemplu de calcul

a. Se determină datele preliminare:

Beton B 250-L₃-Pa 35-31

$$M_k = 1310 \text{ h}^\circ\text{C}$$

$$\bar{P}_{sex} = 4,886 \text{ W/m}^3\text{K}$$

$$M_s/R_s = 10,1 \text{ W/m}^3\text{K}$$

$$K_b = 0,039$$

$$K_s = 1,076$$

$$\theta_{as} = 0^\circ; -5^\circ; -10^\circ\text{C}$$

$$t_k = 160 \text{ h} \text{ și } t_c = 64 \text{ h}$$

b. Se alcătuiește tabelul cu valorile auxiliare de calcul și se proiectează regimurile termice astfel încit să fie indeplinite simultan condițiile (4.4); (4.8) și (4.10).

Tabelul cu valori auxiliare de calcul pentru regimul termic CC_k

| θ_t | K_{b_i} | m_i | $M_s/R_s = 10,1 \text{ W/m}^2\text{K}; K_b = 0,039; K_s = 1,070$ | | | | | | | | | |
|------------|-----------|--------|------------------------------------------------------------------|------------|-------|----------------------------------------|--------|------------|-----------------------------------------|--------|--------|-------|
| | | | $\bar{\theta}_{ae} = 0^\circ\text{C}$ | | | $\bar{\theta}_{ae} = -5^\circ\text{C}$ | | | $\bar{\theta}_{ae} = -10^\circ\text{C}$ | | | |
| δ_i | t_i | m'_i | M'_i | δ_i | t_i | m'_i | M'_i | δ_i | t_i | m'_i | M'_i | |
| 1,5 | 0,345 | 3,97 | 164,0 | 3,95 | 648 | 15,1 | 3,88 | 59 | 7,2 | 3,81 | 27 | |
| 2,5 | 0,490 | 6,13 | 147,9 | 6,08 | 899 | 15,3 | 5,99 | 92 | 7,3 | 5,89 | 43 | |
| 3,5 | 0,160 | 8,24 | 141,4 | 8,16 | 1154 | 15,4 | 8,04 | 124 | 7,3 | 7,92 | 58 | |
| 4,5 | 0,710 | 10,30 | +1 | 142,1 | 10,17 | 1445 | 15,4 | 10,04 | 155 | 7,3 | 9,90 | 72 |
| 5,5 | 0,870 | 12,09 | | 195,4 | 11,92 | 1652 | 14,9 | 11,77 | 175 | 7,2 | 11,62 | 84 |
| 6,5 | 0,820 | 13,53 | 1332,8 | 13,32 | 17753 | 14,0 | 13,16 | 184 | 7,0 | 13,00 | 91 | |
| 7,5 | 0,854 | 14,95 | 266,2 | 14,70 | 3913 | 13,2 | 14,53 | 192 | 6,8 | 14,37 | 98 | |
| 8,5 | 0,876 | 16,21 | 106,6 | 15,92 | 1697 | 12,3 | 15,75 | 194 | 6,5 | 15,58 | 101 | |
| 9,5 | 0,892 | 17,39 | 64,3 | 17,06 | 1097 | -1 | 11,4 | 16,88 | 192 | -1 | 6,3 | 16,71 |
| 10,5 | 0,906 | 18,57 | | 46,0 | 18,20 | 837 | 10,7 | 18,02 | 193 | 6,0 | 17,84 | 107 |
| 11,5 | 0,918 | 19,74 | 35,7 | 19,33 | 690 | 10,0 | 19,15 | 192 | 5,8 | 18,97 | 110 | |
| 12,5 | 0,930 | 20,93 | -1 | 29,3 | 20,48 | 600 | 9,4 | 20,30 | 191 | 5,6 | 20,11 | 113 |
| 13,5 | 0,942 | 22,14 | | 25,0 | 21,64 | 541 | 8,9 | 21,46 | 191 | 5,4 | 21,28 | 115 |
| 14,5 | 0,954 | 23,37 | | 21,8 | 22,84 | 498 | 8,5 | 22,65 | 193 | 5,3 | 22,47 | 119 |
| 15,5 | 0,964 | 24,58 | 19,3 | 24,00 | 463 | 8,1 | 23,81 | 193 | 5,1 | 23,62 | 120 | |
| 16,5 | 0,972 | 25,76 | 17,2 | 25,13 | 432 | 7,7 | 24,94 | 192 | 4,9 | 24,65 | 121 | |
| 17,5 | 0,980 | 26,95 | 15,6 | 26,28 | 410 | 7,3 | 26,09 | 190 | 4,8 | 25,80 | 124 | |

c. Rezultatele obținute, comparate cu cele extrase din anexa C_{4,6} se prezintă în tabelul următor, pentru $M_s/R_s = 10$ și $K_b = 0,05$

| Durata t_k ore | Nivel de asigurare $\bar{\theta}_{ae}$ | Regim termic proiectat conf. pct. D.4-4 | | | Regim termic conf. anexa C _{4,6} | | |
|------------------|----------------------------------------|-----------------------------------------|------------|-------|-------------------------------------------|------------|-------|
| | | θ_t | θ_c | t_c | θ_t | θ_c | t_c |
| 160 | 0 | 3,5 | 4,1 | 157 | 3,5 | 5 | 160 |
| | -5 | 10 | 1,6 | 118 | 10 | 1 | 126 |
| | -10 | 17 | 4,6 | 75 | 16 | 3 | 83 |
| 64 | 0 | 14 | 11,8 | 63 | 15 | 12 | 62 |
| | -5 | 17 | 10,2 | 62 | 17 | 9 | 61 |
| | -10 | - | - | - | 19 | 8 | 62 |

Se observă că regimurile termice din anexa C pot fi folosite în locul celor calculate mai exact la acest punct.

În unele cazuri, cind valorile M_s/R_s diferă în măsură mai mare, se poate interpola liniar sau să se adopte o soluție acoperitoare (M_s/R_s mai mare).

4.5. Pentru simplificarea proiectării regimurilor termice CC_k se pot utiliza graficele D. 3.1 ... D. 3.8 din care rezultă corelarea temperaturii θ_b , la terminarea punerii în operă, cu durata de maturizare t_k , prin care se asigură realizarea gradului critic de maturizare M_k pentru valori variabile M_s/R_s ; K_b și $\bar{\theta}_{ae}$, fără ca temperatura betonului să coboare sub +1°C.

Prin cei doi parametri θ_b și t_k regimul termic CC_k este determinat suficient, fără să fie obligatorie explicitarea temperaturii θ_c .

Deși construite pentru betoanele tipizate în Anexa C, graficele dă indicații valabile și pentru alte betoane, similar, astfel încit proiectarea regimului termic se poate limita la verificarea celui obținut din graficele D. 31 ... D. 3.8.

5. Proiectarea regimurilor termice în perioade de maturizare critică. Metoda încălzirii betonului după punerea în operă.

5.1. Regimul termic al betonului în cazul încălzirii lui după punerea în operă se poate face în mai multe variante simbolizate TT_k ; TC_k (fig. 3.1) RT_k ; RC_k RTC_k (fig. 3.2) Anexa B₃.

Pentru temperatura maximă θ_t ce caracterizează fiecare din aceste regimuri se calculează:

$$m_t = (\theta_t + 10) K_{\theta_t} \quad (5.1)$$

$$m'_t = [\theta_t - (\theta_t - \theta_{ae}) K_b + 10] K_{\theta_t} \quad (5.2)$$

unde: m_t ; m'_t sunt gradele unitare de maturizare similare gradelor m_t ; m'_t , evaluate însă pentru temperaturile θ_t .

Gradele unitare de maturizare m_t ; m'_t sunt date în anexa D, tabelul D. 5.1 pentru $\theta_t = 1^\circ \dots 30^\circ\text{C}$, din grad în grad și K_b variabil; pentru alte valori K_b decât cele din tabel se interpolează sau se extrapolează liniar.

5.2. Regimul TT_k , ca regim de referință (fig. 3.2 a – Anexa B) se proiectează în vederea reducerii temperaturii $\theta_b = \theta_t$ și implicit a consumului specific de energie la preparare, Q_{sp} , față de regimurile de tip CC_k ; în acest sens:

a) Se calculează:

$$m'_{t \text{ nec}} = \frac{M_k}{t_k} \quad (5.3)$$

iar din tabelul D. 5.1 se extrage o temperatură $\bar{\theta}$ căreia îi corespunde cea mai apropiată valoare m'_t ce îndeplinește condiția:

$$m'_t \geq m'_{t \text{ nec}} \quad (5.4)$$

b) Se definează regimul de referință TT_k caracterizat prin:

$$\theta_t = \bar{\theta} \quad (5.5)$$

$$t_k = \frac{M_k}{m'_t} \quad (5.6)$$

unde $\bar{\theta}$ și m'_t sunt valorile determinate cu condiția (5.4).

Regimul termic TT_k se poate obține direct din graficele D. 3.9 din care rezultă θ_k în funcție de t_k sau din tabelele D. 3.10 și D. 3.11.

c) Se verifică pentru $\theta_i = \theta_1 = \theta_t \pm 0,5$ semnul și mărimea parametrului $\delta\theta_i$ din relația (4.3) pentru ca $t_i > 0$. În funcție de rezultatul obținut pentru fiecare nivel de asigurare se separă domeniile de aplicare ale regimurilor termic CC_k și TT_k sau TC_k pe baza indicațiilor de la pct. d. și e.

d) Se adoptă regimul CC_k , caracterizat printr-un consum total minim de energie, pentru nivelurile de asigurare și valorile M_s/R_s pentru care este îndeplinită una din condițiile:

$$\theta_1 = (\theta_t \pm 0,5); t_1 > 0 \text{ dacă } \delta\theta_1 = +1^\circ\text{C} \quad (5.7)$$

$$\theta_1 = (\theta_t - 0,5); t_1 > t_k \text{ dacă } \delta\theta_1 = -1^\circ\text{C} \quad (5.8)$$

Regimul termic CC_k se proiectează ca la pct. 4.3 a, folosind relațiile (4.7)... (4.12).

e) Regimul TT_k și cel derivat din acesta, TC_k , se aplică pentru nivelurile de asigurare și valorile M_s/R_s pentru care:

$$\theta_1 = (\theta_t - 0,5); 0 < t_1 < t_k \text{ dacă } \delta\theta_1 = -1^\circ\text{C} \quad (5.9)$$

5.3. Regimul TC_k (fig. 3.2 b – Anexa B), ca regim termic destinat a fi aplicat efectiv, se proiectează pentru a se reducă consumul specific de energie pe sănțier Q_{ss} , față de TT_k prin introducerea unei perioade t_c , în care nu se consumă energie. În acest scop, dacă este îndeplinită condiția (5.9):

a) Se cumulează valorile t_i corespunzătoare temperaturilor $\theta_i = \theta_1 = \dots = (\theta_t - 0,5)$ pînă la o valoare $\theta_i = \theta_{(n-1)}$, pentru care:

$$t'_c = \sum_{i=1}^{n-1} t_i < t_k \quad (5.10)$$

Pentru aceleasi valori $\theta_i = \theta_1 \dots \theta_i = \theta_{(n-1)}$, se cumulează și valorile $M'_i = m'_i t_i$, rezultînd $\sum_{i=1}^{n-1} M'_i$.

Parametrii t_i , M'_i au aceleasi semnificații și se determină în același mod ca la pct. 4.1 și 4.2.

b) Se calculează parametrii t_t și t_c , folosind relațiile:

$$t_t = \frac{M_k - \sum_{i=1}^{n-1} M'_i - m'_n (t_k - t'_c)}{m'_t - m'_n} > 0 \quad (5.11)$$

$$t_c = t_k - t_t > t'_c \quad (5.12)$$

unde m'_n este gradul unitar de maturizare corespunzător valorii $\theta_i = \theta_n$ ce urmează valorii $\theta_i = \theta_{n-1}$.

Temperatura θ_c se determină cu relațiile (4.11), respectiv (4.15) în care Δt_n se obține din condiția:

$$0 < \Delta t_n = t_c - t'_c < t_n \quad (5.13)$$

c) Dacă prin cumularea mentionată la pct. a se atinge temperatura $\theta_n = 1,5^\circ\text{C}$, fără a fi îndeplinită condiția (5.13) se folosește pentru evaluarea duratei t_t relația:

$$t_t = \frac{M_k - \sum_{i=1}^n M'_i}{m'_t} \quad (5.14)$$

iar durata t_k se obține din expresia:

$$t_k = t_t + t_c = t_t + \sum_{i=1}^n t_i \quad (5.15)$$

5.4. Regimul termic RT_k (fig. 3.3. a – Anexa B) este tot un regim de referință ce se proiectează în vederea reducerii, față de regimurile TT_k și TC_k , a consumului specific de energie la prepararea betonului (Q_{sp}), prin diminuarea temperaturii θ_b . În condițiile de la pct. 5.2. d, dacă nu există regim TT_k nu se poate proiecta nici regim RT_k , respectiv RC_k sau RTC_k .

Se pornește de la regimul TT_k și în funcție de caracteristicile acestuia:

a) Se stabilește valoarea temperaturilor θ_b și θ_t astfel încât să satisfacă condițiile:

$$1 \leq \theta_b \leq \bar{\theta} \quad (5.16)$$

$$\bar{\theta} < \theta_t < \bar{\theta} + \frac{\bar{\theta} - \theta_b}{2} \quad (5.17)$$

unde $\bar{\theta}$ este valoarea determinată pentru regimul TT_k , pct. 5.2 a.

Regimurile termice cu consum minim de energie, atât la preparare (Q_{sp}) cît și pe șantier (Q_{ss}) se obțin pentru valori minime θ_b și θ_t .

b) Se calculează gradul unitar de maturizare m_r :

$$m_r' = \frac{1}{\theta_t - \theta_b} \sum_{\theta_i = \theta_b + 0,5}^{\theta_t - 0,5} m_i' \quad (5.18)$$

Gradele unitare de maturizare m_r' pentru $\theta_b = 1$, respectiv $\theta_b = 3$ și valori variabile θ_t sunt evaluate în tabelele D.5.2 și D.5.3.

c) Se calculează pe aceste baze:

$$t_t = \frac{M_k - m_r' t_k}{m_t' - m_r'} \quad (5.19)$$

$$t_r = t_k - t_t \quad (5.20)$$

d) Regimul termic rezultat se verifică din punct de vedere al vitezei v_r de ridicare a temperaturii care trebuie să îndeplinească condiția:

$$v_r = \frac{\theta_t - \theta_b}{t_r} \leq 10^\circ C/h \quad (5.21)$$

Dacă această condiție nu este îndeplinită se reduce temperatura θ_t sau se mărește θ_b în limitele condițiilor (5.16) și (5.17) sau se mărește durata t_k impusă inițial, modificindu-se în mod corespunzător regimul RT_k .

e) Regimul de referință RT_k permite separarea domeniilor de aplicare ale regimurilor termice efective RC_k și RTC_k . În acest sens se verifică pentru $\theta_t = \theta_1 = \theta_t \pm 0,5$ semnul parametrului $\delta\theta_i$ pentru care $t_i > 0$, procedându-se ca la pct. 5.2.c.

În funcție de rezultatul obținut se adoptă regimul RC_k sau RTC_k .

5.5. Regimul RC_k (fig. 3.3b – Anexa B) se proiectează pe baza verificării de la pct. 5.4e astfel:

a) dacă este îndeplinită condiția (5.7) se procedează ca la pct. 5.3a, evaluindu-se t_c' și $\sum_1^{n-1} M_i'$ pe baza relației (5.10).

Durata t_r se calculează cu relația:

$$0 \leq t_r = \frac{\sum_1^{n-1} M_i' - m_n' (t_k - t_c')}{m_r' - m_n'} \leq t_k \quad (5.22)$$

unde: m_r' – este gradul unitar de maturizare în perioada t_r în care temperatura se ridică de la θ_b la θ_t

$$t_c = t_k - t_r \geq 0 \quad (5.23)$$

Parametrul Δt_n se determină cu rel. (5.13), iar θ_c cu relația:

$$\theta_c = \theta_n - 0,5 + \frac{\Delta t_n}{t_n} \quad (5.24)$$

Dacă nu este îndeplinită cond. (5.13) regimul termic va fi de tip RTC_k .

b) Dacă sunt îndeplinite condițiile (5.9) sau (5.8) se procedează ca și la pct. 5.5a, cu deosebirea că temperatura θ_c va fi:

$$\theta_c = \theta_n + 0,5 - \frac{\Delta t_n}{t_n} \quad (5.25)$$

c) Regimul termic rezultat se verifică din punct de vedere al vitezei de ridicare a temperaturii care trebuie să îndeplinească condiția (5.21).

Este important de reținut că dacă regimul RC_k se proiectează pe baza condițiilor (5.9) sau (5.8) se obțin pentru viteza de ridicare valori care cresc rapid și determină o sporire corespunzătoare și a puterii specifice. Această situație poate fi evitată prin proiectarea unui regim RTC_k .

5.6. Regimul termic RTC_k (fig. 3.3c – Anexa B) se aplică în condițiile de la pct. (5.4e) dacă sunt îndeplinite condițiile (5.9) sau (5.8):

a) Se impune o viteză de ridicare a temperaturii v_r , mai mare decât viteză corespunzătoare din regimul de referință RT_k și se calculează durata t_r cu relația:

$$t_r = \frac{\theta_t - \theta_b}{v_r} \quad (5.26)$$

b) Se procedează ca la pct. (5.3a) pentru a determina durata t_c' (relația 5.10) și valoarea corespunzătoare $\sum_1^{n-1} M_i' t_i$, astfel încit să fie îndeplinită condiția:

$$t_c' = \sum_1^{n-1} t_i < t_k - t_r \quad (5.27)$$

c) Se evaluatează parametrii:

$$M'_r = m'_r t_r \quad (5.28)$$

$$t_t = \frac{M_k - M'_r - \sum_{i=1}^{n-1} M'_i - m'_n (t_k - t_r - t'_e)}{m'_t - m'_n} > 0 \quad (5.29)$$

$$0 < \Delta t_n = t_k - t_r - t'_e - t_t < t_n \quad (5.30)$$

$$t_e = t'_e + \Delta t_n \quad (5.31)$$

Temperatura θ_e se evaluatează cu relație (4.15).

d) Dacă prin cumularea menționată la pct. b se include și valoarea $\theta_n = 1,5^\circ\text{C}$ fără a fi îndeplinite condițiile (5.29) și (5.30) se va evalua durata t_t cu relația:

$$t_t = \frac{M_k - M'_r - \sum_{i=1}^{n-1} M'_i}{m'_t} \quad (5.32)$$

Durata totală t_k va rezulta în acest caz prin sumarea duratelor caracteristice:

$$t_k = t_r + t_t + t_e = t_r + t_t + \sum_1^n t_i \quad (5.33)$$

e) Consumul minim de energie se obține pentru aceeași durată t_k și aceeași temperatură θ_t pentru varianta în care suma $(t_r + t_t)$ este minimă.

Puterea specifică instalată și consumul specific de energie pe șantier

5.7. Puterea specifică instalată pentru incălzirea pe șantier a betonului pus în operă pe timp friguros se evaluatează în funcție de puterea specifică necesară în cele două perioade caracteristice t_r și t_t .

a) Pentru perioada t_r se evaluatează:

$$m_r = \frac{1}{\theta_t - \theta_b} \sum_{\substack{\theta_t - 0,5 \\ \theta_i = (\theta_b + 0,5)}}^{} m_i \quad (5.34)$$

$$\Delta Q_{sr} = 700 (\theta_t - \theta_b) \quad (5.35)$$

$$P_{sexr} = \bar{P}_{sex} \cdot m_r \quad (5.36)$$

$$P_{sr} = \left(\frac{\Delta Q_{sr}}{t_r} + \theta_r \frac{M_s}{R_s} - P_{sexr} \right) K_s - \theta_{ae} \frac{M_s}{R_s} K_s \quad (5.37)$$

unde: m_r — este gradul unitar de maturizare în perioada de ridicare a temperaturii, în $^\circ\text{C}/\text{h}$;

Q_{sr} — este cantitatea specifică de căldură înmagazinată în beton în Wh/m^3 ;

θ_r — este temperatura medie a betonului în perioada t_r , în $^\circ\text{C}$;

P_{sexr} — este puterea specifică furnizată de exotermie în perioada t_r , în W/m^3 ;

K_s — coeficientul prin care se ia în considerare transmisia căldurii între sursa exterioară și beton.

b) Pentru perioada t_t se evaluatează:

$$P_{sext} = \bar{P}_{sex} \cdot m_t \quad (5.38)$$

$$P_{st} = \left(\theta_t \frac{M_s}{R_s} - P_{sext} \right) K_s - \theta_{ae} \frac{M_s}{R_s} K_s \quad (5.39)$$

unde:

m_t — este gradul unitar de maturizare în perioada de tratare izotermă;

θ_t — temperatura medie a betonului în perioada t_t , în $^\circ\text{C}$;

P_{sextr} — puterea specifică furnizată de exotermie în perioada t_t , în W/m^3 ;

K_s — coeficient prin care se ia în considerare corelația între sursa exterioară și beton.

Parametrii necesari pentru evaluarea puterilor specifice se extrag din anexele D, astfel:

— coeficientul K_s

tabelul D.2.6

— gradele unitare de maturizare m_i

tabelul D.4.1

— gradele unitare de maturizare m_t

tabelul D.5.1

— gradele unitare de maturizare m_r

tabelele D.5.2 și D.5.3

c) Puterea specifică, tehnică, instalată pe șantier, P_{ss} rezultă din condiția:

$$P_{st} \leq P_{ss} \geq P_{sr} \quad (5.40)$$

5.8. Consumul specific de energie, tehnic, pe șantier, Q_{ss} , se evaluatează cu relația:

$$Q_{ss} = P_{sr} \cdot t_r + P_{st} \cdot t_t \quad (5.41)$$

În anexele C₅ sunt prezentate pentru aceleași tipuri de regimuri termice soluții proiectate pentru a fi utilizate ca atare, în măsură în care nu sunt diferențe semnificative între situațiile reale și ipotezele avute în vedere la proiectarea lor. Consumul specific exprimat în Kwh/m^3 se transformă în Kcal/m^3 prin multiplicare cu 860 Kcal/Kwh .

Calculele pentru proiectarea regimurilor termice TT_k ; TC_k ; RT_k ; RC_k ; RTC_k și pentru evaluarea puterilor specifice instalate, respectiv a consumurilor specifice, tehnice, de energie se organizează în tabele, aşa cum se exemplifică la pct. 5.9.

5.9. Exemple de calcul

a) Se determină datele preliminare.

Se adoptă aceleași date ca pentru exemplul de la punctul D.4.4.

b) Se alcătuiește tabelul cu valorile auxiliare de calcul necesare la proiectarea regimurilor termice prin încălzirea betonului.

c) Se proiectează regimul termic TT_k folosind graficele D.3.9 și indicațiile de la pct. 5.2; calculele se organizează într-un tabel.

Proiectarea regimului termic TT_k

| t_k | θ_{ae} | $\theta_b = \theta_t = \theta_e$ | t_t | $\delta\theta_i$ pentru: | | Regim termic recomandat |
|-------|---------------|----------------------------------|-------|--------------------------|------------------|-------------------------|
| | | | | $\theta_t - 0,5$ | $\theta_t + 0,5$ | |
| 160 | 0 | | | + 1 | 0 | CC_k |
| | - 5 | 4 | 141,8 | - 1 | - 1 | TC_k |
| | - 10 | | | - 1 | - 1 | RTC_k |
| 64 | 0 | | | - 1 | - 1 | TC_k |
| | - 5 | 14 | 57,6 | - 1 | - 1 | RC_k |
| | - 10 | | | - 1 | - 1 | RTC_k |

d) Se proiectează regimul termic TC_k conform pct. 5.3; calculele se organizează ca în tabelul următor.

e) Se proiectează regimul termic de referință RT_k , conform punctului 5.4; calculul se organizează într-un tabel.

TABEL CU VALORI AUXILIARE DE CALCUL PENTRU PROIECTAREA REGIMURILOR TERMICE LA ÎNCĂLZIREA BETONULUI DUPĂ TURNARE

| θ_t | m_t | m_r | $P_{sex\ r}$ | | $\bar{\theta}_{ae} = 0^\circ C$ | | $\bar{\theta}_{ae} = -5^\circ C$ | | $\bar{\theta}_{ae} = -10^\circ C$ | |
|------------|-------|-------|----------------|----------------|---------------------------------|----------------|----------------------------------|--------|-----------------------------------|--------|
| | | | $\theta_b = 1$ | $\theta_b = 3$ | $\theta_b = 1$ | $\theta_b = 3$ | m'_t | m'_r | $\theta_b = 1$ | m'_t |
| 2 | 5,04 | 3,97 | - | 25 | 19 | - | 5,02 | - | 4,93 | 3,88 |
| 3 | 7,28 | 5,05 | - | 36 | 25 | - | 7,12 | - | 7,01 | 4,93 |
| 4 | 9,24 | 6,11 | 8,24 | 45 | 30 | 40 | 9,16 | 8,16 | 9,04 | 5,97 |
| 5 | 11,40 | 7,16 | 9,27 | 56 | 35 | 45 | 11,04 | 9,16 | 10,90 | 6,99 |
| 6 | 12,80 | 8,15 | 10,21 | 63 | 40 | 50 | 12,62 | 10,08 | 12,46 | 7,94 |
| 7 | 14,28 | 9,04 | 11,04 | 70 | 44 | 54 | 14,01 | 10,89 | 13,84 | 8,81 |
| 8 | 15,62 | 9,89 | 11,82 | 76 | 48 | 58 | 15,31 | 11,65 | 15,14 | 9,63 |
| 9 | 16,80 | 10,68 | 12,55 | 82 | 52 | 61 | 16,49 | 12,36 | 16,31 | 10,39 |
| 10 | 18,00 | 11,42 | 13,24 | 88 | 56 | 65 | 17,63 | 13,08 | 17,45 | 11,11 |
| 11 | 19,15 | 12,14 | 13,91 | 94 | 59 | 68 | 18,76 | 13,68 | 18,58 | 11,81 |
| 12 | 20,33 | 12,83 | 14,56 | 99 | 63 | 71 | 19,90 | 14,31 | 19,72 | 12,47 |
| 13 | 21,53 | 13,50 | 15,20 | 105 | 66 | 74 | 21,06 | 14,93 | 20,88 | 13,13 |
| 14 | 22,75 | 14,17 | 15,83 | 111 | 69 | 77 | 22,24 | 15,54 | 22,05 | 13,77 |
| 15 | 24,00 | 14,83 | 16,46 | 117 | 73 | 81 | 23,42 | 16,15 | 23,23 | 14,40 |
| 16 | 25,17 | 15,48 | 17,08 | 123 | 76 | 84 | 24,56 | 16,75 | 24,37 | 15,03 |
| 17 | 26,35 | 16,12 | 17,70 | 129 | 79 | 87 | 25,70 | 17,48 | 25,51 | 15,65 |

PROIECTAREA REGIMULUI TERMIC TC_k

| Nivel de asig. | $\theta_b = \theta_c$ | θ_1 | θ_n | m'_t | m'_n | t_n | t'_e | $(5,10)$ | $\sum_{i=1}^{n-1} M'_i$ | t'_t | $(5,11)$ | t'_e | $(5,12)$ | Δt_n | t_t | $(5,14)$ | t_e | $(4,15)$ | t_k | $(5,15)$ |
|----------------------|-----------------------|------------|------------|--------|--------|-------|--------|----------|-------------------------|--------|----------|--------|----------|--------------|-------|----------|-------|----------|-------|----------|
| -5 | 4 | 3,5 | 1,5 | 9,04 | 3,89 | 15,1 | 30,7 | 2,16 | 114,8 | 45,2 | 14,5 | - | 1 | 160 | | | | | | |
| -10 | | | 1,5 | 8,91 | 3,81 | 7,2 | | | (128)* | - | 21,8* | - | 132,7 | 1 | 154,5 | | | | | |
| Durata $t_k = 160$ h | | | | | | | | | | | | | | | | | | | | |
| 0 | | | 11,5 | 21,06 | 19,33 | 35,7 | 29,3 | 600 | 22,7 | 41,3 | 12,0 | - | 11,7 | 64 | | | | | | |
| -5 | 13 | 12,5 | 10,5 | 20,88 | 18,00 | 10,7 | 19,4 | | 383 | 43,1 | 20,9 | 1,5 | - | 10,9 | 64 | | | | | |
| -10 | | | 10,5 | 20,69 | 17,84 | 6,0 | 11,4 | | 223 | 52,1 | 11,9 | 0,5 | - | 10,9 | 64 | | | | | |
| Durata $t_k = 64$ h | | | | | | | | | | | | | | | | | | | | |
| 0 | | | 11,5 | 21,06 | 19,33 | 35,7 | 29,3 | 600 | 22,7 | 41,3 | 12,0 | - | 11,7 | 64 | | | | | | |
| -5 | | | 10,5 | 20,88 | 18,00 | 10,7 | 19,4 | | 383 | 43,1 | 20,9 | 1,5 | - | 10,9 | 64 | | | | | |
| -10 | | | 10,5 | 20,69 | 17,84 | 6,0 | 11,4 | | 223 | 52,1 | 11,9 | 0,5 | - | 10,9 | 64 | | | | | |

(*). Cumularea se face pentru t_i și m'_i pînă la $i = n$ în loc de $i = (n - 1)$ și se aplică relația (5.14) în loc de relația (5.11) — pct. 5.3.c.

PROIECTAREA REGIMULUI TERMIC RT_k

| Nivel de asigurare | θ_b | θ_t | m'_t | m'_r | t_t | t_r | v_r |
|----------------------|------------|------------|--------|--------|-------|-------|-------|
| Durata $t_k = 160$ h | | | | | | | |
| -5 | 1 | 5 | 10,90 | 6,99 | 49,0 | 111,0 | 0,04 |
| -10 | 1 | 10,76 | 6,88 | 53,9 | 106,1 | 0,04 | |
| Durata $t_k = 64$ h | | | | | | | |
| -5 | 3 | 14 | 22,24 | 15,54 | 47,1 | 16,9 | 0,65 |
| -10 | 1 | 21,87 | 22,05 | 13,77 | 51,8 | 12,2 | 1,07 |
| | | | 13,61 | 13,61 | 53,1 | 10,9 | 1,19 |

Pentru nivelul de asigurare $\theta_{ae} = 0^\circ\text{C}$ betonul se pune în operă la $\theta'_{ae} = 0^\circ\text{C}$ astfel încit ținind seama de condiția ca $\theta_p \geqslant +5^\circ\text{C}$ rezultă $\theta_b = 3^\circ\text{C}$.

Pentru celelalte niveluri de asigurare ($\theta_{ae} = -5^\circ\text{C}$; $\theta_{ae} = -10^\circ\text{C}$) betonul se pune în operă la $\theta'_{ae} = -5^\circ\text{C}$, rezultând $\theta_b = 1^\circ\text{C}$.

Se observă că în cazul duratei $t_k = 160$ h și nivelului de asigurare $\theta_{ae} = 0^\circ\text{C}$ regimul termic este de tipul CC_k (conf. pct. 5.2d, relația 5.7 și exemplul de la pct. 5.9c).

f) Se proiectează regimul termic RC_k conf. pct. 5.5; calculul se organizează intr-un tabel.

PROIECTAREA REGIMULUI RC_k

| Nivel de asig. | θ_b | θ_t | θ_1 | θ_n | m'_r | m'_n | t'_e | $(5,10)$ | t_n | $\sum_{i=1}^{n-1} M'_i$ | t_r | $(5,22)$ | t_e | $(5,23)$ | Δt_n | θ_c |
|----------------|------------|------------|------------|------------|--------|--------|--------|----------|-------|-------------------------|-------|----------|-------|----------|--------------|------------|
| $t = 64$ h | | | | | | | | | | | | | | | | |
| 0° | 3 | 14 | 13,5 | 11,5 | 15,54 | 19,33 | 54,3 | 35,7 | 1 141 | 4,9 | 59,1 | 4,8 | 11,9 | | | |

Pentru nivelele de asigurare $\theta_{ae} = -5^\circ\text{C}$ și $\theta_{ae} = -10^\circ\text{C}$, duratele $t_k = 160$ h și $t_k = 64$ h rezultă conf. pct. 5.9c regimuri RTC_k .

PROIECTAREA REGIMULUI TERMIC RTC_K

| Nivel de asig. | θ_b | θ_t | V_r | t_r (5,26) | m'_r (5,28) | M'_r (5,28) | θ_1 | θ_n | m'_n | m_n | t_n | t'_e (5,27) | $\sum_{k=1}^{n-1} M'_k$ (5,29) | t_k | Δt_n (5,30) | t'_e (5,31) | t'_t (5,32) | θ_e (4,15) | t_k | |
|----------------|------------|------------|-------|-----------------|------------------|------------------|------------|------------|--------|-------|-------|------------------|-----------------------------------|-------|------------------------|------------------|------------------|----------------------|-------|---|
| -5 | 1 | 5 | 0,5 | 8,0 | 6,99 | 56 | 4,5 | 1,5 | 10,9 | - | - | 3,88 | 15,1 | 46,1 | 371 | 67,3 | 42,6 | (*) 38,6 | - | - |
| -10 | | | | | | | | | | | | | | | - | 61,2 | 75,6 | 1,0 | 144,8 | |

Durata $t_k = 160$ h

| | 0 | 3 | 7,3 | 15,54 | 11,3 | 13,5 | 13,5 | 22,24 | 20,48 | 29,30 | 25,0 | 54,1 | 3,9 | 27,8 | 52,8 | - | 13,1 | 64 |
|-----|---|----|-----|-------|-------|------|------|-------|-------|-------|------|-------|------|-------------|-------------|---|------|----|
| | | | | | | | | 12,5 | 19,33 | 35,7 | 54,3 | 1,141 | 3,3 | (*) -0,9 | - | - | - | - |
| -5 | 1 | 14 | 1,5 | 8,7 | 13,77 | 12,0 | 13,5 | 11,5 | 19,15 | 10,0 | 18,3 | 382 | 34,3 | 2,7 | 21,0 | - | 11,7 | 64 |
| -10 | 1 | | | | | | | | 10,5 | 18,02 | 10,7 | 28,3 | 574 | 32,1 | (*) -5,1 | - | - | - |

Durata $t_k = 64$ h

* Condiție nefădănită.

Evaluarea puterilor și consumurilor specifice pe șantier

| Regim termic | Nivel de asig. | θ_b °C | θ_t °C | θ_e °C | t_r h | t_t h | t_e h | m_r | m_t | P_{sr} W/m ³ | P_{st} W/m ³ | Q_{ss} Kwh/m ³ |
|------------------|----------------|------------------|------------------|------------------|------------|------------|------------|-------|-------|------------------------------|------------------------------|--------------------------------|
| $t_K = 160$ h | | | | | | | | | | | | |
| CC _K | 0° | 3,5 | 3,5 | - | - | - | - | 157,0 | - | - | - | - |
| CC _K | -5° | 10 | 10 | - | - | - | - | 118,0 | - | - | - | - |
| TC _K | -5° | 4 | 4 | - | - | 114,8 | 45,2 | - | 9,24 | - | 49 | 5,6 |
| RTC _K | -10° | 1 | 5 | 3 | 8 | 75,2 | 61,2 | 7,16 | 11,40 | 426 | 49 | 7,1 |
| CC _K | -10° | 17 | 17 | - | - | - | 75,0 | - | - | - | - | - |
| TC _K | -10° | 4 | 4 | - | - | 132,7 | 21,8 | - | 9,24 | - | 104 | 13,7 |
| RTC _K | -10° | 1 | 5 | 3 | 8 | 98,0 | 29,1 | 7,16 | 11,40 | 480 | 103 | 13,9 |
| $t_K = 64$ | | | | | | | | | | | | |
| CC _K | 0° | 14 | 14 | - | - | - | 63,0 | - | - | - | - | - |
| TC _K | 0° | 13 | 13 | - | - | 22,7 | 41,3 | - | 21,53 | - | 28 | 0,6 |
| RC _K | 0° | 3 | 14 | 8,5 | 4,9 | 0 | 59,1 | 15,83 | - | 1700 | - | 8,3 |
| RTC _K | -5° | 17 | 17 | - | - | - | 62,0 | - | - | - | - | - |
| CC _K | -5° | 13 | 13 | - | - | 43,1 | 20,9 | - | 21,53 | - | 82 | 3,5 |
| TC _K | -5° | 1 | 14 | 7,5 | 8,7 | 34,3 | 21,0 | 14,17 | 22,75 | 1144 | 32 | 8,5 |
| RTC _K | -10° | 13 | 13 | - | - | 52,1 | 11,0 | - | 21,53 | - | 137 | 7,1 |
| CC _K | -10° | 1 | 14 | 7,5 | 8,7 | 42,6 | 12,7 | 14,17 | 22,75 | 1241 | 141 | 15,3 |

Se poate projecța un regim RTG_k și pentru $\theta_{ae} = 0^\circ\text{C}$; $t_K = 64$ h, dacă se adoptă o viteză de ridicare a temperaturii v_r , cuprinsă între valorile caracteristice regimurilor RT_k și RC_k :

$$\frac{14 - 3}{16,9} = 0,65 < v_r = \frac{\theta_t - \theta_b}{t_r} < \frac{14 - 3}{4,9} = 2,24^\circ\text{C/h}$$

g) Se proiectează regimul termic RTG_k conform pct. 5.6; calculul se organizează într-un tabel.

h) Puterile specifice și consumurile specifice se evaluatează conform pct. 5.7 și 5.8; calculele se organizează într-un tabel, în care s-au inscris pentru comparație și regimurile termice CC_k .

5.10. Pentru simplificarea departajării domeniilor de aplicare a diferențelor regimuri termice se dau în tabelele D.3.10 și D.3.11 regimurile termice de referință TT_k și RT_k în cazul tipurilor uzuale de betoane tipizate în Anexa C pentru diferite durate t_k și niveluri de asigurare θ_{ae} , împreună cu limitele parametrului M_s/R_s pentru aplicarea regimurilor termice CC_k și RC_k în condiții de consum minim de energie.

Desi proiectate pentru tipurile de betoane tipizate în Anexa C, tabelele D.3.10 și D.3.11 dă indicații valabile și pentru alte betoane, astfel încit să se treacă direct la proiectarea regimului termic cel mai eficient.

6. Proiectarea regimului termic în timpul transportului și punerii în operă a betonului

Proiectarea regimului termic în timpul transportului betonului constă (Anexa B, pct. 4) în precizarea temperaturii θ_t , la livrarea betonului (descărcarea din mijlocul de transport) și a temperaturii θ_p la preparare (descărcarea din malaxor) cu evidențierea mijloacelor folosite și a condițiilor de protejare termică a lor.

6.1. Coeficientul unitar K'_t de scădere a temperaturii betonului în timpul transportului la obiect depinde de mijlocul folosit, de condițiile de protejare ale acestuia și de durata transportului. Pentru situațiile uzuale valorile coeficientului K'_t sunt date în anexa D.6.1 în care se poate interpola liniar pentru durate intermediiare.

6.2. Coeficientul unitar K''_t de scădere a temperaturii betonului în timpul transportului pe obiect și punerii lui în operă depinde de forma și dimensiunile elementului de construcție în care se toarnă, de durata procesului, de soluția de protejare a benelor în perioada de așteptare și de durata acesteia pentru ultima benă. Pentru soluțiile uzuale valorile coeficientului K''_t sunt date în anexa D.6.2, în care se poate interpola liniar pentru durate intermediiare.

Durata de așteptare, t_a , a betonului din ultima benă se determină cu relația:

$$t_a = 10 \left(\frac{V_t}{v_b} - 1 \right) \quad (6.1)$$

în care: 10' reprezintă durata maximă de punere în operă a betonului dintr-o benă;

$$\begin{aligned} V_t &= \text{volumul betonului transportat într-un ciclu;} \\ v_b &= \text{volumul (capacitatea) unei bene.} \end{aligned}$$

6.3. Temperaturile caracteristice: θ_p , la preparare și θ_t , la livrare, în funcție de temperatura θ_b , la terminarea punerii în operă se determină conform indicațiilor din Anexa B, pct. 4, folosind relațiile (4.1) și (4.2).

În graficul din anexa D.6.3 se pot obține direct valorile $(\theta_t - \theta_{ae})$ în funcție de $(\theta_b - \theta_{ae})$ și K'_t , respectiv $(\theta_p - \theta_{ae})$ în funcție de $(\theta_t - \theta_{ae})$ și K_t , din care se determină θ_t și respectiv θ_p .

6.4. Exemplu de calcul.

a) Coeficienții K'_t ; K''_t , în ipoteza transportului betonului la 2,5 km distanță cu viteză de 15 km/h folosind un autoagitator de 5 m³ capacitate, ne-protejat (Anexa D.6.1, soluția 2a) din care betonul se descarcă în bene de 1 m³, protejate conform soluției c (Anexa D.6.2) și a punerii lui în operă într-o diafragmă (Anexa D.6.2, soluția 2c), rezultă în funcție de duratele caracteristice astfel:

$$\text{Durata de transport: } \frac{2,5 \times 60}{15} = 10'$$

$$K'_t = 0,168 + (0,360 - 0,168) \frac{10 - 6}{30 - 60} = 0,200$$

Durata de punere în operă a betonului dintr-o benă: 10'

Durata de așteptare a ultimei bene:

$$t_a = 10 \left(\frac{5,0}{1,0} - 1 \right) = 40'$$

$$K''_t = 0,122 + (0,282 - 0,122) \frac{40 - 10}{50 - 10} = 0,242$$

b) Temperaturile caracteristice:

- nivelul de asigurare $\bar{\theta}_{ae} = -5^\circ\text{C}$
- temperatura betonului la terminarea punerii în operă: $\theta_b = 10^\circ\text{C}$
- c) Temperaturile θ_t ; θ_p folosind relațiile (4.1) și (4.2) din Anexa B, pct. 4;

$$\theta_t = -5 + \frac{2 + 0,242}{2 - 0,242} (10 - 5) = 14,1$$

$$\theta_p = -5 + \frac{2 + 0,200}{2 - 0,200} (14,1 - 5) = 18,3 \cong 19$$

d) Temperaturile θ_l ; θ_p , folosind graficul din anexa D.6.3
- pentru $K'_l = 0,242$; $\theta_l - \theta = 19^{\circ}\text{C}_b$

$$\theta_l = 19 - 5 = 14^{\circ}\text{C}$$

- pentru $K'_l = 0,200$; $\theta_p - \theta_b = 24$

$$\theta_p = 24 - 5 = 19^{\circ}\text{C}$$

6.5. Diferența între temperaturile ($\theta_p - \theta_b$) este cu atit mai mare cu cit crește temperatura θ_b , ceilalți parametri K' , K''_l , θ'_{ae} , rămânind constanți (Anexa C, fig. 6.1). Din aceeași figură rezultă că diferențele ($\theta_{p1} - \theta_{p2}$) sunt întotdeauna mai mari decit ($\theta_{b1} - \theta_{b2}$).

Din aceste motive încălzirea betonului după punerea lui în operă, conduce, pentru randamente $r_p = r_s$, la consumuri specifice de energie mai reduse decit metoda conservării căldurii.

6.6. Regimul termic la prepararea, transportul și punerea în operă a betonului pe timp friguros se poate determina prin:

a) alegerea unei soluții tip de organizare a procesului dintre cele prezentate în anexa C, pct. 6 și corelarea temperaturilor θ_p , θ_l și θ_b pe baza valorilor tipizate ale coeficienților K'_l , K''_l (tabelele C.6.1, C.6.2);

b) proiectarea unei soluții specifice de organizare a procesului și evaluarea coeficienților K'_l , K''_l pe baza prevederilor din această anexă, (Anexele D.6.1, D.6.2); corelarea temperaturilor θ_b , θ_l și θ_p se face în acest caz folosind graficul D.6.3.

7. Proiectarea regimului termic la prepararea betonului

7.1. Regimul termic la prepararea betonului constă în evidențierea următorilor parametri:

- nivelul de asigurare $\bar{\theta}'_{ae}$, stabilit conform anexei A;
- temperatura betonului la descărcarea din malaxor, θ_p , în $^{\circ}\text{C}$, stabilită conform prevederilor din anexa D.6.
- compozitia betonului: apă, A; ciment, C; agregate, Ag, în kg/m^3 ;
- umiditatea agregatelor u, în procente;
- temperaturile inițiale ale apei θ_{ia} ; agregatelor θ_{iag} și cimentului θ_{ic} ;
- temperaturile finale ale apei, θ_{fa} , agregatelor, θ_{fag} și cimentului;
- consumul specific tehnic de energie, Q_{sp} , la prepararea betonului.

7.2. Temperaturile inițiale ale componentelor se stabilesc astfel:

a. temperatura inițială a apei se estimează la valoarea

$$\theta_{ia} = + 10^{\circ}\text{C}, \text{ dacă nu există date reale;} \quad (7.1)$$

b) temperatura inițială a agregatelor θ_{iag} se estimează pe baza datelor din tabelul D.7.1; în lipsa unor date efective privind caracterul depozitului și variația temperaturii aerului în zilele precedente se adoptă relația:

$$\theta_{iag} = \bar{\theta}'_{ae} \quad (7.2)$$

c) temperatura inițială a cimentului

$$\theta_{ic} = \bar{\theta}'_{ae} \quad (7.3)$$

7.3. În vederea determinării temperaturilor finale ale componentelor betonului se adoptă următoarele ipoteze de lucru:

a) agregatele se dezgheata în mod obligatoriu, adică se încălzesc pînă la o temperatură minimă:

$$\theta_{fag} = + 5^{\circ}\text{C} \quad (7.4)$$

b) cimentul nu se încălzește, însă prin frecarea ce se produce în timpul transportului pe șnecul dozatorului, temperatura sa poată crește cu o valoare θ_e astfel încît rezultă:

$$\theta_{fc} = \theta_{ic} + \Delta\theta_e \quad (7.5)$$

unde: $\Delta\theta_e = 0 \dots 10^{\circ}\text{C}$

c) apa se încălzește la temperatura necesară pentru ca să rezulte prin amestecare beton la temperatura θ_p , dar nu mai mare decit o valoare maximă θ'_{fa} specifică fiecărui tip de ciment:

$$\theta_{fa} \leq \theta'_{fa} = 80^{\circ} \text{ pentru Pa 35} \quad (7.6)$$

$$\theta_{fa} \leq \theta'_{fa} = 70^{\circ} \text{ pentru P 40*}$$

d) dacă pentru realizarea temperaturii θ_p a betonului rezultă că apa trebuie încălzită la o temperatură superioară valorii θ'_{fa} , se adoptă:

$$\theta_{fa} = \theta'_{fa} \quad (7.7)$$

$$\theta_{fag} > + 5^{\circ} \quad (7.8)$$

7.4. Temperaturile finale ale apei și agregatelor se evaluatează folosind graficele D.7.2...D.7.4, astfel:

a) Se determină valorile auxiliare:

$$\Delta A = 10^{-2} u A_g \quad (7.9)$$

θ_{bc} , în graficul D.7.2 în funcție de dozajul de ciment; se intră pe ordonată cu valoarea θ_{fc} ;

θ'_{ba} , în graficul D.7.3 în funcție de parametrii ΔA și $\theta_{fa} = \theta'_{fa}$, se intră pe abscisă cu cantitatea totală de apă A;

θ'_{bag} , în graficul D.7.4, în funcție de parametrii ΔA și $\theta_{fag} = + 50$; se intră pe abscisă cu cantitatea totală de agregat uscat, A_g ;

b) Se calculează:

$$\theta'_p = \theta_{bc} + \theta'_{ba} + \theta'_{bag} \quad (7.10)$$

unde θ'_p este temperatura betonului preparat cu agregate la temperatura $\theta_{fag} = +5^\circ\text{C}$ și apă la temperatura $\theta_{fa} = \theta'_{fa}$.

c) Pentru betoanele căror temperatură θ_p este inferioară valorii θ'_p adică:

$$\theta_p \leq \theta'_p \quad (7.11)$$

se adoptă:

$$\theta_{fag} = \theta_{fag \min.} = +5^\circ\text{C} \quad (7.12)$$

și se calculează valoarea auxiliară:

$$\theta_{ba} = \theta_p - \theta_{bc} - \theta'_{bag} \quad (7.13)$$

cu care se determină în graficul D.7.3, în funcție de A și ΔA , temperatura $\theta = \theta_{fag}$, necesară.

7.5. Consumul specific tehnic de energie la prepararea betonului, se evaluatează distinct pentru incălzirea apei și agregatelor.

a) Consumul specific pentru incălzirea apei. Se evaluatează în graficul D.7.3 valorile:

$$Q'_{sa}, \text{ în funcție de } A; \Delta A \text{ și } \theta = \theta_{fa}$$

$$Q''_{sa}, \text{ în funcție de } A; \Delta A \text{ și } \theta = \theta_{fa}$$

cu care se determină:

$$Q_{sa} = Q'_{sa} - Q''_{sa} \quad (7.14)$$

b) Consumul specific pentru incălzirea agregatelor. Se evaluatează în graficul D.7.4 valorile:

$$Q'_{sag}, \text{ în funcție de } A_g, \Delta A \text{ și } \theta = \theta_{fag}$$

$$Q''_{sag}, \text{ în funcție de } A_g, \Delta A \text{ și } \theta = \theta_{fag} > 0$$

$$\text{Dacă } \theta_{fag} = 0, \text{ rezultă } Q''_{sag} = 0. \quad (7.15)$$

Se evaluatează în graficul D.7.5 valoarea:

$$\bar{Q}_{sag} \text{ în funcție de } \Delta A \text{ și } \theta_{fag} \leq 0$$

$$\text{Dacă } \theta_{fag} > 0, \text{ rezultă } \bar{Q}_{sag} = 0 \quad (7.16)$$

Consumul specific tehnic la incălzirea agregatelor este:

$$Q_{sag} = Q'_{sag} - Q''_{sag} + \bar{Q}_{sag} \quad (7.17)$$

c) Consumul specific tehnic de energie la prepararea betonului, Q_{sp} este:

$$Q_{sp} = Q_{sa} + Q_{sag} \quad (7.18)$$

7.6. Consumul specific tehnic de energie la prepararea betonului se poate evalua și cu relația simplificată:

$$Q_{sp} = Q_{so} - 0,77\theta_p \quad (7.19)$$

unde: Q_{so} este o valoare constantă pentru același beton, aceeași umiditate a agregatelor, același nivel de asigurare, și aceeași ipoteză organizatorică $\theta_{fag} = \theta_{fe} = \theta'_p$.

7.7. Regimul termic la prepararea betonului pe timp friguros se poate determina prin:

- a) alegerea unui regim termic tip dintre cele prezentate în Anexa C, în măsură în care compoziția efectivă a betonului și parametrii ce caracterizează condițiile organizatorice reale sunt similare cu cele avute în vedere la proiectarea regimurilor termice tip din anexa C.
- b) proiectarea pe baza indicatiilor din această anexă (anexa D.7) a unui regim termic specific compoziției betonului și condițiilor organizatorice reale.

Parametrul θ_{so} se obține din Anexele C.7.1 ... C.7.5.

7.8. Exemplu de calcul.

a) Este necesară cunoașterea următorilor parametri:

– Caracteristicile betonului: B 250 – L_a – Pa 35 – 31

Compoziția: $A = 185 \text{ l/m}^3$; $C = 325 \text{ kg/m}^3$; $Ag = 1854 \text{ kg/m}^3$

Temperatura la descărcarea din betonieră: $\theta_p = 12^\circ\text{C}$

– Caracteristicile componentelor:

aggregate: umiditate $u = 1,7\%$

temperatura inițială, măsurată în depozit $\theta_{fag} = -3^\circ\text{C}$

ciment: creșterea temperaturii în timpul transportului

pe snec $\Delta\theta_c = +9^\circ\text{C}$

apă: temperatură inițială măsurată la conductă $\theta_{fa} = 12^\circ\text{C}$

temperatura maximă a apei (caracteristica instalației) $\theta_{fa, max} = 65^\circ\text{C}$

– Nivel de asigurare $\theta_{ae} = -5^\circ\text{C}$

Deoarece condițiile inițiale sunt sensibil diferite de cele avute în vedere la întocmirea Anexei C.7.3 proiectarea regimului termic se face conform punctului 7 din Anexa D.

b) Se calculează conf. pct. 7.3 și 7.4.

$$(7.9) \Delta A = 10^{-2}uA_g = 10^{-2} \cdot 1,7 \cdot 1854 = 32,1$$

$$(7.5) \theta_c = \theta_{ac} + \Delta\theta_c = -5 + 9 = +4^\circ\text{C}$$

c) Temperaturile componentelor

Din graficul Anexa D.7.2 pentru $\theta_c = +4^\circ\text{C}$ și $C = 325 \text{ kg}$ se determină $\theta_{bc} = 0,4^\circ\text{C}$.

Din graficul Anexa D.7.3 pentru $A = 185\text{ l}$, $\Delta A = 32\text{ l}$ și $\theta = \theta_{fag\ max} = 65^\circ\text{C}$, se determină $\theta_{ba} = 15^\circ\text{C}$.

Din graficul Anexa D.7.4, pentru $A_g = 1854\text{ kg}$, $\Delta A = 32\text{ l}$, $\theta = \theta_{fag\ min} = +5^\circ\text{C}$, se determină $\theta_{bag} = 3^\circ\text{C}$.

Conform relației (7.10).

$$\theta_p' = 0,4 + 15 + 3 = 18,4^\circ\text{C}$$

Deoarece $\theta_p = 12 < \theta_p' = 18,4^\circ\text{C}$, pentru obținerea betonului la temperatură $\theta_p = 12^\circ\text{C}$ este suficient să se dezghețe agregatele ($\theta_{fag} = +5^\circ\text{C}$) și să se încâlzească apa la o temperatură $\theta_{fa} < \theta_{fa\ max} = 65^\circ\text{C}$.

Se calculează, cu relația (7.13):

$$\theta_{ba} = 12 - 0,4 - 3 = 8,6^\circ\text{C}$$

Din graficul Anexa D.7.3 pentru $A = 185\text{ l}$, $\Delta A = 32\text{ l}$ și $\theta_{ba} = 8,6^\circ\text{C}$, se determină $\theta = \theta_{fa} = 37^\circ\text{C}$. Deci, temperaturile componenților la amestecare sint:

$$\theta_{fa} = 37^\circ\text{C}$$

$$\theta_{fag} = 5^\circ\text{C}$$

d) Consumurile specifice

Pentru ridicarea temperaturii apei

Din graficul Anexa D.7.3 pentru $A = 185\text{ l}$, $\Delta A = 32\text{ l}$ și $\theta = \theta_{fa} = 37^\circ\text{C}$ se determină $Q_{sa}' = 6,6\text{ KWh/m}^3$, iar pentru $A = 185\text{ l}$ $\Delta A = 32\text{ l}$ și $\theta = \theta_{fa} = 12^\circ\text{C}$ se determină $Q_{sa}'' = 2,2\text{ KWh/m}^3$.

Conform relației (7.14):

$$Q_{sa} = 6,6 - 2,2 = 4,4 \text{ KWh/m}^3$$

Pentru ridicarea temperaturii agregatelor

Din graficul Anexa D.7.4 pentru $A_g = 1854\text{ kg}$, $\Delta A = 32\text{ l}$ și $\theta = \theta_{fag} = 5^\circ\text{C}$ se determină $Q_{sag} = 1,95\text{ KWh/m}^3$ beton. Deoarece $\theta_{fag} = -3^\circ\text{C} < 0$, conform (7.15) rezultă $Q_{sag} = 0$.

Din graficul Anexa D.7.5 pentru $A = 32\text{ l}$ și $\theta_{fag} = -3^\circ\text{C}$ se determină $Q_{sag} = 2,9\text{ KWh/m}^3$ beton. Conform relației (7.17):

$$Q_{sag} = 1,95 - 0 + 2,9 = 4,85 \text{ KWh/m}^3$$

Deci, consumul specific de energie la prepararea betonului este conform relației (7.18).

$$Q_{sp} = 4,4 + 4,85 = 9,25 \text{ KWh/m}^3$$

Dacă evaluarea consumului specific la preparare se face în mod acoperitor din tabelul C.7.3, neluindu-se în considerare condițiile locale, adică pentru: $\theta_{ia} = 10^\circ\text{C}$, $\theta_c = \theta_{ae} = -5^\circ\text{C}$:

$$\theta_{fag} = \theta_{ae} = -5^\circ\text{C} \text{ și } u = 2\%, \text{ rezultă (relația 7.19):}$$

$$Q_{sp} = 4,35 + 0,77 \cdot 12 = 13,6 \text{ KWh/m}^3$$

Comparind cele două consumuri, se constată că luarea în considerare a condițiilor locale conduce la o economie de energie de:

$$Q = 9,25 - 13 \cdot 6 = -4,35 \text{ KWh/m}^3, \text{ adică } 32\%.$$

8. Bilanțul energetic

8.1. Bilanțul energetic constă în sintetizarea rezultatelor obținute la proiectarea diferitelor regimuri termice (pct. 4.4 și 5.9, Anexa D) și completarea lor cu proiectarea regimurilor termice la transport și punere în operă, respectiv la preparare.

Pentru proiectarea regimurilor termice la transport și punere în operă se procedează ca la exemplul de la pct. 6.4. adoptând aceeași ipoteză organizatorică ($k_t' = 0,200$; $K_t'' = 0,242$); se stabilesc în acest fel valorile θ_t și θ_p din tabel.

Pentru proiectarea regimurilor termice la preparare se procedează conform indicațiilor de la pct. 7.6 folosind relația (7.19) și valorile Q_{so} din Anexa C.7.3.

8.2. Exemplul din tabelul intitulat „Bilanț energetic” prezintă rezultatele obținute la exemplele de la pct. 4.4 și 5.9 din Anexa D în ipoteza $r_s = r_p = 1$, corespunzătoare consumurilor specifice tehnice. Pentru obținerea consumurilor efective, acestea trebuie majorate prin raportare la r_s , respectiv r_p (anexa B, pct. 4.3, relația 4.3).

Consumurile specifice din tabelul „Bilanț energetic” sunt în general minime pentru varianta RTC_k (sau RC_k) care necesită însă și puterea instalată maximă la ridicarea temperaturii (P_{sr}).

Se pot reduce puterile specifice prin adoptarea variantelor TC_k , caracterizate însă prin consumuri specifice mai ridicate. Acestea din urmă pot fi însă reduse prin luarea în considerare a situațiilor favorabile ce pot să apară la prepararea betonului (exemplul de la pct. 7.8, Anexa D) sau prin îmbunătățirea condițiilor de protecție (Anexa C, pct. 9.7).

BILANȚ ENER-

| Nivel de asigurare | | Regim termic | | | | | | | | | |
|---------------------|---------------------|------------------|------------------|------------------|------------------|------------|------------|------------|------------------|------------------|--|
| | | Maturizare | | | | | | | | | |
| $\bar{\theta}_{ae}$ | $\bar{\theta}_{ae}$ | Tip | θ_b °C | θ_t °C | θ_e °C | t_r h | t_t h | t_e h | P_{sr} W/m³ | P_{st} W/m³ | |
| $t_k =$ | | | | | | | | | | | |
| 0 | 0 | CC _k | 3,5 | 3,5 | 4,1 | — | — | 157,0 | — | — | |
| | | CC _k | 10 | 10 | 1,6 | — | — | 118,0 | — | — | |
| | -5 | TC _k | 4 | 4 | 1,0 | — | 114,8 | 45,2 | — | 49 | |
| -5 | | RTC _k | 1 | 5 | — | 8,0 | 75,2 | 61,2 | 426 | 49 | |
| | | CC _k | 17 | 17 | 4,6 | — | — | 75,0 | — | — | |
| | -10 | TC _k | 4 | 4 | 1,0 | — | 132,7 | 21,8 | — | 104 | |
| | | RTC _k | 1 | 5 | — | 8,0 | 98,0 | 29,1 | 480 | 103 | |
| $t_k =$ | | | | | | | | | | | |
| 0 | 0 | CC _k | 14 | 14 | 11,8 | — | — | 63,0 | — | — | |
| | | TC _k | 13 | 13 | 11,7 | — | 22,7 | 41,3 | — | 28 | |
| | | RC _k | 3 | 14 | 11,9 | 4,9 | — | 59,1 | 1700 | — | |
| | | RTC _k | 3 | 14 | 13,1 | 7,3 | 3,9 | 52,8 | 1144 | 32 | |
| | -5 | CC _k | 17 | 17 | 10,2 | — | — | 62,0 | — | — | |
| -5 | | TC _k | 13 | 13 | 10,9 | — | 43,1 | 20,9 | — | 82 | |
| -5 | | RTC _k | 1 | 14 | 11,7 | 8,7 | 34,3 | 21,0 | 1187 | 87 | |
| | | CC _k | 13 | 13 | 10,9 | — | 52,1 | 11,9 | — | 137 | |
| | -10 | RTC _k | 1 | 14 | 11,7 | 8,7 | 42,6 | 12,7 | 1241 | 141 | |

GETIC (EXEMPLU)

| Q_{ss} KWh/m³ | Preparare, transport, punere în opera | | | Q_s $r_s = 1$ $r_p = 1$ KWh/m³ | Ipoteze (parametri caracteristici) |
|--------------------|------------------------------------------|------------------|--------------------|-------------------------------------------|---------------------------------------|
| | θ_l °C | θ_p °C | Q_{sp} KWh/m³ | | |
| — | 4,5 | 6 | 6,4 | 6,4 | (*) |
| — | 14,1 | 19 | 19,0 | 19,0 | |
| 5,6 | 6,5 | 9 | 11,3 | 16,9 | |
| 7,1 | 2,7 | 5 | 8,2 | 15,3 | (*) |
| — | 23,0 | 29 | 26,7 | 26,7 | |
| 13,7 | 6,5 | 9 | 11,3 | 25,0 | |
| 13,9 | 2,7 | 5 | 8,2 | 22,1 | (*) |
| 160 h | | | | | |
| — | 17,9 | 22 | 18,7 | 18,7 | |
| 0,6 | 16,6 | 21 | 17,9 | 18,5 | |
| 8,3 | 3,8 | 5 | 5,6 | 13,9 | (*) |
| 8,5 | 3,8 | 5 | 5,6 | 14,1 | (*) |
| — | 23,0 | 29 | 26,7 | 26,7 | |
| 3,5 | 18,0 | 24 | 22,8 | 26,3 | |
| 13,3 | 2,7 | 5 | 8,2 | 21,5 | (*) |
| 7,1 | 18,0 | 24 | 22,8 | 29,9 | |
| 15,3 | 2,7 | 5 | 8,2 | 23,5 | (*) |
| 64 h | | | | | |

ANEXA D₁₋₁
GRADUL CRITIC DE MATERIZARE M_k , CORELAREA LUI CU NIVELUL CRITIC DE ÎNTĂRIRE β_k ȘI VALORILE EXOTERMIEI

| Felul cimentului | E ₂₈ Wh/Kg | A/C = 0,4..0,5 | | | A/C = 0,5..0,6 | | | A/C = 0,6..0,7 | | |
|------------------|--------------------------|----------------|-----------------------|----------------|----------------|-----------------------|----------------|----------------|-----------------------|----------------|
| | | A/C | M _k h°C | β_k % | A/C | M _k h°C | β_k % | A/C | M _k h°C | β_k % |
| Pa 35 | 65 | 0,40 | 850 | 18,9 | 0,50 | 1100 | 25,4 | 0,60 | 1400 | 31,9 |
| | | 0,42 | 900 | 20,5 | 0,52 | 1160 | 26,8 | 0,62 | 1444 | 32,6 |
| | | 0,44 | 950 | 21,7 | 0,54 | 1220 | 28,3 | 0,64 | 1488 | 33,4 |
| | | 0,46 | 1000 | 22,9 | 0,56 | 1280 | 29,8 | 0,66 | 1532 | 34,1 |
| | | 0,48 | 1050 | 24,1 | 0,58 | 1340 | 30,8 | 0,68 | 1576 | 34,8 |
| | | 0,50 | 1100 | 25,4 | 0,60 | 1400 | 31,9 | 0,70 | 1620 | 35,6 |
| P 40 | 70 | 0,40 | 750 | 19,2 | 0,50 | 1000 | 26,0 | 0,60 | 1270 | 32,2 |
| | | 0,42 | 800 | 20,8 | 0,52 | 1054 | 27,5 | 0,62 | 1316 | 33,1 |
| | | 0,44 | 850 | 22,1 | 0,54 | 1108 | 28,9 | 0,64 | 1362 | 33,9 |
| | | 0,46 | 900 | 23,4 | 0,56 | 1162 | 30,2 | 0,66 | 1408 | 34,8 |
| | | 0,48 | 950 | 24,7 | 0,58 | 1216 | 31,2 | 0,68 | 1454 | 35,6 |
| | | 0,50 | 1000 | 26,0 | 0,60 | 1270 | 32,2 | 0,70 | 1500 | 36,5 |

ANEXA D₁₋₂
CORELAREA DURATELOR DE MATERIZARE t_k (ÎN h) CU DURATELE z_k (ÎN ZILE)

| $z_k^{(*)}$ (zile) | Durata critică de maturizare $t_k^{(**)}$ în ore, pentru betonul turnat în schimbul | | | | |
|-----------------------|----------------------------------------------------------------------------------------|---------|---------|---------|---------|
| | I | | II | | III |
| | 8h/sch | 10h/sch | 8 h/sch | 10h/sch | 8 h/sch |
| 1 | 40 | 38 | 32 | 28 | 24 |
| 2 | 64 | 62 | 56 | 52 | 48 |
| 3 | 88 | 86 | 80 | 76 | 72 |
| 4 | 112 | 110 | 104 | 100 | 96 |
| 5 | 136 | 134 | 128 | 124 | 120 |
| 6 | 160 | 158 | 152 | 148 | 144 |
| 7 | 184 | 182 | 176 | 172 | 168 |

(*) exclusiv zilele de turnare și de îndepărțare a protecției;

(**) inclusiv durata Δt din ziua de turnare din momentul terminării schimbului în care betonul a fost pus în operă.

ANEXA D₂₋₁

REZISTENȚELE TERMICE \bar{R}_s ALE UNOR SOLUȚII RECOMANDATE PENTRU PROTEJAREA SUPRAFETELOR ELEMENTELOR DE CONSTRUCȚIE DIN BETON

| Nr. crt. | Solutia de protejare | \bar{R}_s | | Domeniul de utilizare |
|-------------|-------------------------------------------------------------------------------------------------|-----------------------|---------------------------|---------------------------------------------------------------------------|
| | | m ² K W | m ² Ch Kcal | |
| 0 | 1 | 2 | 3 | 4 |
| 1 | Folie de polietilenă de 1 mm grosime | 0,006 | 0,007 | — Impermeabilizarea la vînt a protecției termice |
| 2 | Prelată din pinză impermeabilă de 3 mm grosime | 0,030 | 0,035 | — Impermeabilizarea la vînt a protecției termice |
| 3 | Prelată din pinză impermeabilă de 3 mm grosime, cuplată cu folie de polietilenă de 3 mm grosime | 0,036 | 0,042 | — Impermeabilizare la vînt a protecției termice |
| 4 | Plapomă de poliuretan de 3 cm grosime între două folii de polietilenă | 0,608 | 0,707 | — Protecție termică a suprafețelor libere ale betonului |
| 5 | Idem cu 4 cm poliuretan | | | — Protecție termică a suprafețelor libere ale betonului |
| 6 | Panouri de cofraj din placaj F de 10 mm grosime, neizolate termic, tipizate | 0,083 | 0,098 | — Strat de separație între mediul încălzitor și beton (suprafețe cofrate) |
| 7 | Idem, izolate termic cu 5 cm pislă minerală ($\rho = 250 \text{ kg/m}^3$; $\lambda = 0,08$) | 0,653 | 0,759 | — Protecție termică a fețelor cofrate |
| 8 | Cofraje metalice neprotejate termic | 0 | 0 | — Strat de separație între mediul încălzitor și beton (fețe cofrate) |
| 9 | Idem, izolate termic cu 6 cm pislă minerală având 9,5% punți termice | 0,679 | 0,790 | — Protecție termică a fețelor cofrate |

| 0 | 1 | 2 | 3 | 4 |
|----|-------------------------------------------------------------------------------------------------------------------------------------------------------------|-------------------------------------------|-------------------------------------------|-------------------------------------------------------------------------------------|
| 10 | Cofraje metalice încălzitoare protejate la exterior cu 6 cm vată minerală de sticlă (100 kg/m ³) sau 8 cm pislă minerală cu 14,3% punți termice | 0,857 | 0,997 | - Protecție termică a sursei de căldură |
| 11 | Strat de aer vertical în grosime de: a; 1 cm b; 2 cm c; 5 cm d; 10 cm e; 15 cm | 0,140 0,160 0,180 0,170 0,160 | 0,163 0,186 0,209 0,198 0,186 | Îmbunătățirea caracteristicilor de izolare termică dacă este staționar (neventilat) |
| 12 | Strat de aer orizontal la fluxul termic de jos în sus grosimea: a; 1 cm b; 2 cm c; 5 cm | 0,140 0,150 0,160 | 0,163 0,174 0,186 | Îmbunătățirea caracteristicilor de izolare termică dacă este staționar (neventilat) |
| 13 | Strat orizontal la fluxul termic de sus în jos, grosimea: a; 1 cm b; 2 cm c; 5 cm | 0,150 0,170 0,180 | 0,174 0,198 0,209 | Idem |

Rezistențe la transfer termic:

- Pe suprafață interioară:

- agent încălzitor abur $R_i = 0,004 \frac{m^2 h^\circ C}{W}$; $0,005 \frac{m^2 h^\circ C}{Kcal}$
- agent încălzitor aer cald $R_i = 0,043 \frac{m^2 K}{W}$; $0,050 \frac{m^2 h^\circ C}{Kcal}$

Pe suprafață exterioară: $R_e = 0,043 \frac{m^2 K}{W}$; $0,050 \frac{m^2 h^\circ C}{Kcal}$

ANEXA D_{2.2}

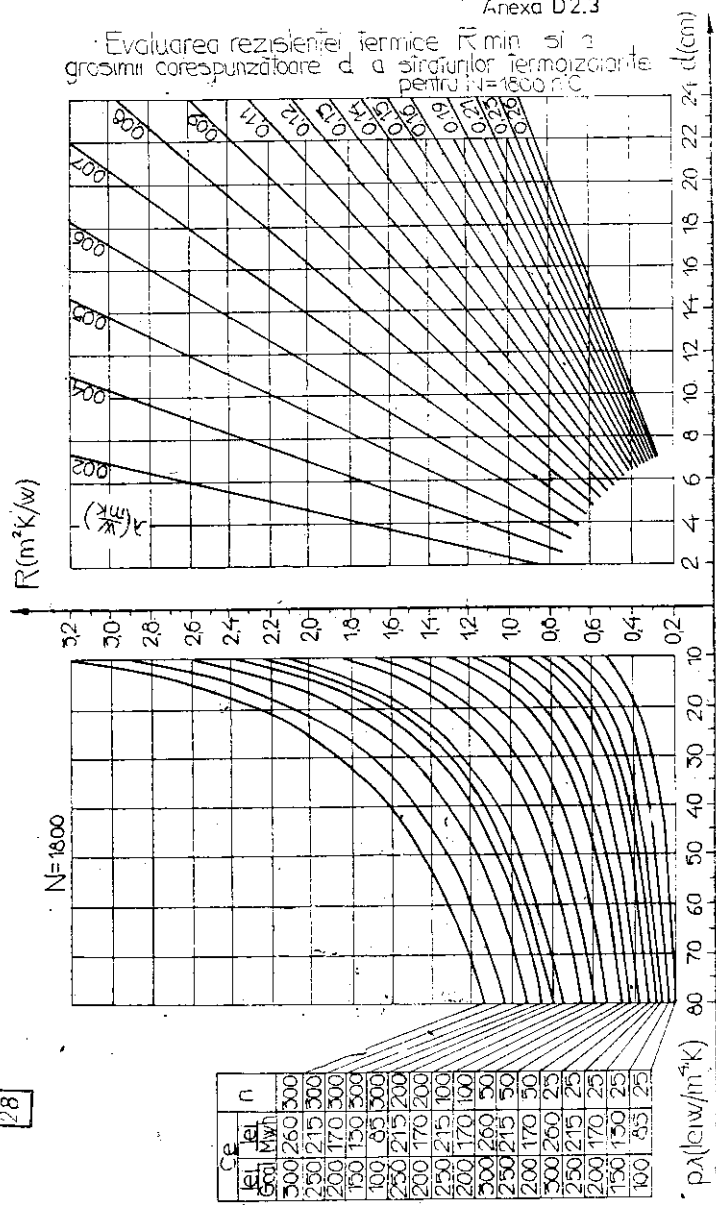
REZISTENȚE TERMICE R_{min} ALE UNOR MATERIALE TERMOIZOLANTE UZUALE PENTRU $N = 1800 \frac{h^\circ C}{W}$ și $C_e = 250 \frac{J}{g \cdot \Delta t}$

| Nr. crt. | Denumirea materialului | Dezisitate aparentă $\frac{kg}{m^3}$ | Coeficient de conductivitate termică: λ $\frac{W}{mK}$ | Costul esti- nuativ $\frac{lei/mc}{Kcal}$ | Rezistență minimă pentru: | | | | | | |
|-------------|-------------------------------------|-----------------------------------------|-------------------------------------------------------------------|----------------------------------------------|-----------------------------|----------------------------|-----------------------------|----------------------------|--------------------------------|--------------------------------|------|
| | | | | | $n = 25$ | | $n = 100$ | | $n = 300$ | | |
| | | | | | m^2K $\frac{W}{m^2Ch}$ | m^2K $\frac{W}{Kcal}$ | m^2Ch $\frac{Kcal}{W}$ | m^2K $\frac{W}{Kcal}$ | m^2Ch $\frac{Kcal}{Kcal}$ | m^2Ch $\frac{Kcal}{Kcal}$ | |
| 0 | | | | | 1 | 2 | 3 | 4 | 5 | 6 | 7 |
| 1 | Plăci din puizerie de in și cineașă | 300 | 0,134 | 0,115 | 725 | 0,32N | 0,37N | 0,63 | 0,74 | 1,09 | 1,27 |
| 2 | Plăci din stuf tocata lat (izostuf) | 200 | 0,107 | 0,092 | 650 | 0,37N | 0,43N | 0,75 | 0,87 | 1,30 | 1,51 |
| 3 | Plăci din PFL poros | 250 | 0,114 | 0,098 | 585 | 0,38N | 0,44N | 0,76 | 0,89 | 1,32 | 1,53 |
| 4 | Plăci din fibroperlit | 270 | 0,120 | 0,103 | 550 | 0,39N | 0,45N | 0,77 | 0,90 | 1,34 | 1,55 |
| 5 | Plăci din deșeuri textile | 150 | 0,053 | 0,046 | 835 | 0,47N | 0,54N | 0,94 | 1,09 | 1,62 | 1,88 |
| 6 | Vată de sticlă | 150 | 0,041 | 0,035 | 530 | 0,55A | 0,63A | 1,09 | 1,27 | 1,88 | 2,19 |
| 7 | Vată minerală | 100 | 0,949 | 0,042 | 620 | 0,57A | 0,66A | 1,13 | 1,32 | 1,96 | 2,28 |
| 8 | Polistiren expandat | 60 | 0,041 | 0,035 | 680 | 0,60A | 0,70A | 1,20 | 1,40 | 2,08 | 2,42 |
| 9 | Plăci din paie liate | 220 | 0,087 | 0,015 | 350 | 0,57A | 0,66A | 1,13 | 1,31 | 1,99 | 2,27 |

A = admis

N = nerecomandabil

N=1800



Anexa D2.3

Evaluarea rezistenței termice R min și a
gresimii corespunzătoare dăriiilor termoizolante
pentru $N=1800$ C.C.

ANEXA D_{2.4}

VALORILE COEFICIENTILOR K_{bf} PENTRU $\Delta R_{sj} = 0$ ÎN PUNCTIE DE PARAMETRUL R'_{sj} SI d_j

| R'_{sj} | K_{bf} pentru $d_j =$ | | | | | | | | | | | | | | |
|-----------|-------------------------|-------|-------|-------|-------|-------|-------|-------|-------|-------|-------|-------|-------|-------|--|
| | 0,10 | 0,15 | 0,20 | 0,30 | 0,40 | 0,60 | 0,80 | 1,00 | 1,25 | 1,50 | 1,75 | 2,00 | 2,50 | 3,00 | |
| 1 | 2 | 3 | 4 | 5 | 6 | 7 | 8 | 9 | 10 | 11 | 12 | 13 | 14 | 15 | |
| 0,050 | 0,193 | 0,264 | 0,324 | 0,418 | 0,489 | 0,590 | 0,657 | 0,705 | 0,750 | 0,782 | 0,807 | 0,827 | 0,857 | 0,878 | |
| 0,075 | 0,138 | 0,193 | 0,242 | 0,324 | 0,390 | 0,489 | 0,561 | 0,616 | 0,666 | 0,705 | 0,736 | 0,761 | 0,800 | 0,827 | |
| 0,100 | 0,107 | 0,152 | 0,193 | 0,264 | 0,324 | 0,418 | 0,489 | 0,545 | 0,599 | 0,642 | 0,677 | 0,705 | 0,750 | 0,782 | |
| 0,125 | 0,087 | 0,126 | 0,161 | 0,223 | 0,277 | 0,365 | 0,434 | 0,489 | 0,545 | 0,590 | 0,626 | 0,657 | 0,705 | 0,742 | |
| 0,150 | 0,074 | 0,107 | 0,138 | 0,193 | 0,242 | 0,324 | 0,390 | 0,441 | 0,499 | 0,545 | 0,583 | 0,615 | 0,666 | 0,705 | |
| 0,200 | 0,056 | 0,082 | 0,107 | 0,152 | 0,193 | 0,242 | 0,324 | 0,374 | 0,428 | 0,473 | 0,512 | 0,545 | 0,599 | 0,642 | |
| 0,300 | 0,038 | 0,056 | 0,074 | 0,107 | 0,138 | 0,193 | 0,242 | 0,285 | 0,333 | 0,374 | 0,411 | 0,444 | 0,499 | 0,545 | |
| 0,400 | 0,029 | 0,043 | 0,056 | 0,082 | 0,107 | 0,152 | 0,193 | 0,230 | 0,272 | 0,310 | 0,344 | 0,374 | 0,428 | 0,473 | |
| 0,500 | 0,023 | 0,035 | 0,046 | 0,067 | 0,087 | 0,126 | 0,161 | 0,193 | 0,230 | 0,264 | 0,295 | 0,324 | 0,374 | 0,418 | |
| 0,600 | 0,020 | 0,029 | 0,038 | 0,056 | 0,074 | 0,107 | 0,138 | 0,166 | 0,200 | 0,230 | 0,259 | 0,285 | 0,333 | 0,374 | |
| 0,700 | 0,017 | 0,025 | 0,033 | 0,049 | 0,064 | 0,093 | 0,120 | 0,146 | 0,176 | 0,204 | 0,230 | 0,255 | 0,300 | 0,339 | |
| 0,800 | 0,015 | 0,022 | 0,029 | 0,043 | 0,056 | 0,082 | 0,107 | 0,130 | 0,158 | 0,183 | 0,208 | 0,230 | 0,272 | 0,310 | |
| 0,900 | 0,013 | 0,020 | 0,026 | 0,038 | 0,051 | 0,074 | 0,096 | 0,117 | 0,143 | 0,166 | 0,189 | 0,210 | 0,250 | 0,285 | |
| 1,000 | 0,012 | 0,018 | 0,023 | 0,035 | 0,046 | 0,067 | 0,087 | 0,107 | 0,130 | 0,152 | 0,173 | 0,193 | 0,230 | 0,264 | |
| 1,100 | 0,011 | 0,016 | 0,021 | 0,032 | 0,042 | 0,061 | 0,080 | 0,098 | 0,120 | 0,140 | 0,160 | 0,179 | 0,214 | 0,246 | |
| 1,200 | 0,010 | 0,015 | 0,020 | 0,029 | 0,038 | 0,056 | 0,074 | 0,091 | 0,111 | 0,130 | 0,149 | 0,166 | 0,200 | 0,230 | |
| 1,300 | 0,009 | 0,014 | 0,018 | 0,027 | 0,036 | 0,052 | 0,059 | 0,084 | 0,103 | 0,121 | 0,139 | 0,156 | 0,187 | 0,216 | |
| 1,400 | 0,008 | 0,013 | 0,017 | 0,025 | 0,035 | 0,049 | 0,064 | 0,079 | 0,097 | 0,114 | 0,130 | 0,146 | 0,176 | 0,204 | |

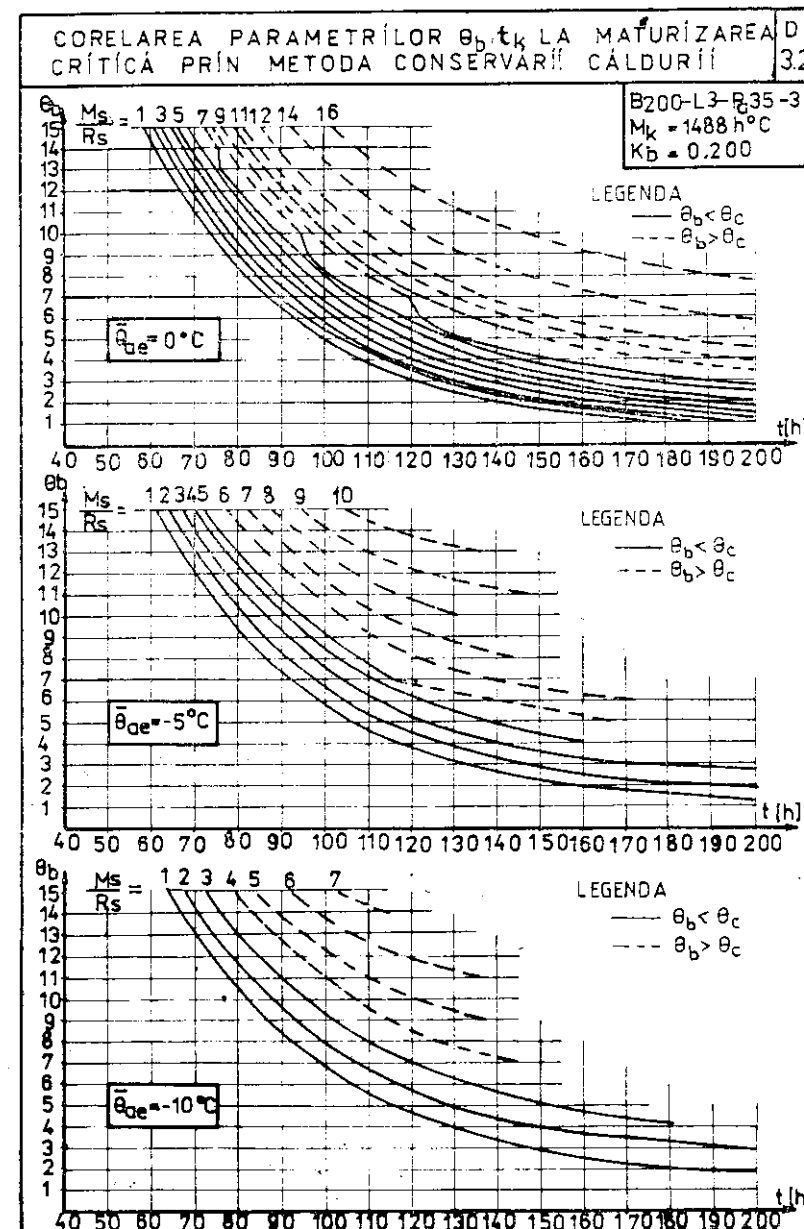
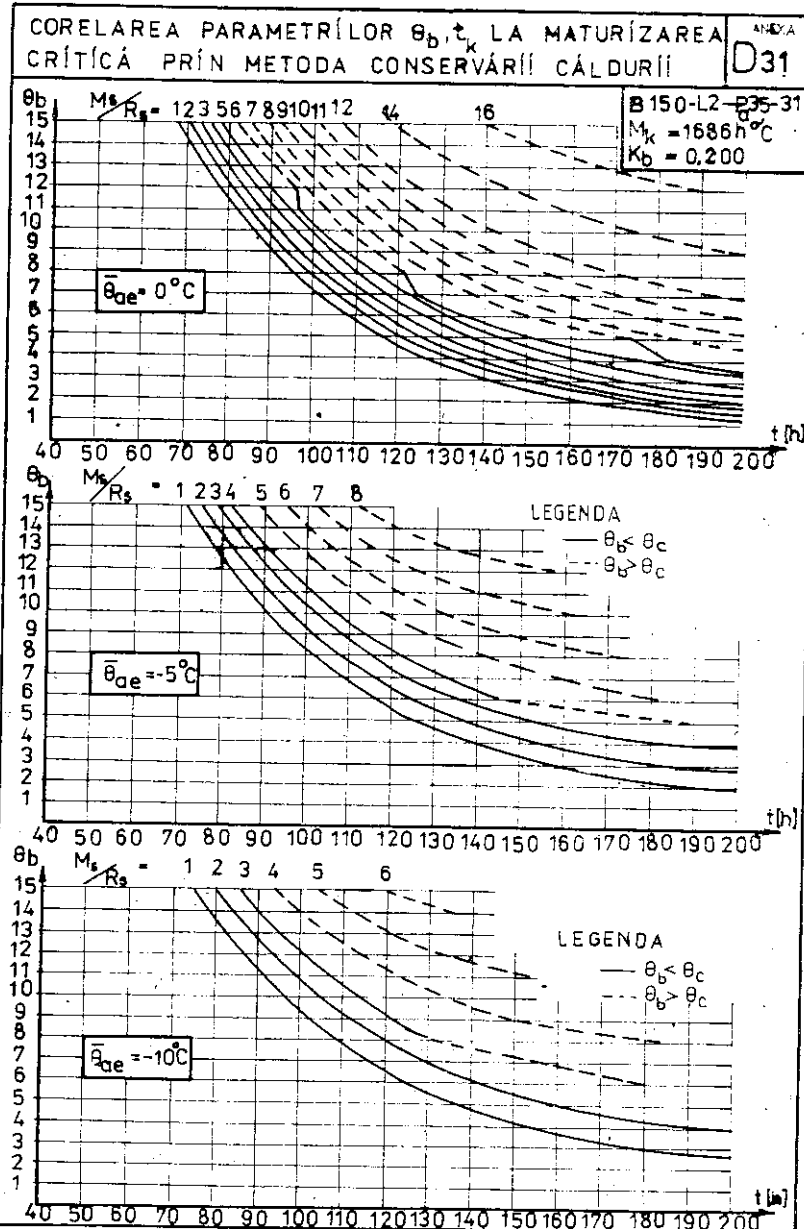
213

VALORILE COEFICIENTILOR K_{bj} PENTRU $\Delta R_{sj} \gg R_{bj}$ IN FUNCTIE DE PARAMETRII R_{sj} SI d_j

| R'_{sj} | 0,10 | 0,15 | 0,20 | 0,30 | 0,40 | 0,60 | 0,80 | 1,00 | 1,25 | 1,50 | 1,75 | 2,00 | 2,50 | 3,00 |
|-----------|-------|-------|-------|-------|-------|-------|-------|-------|-------|-------|-------|-------|-------|-------|
| 1 | 2 | 3 | 4 | 5 | 6 | 7 | 8 | 9 | 10 | 11 | 12 | 13 | 14 | 15 |
| 0,050 | 0,324 | 0,418 | 0,489 | 0,590 | 0,657 | 0,742 | 0,793 | 0,827 | 0,857 | 0,878 | 0,893 | 0,905 | 0,923 | 0,935 |
| 0,075 | 0,242 | 0,324 | 0,390 | 0,489 | 0,561 | 0,657 | 0,719 | 0,761 | 0,800 | 0,827 | 0,848 | 0,865 | 0,889 | 0,905 |
| 0,100 | 0,193 | 0,264 | 0,324 | 0,418 | 0,489 | 0,590 | 0,657 | 0,705 | 0,750 | 0,782 | 0,807 | 0,827 | 0,857 | 0,878 |
| 0,125 | 0,161 | 0,223 | 0,277 | 0,365 | 0,434 | 0,535 | 0,605 | 0,657 | 0,705 | 0,742 | 0,770 | 0,793 | 0,827 | 0,852 |
| 0,150 | 0,138 | 0,193 | 0,242 | 0,224 | 0,390 | 0,489 | 0,561 | 0,615 | 0,666 | 0,705 | 0,736 | 0,761 | 0,800 | 0,827 |
| 0,200 | 0,107 | 0,152 | 0,193 | 0,264 | 0,324 | 0,418 | 0,489 | 0,545 | 0,599 | 0,642 | 0,677 | 0,705 | 0,750 | 0,782 |
| 0,300 | 0,074 | 0,107 | 0,138 | 0,193 | 0,242 | 0,324 | 0,390 | 0,444 | 0,499 | 0,545 | 0,583 | 0,615 | 0,666 | 0,705 |
| 0,400 | 0,056 | 0,082 | 0,107 | 0,152 | 0,193 | 0,264 | 0,324 | 0,390 | 0,444 | 0,499 | 0,545 | 0,599 | 0,642 | 0,680 |
| 0,500 | 0,046 | 0,067 | 0,087 | 0,126 | 0,161 | 0,223 | 0,277 | 0,324 | 0,374 | 0,428 | 0,473 | 0,512 | 0,545 | 0,590 |
| 0,600 | 0,038 | 0,056 | 0,074 | 0,107 | 0,138 | 0,193 | 0,242 | 0,285 | 0,333 | 0,374 | 0,418 | 0,456 | 0,489 | 0,515 |
| 0,700 | 0,033 | 0,049 | 0,064 | 0,093 | 0,120 | 0,170 | 0,215 | 0,255 | 0,300 | 0,339 | 0,374 | 0,411 | 0,444 | 0,477 |
| 0,800 | 0,029 | 0,043 | 0,056 | 0,082 | 0,107 | 0,152 | 0,193 | 0,230 | 0,272 | 0,310 | 0,344 | 0,374 | 0,428 | 0,461 |
| 0,900 | 0,026 | 0,038 | 0,051 | 0,074 | 0,096 | 0,138 | 0,176 | 0,210 | 0,250 | 0,285 | 0,318 | 0,347 | 0,399 | 0,444 |
| 1,000 | 0,023 | 0,035 | 0,046 | 0,067 | 0,087 | 0,126 | 0,161 | 0,193 | 0,230 | 0,264 | 0,295 | 0,324 | 0,374 | 0,418 |
| 1,100 | 0,021 | 0,032 | 0,042 | 0,061 | 0,080 | 0,116 | 0,148 | 0,179 | 0,214 | 0,246 | 0,276 | 0,303 | 0,352 | 0,395 |
| 1,200 | 0,020 | 0,029 | 0,038 | 0,056 | 0,074 | 0,107 | 0,138 | 0,166 | 0,200 | 0,230 | 0,259 | 0,285 | 0,333 | 0,374 |
| 1,300 | 0,018 | 0,027 | 0,036 | 0,052 | 0,069 | 0,100 | 0,128 | 0,156 | 0,187 | 0,216 | 0,244 | 0,269 | 0,315 | 0,356 |
| 1,400 | 0,017 | 0,025 | 0,033 | 0,049 | 0,064 | 0,093 | 0,120 | 0,146 | 0,176 | 0,204 | 0,230 | 0,255 | 0,300 | 0,339 |

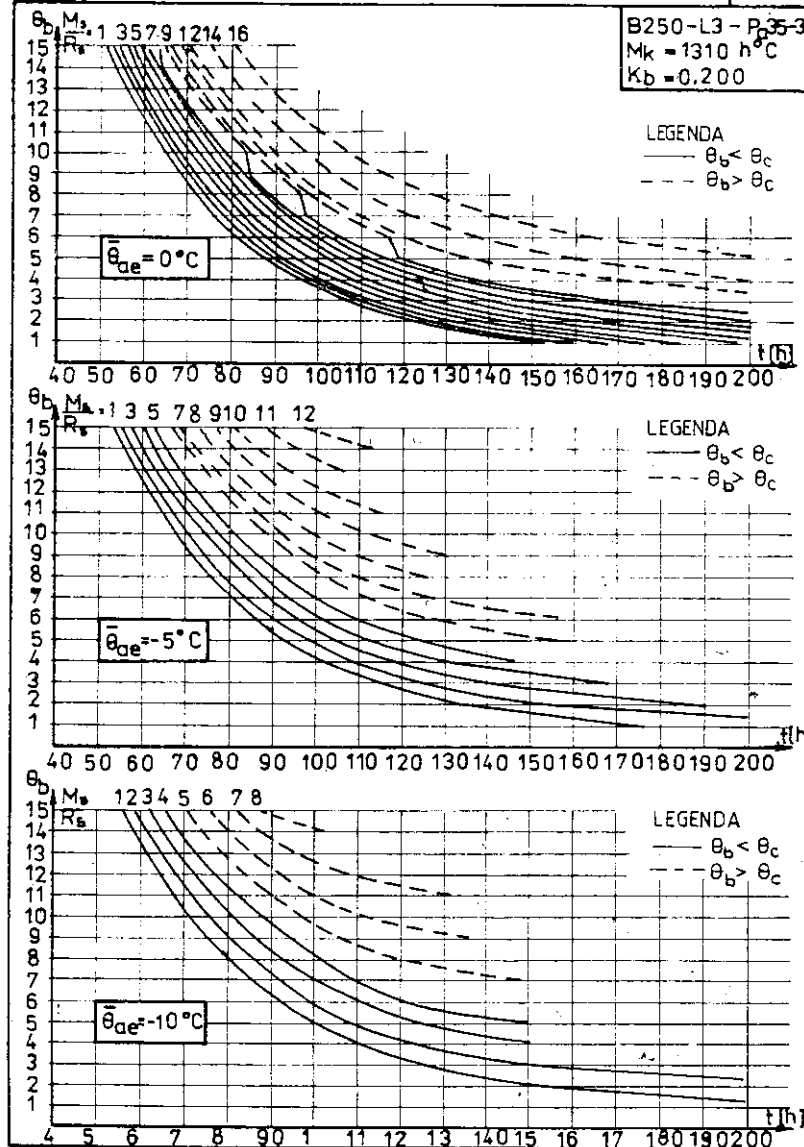
 $K_b \leq 0,050 \leftarrow K_b \leq 0,100 \leftarrow K_b \leq 0,200 \leftarrow K_b \leq 0,300 \leftarrow$

| R'_{sj} $\frac{S_a}{S_s}$ | Coeficientul K_s pentru $(R_{so} \pm \frac{R'b}{2}) = \frac{m^2K}{W}$ | | | | | | | | | |
|--------------------------------|-------------------------------------------------------------------------|-------|-------|-------|-------|-------|-------|-------|-------|-------|
| | 0,020 | 0,040 | 0,060 | 0,080 | 0,100 | 0,120 | 0,140 | 0,160 | 0,180 | 0,200 |
| 0,70 | 1,028 | 1,057 | 1,085 | 1,114 | 2,443 | 1,171 | 1,200 | 1,228 | 1,257 | 1,285 |
| 0,80 | 1,025 | 1,050 | 1,029 | 1,266 | 1,425 | 1,150 | 1,175 | 1,200 | 1,225 | 1,250 |
| 0,90 | 1,022 | 1,044 | 1,066 | 1,088 | 1,111 | 1,133 | 1,153 | 1,177 | 1,200 | 1,222 |
| 1,00 | 1,020 | 1,040 | 1,060 | 1,080 | 1,100 | 1,120 | 1,140 | 1,160 | 1,180 | 1,200 |
| 1,10 | 1,018 | 1,036 | 1,054 | 1,072 | 1,090 | 1,109 | 1,127 | 1,145 | 1,163 | 1,181 |
| 1,20 | 1,016 | 1,033 | 1,050 | 1,066 | 1,083 | 1,100 | 1,116 | 1,133 | 1,150 | 1,166 |
| 1,30 | 1,015 | 1,022 | 1,046 | 1,061 | 1,076 | 1,092 | 1,107 | 1,123 | 1,138 | 1,153 |
| 1,40 | 1,014 | 1,028 | 1,042 | 1,057 | 1,071 | 1,085 | 1,100 | 1,114 | 1,128 | 1,142 |
| 1,50 | 1,013 | 1,026 | 1,040 | 1,053 | 1,066 | 1,080 | 1,093 | 1,106 | 1,120 | 1,133 |
| 1,60 | 1,012 | 1,025 | 1,037 | 1,050 | 1,062 | 1,075 | 1,087 | 1,100 | 1,112 | 1,125 |
| 1,70 | 1,011 | 1,023 | 1,035 | 1,047 | 1,058 | 1,082 | 1,082 | 1,094 | 1,105 | 1,117 |
| 1,80 | 1,011 | 1,022 | 1,033 | 1,044 | 1,055 | 1,066 | 1,077 | 1,088 | 1,100 | 1,111 |
| 1,90 | 1,010 | 1,021 | 1,031 | 1,042 | 1,052 | 1,063 | 1,073 | 1,084 | 1,094 | 1,105 |
| 2,00 | 1,010 | 1,020 | 1,030 | 1,040 | 1,050 | 1,060 | 1,070 | 1,080 | 1,090 | 1,100 |
| 2,10 | 1,009 | 1,019 | 1,028 | 1,038 | 1,047 | 1,057 | 1,066 | 1,076 | 1,085 | 1,095 |
| 2,20 | 1,009 | 1,018 | 1,027 | 1,036 | 1,045 | 1,054 | 1,063 | 1,072 | 1,081 | 1,090 |
| 2,30 | 1,008 | 1,017 | 1,026 | 1,034 | 1,043 | 1,052 | 1,060 | 1,069 | 1,078 | 1,086 |
| 2,40 | 1,008 | 1,016 | 1,025 | 1,033 | 1,041 | 1,050 | 1,058 | 1,066 | 1,075 | 1,083 |
| 2,50 | 1,008 | 1,016 | 1,024 | 1,032 | 1,040 | 1,048 | 1,056 | 1,064 | 1,072 | 1,080 |



CORELAREA PARAMETRILOR $\theta_{b,k}^t$ LA MATERIZAREA CRITICĂ PRIN METODA CONSERVĂRII CALDURII

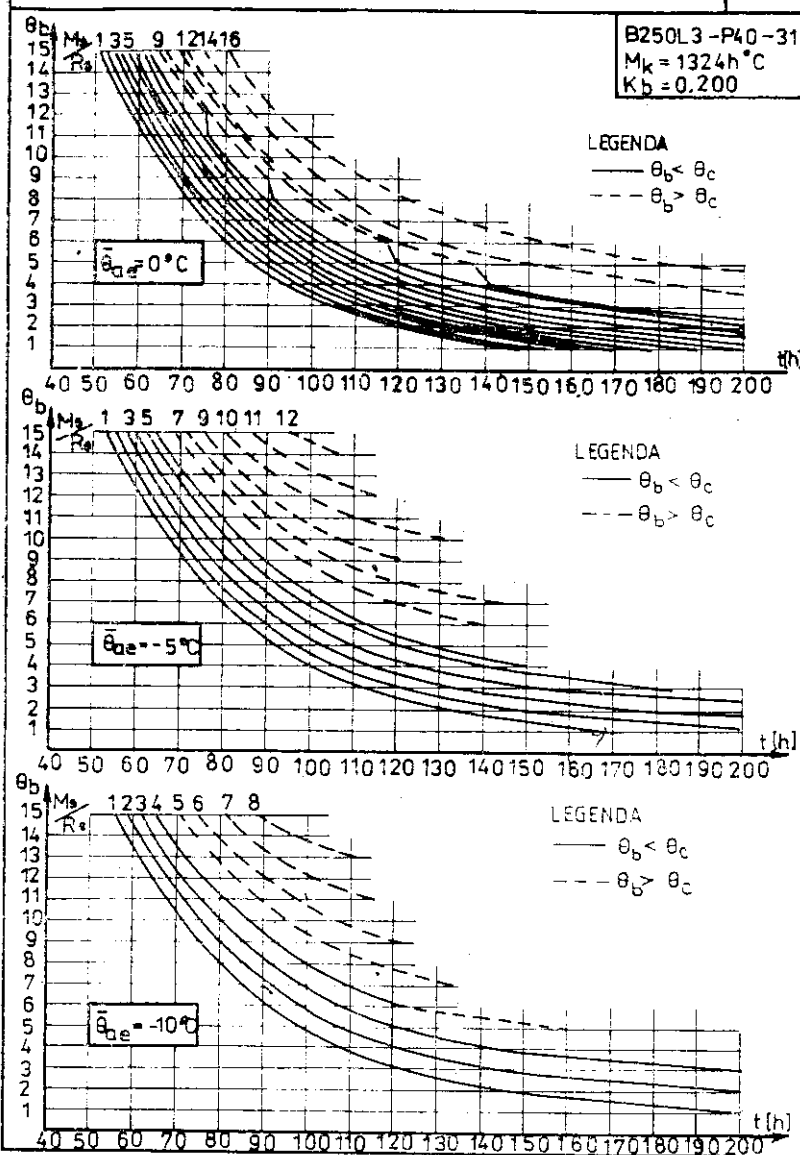
ANEXA
D 3.3



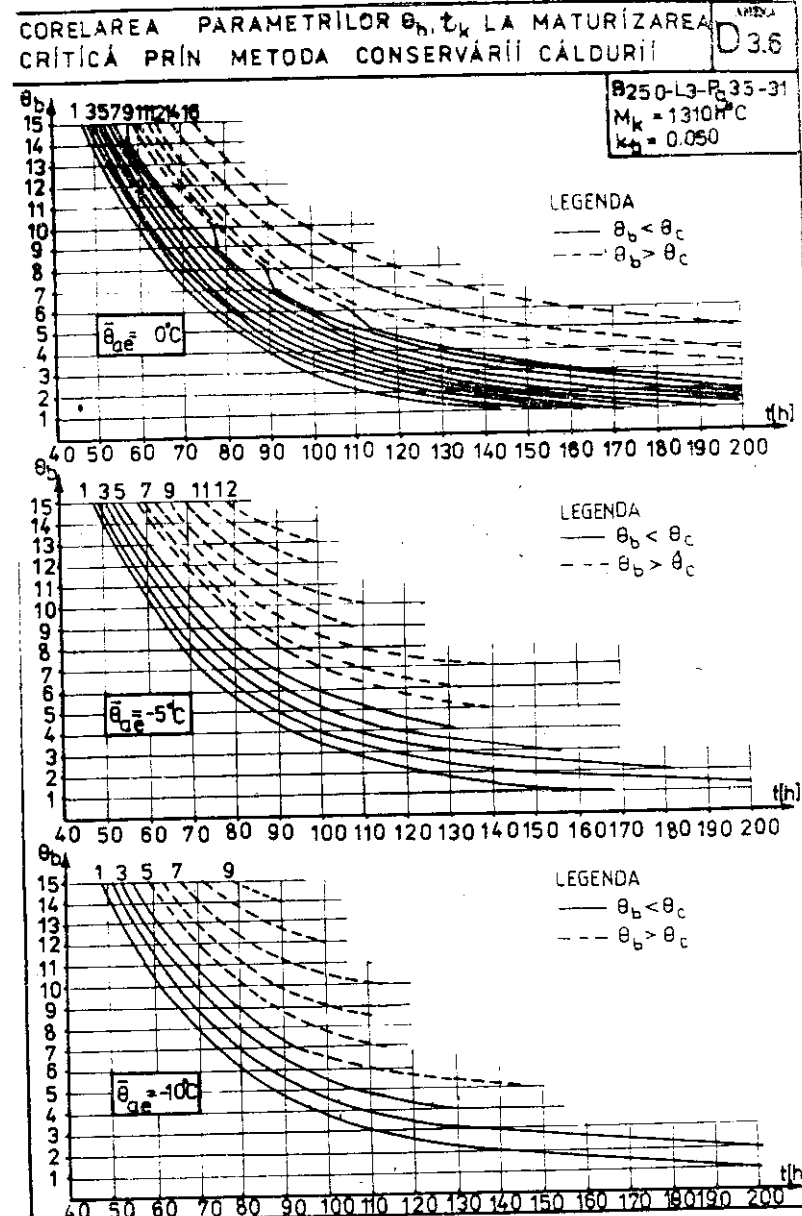
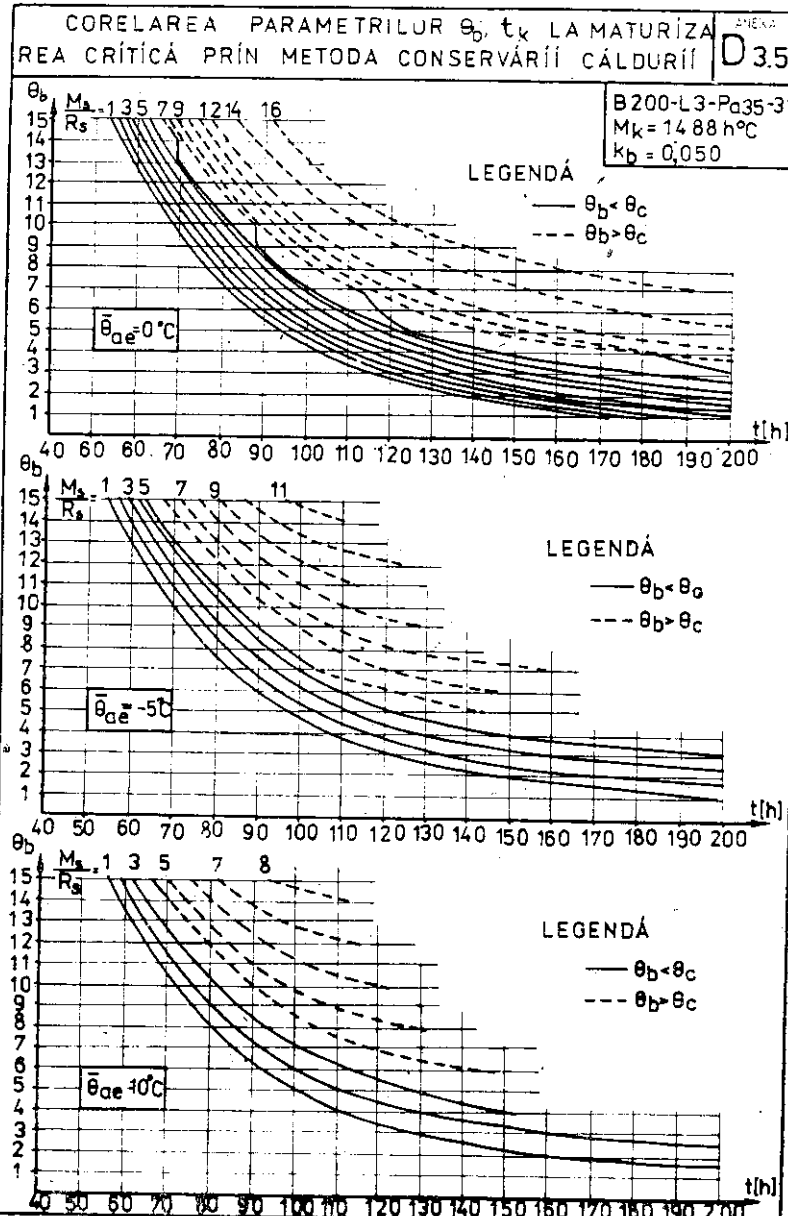
218

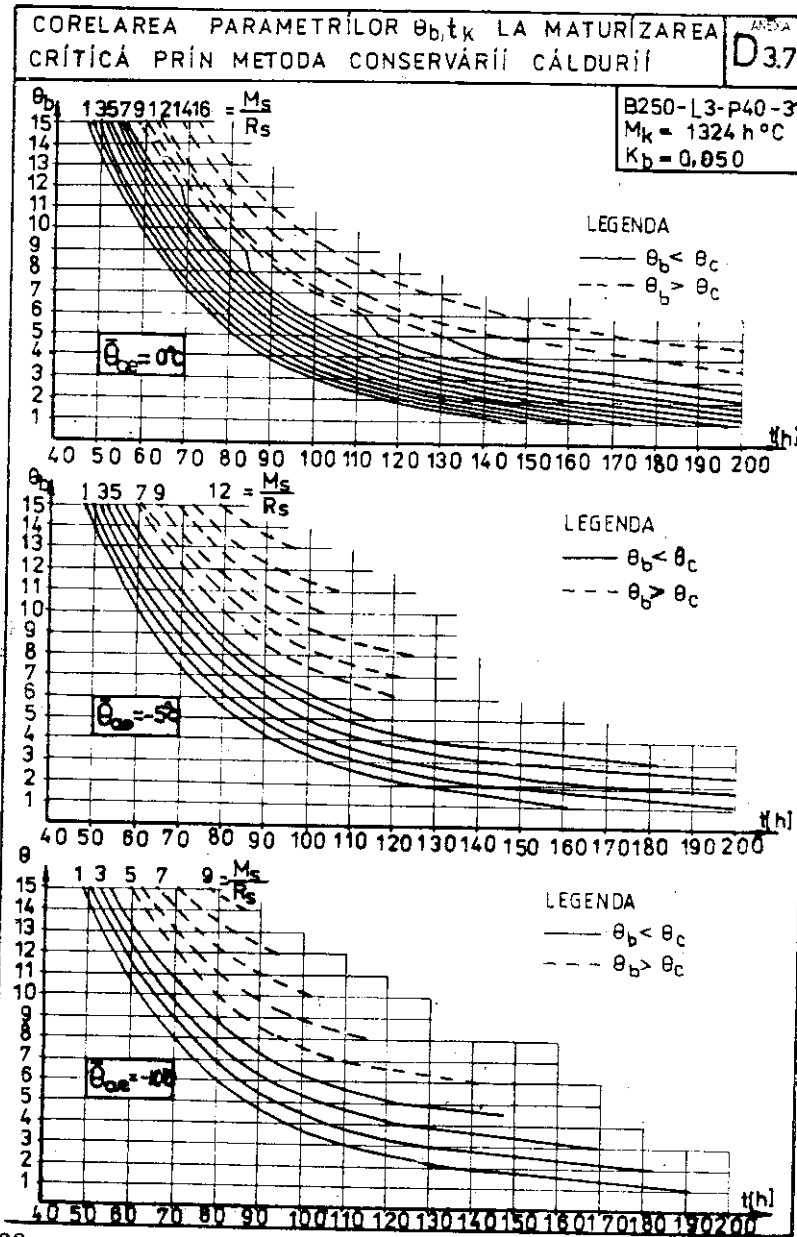
CORELAREA PARAMETRILOR $\theta_{b,k}^t$ LA MATERIZAREA CRITICĂ PRIN METODA CONSERVĂRII CALDURII

ANEXA
D 3.4

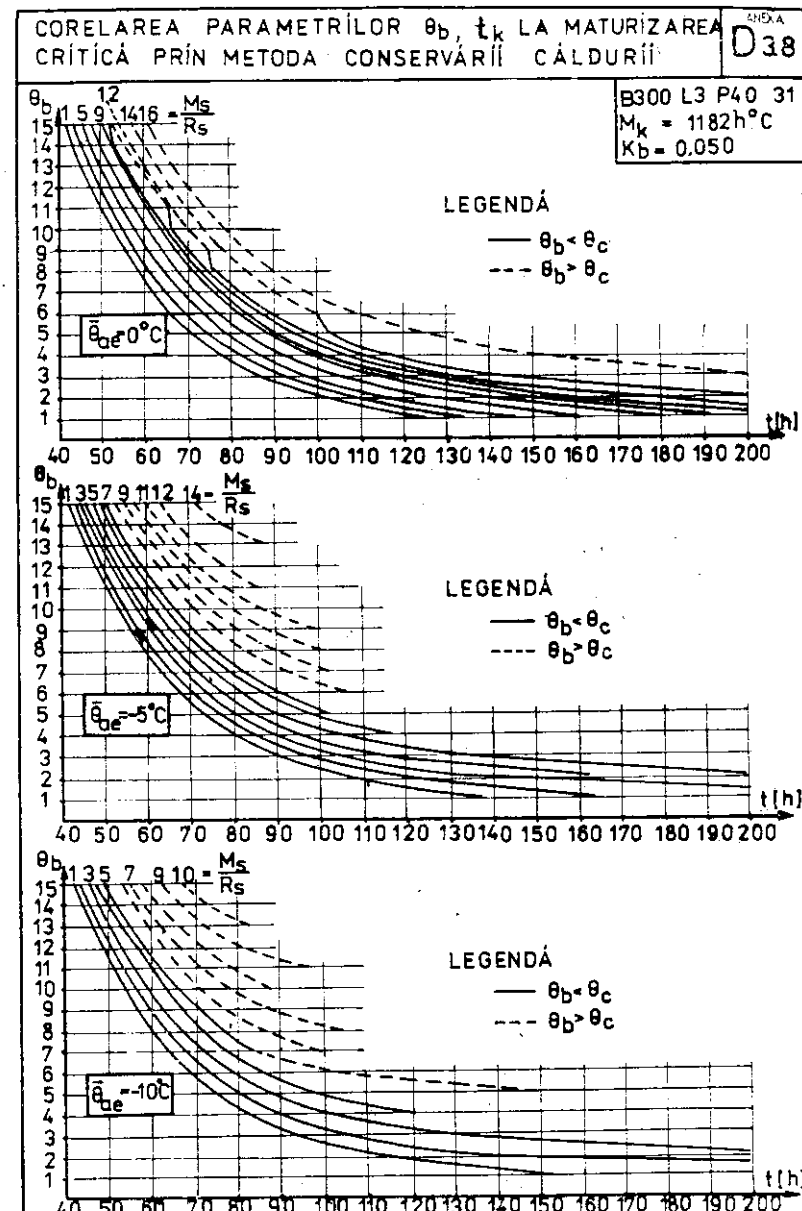


219

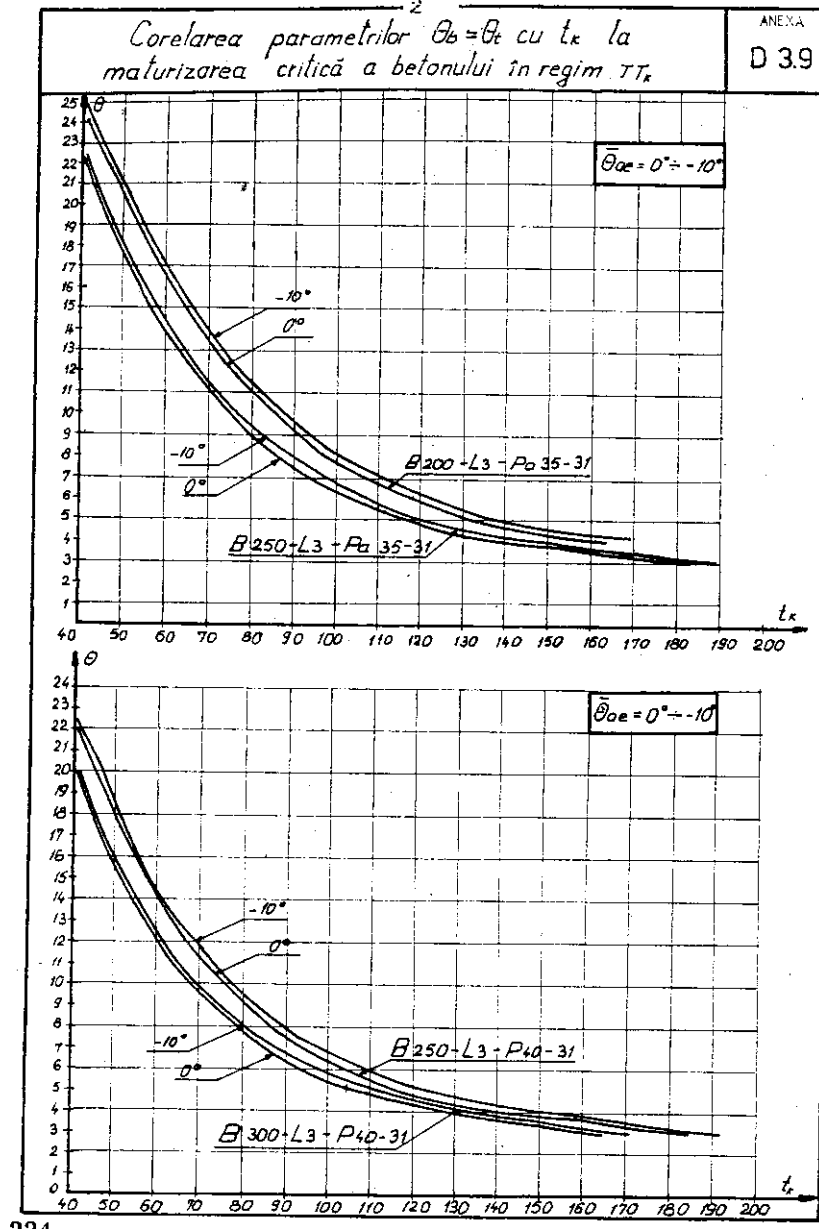




222



223



224

REGIMURI TERMICE DE REFERINȚĂ TT_{ki} ; RT_k
Elementul de construcție $K_b = 0,05$

ANEXA D 3.10

| Nr. crt. | t_k $z h$ | θ_{ae} $^{\circ}\text{C}$ | θ_b $^{\circ}\text{C}$ | $\theta_t = \theta_e$ $^{\circ}\text{C}$ | TT_k | CC_k $M_s \leq R_s$ | θ_b $^{\circ}\text{C}$ | t_e h | t_r h | t_i h | t_c h | v_r $^{\circ}\text{C}/\text{h}$ | RC_k $M_s \leq R_s$ |
|----------|------------------|-------------------------------------|----------------------------------|---------------------------------------------|--------|--------------------------|----------------------------------|--------------|--------------|--------------|--------------|--------------------------------------|--------------------------|
| 0 | 1 2 | | | | | | | 7 | 8 | 9 | 10 | 11 | 14 |
| 1 | 7 160 | -5 | 5 | 5 | 132,7 | 0 | 5 | 10 | 6 | 6 | 115,1 | 44,9 | 0 |
| 2 | 6 136 | -10 | 0 | 5 | 135,0 | 0 | 3 | 10 | 6 | 6 | 109,3 | 50,7 | 0 |
| 3 | 5 112 | -10 | 5 | 5 | 137,4 | 0 | 3 | 132,7 | 7 | 7 | 103,5 | 56,5 | 0,05 |
| 4 | 4 88 | -10 | 0 | 6 | 122,4 | 0 | 3 | 135,0 | 5 | 5 | 48,9 | 87,4 | 0,05 |
| 5 | 3 64 | -10 | 5 | 10 | 106,4 | 0 | 6 | 122,4 | 7 | 7 | 43,1 | 92,9 | 0,10 |
| 6 | 2 40 | -10 | 5 | 10 | 108,0 | 0 | 5 | 106,4 | 5 | 5 | 71,7 | 64,2 | 0,12 |
| | | | | | | | | 10 | 8 | 8 | 40,2 | 71,8 | 0,18 |
| | | | | | | | | 11 | 11 | 8 | 36,1 | 75,9 | 0,20 |
| | | | | | | | | 12 | 11 | 8 | 31,9 | 80,1 | 0,22 |
| | | | | | | | | 13 | 11 | 11 | 19,8 | 68,2 | 0,25 |
| | | | | | | | | 14 | 11 | 11 | 17,0 | 71,0 | 0,28 |
| | | | | | | | | 15 | 11 | 11 | 13,7 | 50,3 | 0,32 |

Beton B 200-L₃-Pa 35-31; $M_k = 1488$ h°C

225

Beton B 250-L3-Pa 35-31; M_k = 1310 h°C

| | 0 | 1 | 2 | 3 | 4 | 5 | 6 | 7 | 8 | 9 | 10 | 11 | 12 | 13 | 14 | 15 |
|----|----|-----|-----|-----|----|----|-------|----|----|----|-------|------|------|------|------|----|
| 1 | 7 | 160 | 0 | -5 | 4 | 4 | 143,8 | 12 | 5 | 5 | 116,8 | 43,2 | 0 | 0,03 | 11 | |
| 2 | 6 | 136 | 0 | -5 | 5 | 5 | 146,5 | 0 | 3 | 1 | 111,1 | 48,9 | 0 | 0,04 | 6 | |
| 3 | 5 | 112 | 0 | -5 | 6 | 6 | 149,2 | 0 | 11 | 1 | 104,9 | 55,1 | 0 | 0,04 | 3 | |
| 4 | 4 | 88 | 0 | -5 | 8 | 8 | 116,6 | 0 | 6 | 6 | 87,9 | 48,1 | 0 | 0,06 | 10 | |
| 5 | 3 | 64 | 0 | -5 | 14 | 14 | 118,8 | 0 | 4 | 4 | 82,8 | 53,2 | 0 | 0,06 | 6 | |
| 6 | 26 | 40 | 0 | -5 | 23 | 23 | 121,0 | 0 | 11 | 1 | 77,8 | 58,2 | 0 | 0,07 | 4 | |
| 7 | 2 | 40 | 0 | -5 | 23 | 23 | 104,3 | 0 | 6 | 7 | 50,5 | 61,5 | 0 | 0,12 | 10 | |
| 8 | 1 | 7 | 160 | -10 | 4 | 4 | 146,5 | 0 | 3 | 1 | 104,9 | 55,1 | 0 | 0,04 | 6 | |
| 9 | 2 | 6 | 136 | -10 | 5 | 5 | 149,2 | 0 | 11 | 1 | 82,8 | 53,2 | 0 | 0,06 | 10 | |
| 10 | 3 | 5 | 112 | -10 | 6 | 6 | 106,0 | 0 | 6 | 1 | 46,4 | 65,6 | 0 | 0,13 | 6 | |
| 11 | 4 | 4 | 88 | -10 | 9 | 9 | 107,7 | 0 | 4 | 4 | 42,0 | 70,0 | 0 | 0,15 | 4 | |
| 12 | 5 | 3 | 64 | -10 | 9 | 9 | 85,7 | 10 | 6 | 1 | 22,5 | 65,5 | 0 | 0,36 | 9 | |
| 13 | 6 | 26 | 40 | -10 | 9 | 9 | 87,0 | 0 | 4 | 10 | 19,4 | 68,6 | 0 | 0,41 | 6 | |
| 14 | 7 | 160 | 0 | -10 | 9 | 9 | 82,1 | 0 | 4 | 10 | 39,7 | 56,8 | 0 | 0,23 | 4 | |
| 15 | 8 | 2 | 40 | -10 | 9 | 9 | 62,6 | 8 | 6 | 1 | 12,8 | 51,2 | 0 | 1,02 | 9 | |
| 16 | 9 | 1 | 7 | -10 | 14 | 14 | 63,3 | 0 | 5 | 1 | 14 | 10,8 | 53,2 | 0 | 1,20 | 5 |
| 17 | 10 | 0 | 64 | -10 | 14 | 14 | 60,6 | 0 | 5 | 15 | 17,1 | 46,9 | 0 | 0,82 | 5 | |
| 18 | 11 | 1 | 88 | -10 | 9 | 9 | 38,8 | 8 | 6 | 1 | 24 | 7,0 | 33,0 | 0 | 3,29 | 8 |
| 19 | 12 | 2 | 64 | -10 | 9 | 9 | 38,1 | 0 | 5 | 1 | 5,6 | 6,3 | 33,7 | 0 | 3,65 | 6 |
| 20 | 13 | 3 | 112 | -10 | 9 | 9 | 39,4 | 0 | 5 | 1 | 34,4 | 5,6 | 34,4 | 0 | 4,11 | 5 |

ANEXA D_{3,ii}REGIMURI TERMICE DE REPERINȚĂ T_{T_k} ; R_{T_k} Element de construcție $K_b=0,05$

| Nr. crit. | t _k | t _k | θ _{ae} | TT _k | | | CC _k | | | RT _k | | | RC _k | | | | | |
|--------------|----------------|----------------|-----------------|----------------------|----------------------|---------------------|----------------------|----------------------|---------------------|---------------------|---------------------|---------------------|---------------------|---------------------|------------------------|----------------------|----------------------|----|
| | | | | θ _b °C | θ _c °C | t _e h | θ _b °C | θ _c °C | t _e h | t _r h | t _e h | t _r h | t _e h | t _r h | v _r °C/h | M _s kg | M _s kg | |
| U | z m | h m | 0 | 1 | 2 | 3 | 4 | 5 | 6 | 7 | 8 | 9 | 10 | 11 | 12 | 13 | 14 | 15 |
| 1 | 7 | 160 | 0 | -5 | 4 | 4 | 145,3 | 12 | 5 | 1 | 5 | 113,4 | 46,6 | 0 | 0,04 | 12 | | |
| 2 | 6 | 136 | 0 | -5 | 5 | 5 | 148,1 | 0 | 4 | 1 | 107,6 | 52,4 | 0 | 0,04 | 6 | | | |
| 3 | 5 | 112 | 0 | -5 | 6 | 6 | 150,8 | 0 | 12 | 1 | 101,4 | 58,6 | 0 | 0,04 | 4 | | | |
| 4 | 4 | 88 | 0 | -5 | 8 | 8 | 118,1 | 0 | 6 | 1 | 84,8 | 51,2 | 0 | 0,06 | 12 | | | |
| 5 | 3 | 64 | 0 | -5 | 9 | 9 | 120,1 | 0 | 6 | 1 | 79,7 | 56,3 | 0 | 0,07 | 6 | | | |
| 6 | 2 | 40 | 0 | -5 | 14 | 14 | 122,3 | 0 | 3 | 1 | 74,6 | 61,4 | 0 | 0,07 | 4 | | | |
| 7 | 1 | 7 | 160 | -10 | 4 | 4 | 105,4 | 12 | 1 | 7 | 47,7 | 64,3 | 0 | 0,13 | 11 | | | |
| 8 | 2 | 6 | 136 | -10 | 5 | 5 | 107,1 | 0 | 6 | 1 | 43,6 | 68,4 | 0 | 0,14 | 6 | | | |
| 9 | 3 | 5 | 112 | -10 | 6 | 6 | 108,9 | 0 | 4 | 1 | 39,3 | 72,7 | 0 | 0,16 | 4 | | | |
| 10 | 4 | 4 | 88 | -10 | 9 | 9 | 83,0 | 0 | 5 | 10 | 29,0 | 59,0 | 0 | 0,31 | 5 | | | |
| 11 | 5 | 3 | 64 | -10 | 14 | 14 | 61,3 | 0 | 5 | 1 | 20,1 | 67,9 | 0 | 0,40 | 10 | | | |
| 12 | 6 | 2 | 40 | -10 | 14 | 14 | 60,6 | 0 | 7 | 15 | 9 | 8,0 | 80,0 | 0 | 1,0 | 6 | | |
| 13 | 7 | 1 | 7 | -10 | 14 | 14 | 13 | 0 | 5 | 1 | 10 | 29,0 | 59,0 | 0 | 0,31 | 5 | | |
| 14 | 8 | 2 | 6 | -10 | 14 | 14 | 61,3 | 0 | 5 | 1 | 14 | 10,9 | 53,1 | 0 | 1,19 | 9 | | |
| 15 | 9 | 3 | 5 | -10 | 14 | 14 | 60,6 | 0 | 7 | 1 | 15 | 17,2 | 46,8 | 0 | 0,84 | 5 | | |
| 16 | 10 | 4 | 4 | -10 | 14 | 14 | 61,3 | 0 | 5 | 1 | 15 | 15,5 | 48,5 | 0 | 1,26 | 5 | | |
| 17 | 11 | 5 | 3 | -10 | 14 | 14 | 63,3 | 0 | 9 | 1 | 24 | 6,0 | 34,0 | 0 | 3,84 | 8 | | |
| 18 | 12 | 6 | 2 | -10 | 14 | 14 | 61,3 | 0 | 5 | 1 | 5,6 | 5,4 | 34,6 | 0 | 4,26 | 7 | | |
| 19 | 13 | 7 | 1 | -10 | 14 | 14 | 39,2 | 8 | 6 | 1 | 4,7 | 35,3 | 4,7 | 0 | 4,89 | 6 | | |
| 20 | 14 | 8 | 2 | -10 | 14 | 14 | 39,5 | 0 | 7 | 1 | 24 | 6,0 | 34,0 | 0 | 3,84 | 8 | | |
| 21 | 15 | 9 | 3 | -10 | 14 | 14 | 39,8 | 6 | 6 | 1 | 4,7 | 35,3 | 4,7 | 0 | 4,89 | 6 | | |

Beton B 300 - L3-P 40 - 31; $M_k = 1182$

| | 0 | 1 | 2 | 3- | 4 | 5 | 6 | 7 | 8 | 9 | 10 | 11 | 12 | 13 | 14 | 15 |
|---|---|-----|---|-----|----|----|-------|-------|---|----|----|-------|------|----|------|----|
| 1 | 7 | 160 | 0 | -5 | 4 | 4 | 121,0 | 132,2 | 0 | 14 | 5 | 147,7 | 12,3 | 0 | 0,03 | 14 |
| | | | | -10 | | | 134,6 | 134,6 | | 6 | 1 | 142,4 | 17,6 | 0 | 0,03 | 7 |
| 2 | 6 | 136 | 0 | -5 | 4 | 4 | 129,7 | 132,8 | 0 | 14 | 5 | 82,7 | 53,3 | 0 | 0,05 | 14 |
| | | | | -10 | | | 134,6 | 134,6 | | 6 | 1 | 77,6 | 58,4 | 0 | 0,05 | 7 |
| 3 | 5 | 112 | 0 | -5 | 5 | 5 | 105,4 | 107,3 | 0 | 14 | 6 | 49,6 | 62,4 | 0 | 0,10 | 14 |
| | | | | -10 | | | 107,3 | 109,1 | | 7 | 1 | 45,2 | 66,8 | 0 | 0,11 | 7 |
| 4 | 4 | 88 | 0 | -5 | 7 | 7 | 84,5 | 85,8 | 0 | 12 | 8 | 29,3 | 58,7 | 0 | 0,24 | 12 |
| | | | | -10 | | | 87,1 | 87,1 | | 7 | 5 | 26,1 | 61,9 | 0 | 0,27 | 8 |
| 5 | 3 | 64 | 0 | -5 | 12 | 11 | 63,4 | 60,5 | 0 | 11 | 12 | 14,6 | 52,4 | 0 | 0,95 | 11 |
| | | | | -10 | | | 61,2 | 61,2 | | 8 | 1 | 18,5 | 45,5 | 0 | 0,65 | 9 |
| 6 | 2 | 40 | 0 | -5 | 21 | 21 | 38,7 | 39,0 | 0 | 10 | 1 | 7,8 | 32,2 | 0 | 2,70 | 10 |
| | | | | -10 | | | 39,3 | 39,3 | | 8 | 6 | 7,0 | 33,0 | 0 | 3,00 | 8 |

GRADE UNITARE DE MATERIZARE m_i ; m_i' CORESPUNZĂTOARE TEMPERATURII θ_i

| ${}^{\circ}\text{C}$ θ_i | m_i | m $'$ pentru: | | | | | | | | | |
|------------------------------------|-------|-----------------------------------------|-------|-------|------------------------------------------|-------|-------|-------------------------------------------|-------|-------|--|
| | | $\bar{\theta}_{ae} = 0^{\circ}\text{C}$ | | | $\bar{\theta}_{ae} = -5^{\circ}\text{C}$ | | | $\bar{\theta}_{ae} = -10^{\circ}\text{C}$ | | | |
| | | $K_b =$ | | | $K_b =$ | | | $K_b =$ | | | |
| | | 0,05 | 0,10 | 0,30 | 0,05 | 0,10 | 0,30 | 0,05 | 0,10 | 0,30 | |
| 1 | 2 | 3 | 4 | 5 | 6 | 7 | 8 | 9 | 10 | 11 | |
| 1,5 | 3,97 | 3,94 | 3,92 | 3,81 | 3,86 | 3,74 | 3,29 | 3,77 | 3,57 | 2,78 | |
| 2,5 | 6,13 | 6,06 | 6,00 | 5,76 | 5,94 | 5,76 | 5,02 | 5,82 | 5,51 | 4,29 | |
| 3,5 | 8,24 | 8,13 | 8,02 | 7,59 | 7,98 | 7,72 | 6,68 | 7,82 | 7,41 | 5,76 | |
| 4,5 | 10,30 | 10,14 | 9,98 | 9,34 | 9,96 | 9,62 | 8,27 | 9,78 | 9,27 | 7,21 | |
| 5,5 | 12,09 | 11,88 | 11,66 | 10,80 | 11,68 | 11,27 | 9,63 | 11,49 | 10,88 | 8,46 | |
| 6,5 | 13,53 | 13,26 | 13,00 | 11,93 | 13,06 | 12,59 | 10,70 | 12,85 | 12,18 | 9,47 | |
| 7,5 | 14,95 | 14,62 | 14,30 | 13,02 | 14,41 | 13,88 | 11,74 | 14,20 | 13,45 | 10,46 | |
| 8,5 | 16,21 | 15,83 | 15,46 | 13,97 | 15,61 | 15,02 | 12,66 | 15,40 | 14,58 | 11,34 | |
| 9,5 | 17,39 | 16,97 | 16,55 | 14,85 | 16,75 | 16,10 | 13,51 | 16,52 | 15,65 | 12,18 | |
| 10,5 | 18,57 | 18,10 | 17,62 | 15,72 | 17,87 | 17,17 | 14,36 | 17,64 | 16,72 | 13,00 | |
| 11,5 | 19,74 | 19,21 | 18,68 | 16,57 | 18,98 | 18,22 | 15,19 | 18,75 | 17,76 | 13,82 | |
| 12,5 | 20,93 | 20,34 | 19,76 | 17,44 | 20,11 | 19,30 | 16,04 | 19,88 | 18,83 | 14,65 | |
| 13,5 | 22,14 | 21,50 | 20,87 | 18,32 | 21,27 | 20,39 | 16,91 | 21,03 | 19,92 | 15,50 | |
| 14,5 | 23,37 | 22,68 | 21,99 | 19,22 | 22,46 | 21,51 | 17,79 | 22,20 | 21,04 | 16,36 | |
| 15,5 | 24,58 | 23,83 | 23,09 | 20,10 | 23,59 | 22,61 | 18,65 | 23,35 | 22,12 | 17,21 | |
| 16,5 | 25,76 | 24,96 | 24,15 | 20,95 | 24,71 | 23,67 | 19,49 | 24,47 | 23,18 | 18,03 | |
| 17,5 | 26,95 | 26,09 | 25,24 | 21,81 | 25,85 | 24,75 | 20,34 | 25,60 | 24,26 | 18,87 | |
| 18,5 | 28,16 | 27,24 | 26,33 | 22,67 | 27,00 | 25,84 | 21,19 | 26,75 | 25,34 | 19,71 | |
| 19,5 | 29,38 | 28,41 | 27,44 | 23,56 | 28,16 | 26,94 | 22,06 | 27,91 | 26,44 | 20,57 | |
| 20,5 | 30,81 | 29,77 | 28,73 | 24,59 | 29,52 | 28,23 | 23,08 | 29,26 | 27,72 | 21,56 | |
| 21,5 | 32,45 | 31,34 | 30,23 | 25,80 | 31,08 | 29,72 | 24,26 | 30,82 | 29,20 | 22,71 | |
| 22,5 | 34,13 | 32,94 | 31,76 | 27,04 | 32,68 | 31,24 | 25,46 | 32,43 | 30,71 | 23,89 | |
| 23,5 | 35,85 | 34,59 | 33,33 | 28,30 | 34,32 | 32,80 | 26,70 | 34,05 | 32,26 | 25,09 | |
| 24,5 | 37,61 | 36,27 | 34,93 | 29,59 | 36,00 | 34,39 | 27,96 | 35,72 | 33,84 | 26,32 | |
| 25,5 | 39,69 | 38,26 | 36,84 | 31,14 | 37,98 | 36,28 | 29,46 | 37,70 | 35,72 | 27,78 | |
| 26,5 | 42,12 | 40,59 | 39,06 | 32,95 | 40,30 | 38,49 | 31,22 | 40,01 | 37,91 | 29,48 | |
| 27,5 | 44,63 | 42,99 | 41,35 | 34,81 | 42,69 | 40,76 | 33,02 | 42,39 | 40,16 | 31,24 | |
| 28,5 | 47,20 | 45,45 | 43,71 | 36,72 | 45,15 | 43,09 | 34,88 | 44,84 | 42,48 | 33,04 | |
| 29,5 | 49,85 | 47,99 | 46,13 | 38,68 | 47,67 | 45,50 | 36,79 | 47,36 | 44,86 | 34,89 | |

ANEXA D_{5,1}

GRADE UNITARE DE MATERIZARE m_t, m'_t , CORESPUNZĂTOARE TEMPERATURILOR DE TRATARE TERMICĂ θ_t

| θ_t °C | m | m'_t pentru: | | | | | | | | |
|------------------|-------|---------------------------------|-------|-------|----------------------------------|-------|-------|-----------------------------------|-------|-------|
| | | $\bar{\theta}_{ae} = 0^\circ C$ | | | $\bar{\theta}_{ae} = -5^\circ C$ | | | $\bar{\theta}_{ae} = -10^\circ C$ | | |
| | | $K_b =$ | | | $K_b =$ | | | $K_b' =$ | | |
| | | 0,05 | 0,10 | 0,30 | 0,05 | 0,10 | 0,30 | 0,05 | 0,10 | 0,30 |
| 1 | 2 | 3 | 4 | 5 | 6 | 7 | 8 | 9 | 10 | 11 |
| 1 | 2,97 | 2,96 | 2,94 | 2,89 | 2,89 | 2,81 | 2,48 | 2,82 | 2,67 | 2,08 |
| 2 | 5,04 | 5,00 | 4,96 | 4,79 | 4,89 | 4,75 | 4,16 | 4,79 | 4,54 | 3,53 |
| 3 | 7,28 | 7,20 | 7,11 | 6,78 | 7,06 | 6,83 | 5,94 | 6,92 | 6,55 | 5,10 |
| 4 | 9,24 | 9,11 | 8,98 | 8,45 | 8,94 | 8,65 | 7,46 | 8,78 | 8,32 | 6,47 |
| 5 | 11,40 | 11,21 | 11,02 | 10,26 | 11,02 | 10,64 | 9,12 | 10,83 | 10,26 | 7,98 |
| 6 | 12,80 | 12,56 | 12,32 | 11,36 | 12,36 | 11,92 | 10,16 | 12,16 | 11,52 | 8,96 |
| 7 | 14,28 | 13,99 | 13,69 | 12,52 | 13,78 | 13,27 | 11,26 | 13,57 | 12,85 | 10,00 |
| 8 | 15,62 | 15,28 | 14,93 | 13,54 | 15,06 | 14,50 | 12,24 | 14,84 | 14,06 | 10,94 |
| 9 | 16,80 | 16,40 | 16,00 | 14,41 | 16,18 | 15,56 | 13,08 | 15,96 | 15,12 | 11,76 |
| 10 | 18,00 | 17,55 | 17,10 | 15,30 | 17,33 | 16,65 | 13,95 | 17,10 | 16,20 | 12,60 |
| 11 | 19,15 | 18,65 | 18,15 | 16,14 | 18,42 | 17,69 | 14,77 | 18,19 | 17,24 | 13,41 |
| 12 | 20,33 | 19,77 | 19,22 | 17,00 | 19,54 | 18,76 | 15,62 | 19,31 | 18,30 | 14,23 |
| 13 | 21,53 | 20,92 | 20,31 | 17,88 | 20,69 | 19,84 | 16,47 | 20,45 | 19,38 | 15,07 |
| 14 | 22,75 | 22,09 | 21,42 | 18,77 | 21,85 | 20,95 | 17,35 | 21,61 | 20,48 | 15,93 |
| 15 | 24,00 | 23,28 | 22,56 | 19,68 | 23,04 | 22,08 | 18,24 | 22,80 | 21,60 | 16,80 |
| 16 | 25,17 | 24,39 | 23,62 | 20,52 | 24,15 | 23,14 | 19,07 | 23,91 | 22,65 | 17,62 |
| 17 | 26,35 | 25,52 | 24,69 | 21,37 | 25,28 | 24,20 | 19,91 | 25,03 | 23,72 | 18,45 |
| 18 | 27,55 | 26,67 | 25,78 | 22,24 | 26,42 | 25,29 | 20,76 | 26,17 | 24,80 | 19,29 |
| 19 | 28,77 | 27,83 | 26,88 | 23,11 | 27,58 | 26,39 | 21,63 | 27,33 | 25,89 | 20,14 |
| 20 | 30,00 | 29,00 | 28,00 | 24,00 | 28,75 | 27,50 | 22,50 | 28,50 | 27,00 | 21,00 |
| 21 | 31,62 | 30,55 | 29,48 | 25,19 | 30,29 | 28,97 | 23,67 | 30,04 | 28,46 | 22,13 |
| 22 | 33,28 | 32,14 | 30,99 | 26,42 | 31,88 | 30,47 | 24,86 | 31,62 | 29,95 | 23,50 |
| 23 | 34,98 | 33,76 | 32,54 | 27,67 | 33,50 | 32,01 | 26,08 | 33,23 | 31,48 | 24,49 |
| 24 | 36,72 | 35,42 | 34,13 | 28,94 | 35,15 | 33,59 | 27,32 | 34,88 | 33,05 | 25,70 |
| 25 | 38,50 | 37,3 | 35,75 | 30,25 | 36,85 | 35,20 | 28,60 | 36,58 | 34,65 | 26,95 |
| 26 | 40,90 | 39,42 | 37,94 | 32,04 | 39,14 | 37,37 | 30,33 | 38,85 | 36,81 | 28,63 |
| 27 | 43,36 | 41,78 | 40,20 | 33,87 | 41,49 | 39,61 | 32,11 | 41,20 | 39,03 | 30,35 |
| 28 | 45,90 | 44,21 | 42,52 | 35,76 | 43,91 | 41,92 | 33,94 | 43,61 | 41,31 | 32,13 |
| 29 | 48,52 | 46,71 | 44,91 | 37,69 | 46,40 | 44,29 | 35,83 | 46,09 | 43,66 | 33,96 |
| 30 | 51,20 | 49,28 | 47,36 | 39,68 | 48,96 | 46,72 | 37,76 | 48,64 | 46,08 | 35,84 |

**GRADE UNITARE DE MATERIZARE m_r, m'_r , CORESPUNZĂTOARE
TEMPERATURILOR $\theta_b = 1^\circ C$**

| θ_b °C | m _r | m'_r pentru: | | | | | | | | |
|------------------|----------------|---------------------------------|-------|-------|----------------------------------|-------|-------|-----------------------------------|-------|-------|
| | | $\bar{\theta}_{ae} = 0^\circ C$ | | | $\bar{\theta}_{ae} = -5^\circ C$ | | | $\bar{\theta}_{ae} = -10^\circ C$ | | |
| | | $K_b =$ | | | $K_b =$ | | | $K_b' =$ | | |
| | | 0,05 | 0,10 | 0,30 | 0,05 | 0,10 | 0,30 | 0,05 | 0,10 | 0,30 |
| 1 | 2 | 3 | 4 | 5 | 6 | 7 | 8 | 9 | 10 | 11 |
| 2 | 3,97 | 3,94 | 3,92 | 3,81 | 3,86 | 3,74 | 3,29 | 3,77 | 3,57 | 2,78 |
| 3 | 5,05 | 5,00 | 4,96 | 4,79 | 4,90 | 4,75 | 4,16 | 4,80 | 4,54 | 3,54 |
| 4 | 6,11 | 6,04 | 5,98 | 5,72 | 5,93 | 5,74 | 5,00 | 5,80 | 5,50 | 4,28 |
| 5 | 7,16 | 7,07 | 6,98 | 6,63 | 6,94 | 6,71 | 5,82 | 6,80 | 6,44 | 5,01 |
| 6 | 8,15 | 8,03 | 7,92 | 7,46 | 7,88 | 7,62 | 6,58 | 7,74 | 7,33 | 5,70 |
| 7 | 9,04 | 8,90 | 8,76 | 8,21 | 8,75 | 8,45 | 7,27 | 8,59 | 8,14 | 6,33 |
| 8 | 9,89 | 9,72 | 9,55 | 8,89 | 9,56 | 9,23 | 7,90 | 9,39 | 8,90 | 6,92 |
| 9 | 10,68 | 10,48 | 10,29 | 9,53 | 10,31 | 9,95 | 8,50 | 10,14 | 9,61 | 7,47 |
| 10 | 11,42 | 11,20 | 10,99 | 10,12 | 11,03 | 10,63 | 9,06 | 10,85 | 10,28 | 7,99 |
| 11 | 12,14 | 11,89 | 11,65 | 10,68 | 11,71 | 11,29 | 9,59 | 11,53 | 10,92 | 8,50 |
| 12 | 12,83 | 12,56 | 12,29 | 11,21 | 12,37 | 11,92 | 10,10 | 12,19 | 11,54 | 9,98 |
| 13 | 13,50 | 13,21 | 12,91 | 11,73 | 13,02 | 12,53 | 10,59 | 12,83 | 12,15 | 9,45 |
| 14 | 14,17 | 13,84 | 13,52 | 12,24 | 13,65 | 13,14 | 11,08 | 13,46 | 12,75 | 9,92 |
| 15 | 14,83 | 14,48 | 14,13 | 12,74 | 14,28 | 13,74 | 11,56 | 14,08 | 13,34 | 10,38 |
| 16 | 15,48 | 15,10 | 14,73 | 13,23 | 14,90 | 14,33 | 12,03 | 14,70 | 13,93 | 10,83 |
| 17 | 16,12 | 15,72 | 15,32 | 13,71 | 15,51 | 14,91 | 12,50 | 15,31 | 14,51 | 11,28 |
| 18 | 16,76 | 16,33 | 15,90 | 14,19 | 16,12 | 15,49 | 12,96 | 15,92 | 15,08 | 11,73 |
| 19 | 17,39 | 16,93 | 16,48 | 14,66 | 16,73 | 16,06 | 13,41 | 16,52 | 15,65 | 12,17 |
| 20 | 18,02 | 17,54 | 17,06 | 15,13 | 17,33 | 16,64 | 13,87 | 17,12 | 16,22 | 12,61 |
| 21 | 18,66 | 18,15 | 17,64 | 15,60 | 17,94 | 17,22 | 14,33 | 17,72 | 16,79 | 13,06 |
| 22 | 19,32 | 18,78 | 18,24 | 16,09 | 18,56 | 17,81 | 14,80 | 18,35 | 17,38 | 13,52 |
| 23 | 19,99 | 19,42 | 18,85 | 16,58 | 19,21 | 18,42 | 15,29 | 18,99 | 17,99 | 13,99 |
| 24 | 20,68 | 20,08 | 19,48 | 17,09 | 19,86 | 19,05 | 15,78 | 19,64 | 18,61 | 14,47 |
| 25 | 21,39 | 20,75 | 20,13 | 17,61 | 20,53 | 19,69 | 16,29 | 20,31 | 19,27 | 14,97 |
| 26 | 22,12 | 21,45 | 20,80 | 18,16 | 21,23 | 20,35 | 16,82 | 21,01 | 19,90 | 15,48 |
| 27 | 22,89 | 22,19 | 21,50 | 18,72 | 21,97 | 21,05 | 17,37 | 21,74 | 20,60 | 16,02 |
| 28 | 23,69 | 22,96 | 22,23 | 19,32 | 22,73 | 21,78 | 17,95 | 22,50 | 21,32 | 16,58 |
| 29 | 24,53 | 23,76 | 23,00 | 19,94 | 23,53 | 22,54 | 18,56 | 23,30 | 22,08 | 17,17 |
| 30 | 25,40 | 24,60 | 23,80 | 20,59 | 24,37 | 23,33 | 19,18 | 24,13 | 22,86 | 17,78 |

ANEXA D_{5.3}GRADE DE MATERIZARE m_r ; m_r' CORESPUNZĂTOARE
TEMPERATUIRILOR $\theta_b = 3^\circ\text{C}$

| θ_t $^\circ\text{C}$ | m_r | m_r' pentru : | | | | | | | | | |
|--------------------------------|-------|---------------------------------------|---------|---------|---------------------------------------|---------|---------|----------------------------------------|---------|---------|---------|
| | | $\bar{\theta}_{ae} = 0^\circ\text{C}$ | | | $\bar{\theta}_{ae} = 5^\circ\text{C}$ | | | $\bar{\theta}_{ae} = 10^\circ\text{C}$ | | | |
| | | $K_b =$ | $K_b =$ | $K_b =$ | $K_b =$ | $K_b =$ | $K_b =$ | $K_b =$ | $K_b =$ | $K_b =$ | $K_b =$ |
| 1 | 2 | 3 | 4 | 5 | 6 | 7 | 8 | 9 | 10 | 11 | 12 |
| 4 | 8,24 | 8,13 | 8,02 | 7,59 | 7,98 | 7,72 | 6,68 | 7,82 | 7,41 | 5,76 | — |
| 5 | 9,27 | 9,14 | 9,00 | 8,47 | 8,97 | 8,67 | 7,48 | 8,80 | 8,34 | 6,49 | — |
| 6 | 10,21 | 10,05 | 9,89 | 9,24 | 9,87 | 9,54 | 8,19 | 9,70 | 9,19 | 7,14 | — |
| 7 | 11,04 | 10,85 | 10,67 | 9,92 | 10,67 | 10,30 | 8,82 | 10,49 | 9,94 | 7,73 | — |
| 8 | 11,82 | 11,61 | 11,39 | 10,54 | 11,42 | 11,02 | 9,40 | 11,23 | 10,64 | 8,27 | — |
| 9 | 12,55 | 12,31 | 12,07 | 11,11 | 12,12 | 11,68 | 9,95 | 11,92 | 11,50 | 8,78 | — |
| 10 | 13,24 | 12,98 | 12,71 | 11,64 | 12,78 | 12,31 | 10,46 | 12,58 | 11,92 | 9,27 | — |
| 11 | 13,91 | 13,62 | 13,32 | 12,15 | 13,42 | 12,92 | 10,94 | 13,21 | 12,52 | 9,74 | — |
| 12 | 14,56 | 14,24 | 13,92 | 12,64 | 14,03 | 13,51 | 11,42 | 13,83 | 13,10 | 10,19 | — |
| 13 | 15,20 | 14,85 | 14,50 | 13,12 | 14,64 | 14,09 | 11,88 | 14,43 | 13,67 | 10,64 | — |
| 14 | 15,83 | 15,45 | 15,08 | 13,60 | 15,24 | 14,66 | 12,34 | 15,03 | 14,24 | 11,08 | — |
| 15 | 16,46 | 16,06 | 15,66 | 14,06 | 15,84 | 15,23 | 12,79 | 15,63 | 14,81 | 11,52 | — |
| 16 | 17,08 | 16,65 | 16,23 | 14,53 | 16,44 | 15,80 | 13,24 | 16,22 | 15,37 | 11,96 | — |
| 17 | 17,70 | 17,25 | 16,80 | 14,9 | 17,03 | 16,36 | 13,69 | 16,81 | 15,93 | 12,39 | — |
| 18 | 18,32 | 17,84 | 17,36 | 15,44 | 17,62 | 16,92 | 14,13 | 17,40 | 16,48 | 12,82 | — |
| 19 | 18,93 | 18,42 | 17,92 | 15,89 | 18,20 | 17,48 | 14,57 | 17,98 | 17,04 | 13,25 | — |
| 20 | 19,55 | 19,01 | 18,48 | 16,34 | 18,79 | 18,04 | 15,01 | 18,57 | 17,59 | 13,68 | — |
| 21 | 20,17 | 19,61 | 19,05 | 16,80 | 19,39 | 18,60 | 15,46 | 19,16 | 18,15 | 14,12 | — |
| 22 | 20,82 | 20,23 | 19,64 | 17,28 | 20,00 | 19,19 | 15,92 | 19,77 | 18,73 | 14,57 | — |
| 23 | 21,48 | 20,86 | 20,24 | 17,76 | 20,64 | 19,79 | 16,40 | 20,41 | 19,33 | 15,04 | — |
| 24 | 22,17 | 21,52 | 20,87 | 18,27 | 21,29 | 20,41 | 16,89 | 21,06 | 19,95 | 15,52 | — |
| 25 | 22,87 | 22,19 | 21,51 | 18,78 | 21,96 | 21,04 | 17,39 | 21,72 | 20,55 | 16,01 | — |
| 26 | 23,60 | 22,89 | 22,17 | 18,32 | 22,65 | 21,71 | 17,92 | 22,42 | 21,24 | 16,52 | — |
| 27 | 24,37 | 23,62 | 22,88 | 19,89 | 23,39 | 22,41 | 18,47 | 23,15 | 21,93 | 17,06 | — |
| 28 | 25,18 | 24,10 | 23,61 | 20,48 | 24,16 | 23,14 | 19,05 | 23,92 | 22,66 | 17,63 | — |
| 29 | 26,03 | 25,27 | 24,39 | 21,11 | 24,97 | 23,91 | 19,66 | 24,73 | 23,42 | 18,21 | — |
| 30 | 26,91 | 26,05 | 25,19 | 21,76 | 25,81 | 24,71 | 20,30 | 25,56 | 24,22 | 18,84 | — |

ANEXA D_{6.1}
COEFICIENTUL K_l PENTRU TRANSPORTUL BETONULUI DE LA STĂIEȚIE LA OBIECT

| Nr. crt. | Mijlocul de transport | Distanță Km | Durata min | $K_l^{(*)}$ pentru mijlocul: | |
|-------------|------------------------------|----------------|---------------|---------------------------------|-------------------------------|
| | | | | a neprotejat | b ^(**) protejat |
| 1 | Autobasculantă sau dumpăr | 0,5 | 2 | — | 0,120 |
| | | 1,5 | 6 | — | 0,152 |
| 2 | Autoagitator | 1,5 | 6 | 0,168 | 0,144 |
| | | 7,5 | 30 | 0,360 | 0,240 |

(*) Pentru duree intermedii se interpolează liniar.

(**) Soluții de protejare a mijlocului de transport:

— autobasculanta sau dumpărul sunt acoperite cu prelată;

— autoagitatorul are gura de alimentare acoperită cu un capac.

**COEFICIENTUL K_t PENTRU TRANSPORTUL BETONULUI PE OBIECT ȘI
PUNEREA ÎN OPERĂ**

ANEXA D_{6.2}

| Nr. crt. | Punerea în operă a beto- nului în ele- mentul de construcție avind dimen- siunile carac- teristice (cm) | K_t (*) | | | | | | | | | | | | |
|-------------|------------------------------------------------------------------------------------------------------------------------------|--------------------------------------------------------------------------------------|-------|-------|-------|---------------------------------------------------|-------|-------|-------|-------|-----|-----|-----|-----|
| | | în funcție de soluția de izolare termică a benei de 0,8...1,0 m ³ (**) | | | | | | | | | | | | |
| | | a | b | c | d | și de durata de așteptare a ultimei bene (minute) | 10' | 50' | 10' | 50' | 10' | 50' | 10' | 50' |
| 1 | Fundații cu dimen- siunea minimă | 50 | 0,142 | 0,462 | 0,102 | 0,262 | 0,082 | 0,162 | 0,064 | 0,072 | | | | |
| 2 | Stilpi, pe- reți, grinzi cu înălți- mea: | 25 | 0,292 | 0,932 | 0,212 | 0,532 | 0,172 | 0,332 | 0,136 | 0,152 | | | | |
| | | ≥ 50 | 0,242 | 0,882 | 0,162 | 0,482 | 0,122 | 0,282 | 0,086 | 0,102 | | | | |
| 3 | Plăci cu grosimea | 6 | 0,512 | 1,152 | 0,432 | 0,752 | 0,392 | 0,552 | 0,356 | 0,372 | | | | |
| | | 10 | 0,392 | 1,032 | 0,312 | 0,632 | 0,272 | 0,432 | 0,236 | 0,252 | | | | |
| | | 20 | 0,302 | 0,942 | 0,222 | 0,542 | 0,182 | 0,342 | 0,146 | 0,162 | | | | |

(*) Pentru dureate intermedii se interpolează liniar; durata de punere
în operă a betonului dintr-o benă este de maximum 10'.

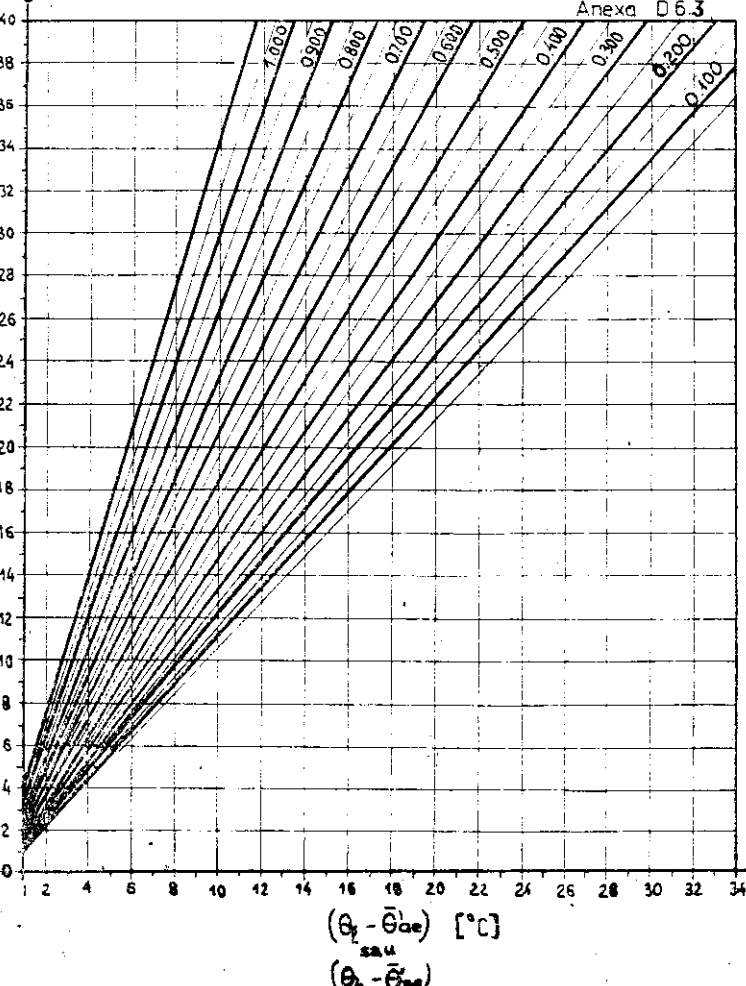
(**) Soluții de protejare a benelor în timpul așteptării:

- a) Neprotejată (în general nu se recomandă);
- b) Acoperită cu folie de polietilenă sau prelată;
- c) Pereții izolați termic cu două straturi de carton asfaltat; benă este acoperită în timpul așteptării cu o folie de polietilenă sau prelată;
- d) Pereții izolați termic cu 7 cm vată minerală, zona de încărcare acoperită cu un capac izolat termic cu 4 cm de vată minerală; benă este acoperită în timpul așteptării cu o folie de polietilenă sau prelată.

CORELAREA DIFERENTELOR DE TEMPERATURA

$$(\theta_p - \bar{\theta}_{ae}) \text{ cu } (\theta_e - \bar{\theta}_{ae})$$

$$(\theta_p - \bar{\theta}_{ae})_{\text{sau}} \quad (\theta_e - \bar{\theta}_{ae}) \text{ cu } (\theta_b - \bar{\theta}_{ae})$$

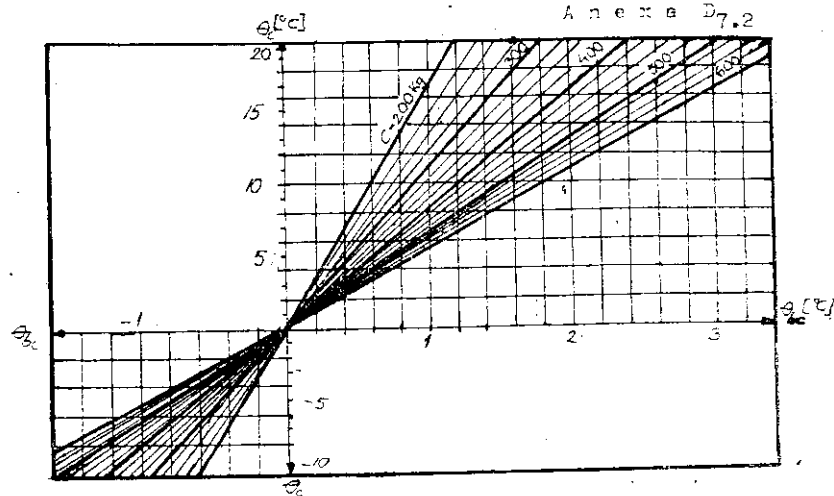


ANEXA D_{7.1}

EVALUAREA TEMPERATURILOR INITIALE ALE AGREGATELOR, θ_{iag}

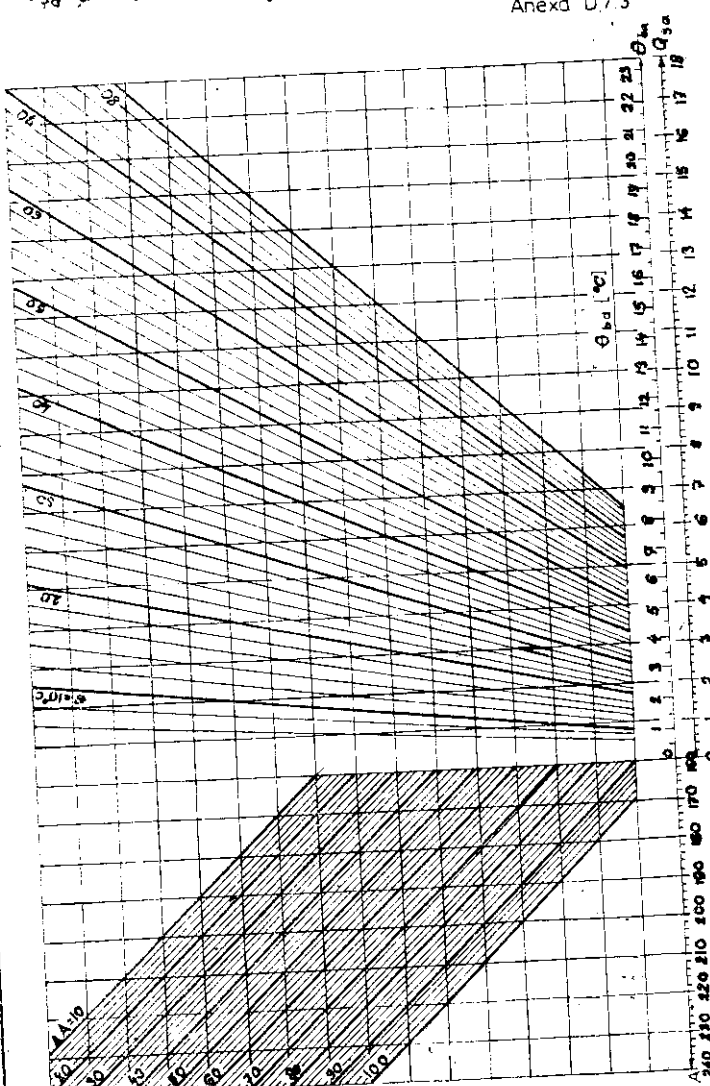
| Depozit de agregate. Caracteristici de masi- vitate | Temperatura aerului exterior in zilele precedente, in °C | Temperatura initială a agregatelor, θ_{iag} in °C |
|-----------------------------------------------------------|----------------------------------------------------------------|----------------------------------------------------------------|
| Depozit masiv $H > 2,0$ m | < - 10 - 10 ... - 5 - 5 ... 0 | - 7 - 5 0 |
| Depozit obişnuit $H \leq 2,0$ m | < - 10 - 10 ... - 5 - 5 ... 0 | - 10 - 7 - 5 |

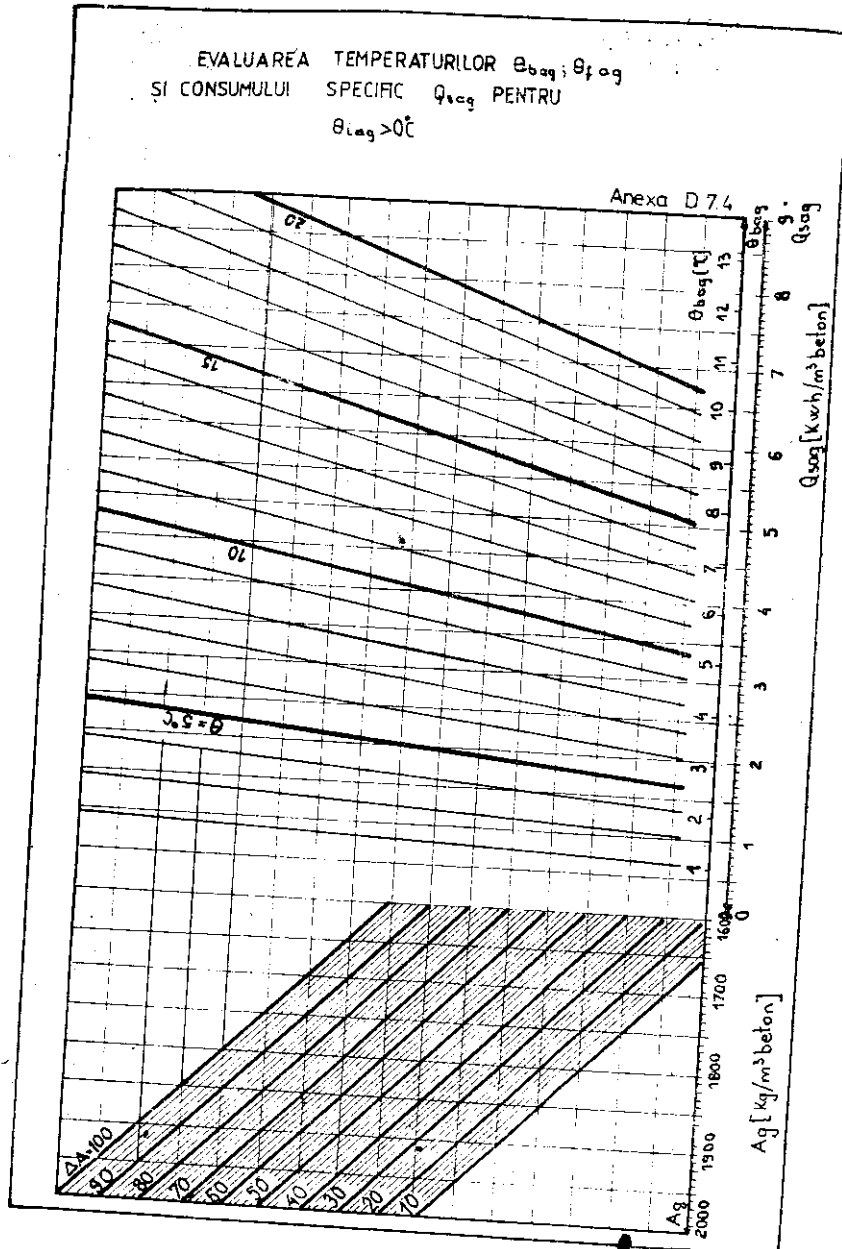
CORELAREA PARAMETRILOR θ_c ; C; θ_{bc}



Evaluarea temperaturilor θ_{fa} și
 θ_{fa} și a consumului specific Q_{fa}

Anexa D_{7.3}

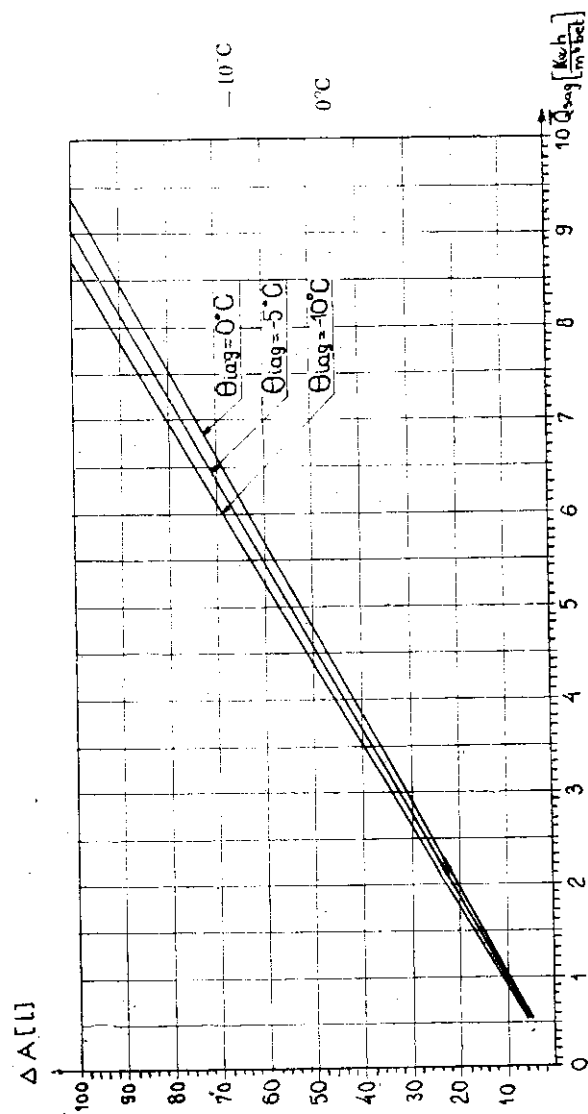




EVALUAREA CONSUMULUI SPECIFIC

Q_{cag} PENTRU $\theta_{\text{diag}} 0^\circ\text{C}$

Anexa D 7.5



SEMΝIFICATIA SIMBOLURILOR FOLOSITE ÎN ANEXE

1. Niveluri de întărire; grade de maturizare

- β — nivelul de întărire al betonului, în procente din rezistența R_{28} ;
- β_k — nivel de întărire critic, în procente;
- R_3 — rezistența la compresiune a betonului la un moment dat, în condiții normale de întărire, în daN/cm^2 ;
- R_{28} — rezistența medie la compresiune a betonului la 28 zile, în condiții normale de întărire, în daN/cm^2 ;
- M_β — gradul de maturizare, corespunzător nivelului de întărire β , în $^\circ\text{C}$;
- M_k — gradul critic de maturizare, în $^\circ\text{C}$;
- M_{θ_i} — gradul de maturizare în intervalul de timp t_i , în care temperatura medie în secțiune este θ_i , în $^\circ\text{C}$;
- M'_{θ_i} — gradul de maturizare în intervalul de timp t_i , evaluat pentru temperatura medie θ'_i , pe suprafața cea mai rece, în $^\circ\text{C}$;
- m_t — gradul unitar de maturizare în intervalul de timp $t_i = 1\text{ h}$, în $^\circ\text{C/h}$;
- m_i — gradul unitar de maturizare pe suprafața cea mai rece a elementului, în intervalul de timp $t_i = 1\text{ h}$, corelat cu m_t , în $^\circ\text{C/h}$;
- M_r — gradul de maturizare la temperatura normală de $+20^\circ\text{C}$ echivalent gradului de maturizare efectiv realizat în perioada t_r , de ridicare a temperaturii, în $^\circ\text{C}$;
- M_t — idem în perioada t_t , de tratare izotermă, în $^\circ\text{C}$;
- M_c — idem în perioada t_c , de variație naturală a temperaturii, în $^\circ\text{C}$;

2. Temperaturi; niveluri de asigurare

- θ_p — temperatura betonului la preparare (descărcarea din malaxor) în $^\circ\text{C}$;
- θ_l — temperatura betonului la livrare, (descărcarea din mijlocul de transport, la obiect), în $^\circ\text{C}$;
- θ_t — temperatura betonului la terminarea procesului de punere în operă (începerea maturizării), în $^\circ\text{C}$;
- θ_i — temperatura medie a betonului în secțiunea unui element de construcție, într-un interval de timp t_i , în $^\circ\text{C}$;
- θ'_i — temperatura medie a betonului, măsurată pe suprafața cea mai rece, în același interval de timp t_i , în $^\circ\text{C}$;
- $\Delta\theta_i$ — diferența între temperaturile maximă și minimă din secțiunea unui element de construcție la un moment dat, în $^\circ\text{C}$;
- $\delta\theta_i$ — mărimea intervalului de temperatură pentru care aceasta are valoare medie θ_i (sau θ'_i), în $^\circ\text{C}$;

- θ_t — temperatura maximă a betonului în perioada de maturizare (în perioada de tratare izotermă, la terminarea celei de ridicare a temperaturii, la începerea celei de variație naturală), în $^\circ\text{C}$;
- θ_c — temperatura betonului la terminarea perioadei de maturizare (în momentul îndepărțării protecției sau decofrării), în $^\circ\text{C}$;
- θ_r — temperatura medie a betonului în perioada de ridicare a temperaturii, în $^\circ\text{C}$;
- θ_{ae} — temperatura efectivă a aerului exterior în perioada de maturizare (t_k ; t_β), în $^\circ\text{C}$;
- θ'_{ae} — nivelul de asigurare în perioada de maturizare (t_k ; t_β), în $^\circ\text{C}$;
- θ''_{ae} — temperatura efectivă a aerului exterior în perioada de preparare, transport și punere în operă a betonului (t'_t ; t''_t), în $^\circ\text{C}$;
- θ'_{ae} — nivelul de asigurare în perioada de preparare, transport și punere în operă a betonului (t'_t ; t''_t), în $^\circ\text{C}$;

3. Intervale de timp

- t_k — durata în care se obține la temperatură variabilă θ un grad de maturizare echivalent gradului critic M_k de maturizare la $+20^\circ\text{C}$ în h ;
- t_β — durata în care se obține la temperatură variabilă θ un nivel de întărire β , corespunzător gradului de maturizare M_β , la temperatura de $+20^\circ\text{C}$, în h ;
- t'_t — durata de transport a betonului la obiect, în h ;
- t''_t — durata de transport a betonului pe obiect și de punere în operă, în h ;
- t_i — durata intervalului de timp în care temperatura variază liniar față de temperatura medie a betonului, în h ;
- t_r — durata de ridicare artificială a temperaturii în timpul maturizării betonului, h ;
- t_t — durata de tratare izotermă a betonului, în h ;
- t_c — durata de variație naturală a temperaturii betonului (ridicare sau coborire), în h ;
- z_k — durata de obținere a gradului critic de maturizare M_k , în zile;
- z_β — durata de obținere a gradului de maturizare M_β , în zile;

4. Coeficienți

- K_{θ_i} — coeficient de echivalare a gradului de maturizare la o temperatură oarecare θ_i (θ'_i), cu gradul de maturizare la temperatura normală de $+20^\circ\text{C}$;

- K_b — coeficient pentru evidențierea scăderii temperaturii betonului pe suprafața cea mai rece (θ_i') în comparație cu temperatura medie (θ_i) în secțiune (evidențiază realizarea gradului de maturizare necesar pe suprafața cea mai rece);
 K_{bj} — coeficientul K_b pe direcția j ;
 K_s — coeficient pentru luarea în considerare a pierderilor de căldură directe ale sursei de căldură;
 K_t' — coeficient pentru evidențierea scăderii temperaturii betonului în timpul transportului (de la θ_p la θ_t), în perioada t_t' ;
 K_t'' — coeficient pentru evidențierea scăderii temperaturii betonului în timpul transportului pe obiect și punerii în opera (de la θ_t la θ_b) în perioada t_t'' ;

5. Tipuri de regimuri termice

- CC_k — regim termic pentru obținerea gradului de maturizare M_k , numai prin metoda conservării căldurii;
 TT_k — idem, numai prin menținerea temperaturii betonului la o valoare constantă, θ_t , (încălzire izotermă);
 TC_k — idem, parțial prin încălzire izotermă și restul prin conservarea căldurii;
 RT_k — idem, parțial prin ridicarea temperaturii betonului și restul prin menținerea ei la o valoare constantă θ_t (încălzire izotermă);
 RC_k — idem, parțial prin ridicarea temperaturii betonului și restul prin conservarea căldurii;
 RTC_k — idem, parțial prin ridicarea temperaturii betonului, parțial prin încălzire izotermă și restul prin conservarea căldurii.

6. Puteri și consumuri specifice

- Q_{sp} — consum specific tehnic de energie, la prepararea betonului (anexa B, pct. 3), în Wh/m³; KWh/m³ sau Kcal/m³;
 Q_{ss} — consum specific tehnic de energie, pe săntier, la încălzirea după turnare (anexa B, pct. 3), în Wh/m³; KWh/m³ sau Kcal/m³;
 r_p, r_s — randamentele instalațiilor de încălzire la preparare, respectiv pe săntier după turnare;
 Q_s — consumul specific total, în Wh/m³; KWh/m³ sau Kcal/m³;
 P_{sezk} — modulul intensității de degajare a exotermiei cimentului, în perioada de maturizare critică, în W/²Cm³;
 E_{28} — exotermia totală a cimentului (28 zile la temperatură normală de +20°C), în Wh/Kg;
 P_{sex} — puterea specifică datorată exotermiei cimentului, în W/m³;
 P_{sexr}, P_{sexl} — puterea specifică P_{sex} în perioadele t_r, t_l , în W/m³;

- P_{so} — puterea specifică corespunzătoare cantității de căldură primită de un element de construcție de la o sursă exterioară, în W/m³;
 P_{sor}, P_{sot} — puterea specifică P_{so} , în perioadele t_r , respectiv t_l , în W/m³;
 P_{s1} — puterea specifică corespunzătoare cantității de căldură pierdută de elementul de construcție prin suprafețele de tip S_1 , în W/m³;
 $P_{s1r}, P_{s1t}, P_{sic}$ — puterile specifice P_{s1} , în perioadele caracteristice t_r, t_l ; respectiv t_c , în W/m³;
 P_{sr}, P_{st} — puteri specifice necesare pentru încălzirea unui element în perioadele t_r , respectiv t_l , în W/m³;
 P_{ss} — puterea specifică tehnică, instalată, pentru încălzirea betonului pe săntier, după turnare, în W/m³.

7. Cătăcristicile elementului de construcție

- M_s/R_s — raportul între modulul de suprafață și rezistența termică la transmisia căldurii prin beton și protecția sa pentru întregul element de construcție, în W/m³K;
 d_j — dimensiunea transversală a unui element de construcție pe direcția j , în m;
 q_j' — fluxul termic pe direcția j , normal pe suprafața S_j' ;
 q_j'' — fluxul termic pe direcția j , normal pe suprafața S_j'' ;
 $(M_s/R_s)_j$ — raportul (M_s/R_s) pe direcția $j = x, y, z$, în W/m³K;
 $(M_s/R_s)_j, (M_s/R_s)_j''$ — rapoartele (M_s/R_s) determinate pentru fiecare din cele două sensuri opuse ale fluxurilor termice, pe direcția j , în W/m³K;
 S_j', S_j'' — suprafețele opuse, normale pe direcția j , pe care se face schimb de căldură, în m²;
 R_{sj}', R_{sj}'' — rezistențele termice ale protecției betonului pe suprafețele S_j', S_j'' , în m²K/W;
 $(R_s)_j, (R_s)_j''$ — rezistențele termice totale (protecție + beton) pe direcția j în cele două sensuri ale fluxurilor termice;
 R_{bj} — rezistența termică totală a betonului în curs de maturizare, pe direcția j , în m²K/W;
 R_{bj}', R_{bj}'' — rezistențele termice întâmpinate de fluxurile q_j', q_j'' , de sens contrar, pe direcția j , în m²K/W;
 λ_b — coeficientul de conductivitate termică al betonului întărit, în W/mK;
 b_b — coeficient pentru evidențierea sporirii conductivității termice a betonului în curs de maturizare față de cel întărit;
 M_s — modulul de suprafață total al unui element de construcție, în m⁻¹;
 M_{sj} — modulul de suprafață parțial, corespunzător suprafețelor normale pe direcția j , în m⁻¹;

| | |
|----------------------------------------------------------------------------------------------------------|---------------------------------------------------------------------------------------------------------------------------------------------------------------------------------------------------|
| M'_{sj} ; M''_{sj} | — module de suprafață parțiale aferente suprafețelor S'_j ; S''_j , în m^{-1} ; |
| V | — volumul total al elementului de construcție, în m^3 ; |
| $V_1..V_n$ | — volumele parțiale ale unui element de construcție de formă complexă (volumele treptelor unei fundații, anexa C _{2,2}); |
| $V'_1..V'_n$ | — volumele parțiale ale unui element de construcție, corespunzătoare unei porțiuni pe care dimensiunea transversală d_x este constantă, anexa C _{2,3} , în m^3 ; |
| S_0 | — suprafețele pe care elementul de construcție primește căldură de la o sursă exterioară, în m^2 ; |
| S_1 | — suprafețele pe care elementul de construcție face schimb de căldură cu aerul exterior, în m^2 ; |
| S_2 | — suprafețele prin care elementul de construcție nu face schimb de căldură, în m^2 ; |
| S_3 | — suprafețele ce separă sursa de căldură de aerul exterior, în m^2 ; |
| $S_{0j}; S_{1j}; S_{3j}$ | — suprafețele de tip S_0 ; S_1 ; S_3 normale pe direcția j |
| $S'_{0j}; S'_{1j}; S'_{3j}$ | — sau S''_{0j} ; S''_{1j} ; S''_{3j} — suprafețele de tip S_0 , S_1 , S_3 , normale pe direcția j în sensul fluxului termic de sens contrar q'_j , respectiv q''_j , în m^2 ; |
| $R_{s0}; R_{s1}; R_{s3}; R_{s0j}; R_{s1j}; R_{s3j}; R'_{s0j}; R'_{s1j}; R''_{s0j}; R''_{s1j}; R''_{s3j}$ | — rezistențele termice ale protecției pe suprafețele de tip S_0 ; S_1 ; S_3 , în m^2K/W ; |
| \bar{R}_{sj} | — rezistența termică de bază a protecției elementului de construcție, pe direcția j , în m^2K/W ; |
| d_k | — grosimea unui strat k al protecției, în m; |
| λ_k | — coeficientul de conductivitate termică a materialului din stratul k , în W/mK ; |
| b_k | — coeficientul de calitate al izolației termice din stratul k ; |
| S_{ji} | — suprafața parțială în porțiunea l a suprafeței S_j , în m^2 ; |
| \bar{R}_{sjl} | — rezistența termică de bază a protecției elementului de construcție în porțiunea l a suprafeței S_j , în m^2K/W ; |
| $\bar{R}_{s0}; \bar{R}_{s1}; \bar{R}_{s3}$ | — rezistențele termice de bază pe suprafețele de tip S_0 ; S_1 ; S_3 , în m^2K/W ; |
| R_i | — rezistența la transfer termic pe suprafețele în contact cu mediul încălzitor, în m^2K/W ; |
| R_e | — rezistența la transfer termic pe suprafețele în contact cu aerul exterior, în m^2K/W . |

C U P R I N S

| | |
|----------------------------------------------------------------------------------------------------------------------------------------|----|
| PARTEA I: Prevederi comune tuturor lucrărilor | 5 |
| 1. Prevederi generale | 5 |
| 2. Sarcinile generale ce revin unităților de construcție în perioada de timp friguros. Precizarea principalelor măsuri | 11 |
| 3. Proiectul anual pentru organizarea lucrărilor pe timp friguros | 22 |
| 4. Măsuri de folosire rațională a energiei și combustibilului la realizarea construcțiilor pe timp friguros | 27 |
| 5. Evidența activității pe timp friguros | 29 |
| PARTEA II: Prevederi speciale pe categorii de lucrări | 31 |
| 6. Lucrări de pămînt | 31 |
| 7. Fundații și construcții sub nivelul terenului | 39 |
| 8. Lucrări de beton | 45 |
| 9. Montarea prefabricatelor | 57 |
| 10. Lucrări de zidărie | 59 |
| 11. Învelitori și tinichigerie | 61 |
| 12. Construcții metalice | 63 |
| 13. Lucrări de finisaj | 68 |
| 14. Montarea geamurilor | 69 |
| 15. Izolații | 71 |
| 16. Protecția anticorosivă în construcții | 73 |
| 17. Lucrări de zidărie refracțară | 74 |
| 18. Instalații interioare | 76 |
| PARTEA III: Anexe | 81 |
| Anexa A: Niveluri de asigurare recomandate pentru executarea pe timp friguros a lucrărilor de construcții și instalații aferente . . . | 81 |
| Anexa B: Folosirea gradului de maturizare Ib controlul calității betonului pus în operă pe timp friguros | 87 |
| 1. Condiții de calitate | 87 |
| 2. Evaluarea gradului de maturizare efectiv | 90 |

| | | | |
|--------------------------------------------------------------------------------------------------------------------------------------------------------------------------|-----|------------------------------------------------------------------------------------------------------------------------------------------------------------------------|-----|
| 3. Metode pentru maturizarea critică a betonului. Tipuri de regimuri termice și domeniile de aplicare | 90 | C _{6..2} Corelarea temperaturilor θ_p și θ_b | 157 |
| 4. Corelarea regimului termic la preparare cu regimul termic la maturizarea betonului; bilanțul energetic | 95 | C _{7..1..C_{7..5}} Regimuri termice la prepararea betonului | 159 |
| Anexa B _{1..1} Gradul critic de maturizare M_k | 98 | C _{8..1..C_{8..2}} Fișe tehnologice | 164 |
| B _{1..2} Coeficientul K_b de echivalare a gradului de maturizare la temperatura θ_t , cu gradul de maturizare la +20°C | 98 | Anexa D: Proiectarea regimurilor termice pentru maturizarea critică a betonului pus în operă pe timp friguros | 166 |
| B _{1..3} Gradul de maturizare $M\beta$ și corelarea lui cu nivelul de întărire β | 98 | 1. Evaluarea parametrilor ce caracterizează betonul pus în operă pe timp friguros; exemple de calcul | 166 |
| B ₂ Fisă pentru controlul gradului critic de maturizare pentru decofrare $M\beta$ Exemplu | 99 | 2. Evaluarea parametrilor ce caracterizează elementul de construcție din punct de vedere al masivității și nivelului de protecție termică; exemple de calcul | 167 |
| Anexa C: Soluții tip pentru regimuri termice la execuțarea lucrărilor pe timp friguros | 100 | 3. Evaluarea nivelului de asigurare și a duratelor critice de maturizare | 180 |
| 1. Parametrii pe baza cărora se face alegerea soluției tip de regim pentru maturizarea critică a betonului | 100 | 4. Proiectarea regimurilor termice CC_k în perioada de maturizare critică. Metoda conservării căldurii; exemple de calcul | 181 |
| 2. Evaluarea parametrilor ce caracterizează elementul de construcție din punct de vedere al masivității și nivelului de protecție termică | 100 | 5. Proiectarea regimurilor termice în perioada de maturizare critică. Metoda încălzirii betonului după punerea în operă; exemple de calcul | 185 |
| 3. Soluții tip de regimuri termice prezentate în anexa C | 101 | 6. Proiectarea regimului termic la transportul și punerea în operă a betonului | 198 |
| 4. Metoda conservării căldurii. Alegerea unui regim termic tip CC_k | 101 | 7. Proiectarea regimului termic la prepararea betonului | 200 |
| 5. Metoda încălzirii betonului după punerea în operă. Alegerea unor regimuri TC_k ; RC_k ; RTC_k | 102 | 8. Bilanțul energetic | 205 |
| 6. Alegerea regimului termic la transportul și punerea în operă a betonului | 104 | Anexa D _{1..1} Gradul critic de maturizare M_k ; corelarea lui cu nivelul de întărire β_k și valorile exotermei totale E_{28} | 208 |
| 7. Alegerea regimului termic la prepararea betonului | 104 | Anexa D _{1..2} Corelarea duratelor de maturizare t_k , în ore, cu duratele z_k , în zile | 208 |
| 8. Definitivarea soluției pentru maturizarea critică a betonului | 104 | D _{2..1} Rezistențele termice R_s ale unor soluții recomandate pentru protejarea suprafeteelor elementelor de construcție din beton | 209 |
| 9. Exemple de calcul | 104 | D _{2..2} Rezistențele termice R_{min} ale unor materiale termoizolațoare uzuale pentru $N = 1800$ h°C și $C_e = 250$ lei/Gcal | 211 |
| Anexa C ₁ Tipurile de betoane pentru care s-au tipizat regimuri termice | 114 | D _{2..3} Evaluarea rezistenței R_{min} și a grosimii corespunzătoare „d” a straturilor termoizolante pentru $N = 1800$ h°C | 212 |
| C _{2..1..C_{2..3}} Evaluarea rezistențelor termice și parametrilor M_s/R_s ; K_b | 115 | D _{2..4} și D _{2..5} Valorile coeficienților K_{bj} în funcție de parametrii d_j și R_{sj} | 213 |
| C _{2..4..C_{2..6}} Valori $(M_s/R_s)_f$; $(M_s/R_s)'_f$; $(M_s/R_s)''_f$ | 118 | D _{2..6} Valorile coeficienților K_s în funcție de $(R_{s0} + R_b/2)$ și $R_{s3} \cdot S_0/S_3$ | 215 |
| C _{2..7} Rezistențele termice ale unor soluții recomandate pentru protejarea suprafeteelor elementelor de construcții din beton | 124 | D _{3..1..D_{3..8}} Corelarea parametrilor θ_b cu t_k la maturizarea critică a betonului prin metoda conservării căldurii | 216 |
| Anexa C ₃ Tipuri de regimuri termice proiectate în funcție de parametrii caracteristici | 126 | D _{3..9} Corelarea parametrilor $\theta_b = \theta_t$ cu t_k la maturizarea critică a betonului în regim TT_k | 224 |
| C _{4..1..C_{4..8}} Regimuri termice tip CC_k | 127 | D _{3..10} și D _{3..11} Regimuri termice de referință TT_k și RT_k | 225 |
| C _{5..1..C_{5..4}} Regimuri termice tip TC_k | 143 | | |
| C _{5..5..C_{5..6}} Regimuri termice tip RC_k | 151 | | |
| C _{5..7..C_{5..10}} Regimuri termice tip RTC_k | 153 | | |
| C _{6..1} Evaluarea coeficientului K_t în funcție de soluția de organizare a procesului de transport și punere în operă a betonului pe timp friguros | 157 | | |

| | |
|--------------------------------------------------------------------------------------------------------------------------------------|-----|
| D _{4.1} Grade unitare de maturizare m_t și m'_t corespunzătoare temperaturilor θ_t | 229 |
| D _{5.1} Grade unitare de maturizare m_t și m'_t corespunzătoare temperaturilor de tratare izotermă θ_t | 230 |
| D _{5.2} Grade unitare de maturizare m_r și m'_r corespunzătoare temperaturii $\theta_b = 1^\circ C$ | 231 |
| D _{5.3} Grade unitare de maturizare m_r și m'_r corespunzătoare temperaturii $\theta_b = 3^\circ C$ | 232 |
| D _{6.1} ...D _{6.2} Coeficienții $K'_t \dots K''_t$ | 233 |
| D _{6.3} Corelarea diferențelor de temperatură $(\theta_p - \theta'_{ae})$ și $(\theta_b - \theta'_{ae})$ | 235 |
| D _{7.1} Evaluarea temperaturilor inițiale θ_{tag} | 236 |
| D _{7.2} Corelarea parametrilor θ_c ; C și θ_{bc} | 236 |
| D _{7.3} Evaluarea temperaturilor θ_{ba} și θ_{fa} și a consumului specific Q_{sa} | 237 |
| Anexa D _{7.4} Evaluarea temperaturilor θ_{bag} și θ_{tag} și a consumului specific Q_{sag} | 238 |
| D _{7.5} Evaluarea consumului specific Q_{sag} | 239 |
| Semnificația simbolurilor folosite în anexe | 240 |

REGIM TERMIC RTC_k

$$t_x = 64h = 3 \text{ zile}$$

$$\frac{M_s}{R_s} \geq \lim_{R_s} \frac{M_s}{R_s} (RC_k)$$

BETON B300 - L₃ - P₄₀ - 31

$$K_b = 0,050$$

$$K_b = 1,075$$

$$M_k = 1182$$

Anexa C 5.10

| $\frac{M_s}{R_s}$ | G _b | G _t | G _c | P _{ss} minim | | | | | P _{ss} maxim | | | | | | | |
|--------------------------|----------------|----------------|----------------|-----------------------|----------------|----------------|-----------------|-----------------|-----------------------|----------------|----------------|----------------|----------------|-----------------|-----------------|-----------------|
| | | | | t _x | t _t | t _c | P _{sr} | P _{st} | Q _{ss} | G _c | t _r | t _t | t _c | P _{sr} | P _{st} | Q _{ss} |
| 1 | 2 | 3 | 4 | 5 | 6 | 7 | 8 | 9 | 10 | 11 | 12 | 13 | 14 | 15 | 16 | 17 |
| Nivel de asigurare 0°C | | | | | | | | | | | | | | | | |
| 14 | | | 10,0 | | 17,0 | 41,0 | 1145 | 45 | 7,6 | 9,9 | | 15,4 | 44,1 | 1521 | 45 | 7,5 |
| 16 | 3 | 12 | 9,5 | 6,0 | 26,4 | 31,6 | 1161 | 71 | 8,9 | 9,3 | 4,5 | 24,8 | 34,7 | 1537 | 71 | 8,7 |
| 25 | | | 8,0 | | 37,8 | 20,2 | 1234 | 187 | 14,5 | 7,7 | | 37,6 | 21,9 | 1610 | 187 | 14,3 |
| Nivel de asigurare -5°C | | | | | | | | | | | | | | | | |
| 10 | | | 10,1 | | 9,0 | 47,0 | 1169 | 51 | 9,8 | 9,8 | | 6,7 | 51,3 | 1545 | 51 | 9,6 |
| 11 | | | 9,7 | | 15,7 | 40,3 | 1181 | 70 | 10,5 | 9,4 | | 13,8 | 44,2 | 1558 | 70 | 10,7 |
| 12 | | | 9,3 | | 19,8 | 36,2 | 1194 | 89 | 11,3 | 8,9 | | 18,2 | 39,8 | 1571 | 89 | 11,1 |
| 14 | 1 | 13,0 | 8,0 | | 26,1 | 29,9 | 1220 | 128 | 13,1 | 8,1 | 6,0 | 25,1 | 32,9 | 1596 | 128 | 12,8 |
| 16 | | | 8,0 | | 28,7 | 27,3 | 1246 | 167 | 14,8 | 7,6 | | 28,2 | 29,8 | 1622 | 167 | 14,4 |
| 25 | | | 6,1 | | 37,2 | 18,8 | 1362 | 341 | 23,6 | 5,6 | | 37,5 | 20,5 | 1738 | 341 | 23,2 |
| Nivel de asigurare -10°C | | | | | | | | | | | | | | | | |
| 7 | | | 10,9 | | 2,5 | 53,5 | 1167 | 30 | 9,4 | - | | - | - | - | - | - |
| 8 | | | 10,1 | | 16,0 | 40,0 | 1186 | 55 | 10,4 | 9,8 | | 13,7 | 44,3 | 1562 | 55 | 10, |
| 9 | | | 9,6 | | 22,0 | 34,0 | 1204 | 80 | 11,4 | 9,2 | | 20,2 | 37,8 | 1580 | 80 | 11,1 |
| 10 | | | 9,2 | | 26,4 | 29,6 | 1222 | 104 | 12,5 | 8,8 | | 25,2 | 32,8 | 1599 | 104 | 12, |
| 11 | 1 | 13,0 | 8,8 | 8,0 | 29,4 | 26,6 | 1241 | 129 | 13,7 | 8,4 | 6,0 | 28,5 | 29,5 | 1617 | 129 | 13, |
| 12 | | | 8,4 | | 31,7 | 24,3 | 1259 | 154 | 14,9 | 8,0 | | 30,8 | 27,2 | 1635 | 154 | 14, |
| 14 | | | 7,6 | | 34,2 | 21,8 | 1295 | 203 | 17,3 | 7,2 | | 33,8 | 24,2 | 1672 | 203 | 16, |
| 16 | | | 7,2 | | 36,8 | 19,2 | 1332 | 253 | 20,0 | 6,7 | | 36,7 | 21,3 | 1708 | 253 | 19, |
| 25 | | | 5,4 | | 40,8 | 15,2 | 1496 | 475 | 31,4 | 4,6 | | 41,3 | 16,7 | 1873 | 475 | 30, |

ANEXA C_{6.1}

Coefficientul K'_t pentru soluții tipizate de organizare a transportului la obiect

| Nr. crt. | Mijlocul de transport | Distanța (Km) | Durata (min) | K'_t pentru mijlocul | |
|----------|---------------------------|---------------|--------------|------------------------|----------------|
| | | | | a neprotejat | b (*) protejat |
| 1 | Autobasculantă sau dumpăr | 1,5 | 6 | — | 0,152 |
| 2 | Autoagitator | 5 | 20 | 0,280 | 0,200 |

(*) Soluții de protejare a mijlocului de transport:

- Autobasculanta sau dumpărul sunt acoperite cu prelată
- Autoagitatorul are gura de alimentare acoperită cu un capac.

ANEXA C_{6.2}

Coefficientul K''_t pentru soluții tipizate de organizare a transportului la obiect și punerea în operă

| Nr. crt. | Punerea în operă a betonului în elementul de construcție având dimensiunile caracteristice (cm) | K''_t pentru o durată de așteptare a ultimei benă de 40' și soluția de izolare termică (*): | | | |
|----------|-------------------------------------------------------------------------------------------------|-----------------------------------------------------------------------------------------------|-------|-------|-------|
| | | a | b | c | d |
| 1 | Fundații cu dimensiunea minimă | 50 | 0,382 | 0,222 | 0,142 |
| 2 | Stilpi, pereti, grinzi cu înălțimea | 25 | 0,772 | 0,452 | 0,292 |
| | | > 50 | 0,722 | 0,402 | 0,242 |
| 3 | Plăci cu grosimea | 6 | 0,991 | 0,672 | 0,512 |
| | | 10 | 0,872 | 0,552 | 0,392 |
| | | 20 | 0,782 | 0,462 | 0,302 |
| | | | | | 0,158 |

(*) Soluții de protejare a benelor în timpul așteptării:

- a. Neprotejată (nu se recomandă);
- b. Acoperită cu folie de polietilenă sau prelată;
- c. Peretii izolați termic cu două straturi de carton astfaltat; bina este acoperită în timpul așteptării cu o folie de polietilenă sau prelată;
- d. Peretii izolați termic cu 7 cm de vată minerală; zona de încărcare acoperită cu un capac izolat termic cu 4 cm de vată minerală; bina este acoperită în timpul așteptării cu o folie de polietilenă sau prelată.